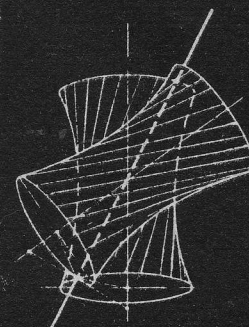


BIBLIOTECA TEHNICĂ
UZINA MEZANIEI NICOLINA

NICOLAE GUJA

Angrenaje conice și hipoide



În lucrare sînt tratate bazele geometriei angrenajelor cu dantură conică curbă și hipoidă, insistîndu-se asupra danturii conice curbe în arc de cerc, în special în varianta cu înălțime constantă a dintelui, variantă mult utilizată în construcția de mașini.

Pentru dantura hipoidă se tratează legătura dintre angrenajul hiperboloidal și angrenajul hipoid și modul în care angrenajul hipoid substituie angrenajul hiperboloidal. Se face o succintă prezentare a calculului geometric al danturii hipoide insistîndu-se asupra bazelor fizice ale acestui tip de angrenare. Sînt evidențiate de asemenea problemele angrenajelor hipoide de tip special.

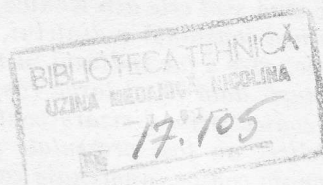
Sînt expuse bazele prelucrării danturii conice și hipoide și sînt prezentate exemple concrete de calcul.

Cartea este adresată inginerilor și tehnicienilor care, prin profesiune, sau din pasiune pentru tehnică, sînt interesați în cunoașterea problemelor angrenajelor, fiind utilă de asemenea studenților facultăților cu profil mecanic.

Control științific: dr. ing. Gheorghe Miloiu
Redactor: ing. Vasile Buzatu
Tehnoredactor: Maria Trăsnea

Bun de tipar: 23.05.1990 Coli de tipar: 14,5
C.Z. 621.833
ISBN 973-31-0168-0

Tiparul executat sub comanda nr. 334 la Palatul
Universul str. Brezoianu nr. 23-25 București



Prefața

Dezvoltarea industriei constructoare de mașini a dus la o mare cerere de angrenaje de cele mai diferite tipuri, atât pentru producția de serie a diverselor mașini, cât și pentru activitatea de întreținere a parcului de mașini-unelte și utilaje din dotarea întreprinderilor.

Dacă angrenajele cu dantură conică curbă și axe concurente sînt în general întîlnite în literatură, în ceea ce privește angrenajele cu dantură curbă și axe încrucișate, respectiv angrenajele hipoide, problemele sînt mult mai puțin cunoscute deoarece, chiar în țările cu o veche industrie constructoare de mașini, s-a publicat puțin pe această temă.

Situația se datorește faptului că angrenajele hipoide s-au impus doar în ultimii 30—40 de ani, mult timp existînd părerea că cercetările în acest domeniu sînt mult prea complicate și pot fi evitate prin folosirea altor tipuri de angrenaje bine cunoscute și a căror fabricație nu ridică probleme teoretice deosebite.

Avantajele angrenajelor hipoide le-au impus, totuși și, pe măsură ce au intrat în uzul tehnicii, au apărut și metodele de calcul specifice diferitelor mașini-unelte de prelucrare a roților cu dantură hipoidă, metode care reprezintă însă numai o culegere de formule, pe baza cărora se poate calcula reglajul mașinii de prelucrat, neoferind o înțelegere a esenței problemelor pe care le ridică aceste angrenaje.

Puținele lucrări cunoscute folosesc un instrument matematic complex, respectiv noțiuni de geometrie diferențială și mecanică analitică, în speță teoria suprafețelor de înfășurare reciprocă, ceea ce le face greu accesibile, întrucît sensul fizic al problemelor scapă în condițiile crizei de timp cu care sînt confrunțați specialiștii din producție.

Pentru a ușura înțelegerea acestor probleme de către un cerc de cititori cît mai larg posibil, în lucrarea de față s-a căutat să se prezinte numai demonstrații care folosesc noțiunile de matematică de uz curent în tehnică, iar acolo unde nu a fost posibil s-a insistat asupra sensului fizic și s-a apelat la metode intuitive.

Deși scopul principal al lucrării este prezentarea angrenajelor hipoide totuși, întrucît ele nu pot fi prezentate și înțelese fără cunoașterea angrenajelor conice cu dantură curbă, în partea întîia a lucrării au fost evidențiate principalele probleme ale angrenajelor conice.

A fost expusă mai pe larg numai dantura conică curbă în arc de cerc cu înălțimea constantă a dintelui, deoarece dantura conică curbă în arc de cerc este singura dintre danturile conice curbe care, pe de o parte se poate rectifica și prin aceasta asigură un grad de precizie superior, necesar în special în domeniul mașinilor-unelte și a altor mecanisme pre-

tentioase cum sînt cele din tehnica aerospațială iar, pe de altă parte, dantura cu înălțimea constantă a dintelui, la rîndul ei, prezintă o serie de facilități la execuție, care o fac indicată în mod deosebit la unicate și serii mici.

Totuși, dată fiind largă răspîndire a metodelor de prelucrare a angrenajelor conice prin divizare continuă, la care dantura se realizează după curbe ciclice, au fost prezentate și principalele probleme ale acestor tipuri de angrenaje conice, angrenaje care prezintă certe avantaje privind execuția și care pot acoperi un larg domeniu de cerințe ale construcției de mașini în general.

Luînd în considerare complexitatea angrenajelor conice cu dantură curbă și, în special, a angrenajelor hipoide, lucrarea de față se constituie numai ca o culegere a principalelor probleme pe care le ridică acestea, în vederea cunoașterii lor de către cei interesați, fără a se ajunge la o analiză detaliată a tuturor aspectelor.

Materialul poate fi folosit în proiectare și execuție fără a avea însă pretenția că trasează căi de rezolvare complet optimizate, datorită faptului că datele culese din literatură, sînt în general, destul de disparate și, uneori, contradictorii și numai o activitate de cercetare sistematică în domeniul teoriei acestor angrenaje, verificată practic prin executarea și încercarea unui număr oarecare de astfel de angrenaje în domeniile limită, poate conduce la elaborarea unor metode de calcul și de execuție unitare și complete la modul cel mai general posibil.

Întrucît cartea de față nu își propune demonstrarea riguroasă a tuturor problemelor acestor angrenaje, considerăm că abordarea teoriei lor rămîne în continuare o sarcină actuală pentru știință.

Cartea, în forma prezentată, o considerăm utilă atît inginerilor tehnologi și proiectanți, cu preocupări în domeniul angrenajelor, cît și studenților care doresc să-și lărgescă orizontul în materie de organe de mașini fiind în egală măsură folositoare și tehnicienilor specialiști în angrenaje, cu cunoștințe matematice la nivel liceal actual.

Deoarece în literatura tehnică străină apar o serie de termeni a căror traducere la prima vedere nu dă nici o informație asupra fenomenului definit, acești termeni au fost menționați, materialul prezentat contribuind astfel, și din acest punct de vedere, la înțelegerea problemelor acestor angrenaje.

Metodologia de calcul al danturii hipoide, prezentată, presupune utilizarea calculatorului electronic și are avantajul, în raport cu metodele clasice expuse în literatură, că poate crea proiectantului o imagine mai largă asupra angrenajului hipoid pe care îl va utiliza.

Menționez că această metodologie de calcul a fost aplicată de autor pentru executarea unor angrenaje hipoide care, pînă la data respectivă, se aduceau din import.

Mulțumesc pe această cale colectivului de calcul din Institutul de Cercetare Științifică și Inginerie Tehnologică pentru Mașini Unelte București care m-a ajutat prin întocmirea programelor de calcul pentru calculator.

AUTORUL

Cuprinsul

| | |
|--|------------|
| Prefață | 5 |
| 1. NOȚIUNI INTRODUCTIVE | 9 |
| 1.1. Simbolurile elementelor geometrice și coeficienților de calcul. | 9 |
| 1.2. Scurt istoric al dezvoltării angrenajelor. | 10 |
| 1.3. Clasificarea angrenajelor și locul angrenajelor conice și hipoide. | 13 |
| 1.4. Prelucrarea roților conice prin metoda rostogolirii. | 15 |
| 2. DANTURA CONICĂ | 20 |
| 2.1. Angrenaje conice. | 20 |
| 2.1.1. Noțiuni generale. | 20 |
| 2.1.2. Angrenajul de înlocuire. | 26 |
| 2.1.3. Bazele geometriei angrenajelor conice. | 29 |
| 2.2. Angrenaje conice cu dantură curbă. | 31 |
| 2.3. Angrenaje conice cu dantură curbă în arc de cerc. | 33 |
| 2.3.1. Noțiuni generale. | 33 |
| 2.3.2. Bazele geometriei danturii conice în arc de cerc. | 36 |
| 2.3.3. Noțiuni privind prelucrarea danturii conice în arc de cerc. | 42 |
| 2.3.4. Noțiuni privind pata de contact. | 46 |
| 2.4. Bazele prelucrării roților dințate conice cu dantură curbă în arc de cerc prin metoda ruletei. | 50 |
| 2.5. Bazele prelucrării roților dințate conice cu dantură curbă în arc de cerc prin metoda suprafeței înfășurătoare. | 60 |
| 2.6. Angrenaje conice cu dantură curbă în arc de cerc cu înălțimea dintelui constantă. | 68 |
| 2.6.1. Exemplu de calcul al unui angrenaj cu dantură conică în arc de cerc cu înălțimea dintelui constantă. | 79 |
| 2.7. Angrenaje conice cu dantură curbă în arc de cerc cu înălțimea dintelui variabilă. | 82 |
| 2.8. Calculul de rezistență al angrenajelor conice. | 98 |
| 2.9. Sculele pentru prelucrarea roților conice cu dantură curbă în arc de cerc. | 91 |
| 2.10. Angrenaje conice cu dantură curbă realizată după curbe ciclice. | 99 |
| 2.11. Scurtă privire asupra utilizării și fabricației angrenajelor conice cu dantură curbă | 109 |
| 3. DANTURA HIPOIDĂ | 113 |
| 3.1. Angrenajul hiperboloidal. | 113 |
| 3.2. Noțiuni generale privind angrenajele hipoide. | 121 |
| 3.3. Poziția reciprocă pinion-roată în angrenajele hipoide. | 124 |
| 3.4. Noțiuni privind angrenarea danturii hipoide. | 132 |
| 3.5. Dimensiunile danturii angrenajelor hipoide | 137 |
| 3.6. Forțele în angrenajul hipoid. | 140 |
| 3.7. Prelucrarea danturii angrenajelor hipoide. | 143 |
| 3.7.1. Prelucrarea roților angrenajului hipoid prin intermediul roții plane generatoare. | 143 |
| 3.7.2. Prelucrarea roților angrenajului hipoid prin intermediul roții conice generatoare. | 153 |
| 3.7.3. Elemente privind tehnologia de execuție a angrenajelor hipoide. | 162 |
| 3.8. Proiectarea angrenajului hipoid. | 166 |
| 3.9. Calculul de verificare a rezistenței angrenajului hipoid. | 176 |
| 3.10. Exemplu de calcul al angrenajului hipoid. | 184 |
| 3.10.1. Calcule pentru dimensionarea angrenajului. | 184 |
| 3.10.2. Calcule pentru ilustrarea unor aspecte teoretice. | 193 |
| 3.11. Angrenaje hipoide de tip special. | 202 |
| BIBLIOGRAFIE | 214 |

1.

Noțiuni introductive

1.1. Simbolurile elementelor geometrice și coeficienților de calcul

Simboluri

| Simbolul | Denumirea elementului |
|---------------|--|
| a | — distanța între axe; |
| b | — lățimea coroanei dințate; |
| c | — jocul la capul dintelui; |
| d | — diametrul de divizare; |
| h | — înălțimea dintelui (cu indice înălțimea unui element); |
| i | — raport de transmitere; |
| j | — joc între flancurile dinților angrenați; |
| m | — modulul; |
| n | — rotație (rot/min); |
| p | — pasul; |
| r | — rază; |
| s | — arcul dintelui (grosime); |
| v | — viteză; |
| x | — coeficientul deplasării profilului; |
| z | — număr de dinți; |
| L | — distanța de așezare (montaj); |
| R | — lungimea generatoarei conului; |
| α | — unghi de presiune (unghi de angrenare); |
| β | — unghi de înclinare a dintelui; |
| δ | — unghiul conului de divizare (semiunghiul vârfului); |
| τ | — pas unghiular; |
| ε | — grad de acoperire; |
| ω | — viteză unghiulară; |
| Σ | — unghiul între axe. |
| θ | — unghiul dintelui. |

Indici

| Indicele | Semnificația indicelui |
|----------|---------------------------------------|
| | Litere |
| a | — de cap, ... al sau a capului; |
| b | — de bază; |
| c | — constantă (ex. coarda constantă); |
| e | — exterior, ... la exterior; |
| f | — de picior, ... al sau a piciorului; |
| g | — gol, ... al golului, (între dinți); |

| | |
|-----|------------------------------------|
| i | — interior, ... la interior; |
| m | — median, (al ... median); |
| n | — normal, (în secțiune normală); |
| p | — plin, (al dintelui); |
| r | — radial; |
| t | — frontal, (în secțiune frontală); |
| w | — de rostogolire; |
| x | — axial sau o distanță oarecare; |
| y | — distanță oarecare. |

Cifre și alte semne

| | |
|---|---|
| 0 | — de referință, (referitor la suprafețe de referință); |
| 1 | — al roții 1 (referitor la roata 1); |
| 2 | — al roții 2 (referitor, la roata 2); |
| * | — coeficient al unei mărimi, alta decât deplasarea de profil. |

FĂRĂ INDICI

Se referă la elemente legate de o suprafață sau o curbă ce trece prin punctul mediu al danturii.

Notațiile folosite sînt conforme cu STAS 915/1—81. Definițiile elementelor geometrice și cinematice ca și terminologia sînt conforme cu STAS 915/2—81, 915/3—81, 915/4—81 și 6844-80.

Simbolurile menționate mai sus au fost folosite numai pentru angrenaje.

1.2. Scurt istorie al dezvoltării angrenajelor

Dintre toate formele posibile de mișcare, cea rotativă, datorită avantajelor sale, s-a selecționat în mod natural pentru a satisface o mare varietate de nevoi tehnologice și putem afirma că roata este organul de mașină care a impus majoritatea proceselor tehnologice ca procese rotative.

Principalele motive care au determinat adoptarea mișcării de rotație pentru transmiterea energiei au fost posibilitatea realizării ei continuu, într-un loc, fără a apare o deplasare a suportului, precum și posibilitatea de reducere a pierderilor de energie, deoarece la rotație uniformă forța de inerție se produce numai la accelerarea de pornire și de oprire, spre deosebire de mișcarea de du-te-vino, de exemplu, unde forța de inerție apare la fiecare perioadă a mișcării.

Roata, ca element tehnic, a apărut din vremuri străvechi și s-a transmis din generație în generație, cunoscînd numeroase perfecționări și dezvoltări în istoria sa multimilenară.

Inițial roata a fost folosită pentru reducerea frecării la deplasare iar pentru transmiterea energiei a început să fie folosită ca roată a olarului și, apoi, datorită necesității de a transmite forțe mai mari decît cea umană, s-a inventat roata dințată.

Necesitatea scoaterii apei din riuri pentru irigații și construcția morilor acționate de forța apelor curgătoare au fost cerințele vieții care au dat impulsul necesar apariției roților dințate, încă în antichitate ele fiind amintite în lucrările lui Aristotel și Arhimede.

Odată cu apariția și dezvoltarea tehnicii de măsurare a timpului și ca urmare necesitatea creării unor instrumente astronomice, a apărut ca o problemă esențială mărirea gradului de precizie a execuției roților dințate. Inițial acestea au fost executate din lemn, dar, din cauza uzurii rapide, s-a trecut la utilizarea metalului pentru confecționarea dinților, ceea ce a ridicat problema profilării dinților în așa fel încât angrenarea să poată avea loc.

Trei mari oameni de știință s-au ocupat de această problemă: Christian Huygens (1629—1695), care a studiat evolventa în lucrarea sa „*Horologium oscillatorium*“, apărută în 1693; Philippe De la Hire (1640—1718), care a descoperit epicycloida și a indicat-o drept curbă potrivită pentru profilarea dinților, în lucrarea sa „*De l'usage des épicycloïdes*“ apărută în anul 1695; Leonhard Euler (1707—1783), care a aprofundat studiul, evolventei în lucrarea „*De artissima figura rotatum dentibus tribuenda*“, publicată în anul 1760.

Inițial au fost folosite pe scară largă angrenajele cu profil cicloidal, dar, pe măsură ce tehnica s-a dezvoltat, aria lor de folosire s-a restrins la aparatură și la ceasuri, în construcția de mașini generalizându-se folosirea angrenajelor cu profil în evolventă, în special după inventarea metodei de prelucrare a roților dințate prin rostogolire.

Creșterea cererii de roți dințate a dus la primele încercări de standardizare, astfel că în jurul anului 1770 apare în Anglia noțiunea de pas circular (circular pitch), noțiune care și-a dovedit utilitatea cu ocazia apariției mașinii de frezat și a frezei disc de danturat în anul 1820.

Tot în Anglia, Robert Willis a introdus în această perioadă noțiunea de pas diametral (diametral pitch).

Dezvoltarea mașinilor cu aburi și a mașinilor de prelucrat metale a stimulat, în continuare, cererea de roți dințate, ceea ce a dus, în anul 1856, la inventarea, în Germania, de către Christian Schiele, a prelucrării prin metoda rostogolirii cu freză melc, metodă ce nu s-a putut răspindi din cauza dificultăților care intervin la realizarea frezelor melc.

Abia în anul 1901 s-a reușit confecționarea de freze melc cu o precizie satisfăcătoare, realizare impulsionată și de crearea, în anul 1897, de către Herman Pfauter, a mașinii de frezat roți dințate prin rostogolire cu diferențial, care rezolva prelucrarea roților cilindrice cu dinți drepecți, înclinați și a roților melcate pe aceeași mașină.

În această perioadă, în Anglia și anume în anul 1899, Fellows introduce prelucrarea prin metoda rostogolirii cu cuțit roată, iar în 1908, Sunderland aplică prelucrarea prin rostogolire cu cuțit pieptene. În același an, în Elveția, Max Maag descoperă posibilitatea corijării angrenajelor prin deplasarea sculei.

Dacă în acest prim deceniu al secolului 20, în linii mari, evoluția angrenajelor cilindrice cu profil în evolventă, poate fi socotită ca încheiată din punct de vedere al bazelor teoretice, angrenajele conice vor mai suferi dezvoltări în continuare.

În tot cursul secolului 19 s-a folosit în construcția de mașini angrenajul conic format din roți conice cu dinți drepecți.

În anul 1901 apare procedeul de prelucrare prin rabotare a danturii conice curbe în episinoidă, inventat de Monneret în Franța. Aceasta a stimulat o serie de cercetări care au fundamentat teoretic folosirea danturii conice curbe, ceea ce a dus la apariția, în 1910, a procedeului de prelucrare a danturii conice curbe în arc de cerc prin divizare dinte cu dinte, inventat

de către Bootscher și adoptat de firma Gleason, din SUA, în anul 1913, sub forma danturii în arc de cerc cu înălțime variabilă a dintelui. A urmat apariția în anul 1921 a metodei de prelucrare cu freză melc conică, inventată de Schicht și Preis în Germania, dantură numită Paloidă și având caracteristic înălțimea dintelui constantă. Această dantură a fost preluată și dezvoltată de către firma Klingelberg.

În perioada 1920...1944 au fost puse bazele teoretice și practice ale angrenajelor conice cu dinți curbi având linia dinților curbe cicloidale, respectiv sistemul Elloid, pus în practică de către firma elvețiană Oerlikon în 1940, sistemul Cyclopaloid aplicat de firma Klingelberg în RFG după 1945 și sistemul FIAT-Mammano aplicat în Italia. Ofensiva sistemelor de danturat conic curb după curbe cicloidale a determinat perfecționări și în domeniul danturii conice în arc de cerc. Astfel s-a dezvoltat sistemul de danturat conic după metoda suprafeței înfășurătoare (FORMATE) și s-au pus bazele danturii în arc de cerc cu înălțimea dintelui constantă.

O serie de studii, publicate în special în Uniunea Sovietică în perioada 1955—1965, au popularizat dantura de înălțime constantă a dintelui, dantură care a căpătat o largă răspândire.

O perfecționare adusă mașinilor de danturat conic în arc de cerc a fost făcută în RDG, când s-a adoptat sistemul KURVEX, ce permite prelucrarea simultană a două flancuri ale dintelui, cu două capete portcuțite, având centre diferite ale axelor de rotație.

În ceea ce privește angrenajele, hipoide, mult timp s-a menținut ideea emisă încă în secolul 19 că este inutil să se efectueze cercetări complicate pe acest subiect când este posibil a se evita folosirea lor în construcția mașinilor. Abia după anul 1930, odată cu dezvoltarea extraordinară a construcției de automobile, apar și primele realizări în acest domeniu, fundamentate teoretic de către Ernest Wildhaber și puse în practică de firma Gleason. Lucrarea care a făcut cunoscute mai pe larg, în Europa, principalele probleme teoretice ale angrenajelor hipoide a fost „Theorie et calcul des engrenages hypoïds“, publicată de J. Capelle la Paris în anul 1949.

În prezent există trei sisteme de danturat conic curb care se aplică majoritar în producție, respectiv, în arc de cerc cu înălțime variabilă cit și cu înălțime constantă (Gleason), cu dinți orientați după curbe cicloidale (Elloid și Cyclopaloid) și cu dinți orientați după o evolventă (Paloid), aceste ultime sisteme (cicloidale și în evolventă) utilizând numai dantură cu înălțimea constantă a dintelui.

În ultimul timp sistemul Paloid a pierdut teren datorită sculei, freză melc conică, mult prea complicată, în competiție rămânând sistemele în arc de cerc și după curbe cicloidale, fiecare cu avantaje și dezavantaje, dar cu domenii clare de aplicabilitate.

Ultimele perfecționări majore ale sistemului Elloid datează din anul 1975, când s-a introdus și la mașinile Spiromatic mecanismul cu cap înclinabil, iar la sistemul Gleason, din anii '60, când s-au publicat primele date despre dantura cu înălțimea variabilă cu înclinarea conului de fund al danturii modificată. Dacă în viitorul apropiat noi invenții nu vor răsturna balanța în favoarea unui sistem sau al altuia, putem aprecia că evoluția în acest domeniu este în principiu finalizată și că aceste sisteme vor domina încă mult timp producția de angrenaje conice cu dantură curbă. Întrucât perioada de evoluție a angrenajelor conice cu dantură curbă și a angrenajelor hipoide, respectiv a utilajelor de producere a acestor angrenaje, a

coincis cu primele trei pătrimi din secolul nostru, literatura tehnică prezintă o serie întreagă de încercări, metode, sisteme și utilaje care, în multe cazuri, încep să nu mai prezinte decât un interes istoric, ceea ce complică în mare măsură înțelegerea și crearea unei viziuni practice asupra acestei probleme. O sistematizare și o analiză comparativă a acestor sisteme există în mod cert la firmele specializate, dar din aceste materiale s-au publicat până în prezent numai unele părți și date, care în totalitatea cazurilor, nu intră în toate detaliile problemelor.

1.3. Clasificarea angrenajelor și locul angrenajelor conice și hipoide

Angrenajele pot fi clasificate după diferite criterii, din care reținem două :

1. După poziția relativă a axelor; deosebind trei tipuri de bază : cu axe paralele, cu axe concurente și cu axe încrucișate.

2. După forma suprafețelor exterioare ale roților componente; când angrenajele pot fi grupate în două categorii :

— angrenaje la care forma suprafețelor exterioare este aceeași cu a suprafețelor de rostogolire; acestea fiind angrenajele cilindrice, conice și hiperboloidale ;

— angrenaje la care forma suprafețelor exterioare diferă de cea a suprafețelor de rostogolire; ele se realizează pentru arbori încrucișați și pot fi formate din roți cilindrice, avind denumirea de angrenaje elicoidale, sau din roți conice, denumite angrenaje hipoide.

În cazul particular când unghiul de înclinare al dinților la una din roți este aproape 90° , angrenajul elicoidal se numește angrenaj melcat.

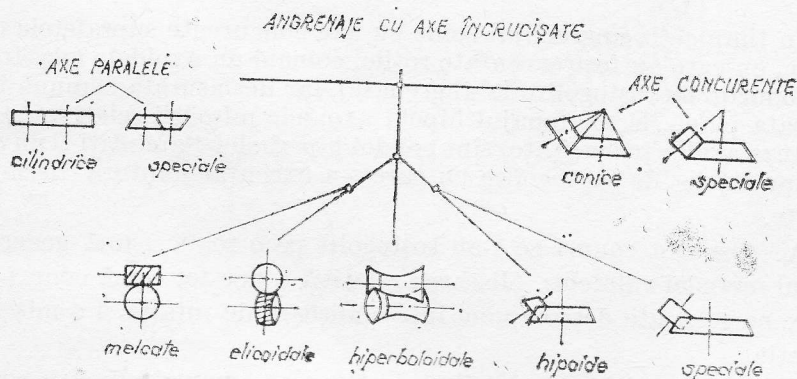


Fig. 1.1.

Angrenajele realizate prin metode speciale de prelucrare a danturii se numesc angrenaje speciale. Astfel, în cazul arborilor paraleli, pot fi compuse din roți conice, angrenaj numit în literatură beveloid, sau, în cazul arborilor concurenți și încrucișați, din câte o roată cilindrică și una conică sau o roată cilindrică și una plană. Aceste angrenaje poartă de obicei diverse denumiri comerciale precum : Spiroid, Planoid, Helicon etc.

Se observă din figura 1.1 că angrenajul hiperboloidal este angrenajul cu axe încrucișate din care derivă angrenajele elicoidale, angrenajele melcate, angrenajele hipoide, precum și o serie de angrenaje speciale. Aceasta se datorește faptului că angrenajul hiperboloidal poate fi considerat ca cel mai general caz, al angrenajelor, din care se pot deduce atât angrenajele cilindrice cât și cele conice.

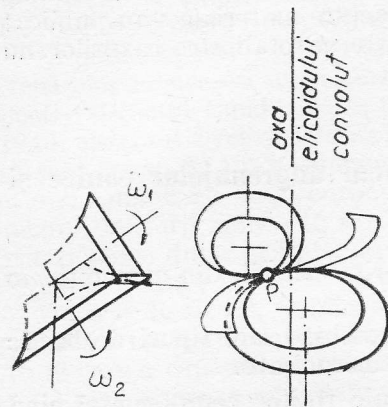


Fig. 1.2.

Astfel dacă distanța între axe se micșorează până cînd devine zero, iar unghiul între axe se păstrează diferit de zero, angrenajul obținut va fi concurent, roțile devenind conice.

Dacă distanța între axe se menține diferită de zero dar unghiul între axe va fi adus la zero, angrenajul devine cilindric cu axe paralele.

Roțile angrenajului hiperboloidal reprezintă o parte din cei doi hiperboloizi tangenți care se rostogolesc unul peste celălalt.

Spre deosebire de suprafețele de rostogolire cilindrice și conice, unde desfășurata comună este plană, la angrenajul hiperboloidal această desfășurată nu este o suprafață plană ci o suprafață elicoidală (fig. 1.2), în general un elicoid convolut.

Datorită asemănării formei roților hiperboloidale cu roțile conice și a posibilității de a prelucra roțile conice s-a recurs la angrenajul cu axe încrucișate în care roțile sînt conice, executate pe mașini de danturat conic, deci la care rostogolirea la prelucrare s-a făcut cu roată plană generatoare, sau cu roată conică generatoare. Acest angrenaj se numește pseudoconic sau hipoid.

În timp ce la angrenajul conic cu axe concurente suprafețele de rostogolire, cu care au fost executate roțile, coincid cu axoidele mișcării relative (conurile de rostogolire la angrenare), iar desfășurata comună în plan este roata plană, la angrenajul hipoid axoidele mișcării relative în spațiu (din cauza axelor încrucișate) sînt cei doi hiperboloizi amintiți și nu coincid cu suprafețele de rostogolire cu care s-a executat dantura fiecărei roți în parte.

Acestea sînt conuri ce s-au rostogolit pe o roată plană generatoare în cazul metodei ruletelor. Mișcarea relativă a acestor două conuri este o mișcare ce se poate descompune într-o mișcare de rotație și o mișcare de translație.

Ca și în cazul hiperboloizilor, desfășurata comună mișcării conurilor este tot o suprafață elicoidală întrucît conurile asigură aceeași mișcare ca și suprafețele hiperboloidale. Putem considera că roata plană generatoare pe care s-a efectuat rostogolirea la prelucrare aproximează, în ultimă instanță, o porțiune din această suprafață elicoidală.

Evident, pentru a se realiza această, alegerea poziției dinților celor două roți conice nu se poate face la întîmplare, ci trebuie să se respecte o anumită lege.

1.4. Prelucrarea roților conice prin metoda rostogolirii

Prelucrarea danturilor prin metoda rostogolirii este azi generalizată, astfel încît este acceptată ca un fapt de la sine înțeles, de către cei ce au tangență cu tehnica angrenajelor.

Mai puțin cunoscut este faptul că această metodă are două variante și anume prelucrarea prin metoda ruletelor și prelucrarea prin metoda suprafețelor înfășurătoare.

Întrucît la prelucrarea roților dințate cilindrice s-a generalizat folosirea metodei ruletelor, există tendința de a se transpune acest lucru și în ceea ce privește roțile dințate conice.

Realitatea este că în domeniul roților conice se folosesc ambele metode, deși ele conduc la rezultate incompatibile, o roată dințată conică prelucrată prin metoda ruletelor neangrenînd cu o roată dințată conică prelucrată prin metoda suprafeței înfășurătoare, chiar dacă au aceleași elemente geometrice de bază.

Tendința care s-a conturat (fără a fi absolută), în ceea ce privește folosirea acestor metode, constă în utilizarea metodei ruletelor la unicate și serii mici, iar a suprafeței înfășurătoare în special la seriile mari și foarte mari.

Pentru precizarea acestor noțiuni vom apela la prelucrarea roților cilindrice prin rostogolire cu o sculă avînd profilul de cremalieră. Dacă se imaginează două roți dințate cilindrice în angrenare, vor exista două cercuri de rostogolire care în timpul angrenării se rostogolesc unul peste altul fără alunecare (rulează).

Ambele cercuri rulează în același timp și pe dreapta care este linie de referință a cremalierei (fictive) de referință (v. fig. 1.3).

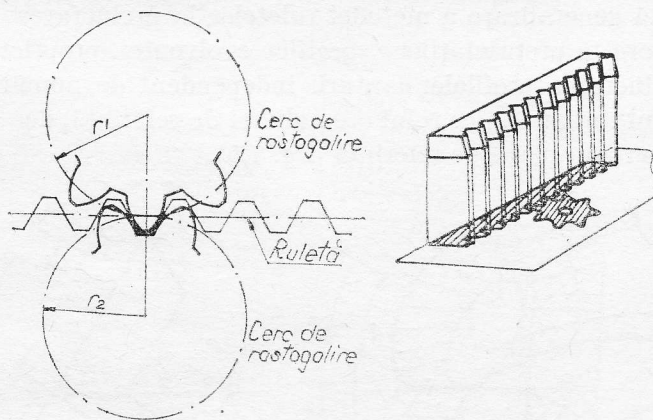


Fig. 1.3

Întrucît ambele roți angrenează cu aceeași cremalieră de referință, vor angrena și între ele. Materializînd cremaliera de referință printr-o sculă cremalieră generatoare se pot prelucra independent cele două roți, care vor angrena între ele.

În acest caz linia medie a cremalierei de referință este ruleta, iar ei îi este asociat profilul trapezoidal al dintelui.

În același mod se petrec lucrurile și la prelucrarea roților cilindrice cu roata cuțit. Cercul de rostogolire al roții cuțit constituie ruleta și, prin angrenare cu fiecare din roțile de prelucrat, profilul dinților roții cuțit, asociat ruletei, generează pe fiecare roată danturi care apoi vor angrena între ele (fig. 1.4).

În ambele cazuri, ruleta și profilul dintelui atașat ei sint independente de numărul de dinți al roților de prelucrat, ceea ce a asigurat generalizarea metodei ruletelor la prelucrarea roților dințate cilindrice.

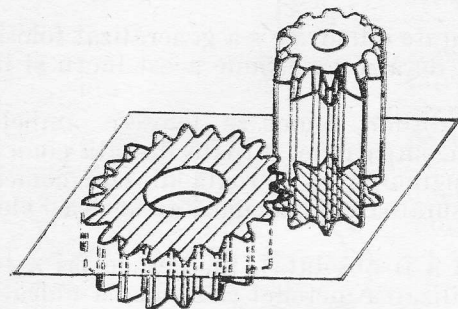


Fig. 1.4.

În cazul generării prin suprafețe înfășurătoare, dacă ne referim la cazul prelucrării cu roată cuțit, ar trebui să executăm cuțite roată având numărul de dinți și profilul identic cu al roților angrenajului și să prelucram cu fiecare roata pereche, necesitind în consecință două cuțite diferite pentru a prelucra un angrenaj, în situația cind cele două roți ale angrenajului sint diferite.

Generarea suprafeței dintelui se face deci direct de către o sculă ce materializează profilul dintelui roții pereche, fără a mai recurge la o ruletă cu un profil intermediar,

Evident aplicarea acestei metode în cazul angrenajelor cilindrice nu este rațională din motive economice, curent fiind folosită numai la angrenajul melcat pentru prelucrarea roții melcate, executind o freză ce are profilul melcului conjugat.

Această generalizare a metodei ruletelor la prelucrarea roților cilindrice se datorește proprietăților specifice evolventei, proprietăți care fac posibilă prelucrarea profilelor danturii independent de numărul de dinți.

În cazul roților conice rolul cremalierii de referință, dec și al ruletei este jucat de roata plană de referință (fig. 1.5).

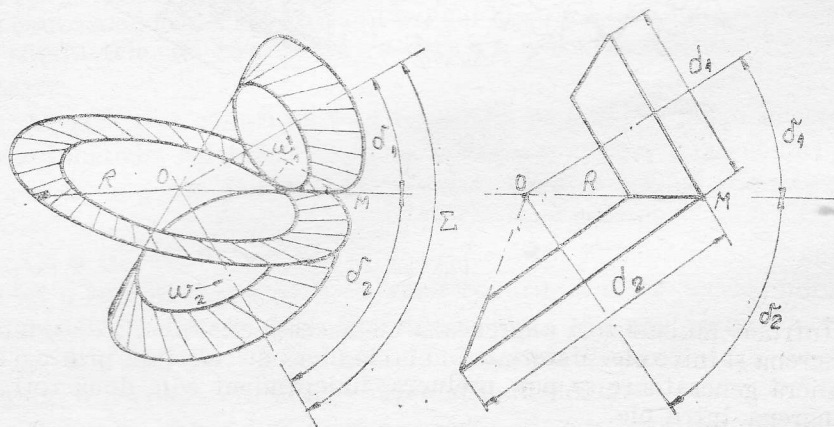


Fig. 1.5.

În acest caz însă, roata plană de referință nu este funcție numai de pasul danturii, ci și de unghiul între axele angrenajului și de raportul de transmitere, deci, implicit, de numărul de dinți al roților respective.

Astfel, din fig. 1.5 rezultă :

$$d_1 = m \cdot z_1, \quad d_2 = m \cdot z_2, \quad \delta_1 + \delta_2 = \Sigma, \quad i = \omega_1/\omega_2 = z_2/z_1, \\ \sin \delta_1 = d_1/2R \text{ și } \sin \delta_2 = d_2/2R;$$

de unde

$$\sin \delta_2/\sin \delta_1 = \sin \delta_2/\sin (\Sigma - \delta_2) = d_2/d_1 = z_2/z_1 = i. \quad (1.1)$$

Dezvoltind relația $\sin \delta_2/\sin (\Sigma - \delta_2) = i$ se obține

$$\operatorname{tg} \delta_1 = \sin \Sigma / (i + \cos \Sigma) \text{ și } \operatorname{tg} \delta_2 = i \sin \Sigma / (1 + i \cos \Sigma). \quad (1.2)$$

Întrucit $d_1/(2\sin \delta_1) = R$, înlocuind în această formulă cu expresiile

$$d_1/2 = r_1, \quad \sin \delta_1 = \operatorname{tg} \delta_1 / \sqrt{1 + \operatorname{tg}^2 \delta_1} \text{ și } \operatorname{tg} \delta_1 = \sin \Sigma / (i + \cos \Sigma),$$

rezultă

$$R = r_1 \sqrt{i^2 + 2i \cos \Sigma + 1} / \sin \Sigma. \quad (1.3)$$

Din acest motiv, în anumite condiții la roțile conice este rațional ca scula să reproducă forma dintelui uneia dintre roțile angrenajului și să genereze direct, prin rostogolire și înfășurare, roata pereche. Metoda de prelucrare FORMATE, dezvoltată de firma Gleason, este o aplicație a generării prin metoda suprafeței înfășurătoare.

Principiul acestei metode este ilustrat în fig. 1.6.

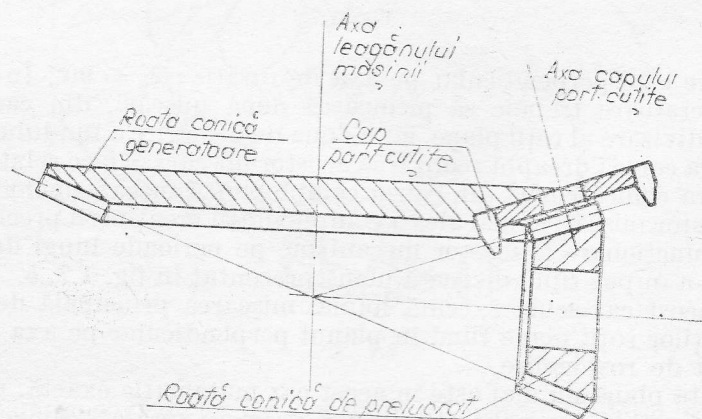


Fig. 1.6.

Se vede din cele prezentate că roata plană de referință este elementul de bază pentru generarea danturii conice prin rostogolire la metoda ruletelor, lucru determinat și de faptul că roata plană de referință poate fi relativ ușor reprodusă ca roată plană generatoare (relativ întrucit materializarea formei dinților roții plane ridică totuși o serie de probleme).

După cum se vede din fig. 1.7 așezarea suprafețelor dinților roții plane se poate face în trei moduri, determinate de mișcările pe care trebuie să le execute scula în raport cu planul de divizare al roții plane.

În fig. 1.7, *a* este reprezentat cazul danturii conice standard cu înălțime variabilă, la care înălțimea dintelui este proporțională cu modulul la diverse raze, iar roata plană este matematic exactă, adică planul său

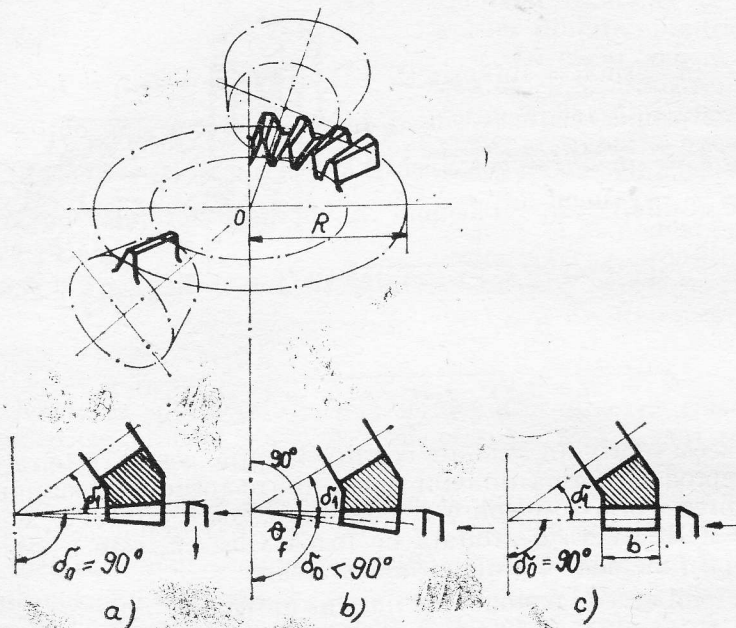


Fig. 1.7.

de divizare este perpendicular pe axa de rotație: $\delta_0 = 90^\circ$. În acest caz scula generatoare trebuie să primească două mișcări, din care una în planul de divizare al roții plane, iar a doua de urmărire a fundului danturii. La dantura conică dreaptă realizarea acestor mișcări se face relativ simplu. La dantura conică curbă din cauza complexității menținerii preciziei foarte mari de funcționare a acestor mecanisme pe perioade lungi de timp, în practică s-a impus tipul de roată plană prezentat în fig. 1.7, *b*.

În acest caz scula execută numai mișcarea principală de așchiere, vârful dinților roții plane fiind în planul perpendicular pe axa de rotație a mișcării de rostogolire.

Roata plană nu mai este în acest caz matematic exactă, planul său de divizare fiind în realitate aproximat cu o suprafață conică, abatere ce poate fi mai mare sau mai mică după mărimea unghiului piciorului dintelui θ_f al roții de prelucrat.

Modificarea formei roții plane duce la unele abateri ale danturii roților angrenajului conic, abateri care conduc la faptul că suprafețele laterale ale dinților nu mai sint matematic perfect conjugate. Corectarea acestor abateri se face pe calea modificării reglajelor calculate, ale mașinii de danturat, pentru roata plană matematic exactă și este strict necesară în cazul angrenajelor de mare capacitate sau de precizie.

O ultimă formă, care a căpătat o mare răspîndire la angrenajele conice cu dantură curbă, este cea prezentată în fig. 1.7, c.

Această formă de roată plană, care din punct de vedere al mecanismelor care o generează întrunește avantajele formei din cazul b, este matematic exactă avînd planul de divizare perpendicular pe axa de rotație și din această cauză permite obținerea de suprafețe matematic corect conjugate, la dinții angrenajului.

În acest caz înălțimea dintelui roții plane este constantă și dantura generată pe roțile conice ale angrenajului prin rostogolire va rezulta cu înălțime constantă.

Formele dinților prezentate în fig. 1.7 corespund secțiunii radiale pentru roata plană cu dinți drepți.

În cazul roților conice cu dantură curbă, formele de dinți examinate pot exista, dar, în realitate, dintele este amplasat pe un sector din roata plană și nu în planul radial al acesteia.

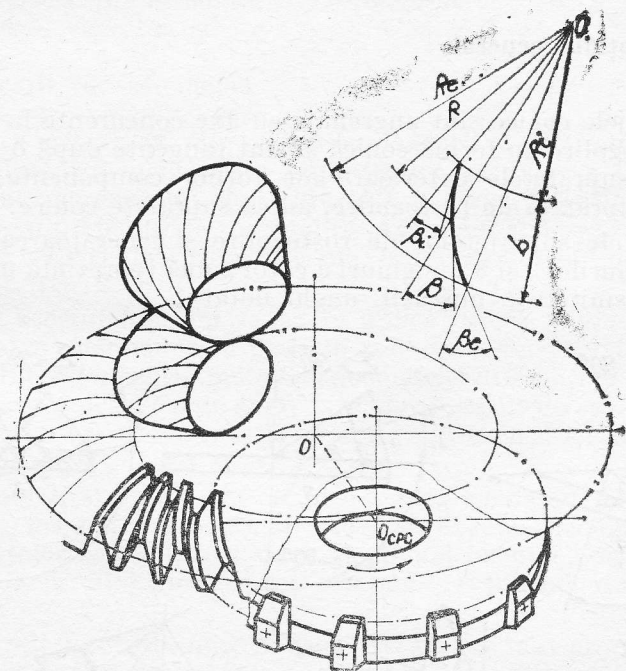


Fig. 1.8.

După cum se vede în fig. 1.8, în cazul metodei ruletei, scula (capul portcuțite) materializează un dinte al roții plane generatoare. Roata plană generatoare (imaginară) reproduce roata plană de referință, roată care determină dantura roților componente ale angrenajului. Arcul dintelui, acoperind un sector din roata plană mai mare decît pasul unghiular, determină un grad de acoperire suplimentar, numit grad de acoperire axial (ϵ_β) sau grad de acoperire prin înaintarea flancului. Evident există și gradul de acoperire normal determinat de angrenarea profilelor (ϵ_α), în final rezultînd gradul de acoperire total ($\epsilon = \epsilon_\alpha + \epsilon_\beta$).

2

Dantura conică

2.1. Angrenaje conice

2.1.1. Noțiuni generale

Angrenajele conice sînt angrenaje cu axe concurente la care suprafețele de rostogolire au formă conică și sînt tangente după o generatoare comună, iar suprafețele exterioare ale roților componente au aceeași formă ca și suprafața de rostogolire, adică suprafețe conice.

Între axele suprafețelor de rostogolire și generatoarea comună se stabilesc unghiurile δ_1 și δ_2 , unghiuri a căror sumă reprezintă unghiul între axele de transmitere a mișcării, unghi notat Σ .

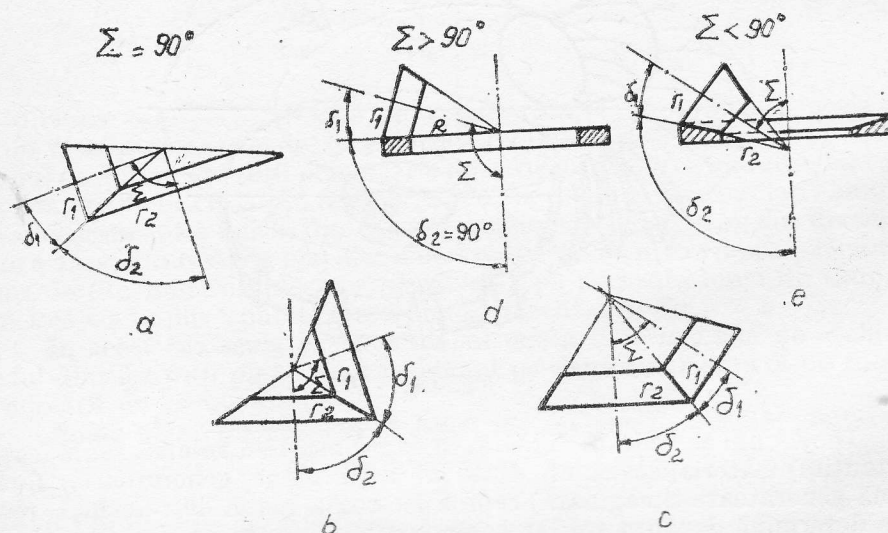


Fig. 2.1.

În cazul cînd unul din aceste unghiuri este de 90° , conul respectiv se transformă într-o suprafață plană, dantura fiind înscrisă într-un cerc pe această suprafață.

Angrenajul capătă în această situație denumirea de angrenaj conic cu roată plană.

Roata plană în angrenajul conic corespunde cremalierii din angrenajul cilindric, ea fiind intermediară între roata conică cu dantură exterioară și cea cu dantură interioară.

Din punct de vedere geometric, dantura angrenajului conic corespunde unor suprafețe conjugate definite conform teoriei angrenării, dar studiul acestor suprafețe pune o serie întreagă de probleme, a căror rezolvare nu se face absolut exact din punct de vedere matematic ci procedându-se la o serie de aproximații, spre a se stabili o metodologie de calcul mai larg accesibilă și, totodată, spre a se asigura posibilitatea de execuție.

Din punct de vedere cinematic, problema care se pune este de a determina prin calcul dimensiunile danturii și limitele între care există posibilitatea de generare a suprafețelor conjugate ale dinților. Acest studiu al angrenajului conic prezintă o serie de dificultăți, dat fiind faptul că suprafețele de rostogolire (axoidele) sînt suprafețe conice și că cele două cercuri de rostogolire ale bazei axoidelor nu se găsesc în același plan (fig. 2.2.).

Datorită acestui fapt nu se poate aplica direct teoria angrenării, dezvoltată pentru angrenarea în plan, în vederea determinării caracteristicilor danturii. Evident, prin metodele geometriei diferențiale este posibil studiul teoretic al acestui tip de angrenare, dar relațiile de calcul sînt complicate, ceea ce nu le conferă o utilitate imediată fără programe de calcul foarte bine puse la punct [38].

O altă cale de studiu a fost ca, prin analogie cu angrenarea în plan, să se dezvolte o geometrie a angrenării teoretic exactă, plecînd de la încadrarea suprafețelor conice într-o sferă și aplicînd formulele trigonometriei sferice (fig. 2.3), profilul dintelui roților conice rezultînd după o evolventă sferică.

Dintele roții plane obținute în acest caz nu are însă profil rectiliniu, ci unul cu punct de inflexiune, ceea ce reprezintă complicații constructive în ceea ce privește realizarea sculelor (fig. 2.4).

Pentru a elimina acest neajuns se utilizează un profil rectiliniu pentru dinții roții plane, dar, în acest caz, linia de angrenare nu mai este cercul C_N din fig. 2.3, ci o curbă în formă de opt pe sferă (curbă numită lemniscată sferică, fig. 2.5) ceea ce complică relațiile de calcul și schimbă analogia cu angrenarea în plan a danturii în evolventă.

Această dantură la care roata plană are dintele de formă trapezoidală în secțiune transversală este cunoscută sub numele de dantură octoidală (fig. 2.5).

După cum s-a indicat la § 1.4, există două cazuri de generare a roții plane :

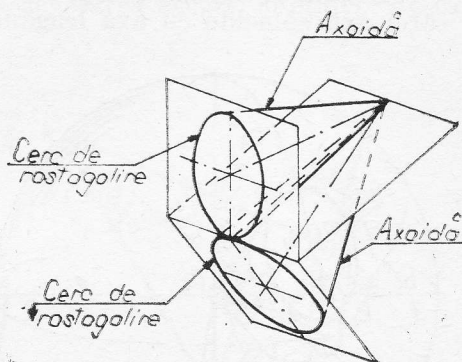


Fig. 2.2.

Cazul I, caz exact din punct de vedere al generării suprafețelor conjugate ale dinților, suprafața de referință a roții plane fiind un plan perpendicular pe axa de rotație (fig. 1.7, a și c).

Cazul II, caz aproximativ, când această suprafață plană de referință este aproximată printr-un con (fig. 1.7, b).

În cazul I, ilustrat în fig. 2.6, elementul generator este roata plană a cărei axă coincide cu axa leagănelui mașinii de danturat.

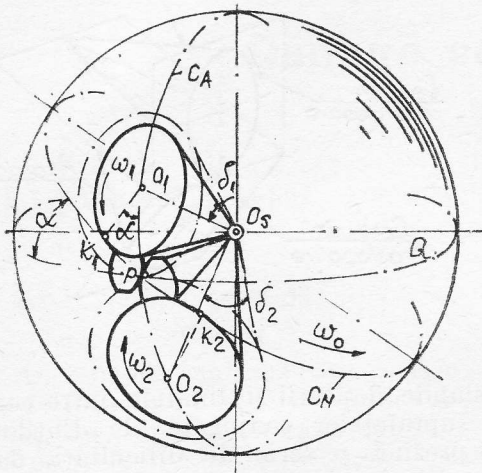


Fig. 2.3.

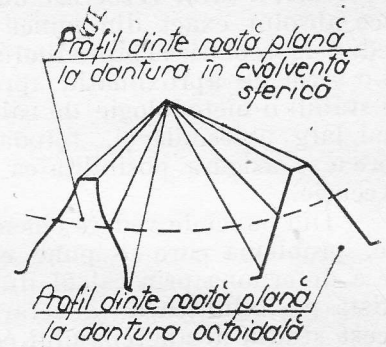


Fig. 2.4.

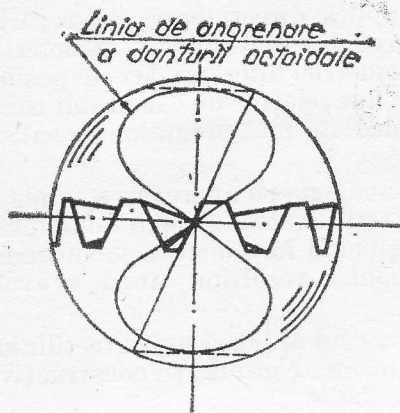


Fig. 2.5

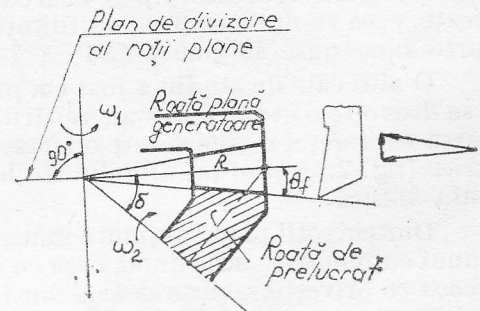


Fig. 2.6.

Roata conică de prelucrat avind unghiul conului de referință δ este așezată astfel încît virful acestui con să cadă exact în centrul roții plane.

Rostogolirea fără alunecare a conului de referință a roții de prelucrat pe planul de referință al roții plane se exprimă prin relația

$$R\omega_1 = r\omega_2 = R \cdot \omega_2 \cdot \sin \delta, \text{ de unde } i = \omega_1/\omega_2 = \sin \delta. \quad (2.1)$$

Transpunând aceasta în fig. 2.7 planul NTO reprezintă flancul din-

În aceeași figură este indicată generarea acestei suprafețe de către muchia aschietoare a sculei.

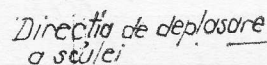


Fig. 2.7.

Traiectoria cuțitului, a cărui muchie așchietoare descrie flancul unui dinte, coincide cu generatoarea conului de picior, respectiv este înclinată cu unghiul θ_f în raport cu planul de referință.

Notăm cu α_s unghiul de înclinare al muchiei aşchietoare a sculei în plan normal şi cu α_t unghiul de angrenare rezultat pe roata plană înscrisă în sferă.

Conform trigonometriei sferice [40], într-un triunghi sferic ale cărui laturi sînt arce de cerc mare (ΔMNT) există relația

$$\cos(90^\circ - \alpha_t) = \sin \alpha_s \cos \theta_f, \text{ respectiv } \sin \alpha_t = \sin \alpha_s \cos \theta_f. \quad (2.2)$$

Rezultă $\alpha_t < \alpha_s$, sau cu alte cuvinte unghiul de angrenare frontal al roții plane diferă de unghiul de presiune al sculei.

Această diferență este practic neglijabilă la precizia curentă de prelucrare sau nu are nici o influență dacă unghiul piciorului dintelui θ , este același la roată și la pinion.

Pentru danturile de precizie este necesar însă corectarea unghiului sculei în așa fel încât să se obțină o angrenare corectă.

În fig. 2.8 sint reprezentate vaorile $\Delta\alpha_i = \alpha_s - \alpha_i$ în funcție de unghiurile α_s și θ_i .

Situația din cazul II, cînd din cauza construcției simplificate a mașinii de danturat traiectoria sculei este perpendiculară pe axa de rotație a roții plane (fig. 2.9), elementul generator nu mai este o roată plană la care suprafața de referință este un plan, ci o roată plană la care suprafața de referință este o suprafață ușor conică.

Pentru a se efectua rostogolirea fără alunecare a conului de referință al roții de prelucrat pe cel al roții plane generatoare trebuie să existe relația $\overline{MM'} \cdot \omega_1 = r\omega_2$, de unde raportul de transmitere va fi,

$$i = \omega_1/\omega_2 = r/\overline{MM'} = \overline{OM} \sin \delta / \overline{OM} \cos \theta_f = \sin \delta / \cos \theta_f \quad || \quad (2.3)$$

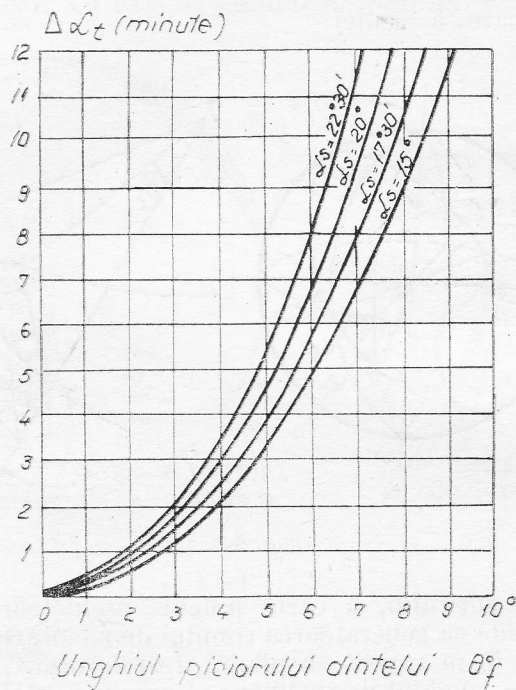


Fig. 2.8

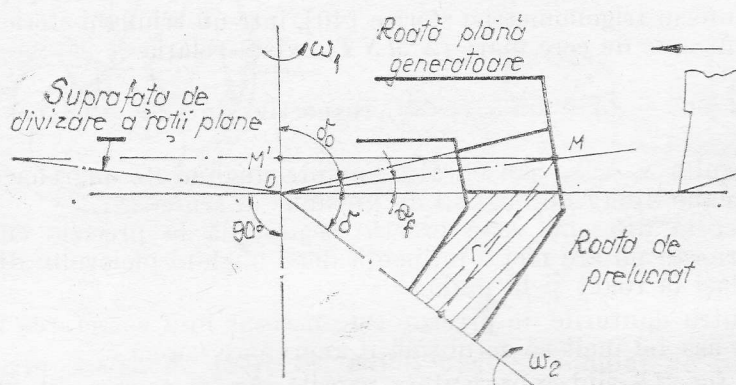


Fig. 2.9

Considerind încadrarea într-o sferă ca în fig. 2.10, triunghiul sferic NTT' este format numai din arce de cerc mare, suprafața plană NTO constituind flancul dintelui roții plane.

Unghiul α_s este unghiul de înclinare al muchiei tăietoare a sculei în plan normal pe direcția de deplasare a sculei și α_t unghiul de angrenare a roții plane generatoare.

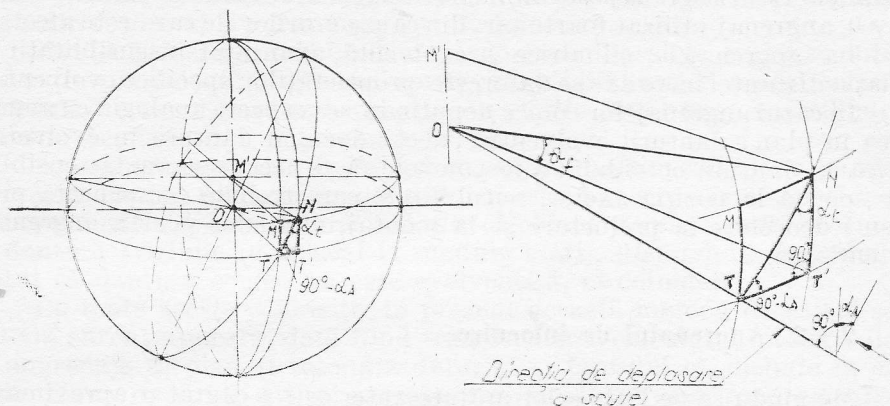


Fig. 2.10

În acest triunghi sferic există relația

$$\cos (90^\circ - \alpha_s) = \sin \alpha_t \cos \theta_f, \text{ respectiv } \sin \alpha_s = \sin \alpha_t \cos \theta_f. \quad (2.4)$$

Rezultă $\alpha_t > \alpha_s$ sau cu alte cuvinte și în acest caz unghiul de angrenare frontal al roții plane diferă de unghiul de presiune al sculei, dar în sens invers decît în cazul precedent.

Dacă unghiurile piciorului dinților unui angrenaj sînt diferite (spre exemplu în cazul angrenajelor corijate prin deplasarea profilului), respectiv $\theta_{f1} \neq \theta_{f2}$, va exista și o diferență de unghi de angrenare între roți, chiar dacă sînt prelucrate cu aceeași sculă și roata plană este de același tip, dar diferențele sînt mici.

Cînd roata corespunde unui tip de roată plană iar pinionul unui alt tip, diferența între unghiurile de angrenare rezultă mai mare, întrucît diferențele de unghi de angrenare sînt în sens contrar (v. și relația 2.2). Din această cauză roțile unui angrenaj conic trebuie să fie prelucrate numai cu același tip de roată generatoare.

Chiar și în acest caz, sînt necesare corecții de potrivire a petei de contact, aceasta fiind singura cale prin care se poate asigura o calitate superioară.

În afara acestor probleme determinate de tipul roții plane și de configurația sferică, o pereche de roți dințate conice cu dantură octoidală, teoretic, angrenează corect numai cînd liniile lor de angrenare (cele două lemniscate sferice) se suprapun perfect.

Această condiție este îndeplinită atunci cînd conurile de divizare coincid cu conurile de rostogolire. Drept urmare aceste angrenaje sînt sensibile la variația unghiului între axe și la abaterile de concurență a axelor, abateri care duc la modificarea conurilor de rostogolire în angrenaj, în timp ce conurile de divizare sînt precizate definitiv prin execuție.

Din acest motiv, deplasarea profilului danturii conice se execută numai compensat, respectiv $\Sigma x_r = 0$, deplasarea profilului fiind totdeauna pozitivă la pinion și negativă la roată, din necesitatea de a consolida dantura pinionului. În STAS 915/4—81 acest angrenaj este denumit zero deplasat. În afara acestui angrenaj este amintit și angrenajul conic deplasat, la care $\Sigma x_r \neq 0$, angrenaj utilizat foarte rar, din cauza erorilor de care este afectat.

La angrenajele cilindrice în evolventă, avantajul insensibilității la variația distanței între axe se datorește proprietăților specifice evolventei.

În cazul angrenajelor conice neputîndu-se respecta analogia cu angrenarea în plan a danturii evolventice, deci înlocuind dantura în evolventă sferică cu dantura octoidală, a fost nevoie să se accepte această sensibilitate sporită la poziția axelor, sensibilitate care trebuie compensată prin măsuri deosebite la prelucrare și la montaj, mai ales pentru angrenaje pretențioase.

2.1.2. Angrenajul de înlocuire

Mergîndu-se pe linia celor arătate anterior s-a căutat o aproximație care să dea erori de calcul admisibile și care să permită un calcul al danturii conice bazat pe sistemul cunoscut de calcul al angrenării danturii evolventice în plan.

Un astfel de calcul se poate face prin aplicarea metodei „angrenajului de înlocuire”, numită și aproximația lui Tredgold.

În acest caz studiarea roții plane se face prin înlocuirea suprafeței sferice cu o suprafață cilindrică, suprafață ce poate fi desfășurată, iar pentru studiarea angrenajului conic se înlocuiește suprafața calotelor sferice, ce reprezintă baza axoidelor, prin cîte o suprafață conică numită con suplimentar.

Cele două suprafețe conice au ca bază cercurile de rostogolire ale roților conice și generatoarele lor sînt tangente la sferă în timp ce genera-

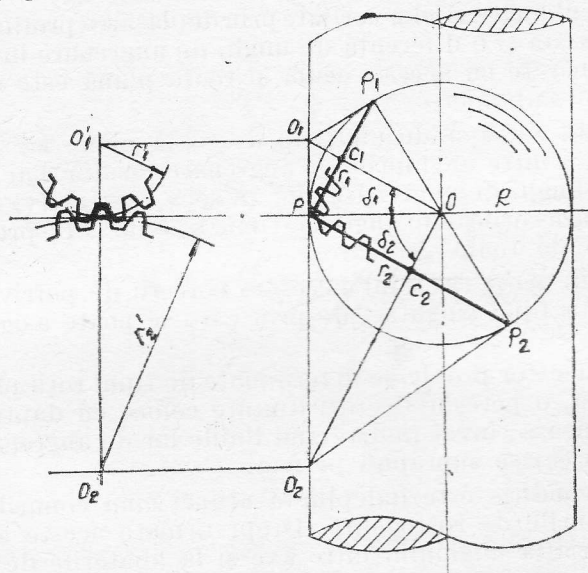


Fig. 2.11

toarele ce trec prin polul angrenării P , respectiv $\overline{O_1P}$ și $\overline{O_2P}$, se confundă cu generatoarea cilindrului amintit.

În acest fel prin desfășurarea cilindrului și a conurilor de înlocuire O_1PP_1 și O_2PP_2 se obține o angrenare în același plan a două roți cilindrice cu razele roților r'_1 și r'_2 , numite roți de înlocuire.

Evident, desfășurând cilindrul și cele două suprafețe conice se obține o situație echivalentă angrenării conice, iar studiul angrenajului conic se transformă (cu oarecare aproximație) în studiul unui angrenaj cilindric, utilizând relațiile din angrenarea în plan.

Aproximarea constă în faptul că, în realitate, profilul de pe sferă al danturii conice nu corespunde exact cu cel de pe suprafața conică, ceea ce duce la unele diferențe între valorile calculate și valorile reale obținute pe dantură (vizibile în special la module mari), distorsiuni ce includ și faptul că dantura conică nu este evolventică, ci octoidală.

Cu toate aceste diferențe, în prezent această metodă de calcul este metoda curent aplicată, dată fiind transformarea calculului într-un calcul de angrenaje în plan și totodată datorită și faptului că include în sine roata plană cu dinți având secțiune trapezoidală, roată care constituie elementul teoretic fundamental al construcției mașinilor de prelucrat dantură conică prin generare cu rostogolire prin metoda ruletelor.

Din fig. 2.11 se pot determina câteva elemente privind angrenajul conic, elemente necesare în precizarea angrenajului cilindric de înlocuire.

Astfel raportul de transmitere al angrenajului în cazul cind unghiul între axe $\Sigma = 90^\circ$ (angrenaj conic ortogonal) va fi

$$i = \omega_1/\omega_2 = r_2/r_1 = z_2/z_1 = R \sin \delta_2 / R \sin \delta_1 = \cos \delta_1 / \sin \delta_1 = \operatorname{ctg} \delta_1, \quad (2.5)$$

iar elementele angrenajului de înlocuire, următoarele :

$$r'_1 = r_1 / \cos \delta_1 \text{ și } r'_2 = r_2 / \cos \delta_2 \text{ — razele roților de înlocuire.} \quad (2.6)$$

$$z'_1 = z_1 / \cos \delta_1 \text{ și } z'_2 = z_2 / \cos \delta_2 \text{ — numărul de dinți al roților de înlocuire} \quad (2.7)$$

Roțile de înlocuire fiind elemente imaginare de calcul, se lucrează pentru numerele de dinți de înlocuire cu numerele fracționare reeșite din calcul.

Raportul de transmitere al roților de înlocuire va fi

$$\begin{aligned} i' = r'_2/r'_1 = z'_2/z'_1 &= (z_2/\cos \delta_2) \cdot (\cos \delta_1/z_1) = i \cos \delta_1 / \cos \delta_2 = \\ &= i \cos \delta_1 / \sin \delta_1 = i \operatorname{ctg} \delta_1. \end{aligned} \quad (2.8)$$

Întrucît $i = \operatorname{ctg} \delta_1$, (2.5) rezultă că raportul de transmitere al angrenajului de înlocuire, exprimat prin raportul de transmitere al angrenajului înlocuit, este

$$i' = i^2 = \operatorname{ctg}^2 \delta_1. \quad (2.9)$$

În mod asemănător, utilizînd (2.7) și ținînd seama de relația $\cos \delta_1 = \cos \delta_1 / \sqrt{1 + \operatorname{ctg}^2 \delta_1}$, rezultă numerele de dinți ale angrenajului de înlocuire exprimate prin numerele de dinți și raportul de transmitere al angrenajului

najului înlocuit :

$$z'_1 = z_1 \sqrt{1 + i^2/i} \text{ și } z'_2 = z_2 \sqrt{1 + i^2}. \quad (2.10)$$

Cele mai răspândite angrenaje conice sînt angrenajele ortogonale dar se pot întîlni și cazuri cînd unghiul între axe este diferit de 90° . Un asemenea angrenaj se numește angrenaj conic unghiular.

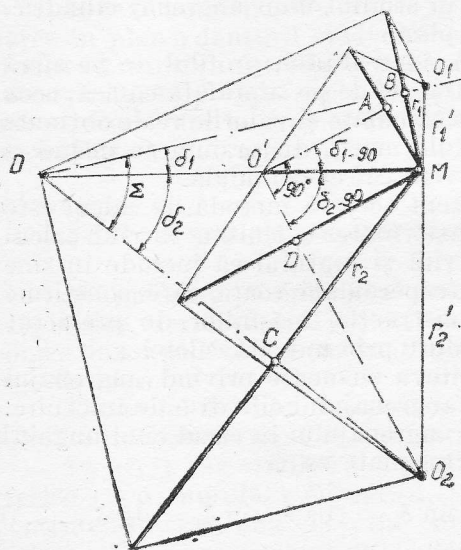


Fig. 2.12

2.12). Se notează la acest angrenaj unghiurile conurilor de referință prin δ_{1-90} și δ_{2-90} .

Întrucît cele două angrenaje (angrenajul conic unghiular și angrenajul conic ortogonal echivalent) au același angrenaj cilindric de înlocuire, profilul lor va fi comun în secțiunea frontală pe conurile suplimentare.

Dacă se notează raportul de transmitere al angrenajului conic ortogonal echivalent prin i_{90} , ținînd cont de relațiile (2.8) și (2.9) se poate scrie $i' = r'_2/r'_1 = i \cos \delta_1 / \cos \delta_2 = i_{90}^2$, unde, conform (2.5),

$$i_{90} = \operatorname{ctg} \delta_{1-90} = \operatorname{tg} \delta_{2-90}. \quad (2.11)$$

În funcție de elementele angrenajului conic unghiular rezultă :

$$i_{90} = \sqrt{i \cos \delta_1 / \cos \delta_2} = \sqrt{(z_2/z_1)(\cos \delta_1 / \cos \delta_2)}. \quad (2.12)$$

Razele pinionului și roții ortogonale echivalente rezultă din expresiile :

$$\begin{aligned} \overline{AM} &= r'_1 \cos \delta_{1-90} = r_1 \cos \delta_{1-90} / \cos \delta_1 = r_{1-90}, \\ \overline{DM} &= r'_2 \cos \delta_{2-90} = r_2 \cos \delta_{2-90} / \cos \delta_2 = r_{2-90}. \end{aligned} \quad (2.13)$$

Deoarece numărul de dinți este proporțional cu razele cercurilor de referință (cercurile de divizare) se poate scrie :

$$z_{1-90} = z_1 \cos \delta_{1-90} / \cos \delta_1 = z_1 \sin \delta_{2-90} / \cos \delta_1 \text{ și } z_{2-90} = z_2 \cos \delta_{2-90} / \cos \delta_2. \quad (2.14)$$

Aceste formule (2.11 ... 2.14) au o mare importanță deoarece permit studierea angrenajului conic unghiular pe baza angrenajului conic ortogonal, valorile și constantele care se aleg pentru proiectare și execuție fiind determinate pentru angrenaje ortogonale.

2.1.3. Bazele geometricei angrenajelor conice

Prima problemă la determinarea unui angrenaj conic o reprezintă stabilirea conurilor de referință pentru un unghi între axe dat, luând în considerare raportul de transmitere al angrenajului.

Fiind vorba de stabilirea elementelor ce determină roțile conice a angrenajului respectiv, evident conurile de referință vor fi conurile de divizare, acestea fiind și conuri de rostogolire (v. §2.1.1)..

Există diverse situații în funcție de unghiul între axele angrenajului, situații ilustrate în figura 2.1.

În cazul angrenajului ortogonal (fig. 2.1. a) dacă se notează cu R generatoarea comună se poate scrie :

$$R \sin \delta_1 = r_1 \text{ și } R \sin \delta_2 = r_2 \text{ de unde } r_1 / \sin \delta_1 = r_2 / \sin \delta_2.$$

Deoarece numărul de dinți este proporțional cu razele iar $\Sigma = 90^\circ$ rezultă : $z_1/z_2 = \sin \delta_1 / \sin \delta_2 = \sin \delta_1 / \cos \delta_1 = \operatorname{tg} \delta_1$, de unde relațiile pentru determinarea angrenajului vor fi :

$$\operatorname{tg} \delta_1 = z_1/z_2 \text{ și } \delta_2 = \Sigma - \delta_1. \quad (2.15)$$

Elementele geometrice ale roții plane vor fi :

$$R = r_1 / \sin \delta_1 = r_2 / \sin \delta_2, R - \text{raza roții plane în punctul P.} \quad (2.16)$$

Cînd angrenajul este ortogonal rezultă

$$R = \sqrt{r_1^2 + r_2^2}. \quad (2.17)$$

Numărul de dinți al roții plane :

$$z_0 = 2R/m_z^* = 2r_1/m \sin \delta_1 = 2r_2/m \sin \delta_2 = z_1/\sin \delta_1 = z_2/\sin \delta_2, \quad (2.18)$$

unde m este modulul danturii.

Pentru angrenajul ortogonal din relația (2.17) rezultă :

$$z_0^* = \sqrt{z_1^2 + z_2^2}. \quad (2.19)$$

În cazul angrenajelor unghiulare (fig. 2.1, b și c) se poate scrie aceiași relație $r_1/\sin \delta_1 = r_2/\sin \delta_2$ de unde :

$$z_1/z_2 = \sin \delta_1 / \sin \delta_2 = \sin \delta_1 / \sin (\Sigma - \delta_1) = \sin \delta_1 / (\sin \Sigma \cos \delta_1 - \cos \Sigma \sin \delta_1).$$

Efectuind calculele rezultă :

$$\operatorname{tg} \delta_1 = \sin \Sigma / [(z_2/z_1) + \cos \Sigma] \text{ și } \delta_2 = \Sigma - \delta_1. \quad (2.20)$$

Pentru determinarea numărului de dinți a roții plane se observă că și în cazul angrenajului conic unghiular relațiile 2.18 sînt valabile. Înlocuind în relația $z_0 = z_1/\sin \delta_1$ cu $\sin \delta_1$ în funcție de $\operatorname{tg} \delta_1$, ținînd cont de relația 2.20 și efectuînd calculele rezultă :

$$z_0 = \sqrt{z_1^2 + [(z_2 + z_1 \cos \Sigma)/\sin \Sigma]^2}. \quad (2.21)$$

În cazul angrenajului cu roată plană, intrucît este cunoscut unghiul $\delta_2 = 90^\circ$, rezultă imediat

$$\delta_1 = \Sigma - 90^\circ. \quad (2.22)$$

Cazul angrenajului conic cu dantură interioară nu se va mai aborda dat fiind faptul că acest tip de angrenaj nu se utilizează în practică.

Luînd în considerare roata plană, dacă examinăm figura 2.13 se observă că aceasta cuprinde planul imaginat PO (plan de referință respectiv plan de divizare și de rostogolire) care se rostogolește fără alunecare

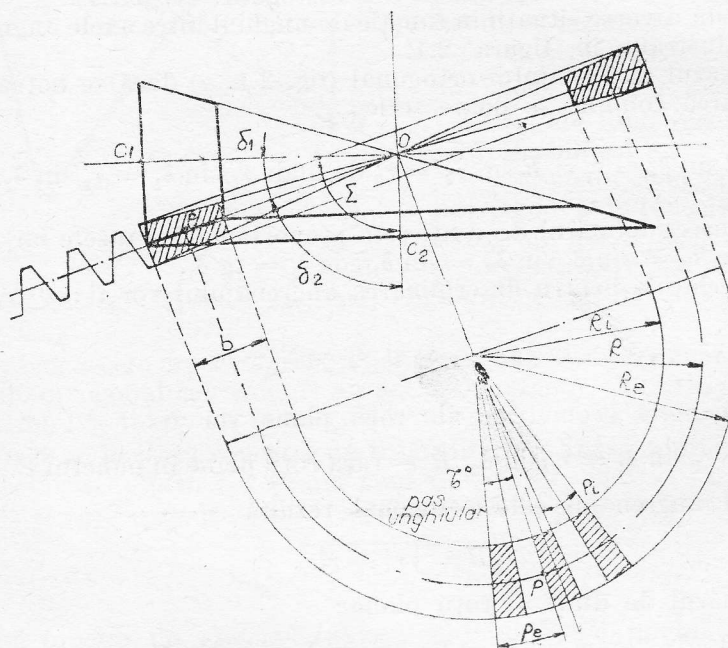


Fig. 2.13

împreună cu conurile de rostogolire ale angrenajului, dinții roții plane fiind distribuiți pe cerc și fiind descrescători în înălțime spre centrul de rotație, în cazul danturii de înălțime variabilă standard.

Pentru dantura conică dreaptă flancurile dinților roții plane constituie un fascicol de plane care se întretaie în centrul roții.

Pasul exterior al danturii p_e se măsoară pe cercul exterior de, rază R_e .

Mărimea pasului pe lățimea danturii variază proporțional cu raza, adică $p_x = 2\pi R_x / z_0$, iar pe un cerc oarecare

$$p_x = 2\pi R_x / z_0. \quad (2.23)$$

Din aceste expresii rezultă :

$$p_x = p_e \cdot R_x / R_e; \quad (2.24)$$

deci pasul este direct proporțional cu raza.

Exprimind pasul în funcție de modul rezultă :

$$m_x = m_e R_x / R_e, \text{ unde } m_e - \text{modulul pe cercul de divizare exterior} \quad (2.25)$$

Modulul mediu în punctul P va fi prin urmare :

$$m_x^m = m_e R / R_e. \quad (2.26)$$

În cazul danturii de înălțime variabilă standard (la care dreptele de fund și de vîrf ale dintelui trec prin virful conului de divizare) modulul este proporțional cu înălțimea dintelui deoarece se poate scrie :

$$R_e / h_e = R_x / h_x, \text{ respectiv } R_x / R_e = h_x / h_e, \text{ de unde ;}$$

$$m_x = m_e \cdot h_x / h_e, \text{ respectiv } h_x = m_x \cdot h_e / m_e. \quad (2.27)$$

Cu toate că demonstrațiile au fost făcute luînd în considerare în figura 2.13 dantura dreaptă, aceste relații sînt valabile și în cazul danturii conice curbe de înălțime variabilă standard.

Excepție face în cazul danturii conice curbe prelucrată prin metodă bilaterală grosimea dintelui și lățimea golului, acestea nemaifiind funcție numai de R_x ci și de unghiul de înclinare al dintelui, unghi variabil în lungul dintelui.

2.2. Angrenaje conice cu dantură curbă

După cum s-a marcat în figura 1.5 rolul cremalierei de referință de la angrenajele cilindrice, la angrenajele conice, este jucat de către roata plană de referință.

Forma danturii roții conice este dată de poziția curbei directoare a dintelui pe roata plană de referință. Din acest punct de vedere angrenajele conice pot fi împărțite în două grupe :

Angrenaje cu dinți rectilinii (drepti și înclinați) și angrenaje cu dinți curbilinii (curbi).

Directoarea dintelui curb face parte dintr-un arc de curbă ale cărei caracteristici depind de principiul de generare al masei de danturat.

În figura 2.14 sînt repre-

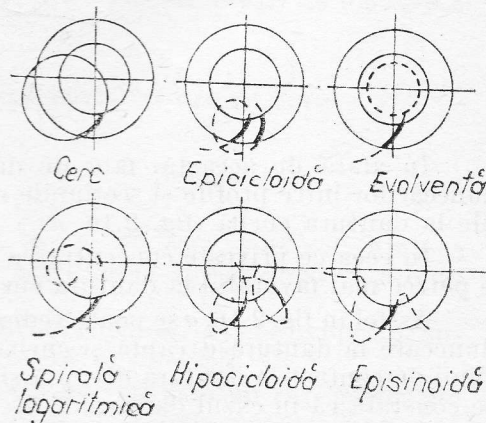


Fig. 2.14

zentate în rîndul I danturile conice curbă cel mai des întîlnite, iar în rîndul II cele care azi prezintă mai mult un interes informativ.

Deși mult timp s-a folosit angrenajul conic cu dinți dreapți o serie de deficiențe ale acestuia au determinat apariția angrenajului conic cu dinți curbi ale cărui principale avantaje sînt :

— Creșterea gradului de acoperire, ceea ce se traduce în funcționare mai liniștită și durabilitate sporită.

— Diminuarea sensibilității la deplasări relative a roților componente prin posibilitatea eliminării concentrărilor de tensiuni în mod mai conveabil la dantura curbă decît la dantura dreaptă.

Aceste deplasări relative apar ca urmare a deformațiilor elastice a ansamblului în timpul funcționării sub sarcină.

— Realizarea prin procedee de fabricație cu productivitate mărită.

Curba realizată în planul de referință pentru direcția dintelui, determină pe conul de rostogolire poziția dinților astfel încît intrarea în angrenare se face cu un grad de acoperire sporit.

În acest fel se asigură o transmitere mai uniformă a sarcinii de la dinte la dinte după cum s-a ilustrat în figura 2.15.

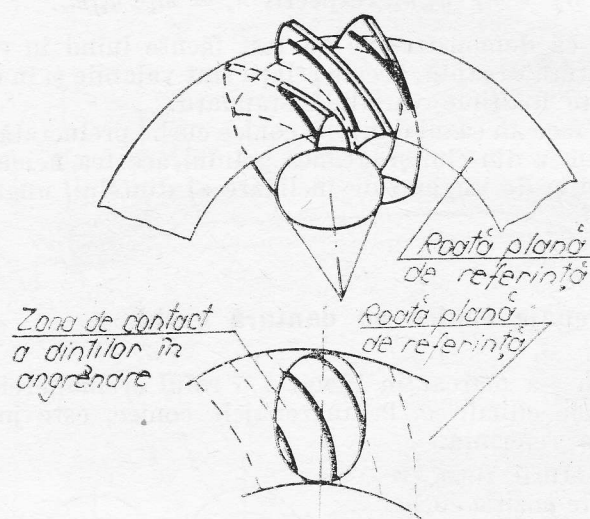


Fig. 2.15

În afară de aceasta, față de dantura dreaptă, însuși distribuția alunecărilor între profile și secțiunile solicitate din dinte sînt mai favorabile la dantura curbă (fig. 2.16, a).

În ceea ce privește concentrarea tensiunilor și în acest caz lucrurile se petrec mai favorabil la dantura curbă decît la cea dreaptă.

Astfel în fig. 2.16, a se poate vedea distribuția forțelor de frecare prin alunecare la dantura dreaptă și curbă iar în fig. 2.16, b distribuția presiunii de contact la dantura dreaptă și curbă în cursul deplasării elastice. Se constată că în cazul danturilor drepte neuniformitatea încărcării dintelui, datorită schimbării poziției roților sub sarcină, poate atinge valori foarte mari prin angrenare pe muchii.

Pentru contracararea acestui fenomen s-a introdus bombarea longitudinală a dinților, dar chiar și în cazul bombării solicitarea este mai favorabilă la dantura curbă, avînd în vedere orientarea curburii dinților în zona de contact, respectiv dublu convexă la dantura dreaptă și concav-convexă la dantura curbă.

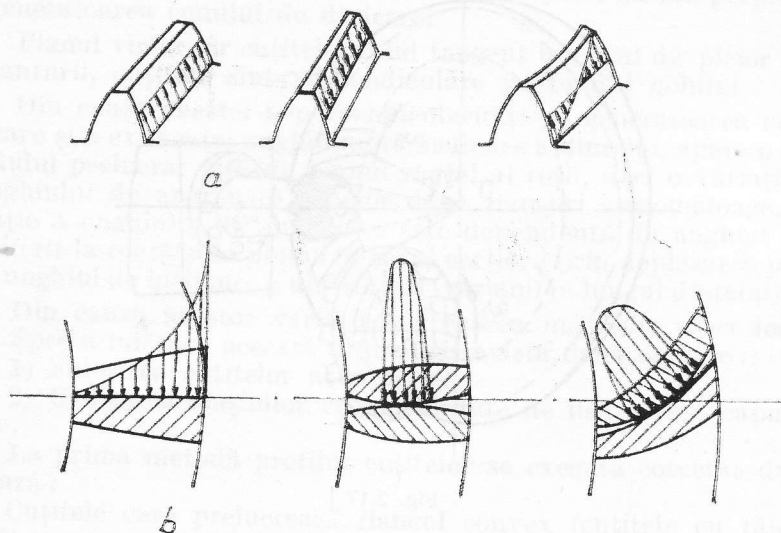


Fig. 2.16

O îmbunătățire a performanțelor roților dințate conice cu dinți drepti se produce în cazul cînd flancul dintelui este rectificat și bombat. Datorită dezavantajelor pe care le prezintă, folosirea danturii conice drepte se limitează la o viteză periferică de 5—8 m/sec. în funcție de clasa de precizie și o turație care nu depășește în general 1000 rot/min.

În cazul roților conice cu dinți curbi la clase de precizie ridicată (danturi rectificate și dinți bombați) se poate ajunge la viteze periferice de 30—40 m/sec.

Mărimea bombării în ambele cazuri se recomandă a fi de 0,05—0,1

2.3. Angrenaje conice cu dantură curbă în arc de cerc

2.3.1. Noțiuni generale

Roțile conice cu dantură curbă în arc de cerc, sînt roți dințate conice la care roata plană de referință are dintele dirijat după un arc de cerc.

Promotorul acestei danturi a fost firma Gleason, ceea ce explică denumirea de dantură Gleason folosită frecvent în practică.

Seula pentru prelucrarea acestui tip de roți este un cap portcuțite de frezat, pe care cuțitele sînt așezate după un cerc de rază egală cu raza de curbura a curbei directe a dintelui de pe roata plană. În timpul

prelucrării roții conice cu astfel de dantură, capul portețiute execută o mișcare de rotație în jurul axei sale ω_1 (mișcarea de așchiere) și o rotație în jurul axei tamburului (leagănului) mașinii ω_2 (mișcarea de rostogolire), figura 2.17.

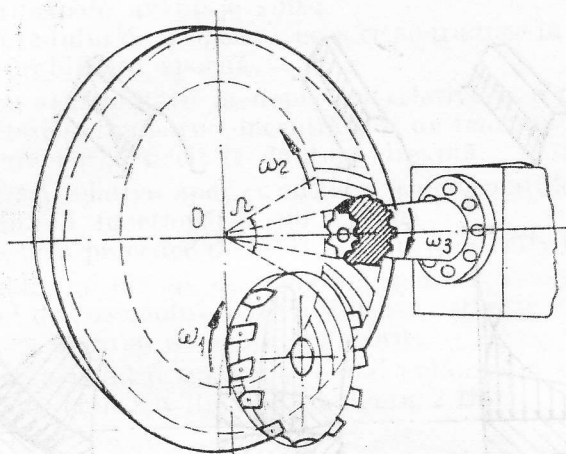


Fig. 2.17

Piesa de prelucrat are o mișcare de rotație ω_3 sincronizată cu mișcarea de rostogolire ω_2 , în acest fel imitându-se angrenarea dintre roata plană și roata de prelucrat, angrenare în timpul căreia cuțitele degajează materialul dintre dinții semifabricatului.

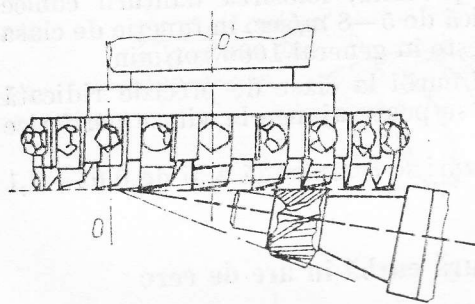


Fig. 2.18

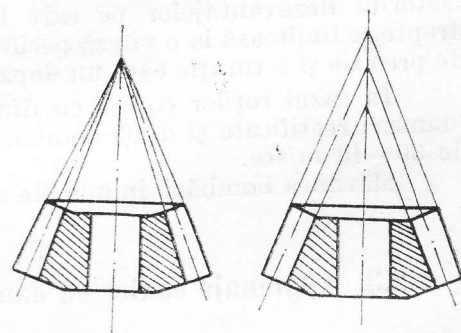


Fig. 2.19

După prelucrarea completă a unui dinte, (rotirea tamburului mașinii cu unghiul Ω), tamburul revine în poziția inițială.

În acest timp roata divizează cu un dinte prelucrarea realizându-se deci prin divizare dinte cu dinte.

În timpul prelucrării planul vârfului cuțitelor este în mod obișnuit tangent la conul de fund al danturii.

După cum s-a văzut anterior există două tipuri de dantură conică curbă prezentate în figura 2.19 :

- 2) Dantură de înălțime constantă.

fiecare din ele prezentînd avantaje și dezavantaje.

În cazul danturii conice în arc de cerc cu înălțime variabilă a dintelui la marea majoritate a mașinilor de danturat cuțitele nu sînt perpendiculare pe generatoarea conului de divizare.

Planul virfurilor cuțitelor fiind tangent la conul de picior (de fund) al danturii, cuțitele sînt perpendiculare pe fundul golului.

Din cauza acestei neperpendicularități pe generatoarea conului de divizare și a existenței unghiului de înclinare a dintelui, apare o asimetrie a golului prelucrat față de planul radial al roții, deci o variație inegală a unghiului de angrenare a celor două flancuri antiomoloage. Această variație a unghiului de angrenare este dependentă de unghiul de picior θ_r (diferit la roată și la pinion în cazul corijării prin deplasarea profilului) și de unghiul de înclinare β al danturii (variabil în lungul dintelui).

Din cauza acestor variații angrenarea nu poate avea loc corect.

Spre a înlătura această dificultate există două metode:

- 1) Folosirea cuțitelor asimetrice.
- 2) Utilizarea mașinilor cu posibilitate de înclinare a capului port-

La prima metodă profilul cuțitelor se execută corectat după cum urmează :

Cuțitele care prelucrează flancul convex (cuțitele cu tăiere interioară) vor avea unghiul profilului (unghiul de presiune sau unghiul de angrenare) mai mare decât valoarea nominală, respectiv $\alpha + \Delta\alpha$, iar cele ce prelucrează flancul concav (cuțitele cu tăiere exterioară), mai mic, respectiv $\alpha - \Delta\alpha$.

Valoarea corecției $\Delta z = \operatorname{tg} \theta_f \sin \beta$ depinde de unghiul θ_f care este constant la o roată dată (diferit în majoritatea cazurilor între pinion și roată) și de unghiul de înclinare β al danturii, unghi variabil pe lățimea roții.

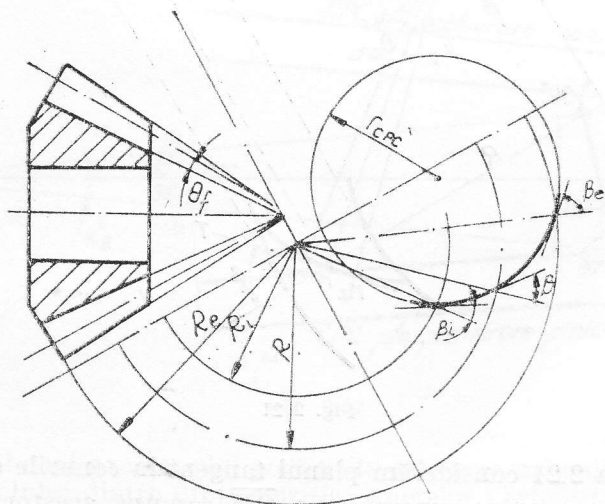


Fig. 2.20

O soluție interesantă în acest sens o reprezintă folosirea mașinilor cu capete inclinabile, metodă prin care se poate elimina nomenclatura complicată de scule necesare în cazul metodei cuțitelor asimetrice.

Totuși datorită faptului că unghiul de înclinare al capului portcuțite este la rândul său variabil în diverse plane mai sînt necesare unele aproximații de calcul suplimentare.

Aceste mașini fiind de dată mai recentă și avînd o construcție mai complicată metoda cuțitelor asimetrice, mai vechi, s-a generalizat și este folosită preponderent în momentul de față.

2.3.2. Bazele geometriei danturii conice în are de cere

După cum s-a precizat anterior din cauza poziției cuțitelor în raport cu generatoarea conului de divizare, la dantura de înălțime variabilă apare necesitatea unei corecții dependente de unghiul piciorului dintelui și unghiul de înclinare α dintelui.

Corecția are drept scop eliminarea abaterii unghiului de angrenare, abatere care afectează în mod diferit pinionul și roata.

Pentru a se elucida originea acestei abateri a unghiului de angrenare vom considera în figura 2.21 un angrenaj conic cu dantură curbă avînd înălțimea dintelui variabilă.

Unghiurile piciorului dinților vor fi θ_1 la pinion și θ_2 la roată suma acestor unghiuri fiind $u = \theta_1 + \theta_2$.

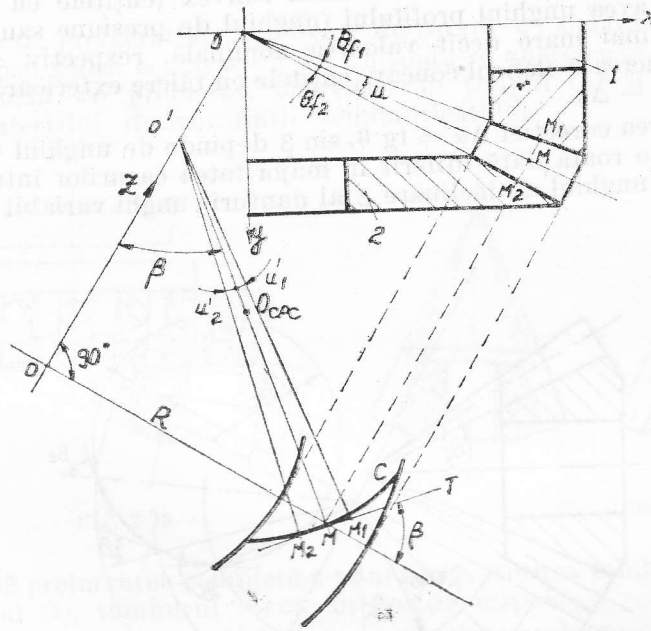


Fig. 2.21

În figura 2.21 considerăm planul tangent la conurile de referință a roților, plan ce conține generatoarea OM comună acestor două conuri. Acest plan fiind perpendicular pe planul desenului îl vom roti în jurul

dreptei \overline{OM} astfel încît să ajungă în planul desenului, dreapta OM fiind chiar raza medie a roții plane.

Curba C este curba dintelui, iar β unghiul de înclinare al dintelui, definit ca unghiul între tangenta la curba C și raza roții plane în punctul mediu M al danturii.

Punctul O' este punctul de intersecție al perpendicularei în O pe rază cu normala în punctul M , deci intersecția cu dreapta perpendiculară pe tangenta T la curba dintelui în M .

Din triunghiul $O'OM$ rezultă $\overline{O'M} = \overline{OM} / \sin \beta$.

Se observă că $\text{tg } \theta_{f_1} = \overline{MM_1} / \overline{OM}$ și $\text{tg } \theta_{f_2} = \overline{MM_2} / \overline{OM}$.

Întrucît θ_{f_1} și θ_{f_2} sînt unghiuri mici se poate admite :

$$\text{tg } \theta_{f_1} \approx \theta_{f_1} \text{ radiani și } \text{tg } \theta_{f_2} \approx \theta_{f_2} \text{ radiani.} \quad (2.28)$$

Segmentul $\overline{M_1M_2}$ este perpendicular în M pe planul MOZ .

Unind punctul O' cu M_1 și M_2 se obține triunghiul $O'M_1M_2$ ce poate fi pus în evidență prin rotire în jurul axei $\overline{O'M}$ astfel ca punctele M_1 și M_2 să ajungă pe tangenta T .

Din triunghiurile $O'MM_1$ și $O'MM_2$ se poate deduce că :

$$\overline{O'M} \text{ tg } u'_1 = \overline{MM_1} \text{ și } \overline{O'M} \text{ tg } u'_2 = \overline{MM_2}, \text{ de unde :}$$

$$\begin{aligned} \text{tg } u'_1 &= \overline{MM_1} / \overline{MO'} = \overline{MM_1} \sin \beta / \overline{OM} \text{ și } \text{tg } u'_2 = \overline{MM_2} / \overline{MO'} = \\ &= \overline{MM_2} \sin \beta / \overline{OM}. \end{aligned} \quad (2.29)$$

Și în acest caz unghiurile u'_1 și u'_2 fiind mici se poate admite :

$\text{tg } u'_1 \approx u'_1$ radiani și $\text{tg } u'_2 \approx u'_2$ radiani, de unde :

$$u'_1 = \text{tg } \theta_{f_1} \sin \beta \text{ și } u'_2 = \text{tg } \theta_{f_2} \sin \beta. \quad (2.30)$$

Întrucît \overline{OM} este normală în punctul M , pe această dreaptă \overline{OM} se găsește centrul de rotație al capului portcuțite, respectiv O_{CPC} .

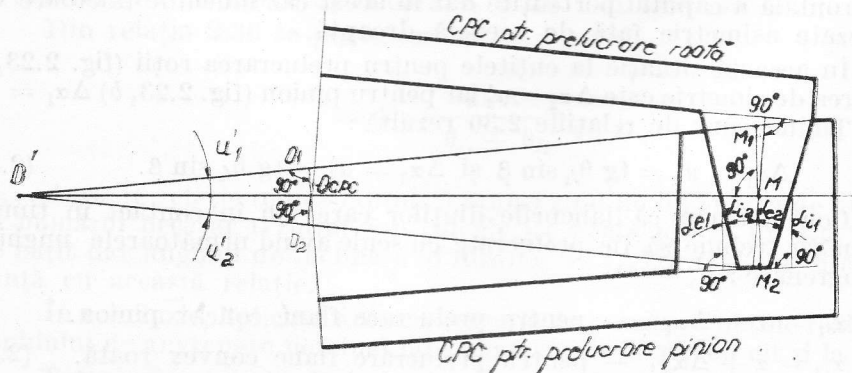


Fig. 2.22

În cazul cînd axa capului portcuțite este perpendiculară pe dreapta-fund a golului dintre dinți, poziția capetelor portcuțite pentru prelu crat roata și pinionul este cea arătată în figura 2.22.

Unghiurile muchiilor tăietoare ale cuțitelor față de dreapta M_1MM_2 perpendiculară pe planul de referință $O'M$ ($O'OM$ în fig. 2.21) trebuie să fie egale cu unghiul de angrenare α al danturii, unghi egal pentru toate muchiile tăietoare.

În realitate noi raportăm unghiurile muchiilor tăietoare la perpendiculara pe planul capului portcuțite în planul său radial.

Rezultă în acest fel unghiurile α_{e1} și α_{i1} la capul portcuțite pentru prelucrat pinionul și α_{e2} , α_{i2} la capul portcuțite pentru prelucrat roata.

Întrucât cuțitele celor două capete portcuțite trebuie să se suprapună ca în figura 2.22, se poate scrie :

$$\alpha_{e1} + \alpha_{i1} = \alpha_{i2} + \alpha_{e2} = 2\alpha, \text{ de unde rezultă :}$$

$$\alpha_{i1} - \alpha_{e2} = \alpha_{i2} - \alpha_{e1} = u'_1 + u'_2 = (\theta_{f1} + \theta_{f2}) \sin \beta. \quad (2.31)$$

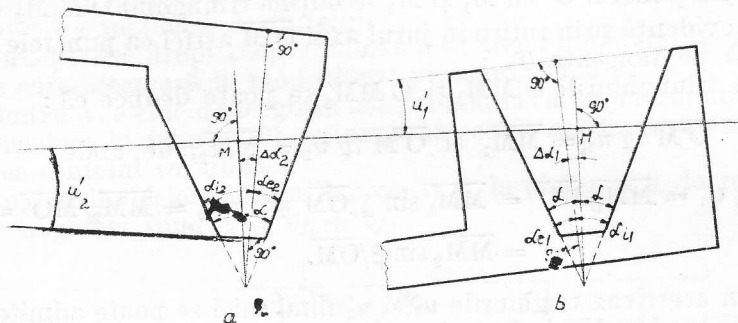


Fig. 2.23

Se vede din figura 2.23 că unghiul 2α al profilului trapezoidal al sculei, avînd α considerat față de perpendiculara pe roata plană în M , se menține tot 2α și în cazul cînd ne raportăm la perpendiculara pe suprafața frontală a capului portcuțite dar în acest caz muchiile tăietoare vor fi așezate asimetric față de această dreaptă.

În această situație la cuțitele pentru prelucrarea roții (fig. 2.23, a) abaterea de simetrie este $\Delta\alpha_2 = u'_2$ iar pentru pinion (fig. 2.23, b) $\Delta\alpha_1 = u'_1$.

Ținînd cont de relațiile 2.30 rezultă :

$$\Delta\alpha_1 = u'_1 = \operatorname{tg} \theta_{f1} \sin \beta \text{ și } \Delta\alpha_2 = u'_2 = \operatorname{tg} \theta_{f2} \sin \beta. \quad (2.32)$$

Concluzionăm că flancurile dinților care vin în contact în timpul angrenării trebuie să fie prelucrate cu scule avînd următoarele unghiuri de angrenare :

$$\begin{cases} \alpha_{e1} = \alpha - \Delta\alpha_1 & \text{— pentru prelucrare flanc concav pinion.} \\ \alpha_{i2} = \alpha + \Delta\alpha_2 & \text{— pentru prelucrare flanc convex roată.} \end{cases} \quad (2.33)$$

$$\begin{cases} \alpha_{i1} = \alpha + \Delta\alpha_1 & \text{— pentru prelucrare flanc convex pinion.} \\ \alpha_{e2} = \alpha - \Delta\alpha_2 & \text{— pentru prelucrare flanc concav roată.} \end{cases} \quad (2.34)$$

Din aceste relații rezultă că abaterile $\Delta\alpha$ pe flancurile conjugate sînt de semne contrare și în general diferite ca mărime la pinion și roată datorită diferenței care există între unghiurile de picior ale dinților.

Relațiile 2.32 ne arată că abaterile nu depind de modul ci numai de unghiul de picior și unghiul de înclinare al dinților.

Pentru a se simplifica nomenclatura de scule, în locul valorilor $\Delta\alpha_1$ și $\Delta\alpha_2$ se folosește o valoare medie comună ambelor roți, de unde rezultă:

$$\Delta\alpha = \frac{\Delta\alpha_1 + \Delta\alpha_2}{2} = \frac{\theta_{f_1} + \theta_{f_2}}{2} \sin \beta \text{ radiani.} \quad (2.35)$$

Din această relație se definește numărul cuțitului, adică elementul prin care se precizează scula necesară unei anumite corecții.

$$N = \frac{\Delta\alpha}{10} = \frac{\theta_{f_1} + \theta_{f_2}}{20} \sin \beta. \quad (2.36)$$

În această formulă unghiurile θ_{f_1} și θ_{f_2} se exprimă în minute.

Explicația apariției cifrei 10 constă în transformarea radianilor în minute. Prin această transformare la valorile curente a unghiurilor θ_{f_1} și θ_{f_2} precum și a unghiului de înclinare β se obțin cifre de ordinul zecilor și sutelor și pentru aceasta valoarea obținută se împarte cu 10.

Această corecție a flancului cuțitelor se numește corecție de număr deoarece precizarea cuțitelor cu diverse corecții se face prin numere, respectiv 0; 1; $1\frac{1}{2}$; 2; $2\frac{1}{2}$; 3; $3\frac{1}{2}$; până la 32, calculându-se unghiul de corecție cu formula $\Delta\alpha = 10N$, unde N este numărul cuțitului, iar $\Delta\alpha$ rezultă în minute.

Dacă spre exemplu unghiul de presiune nominal este $\alpha = 20^\circ$ iar numărul cuțitului $N = 7\frac{1}{2}$ atunci $\Delta\alpha = 10 \cdot 7,5 = 75' = 1^\circ 15'$ unghiul de presiune al cuțitelor cu tăiere interioară fiind $\alpha_i = 20^\circ + 1^\circ 15' = 21^\circ 15'$ iar al cuțitelor cu tăiere exterioară $\alpha_e = 20^\circ - 1^\circ 15' = 18^\circ 45'$.

Din relația 2.36 se poate scrie:

$$\sin \beta = \frac{20N}{\theta_{f_1} + \theta_{f_2}}. \quad (2.37)$$

Această relație indică faptul că atunci cînd nu dispunem de un cuțit cu numărul necesar rezultat din calcule, se poate utiliza un alt număr de cuțit dar unghiul de înclinare al dinților va trebui realizat în concordanță cu această relație.

În concluzie, aplicînd această corecție de număr se obține realizarea unghiului de angrenare nominal fără abateri atît la pinion cît și la roată.

Totuși examinînd relația 2.35 se observă că $\Delta\alpha$ depinde de unghiul de înclinare β , respectiv spre a fi valabilă această corecție pe întreaga lungime a dintelui este necesar ca unghiul de înclinare β să fie constant pe întreaga lungime a dintelui.

Mărimea acestui unghi de înclinare se poate determina din figura 2.24. În această figură s-a notat cu β unghiul de înclinare în punctul mediu al danturii, cu r_{CPC} raza capului porteuite (în planul roții plane de refe-

rință) și cu R lungimea mediană a generatoarei conului de divizare, respectiv R_e lungimea exterioară și R_i lungimea interioară, lungimi care corespund cu razele mediană, exterioară și interioară a roții plane de referință.

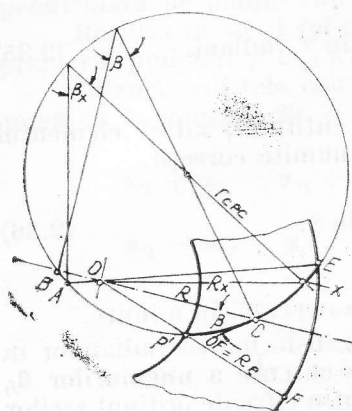


Fig. 2.24

Se notează β_x unghiul de înclinare a danturii într-un punct oarecare al dintelui, de unde se poate scrie :

$$\overline{AX} = 2r_{CPG} \sin \beta_x \text{ respectiv } \overline{BC} = 2r_{CPG} \sin \beta.$$

$$\overline{AO} = \overline{AX} - \overline{OX} = 2r_{CPG} \sin \beta_x - R_x.$$

$$\overline{BO} = \overline{BC} - \overline{OC} = 2r_{CPG} \sin \beta - R.$$

$$\text{Întrucît } \overline{AO} \cdot \overline{OX} = \overline{BO} \cdot \overline{OC};$$

$$R_x(2r_{CPG} \sin \beta_x - R_x) = R(2r_{CPG} \sin \beta - R),$$

de unde rezultă :

$$\sin \beta_x = [R_x + R(2r_{CPG} \sin \beta - R)/R_x]/2r_{CPG}. \quad (2.38)$$

Din relația 2.38 se poate scrie :

$$\sin \beta_s = [R_s + R(2r_{CPG} \sin \beta - R)/R_s]/2r_{CPG}, \quad (2.39)$$

$$\sin \beta_i = [R_i + R(2r_{CPG} \sin \beta - R)/R_i]/2r_{CPG}.$$

Se observă că $\beta_s \neq \beta$, deci unghiul de înclinare variază în lungul dintelui.

Revenind la corecția unghiului de angrenare necesară conform relației 2.35 și care se aplică cuțitelor, se vede că aceasta este valabilă numai pentru un punct de pe dinte (respectiv se alege punctul mediu al danturii) spre capete fiind necesare alte corecții din cauza variației unghiului de înclinare.

Întrucît cuțitele nu pot fi executate sau așezate în așa fel ca unghiul flancului să fie variabil, unghiul de angrenare se va modifica spre capetele dintelui și aceasta va duce în angrenare la apariția fenomenului numit contact diagonal, fenomen care se manifestă prin aceea că pata de contact se așează diagonal pe dinte în mod diferit pe flancul concav față de cel convex.

(În literatura tehnică în limba engleză acest fenomen este denumit „bias“).

Aceasta explică de ce la un moment dat s-a căutat să se folosească pentru curba directoare a dinților spirala logaritmică.

Această curbă avînd unghiul de înclinare al tangentei față de raza polară constant, elimină variația unghiului β și deci indirect contactul diagonal.

Un timp s-a recomandat folosirea capetelor portcuțite cu raze mari de curbura, în acest caz arcu de cerc al dintelui aproximînd mai bine

arcul de spirală logaritmică corespunzător danturilor uzuale, recomandare la care totuși s-a renunțat din unele considerente privind poziția petei de contact cit și din motive economice.

An fost preferate capete portcuțite cu raze mai mici găsindu-se alte modalități de eliminare a contactului diagonal.

În acest sens există mai multe metode. Cele mai utilizate sint metoda schimbării conului de rostogolire și metoda deplasărilor hipoide, metode posibil de aplicat pe toate mașinile destinate acestei prelucrări.

În afară de aceste două metode mai există metoda mișcării elicoidale a piesei de prelucrat și metoda modificării mișcării de rostogolire a leagănului mașinii, ambele metode presupun însă mecanisme speciale care nu se găsesc pe toate mașinile de danturat conic curb.

O soluție radicală în această privință o constituie folosirea dinților cu înălțime constantă.

Întrucît la acest tip de dantură generatoarea conului de picior este paralelă cu generatoarea conului de divizare, cuțitele se așează perpendicular pe generatoarea conului de divizare și în acest fel dispăre asimetricia golului dintre dinți deci dispăre necesitatea corecției de număr.

În acest caz toate cuțitele se execută cu unghiul flancului identic cu unghiul de angrenare nominal al roților de prelucrat (respectiv numărul cuțitului $N = 0$) și automat dispăre și problema contactului diagonal.

Avînd în vedere acest avantaj al dinților de înălțime constantă, sistemele de danturat cu divizare continuă, Spiromatic (Oerlikon), Paloidal și Cyclopaloidal (Klingelnberg), utilizează numai acest tip de dinți.

Fenomenul contactului diagonal la dantura de înălțime variabilă este foarte complex incluzînd în sine atît problema asimetriei care duce la variații ale unghiului de angrenare de care s-a amintit anterior, cîtși faptul că roțile plane care generează roțile componente ale angrenajului nu se pot realiza în coincidență.

Este evident că atît pinionul cit și roata trebuie să fie generate cu aceeași roată plană, sau altfel spus, roata plană care generează pinionul trebuie să se suprapună exact peste roata plană care generează roata așa cum se suprapun două cuplaje cu dinți frontali.

În figura 2.26 a se vede că în cazul danturii de înălțime constantă capetele portcuțite (1 pentru prelucrarea pinionului și 2 pentru prelucrarea

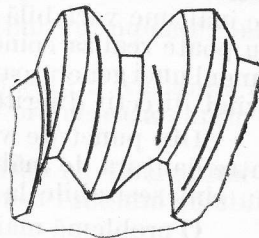


Fig. 2.25

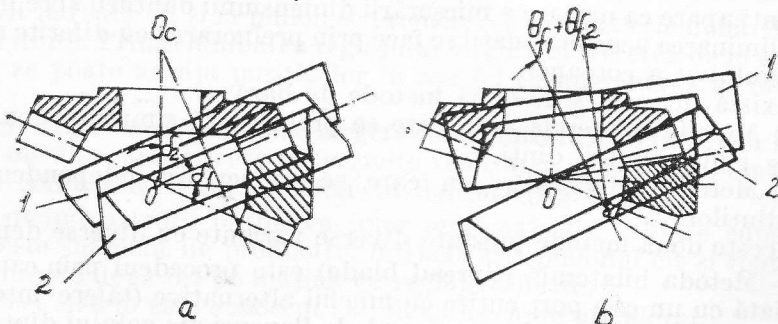


Fig. 2.26

roții) și care generează roata plană, respectiv o pereche de flancuri în angrenare, pot realiza suprafețele conice ale flancului dintelui roții plane astfel încât să se suprapună exact unul peste altul. La angrenajul cu dinți de înălțime variabilă așezarea celor două capete de danturat (fig. 2.26 b) nu poate realiza coincidența celor două flancuri ale roților plane decât în lungul unei generatoare, în rest suprafețele flancului dintelui roții plane avînd direcții diferite.

Din punct de vedere al capacității de încărcare, practic diferențele între dantura de înălțime variabilă standard și cea cu înălțime constantă nu sînt sesizabile la aceeași lățime a danturii.

O problemă mai dificilă la prelucrarea danturii cu înălțime constantă este subțierea (interferența) mai pronunțată care apare la prelucrarea pinioanelor cu numere mici de dinți în zona dinspre interiorul roții plane și care trebuie înlăturată printr-o deplasare a profilului judicios aleasă.

2.3.3. Noțiuni privind prelucrarea danturii conice în arc de cerc

În cazul danturii în arc de cerc se folosesc în prezent atît roți cu dinți de înălțime variabilă, cît și roți cu dinți de înălțime constantă. În ambele cazuri la tăierea roții și a pinionului condițiile teoretice ale angrenării impun ca suprafețele generatoare ale flancurilor conjugate să aibă aceeași poziție pe roata plană.

Acest lucru nu poate fi realizat prin prelucrarea în același mod a roții și a pinionului.

Simplificat acest fenomen poate fi explicat în modul următor. Dacă examinăm o roată dințată conică, se constată că în zona diametrului mare există un pas p_e iar în zona diametrului mic un pas p_i și unde $p_e > p_i$. Există deci o îngustare fundamentală a dintelui și a golului ca urmare a diferenței de pas.

Cuțitele dispuse pe capul port cuțite taie însă un gol de lățime constantă deci corespunzător dintele rămîne cu grosime variabilă atît la roată cît și la pinion.

Întrucît dintele pinionului angrenează în golul dintre dinții roții este vizibil că un dinte de grosime variabilă va trebui să lucreze într-un gol de lățime constantă.

Fenomenul există și la dantura de înălțime constantă și la înălțime variabilă standard, cu toate că în acest ultim caz o îngustare a golului între dinți apare ca urmare a micșorării dimensiunii danturii spre interior.

Eliminarea acestei situații se face prin prelucrarea cu diferite metode a pinionului și a coroanei.

Există în acest sens două metode de bază.

1) Metoda bilaterală — în care se prelucrează simultan două flancuri ale golului între dinți.

2) Metoda unilaterală — în care se prelucrează independent flancurile dinților.

Aceste două metode prezintă diverse variante cu diverse denumiri :

— Metoda bilaterală (Spread blade) este procedeul prin care piesa este tăiată cu un cap port cuțite cu muchii alternative (tăiere interioară, tăiere exterioară) care prelucrează ambele flancuri ale golului dintre dinți simultan.

Lărgimea golului între dinți este constantă și determinată de decalajul muchiilor tăietoare în sens radial (distanța care separă cercurile concentrice descrise de vârful muchiilor tăietoare).

Această metodă se utilizează pentru tăierea roților cu numere mai mari de dinți.

— Metoda bilaterală cu rotire (Single setting) este o variantă a metodei bilaterale care se utilizează în special când se prelucrează danturi cu modul mare.

Capul portcuțite în acest caz este realizat cu cuțite cu tăiere alternativă iar decalajul cuțitelor este mai mic decât lățimea fundului golului între dinți.

O primă trecere la toți dinții se face exact ca la metoda bilaterală obișnuită apoi piesa este rotită astfel ca la trecerea a doua să se finiseze al doilea flanc.

— Metoda unilaterală (Single Side) este un procedeu prin care se taie separat flancurile dinților, cu reglaje diferite ale mașinii, folosind două capete portcuțite echipate fiecare cu cuțite de tăiere interioară și exterioară.

Decalajul cuțitelor este inferior lățimii minime a golului între dinți. Deși raza capului portcuțite pe roata plană, nominal este aceeași, pentru ambele flancuri sînt necesare două capete portcuțite, întrucît unul este reglat cu această rază la cuțitele cu tăiere exterioară (taie flancul concav), iar al doilea are reglată raza la cuțitele cu tăiere interioară (taie flancul convex).

Această metodă este utilizată în principal la prelucrarea pinioanelor.

— Metoda unilaterală de serie (Fixed setting) este o variantă a metodei unilaterale (Single side) la care se folosesc două capete portcuțite echipate unul numai cu cuțite cu tăiere exterioară pentru flancul concav și unul numai cu tăiere interioară pentru flancul convex. Prelucrarea celor două flancuri se face separat necesitînd în prealabil degroșare executată prin metoda bilaterală.

Prelucrarea unei piese se face pe trei mașini : degroșare, finisare flanc concav și finisare flanc convex, fără a se mai schimba reglajele, trecînd piesa de pe o mașină pe alta.

Prelucrarea unui angrenaj (roată + pinion) se face prin combinarea metodelor descrise anterior într-unul din următoarele sisteme :

1. Unilateral — Unilateral.

(roată) (pinion)

Atît la roată cît și la pinion se prelucrează separat cele două flancuri ale unui dinte. Prin schimbarea reglajului mașinii la trecerea de la un flanc la altul se poate aranja poziția lor în așa fel ca angrenarea să aibă loc corect.

Acest lucru face posibilă o alegere corespunzătoare a centrelor arcelor de cerc ale flancurilor, ceea ce permite realizarea unor dinți bombați cu pata de contact localizată pe flancul danturii (fig. 2.27).

Sistemul asigură obținerea unor angrenaje de calitate superioară dar nu este suficient de productiv, întrucît atît pinionul cît și roata trebuie prinse de două ori pe mașină cu reglaje diferite.

Acest sistem este cunoscut sub denumirea de unilateral.

2. Bilateral — Unilateral.

(roată) (pinion)

Se prelucerează dintr-o singură prindere cu un singur reglaj al mașinii ambele flancuri ale unui gol al roții, cu un cap portcuțite cu tăiere alternativă, pinionul prelucrându-se separat pe fiecare flanc cu două capete portcuțite și două reglaje diferite.

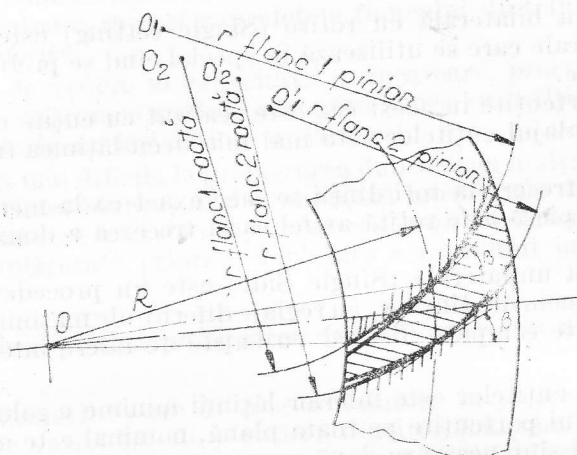


Fig. 2.27

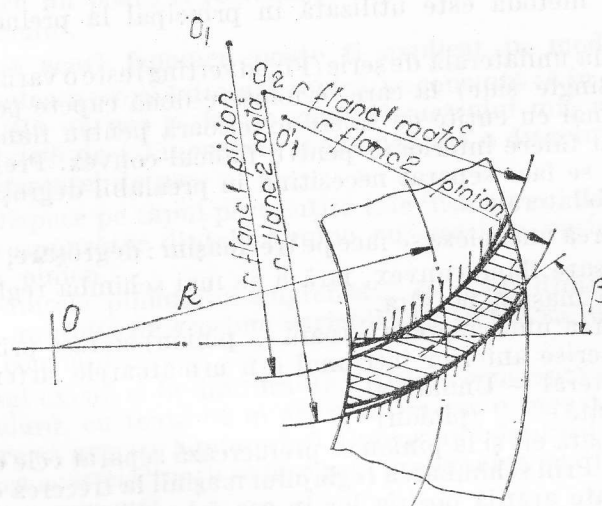


Fig. 2.28

Sistemul este mai productiv decât precedentul dată fiind necesitatea de a prelucra din două prinderi numai pinionul, care are în general un număr mai redus de dinți decât roata.

Și în acest caz se poate localiza pata de contact prin alegerea corespunzătoare a razelor flancurilor pinionului (fig. 2.28).

Această a doua metodă principală, denumită bilaterală simplă, asigură prelucrarea unor angrenaje de bună calitate.

În afară de aceste metode, pentru module mici, $m \leq 2,5$, se folosește metoda dublă bilaterală (Duplex Spread Blade), prin care atât roata cât și pinionul se prelucerează dintr-o singură prindere, pe ambele flancuri, cu capete portcuțite cu tăiere bilaterală.

Metoda este aproximativă, totuși este aplicabilă în cazul modulelor mici și a unor angrenaje mai puțin pretențioase.

Toate aceste sisteme au apărut din dorința de a mări productivitatea, precizia angrenajului și tipizarea calculelor de reglaj, care în toate cazurile sînt destul de complexe.

La toate metodele indicate mai sus atât la pinion cât și la roată orma dintelui se obține prin generare cu roată plană de referință (metoda ruletei) și cu divizare intermitentă dinte cu dinte.

Din dorința de a se mări productivitatea au fost dezvoltate și sisteme în care dinții roții nu se mai obțin prin rostogolire ci numai prin copierea profilului trapezoidal al cuțitelor, metodă cunoscută sub denumirea „FORMATE“.

Acest lucru este posibil la numere mari de dinți cînd curbura mică a evolventei face ca profilul dintelui să se apropie de profilul trapezoidal.

Profilul pinionului se prelucerează în acest caz prin generare cu rostogolire dar cu profil modificat.

Modificarea profilului se obține printr-un mecanism special de modificare, la mașinile care lucrează prin metoda ruletei, sau prin materializarea profilului roții pereche înclinînd capul portcuțite la mașinile care lucrează prin metoda suprafețelor înfășurătoare, realizînd în acest mod o roată conică generatoare.

Acest tip de dantură în arc de cerc denumită și semiînfașurată este folosit cu precădere la angrenajele care au roata cu număr mare de dinți și rapoarte de transmitere mult diferite de 1 (unu), prelucrate în serii mari și foarte mari.

După cum se știe mașinile de danturat cu divizare continuă (Spiromatic, Cyclopaloid și Paloid) nu prezintă această problemă a dispunerii flancului, aceasta făcîndu-se automat, în timpul divizării continue, în același mod la pinion și la roată, prelucrarea executîndu-se dintr-o singură prindere pe mașină.

Cu toate complicațiile enumerate, sistemul danturii conice în arc de cerc (atît cu înălțime variabilă cît și constantă a dinților) prezintă marele avantaj de a fi singurul tip de dantură conică curbă care se poate rectifica ceea ce îi conferă o utilizare preferențială în toate cazurile unde este necesară o precizie cinematică ridicată (mașini unelte) sau o funcționare lipsită la maximum posibil de zgomot și vibrații (tehnică spațială).

În cazurile de tehnică generală unde precizia angrenajului se poate admite mai scăzută se folosesc sistemele cu divizare continuă.

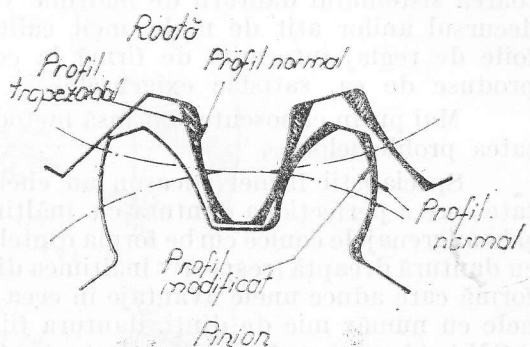


Fig. 2.29

Trebuie menționat că în cazul sistemelor cu divizare continuă precizia de prelucrare prin frezare este ridicată, dar aceste sisteme nu mai au posibilitatea de a corecta erorile introduse de tratamentul termic decât prin rodare, metodă care nu poate duce însă la o precizie cinematică superioară.

Din cele expuse trebuie reținut că dantura cu înălțime constantă a dintelui este matematic exactă, ceea ce conduce la o execuție mai simplă (calcul și reglaje) decât dantura cu înălțime variabilă, care, fiind rezultatul unui șir de aproximații pentru realizarea conjugării corecte a profilurilor, necesită rezolvarea unui număr mult mai mare de probleme de calcul și reglaj.

Metodele de calcul și reglaj puse la punct de firma Gleason promovarea sistemului danturii de înălțime variabilă au fost perfecționate în decursul anilor atât de mult, încât calitativ angrenajele obținute după foile de reglaj întocmite de firmă la comandă, pentru mașinile unelte produse de ea, satisfac exigențele.

Mai puțin cunoscute sînt însă metodele de calcul dat fiind complexitatea problemelor.

Specialiștii firmei Gleason au cheltuit multă energie și ingeniozitate spre a perfecționa dantura cu înălțime variabilă, dorind să păstreze și la angrenajele conice curbe forma dintelui obișnuită la angrenajele conice cu dantură dreaptă (respectiv înălțimea dintelui proporțională cu modulul), formă care aduce unele avantaje în ceea ce privește subțierea la pinioanele cu număr mic de dinți, dantura fiind și standardizată în 1922 de AGMA (American Gear Manufacturers Association) atunci cînd dantura cu înălțime constantă era încă practic necunoscută.

Urmare a răspîndirii danturii conice cu înălțime constantă firma Gleason a introdus în nomenclatorul său începînd cu anul 1965 și dantura de înălțime constantă sub denumirea de sistemul EQUIDEP pentru generarea în sistem clasic prin metoda ruletelor, iar în cazul generării prin metoda suprafețelor înfășurătoare sistemul EQUICURV omologul sistemului FORMATE de la dantura cu înălțime variabilă a dintelui, dar recomandă folosirea danturii de înălțime variabilă în formă modificată în care linia fundului danturii nu trece prin vîrfurile conului de divizare.

Acest tip de dantură aduce unele avantaje privind optimizarea formei dintelui în cazul prelucrării prin metoda bilaterală, iar în cazul modulelor mici permite folosirea la prelucrare a metodei duble bilaterale.

2.3.4. Noțiuni privind pata de contact

Conform STAS 6460-81, pata de contact reprezintă porțiunea de pe flancul dintelui roții pe care se află urmele contactului cu flancul dintelui conjugat cînd cele două roți angrenează cu joc în poziția nominală sau de exploatare, una din roți fiind frînată ușor.

După cum s-a precizat anterior la capitolul 2.2 pata de contact între dinții în angrenare se deplasează sub sarcină, față de poziția ocupată în gol, ca urmare a deformărilor elastice a carcasei angrenajului, a arborilor și chiar a roților însăși.

Un rol hotărîtor asupra direcției în care se deplasează pata de contact în lungul dintelui îl are mărimea razei de curbură a dintelui în sens

longitudinal, respectiv raza de curbura a curbei directoare pe roata plană, [18].

Figura 2.30 prezintă schematic modul în care se deplasează punctul de contact (centrul petei de contact) în funcție de mărimea razei de curbura, pozițiile *a, c, e*, reprezentând contactul dinților în gol, iar pozițiile *b, d, f*, contactul dinților sub sarcină.

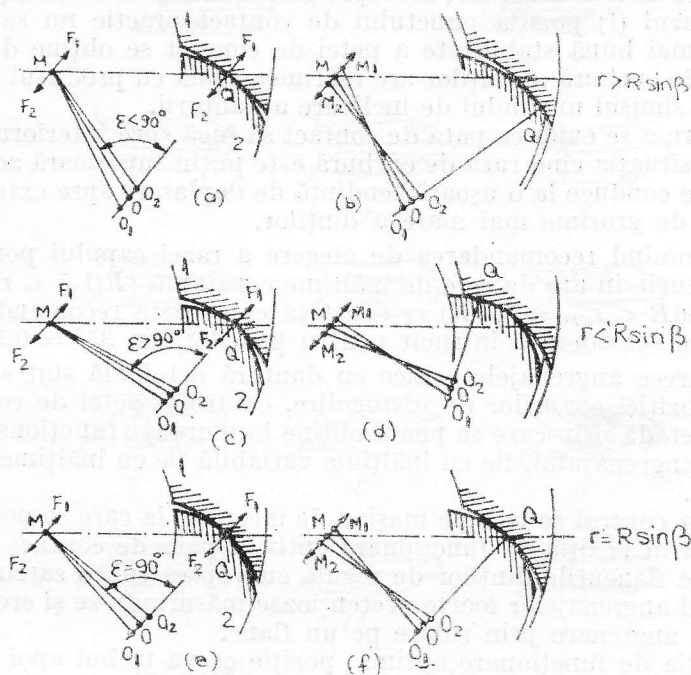


Fig. 2.30

În această figură, 1 reprezintă dintele pinionului, 2 dintele roții, *M* centrul roții plane de referință, centru în care se găsesc și vîrfurile conurilor de referință a roților în gol.

În sarcină sub acțiunea reacțiunilor F_1 și F_2 vîrfurile conurilor de referință a roților, respectiv M_1 și M_2 , precum și punctul de contact *Q*, prezintă deplasări ca în fig. 2.30, *b, d, f*.

Punctul *O* reprezintă poziția teoretică a centrului de curbura a dinților pentru cazul cînd nu există bombaj (raze de curbura egale) iar O_1 și O_2 sînt centrele de curbura pentru cazul real al dinților bombaji. Pentru ca pata de contact să fie localizată raza de curbura a flancului concav cu centrul în O_1 este mai mare decît raza de curbura a flancului convex cu centrul în O_2 .

Dacă $R = \overline{MQ}$ este raza roții plane, iar raza de curbura în punctul de contact $r = \overline{OQ}$, se vede din aceste scheme că în cazul (a) cînd $r > R \sin \beta$ unghiul $\varepsilon < 90^\circ$.

În cazul (c) cînd $r < R \sin \beta$ unghiul $\varepsilon > 90^\circ$, iar în cazul (e) cînd $r = R \sin \beta$ unghiul $\varepsilon = 90^\circ$, β fiind unghiul de înclinare a danturii în punctul mediu al roții plane.

Întrucit distanțele $\overline{M_1O_1}$ și $\overline{M_2O_2}$ sînt distanțe ce aparțin roților, sub sarcină ele nu își modifică mărimea ci numai poziția.

Cu aceste elemente s-a stabilit că în cazul (b) poziția centrelor O_1 și O_2 fuge de așa manieră încît punctul de contact Q tinde a se deplasa spre exteriorul roților adică spre zona de grosime mai mare a dinților.

În cazul (d) tendința este inversă, adică punctul de contact se va deplasa spre interiorul roților, deci spre grosimea mai mică a dinților.

În cazul (f) poziția punctului de contact practic nu se schimbă. Cea mai bună stabilitate a petei de contact se obține deci atunci cînd raza de curbură a dinților are mărimea egală cu produsul razei roții plane prin sinusul unghiului de înclinare a danturii.

Pentru a se evita ca pata de contact să fugă spre interiorul danturii se preferă situația cînd raza de curbură este puțin superioară acestui produs ceea ce conduce la o ușoară tendință de deplasare spre exterior adică spre zona de grosime mai mare a dinților.

Examinînd recomandarea de alegere a razei capului portcuțite în cazul danturii în arc de cerc de înălțime constantă ($R/1,5 \leq r_{CPC} \leq 1,5R$ sau $0,66666R \leq r_{CPC} \leq 1,5R$) se constată că această recomandare are la bază aceste considerații întrucît pentru $\beta = 35^\circ$, $\sin 35^\circ = 0,57358$.

Deoarece angrenajele conice cu dantură octoidală sînt sensibile la variația poziției conurilor de rostogolire, controlul petei de contact este singura metodă prin care se poate obține la montaj o funcționare cît mai corectă a angrenajului, fie cu înălțime variabilă fie cu înălțime constantă a dintelui.

Acest control se face pe mașina de încercat, la care se poate realiza angrenarea în poziția de funcționare optimă, pata de contact materializîndu-se pe flancurile dinților de regulă cu vopsea sub o sarcină ușoară, iar în cazul angrenajelor foarte pretențioase măsurîndu-se și eroarea cinematică de angrenare prin rulare pe un flanc.

Poziția de funcționare optimă, poziție ce va trebui apoi reprodusă la montaj, se stabilește după cum se vede din figura 2.31 prin cotele de montaj, respectiv, b distanța de montaj a pinionului, c distanța de montaj a roții și a deplasarea hipoidă.

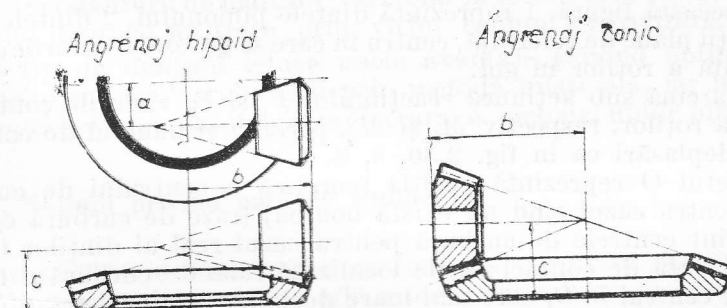


Fig. 2.31

Petele de contact care se pot obține la angrenare în poziția inițială sînt reprezentate în figura 2.32.

1) Pata de contact corectă sub sarcină ușoară. Pată situată în lungime pe cca. $1/2$ din dinte, spre capătul mai subțire (de modul mai mic) al dintelui și depășind puțin centrul dintelui.

2) Pata de contact corectă sub sarcina de lucru.
 În pozițiile 3...8 este reprezentată influența unor abateri geometrice principale asupra poziției petei de contact.

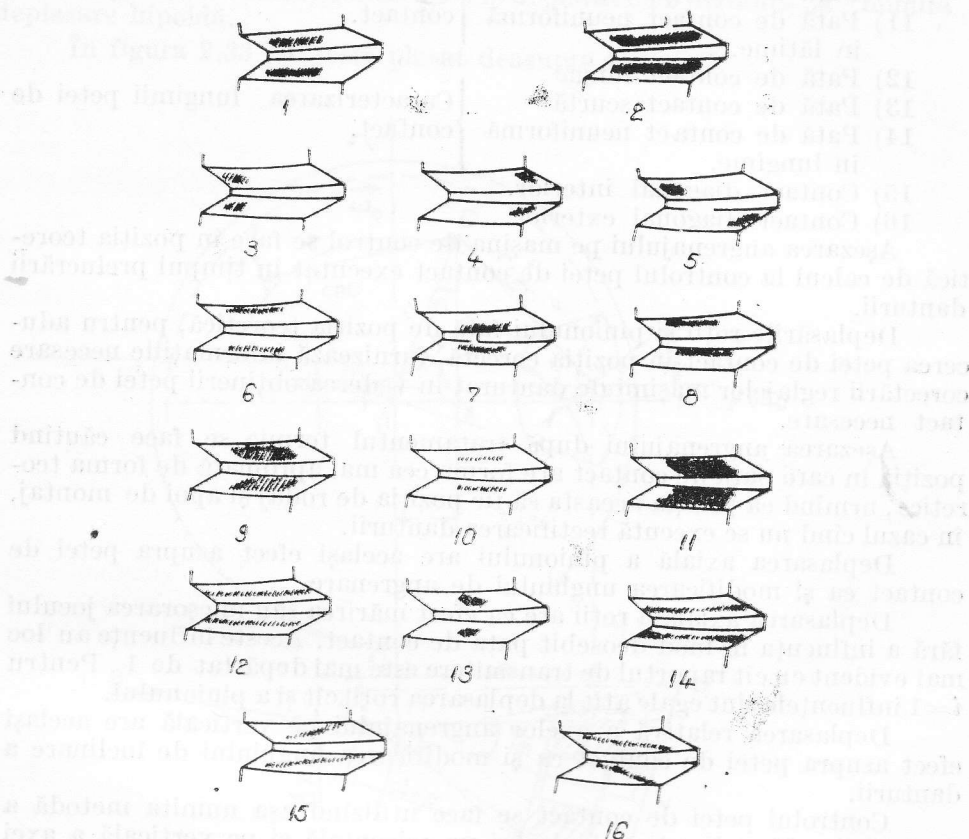


Fig. 2.32

- 3) Pata de contact plasată la capătul subțire al dintelui.
- 4) Pata de contact scurtă plasată la capătul gros al dintelui.
- 5) Pata de contact scurtă plasată încrucișat.
- 6) Pata de contact plasată simetric la baza dintelui.
- 7) Pata de contact plasată simetric la vârful dintelui.
- 8) Pata de contact plasată asimetric la bază pe un flanc și la vîrf pe al doilea.

Unghiul de înclinare al flancurilor conjugate, diferit.

Unghiul de angrenare al flancurilor conjugate, diferit.

În pozițiile 9...16 sînt reprezentate formele petei de contact obținute în mod obișnuit ca urmare a diverselor erori de execuție sau de tratament termic.

- | | |
|--|---|
| 9) Pată de contact lată. | } Caracterizarea lățimii petei de contact. |
| 10) Pată de contact îngustă. | |
| 11) Pată de contact neuniformă în lățime. | |
| 12) Pată de contact lungă | } Caracterizarea lungimii petei de contact. |
| 13) Pată de contact scurtă | |
| 14) Pată de contact neuniformă în lungime. | |
| 15) Contact diagonal interior. | |
| 16) Contact diagonal exterior. | |

Așezarea angrenajului pe mașina de control se face în poziția teoretică de calcul la controlul petei de contact executat în timpul prelucrării danturii.

Deplasările roții și pinionului față de poziția teoretică, pentru aducerea petei de contact în poziția corectă, furnizează informațiile necesare corectării reglajelor mașinii de danturat în vederea obținerii petei de contact necesare.

Așezarea angrenajului după tratamentul termic se face căutînd poziția în care pata de contact are forma cea mai apropiată de forma teoretică, urmînd ca poziția aceasta să fie poziția de rodaj și apoi de montaj, în cazul cînd nu se execută rectificarea danturii.

Deplasarea axială a pinionului are același efect asupra petei de contact ca și modificarea unghiului de angrenare.

Deplasarea axială a roții are ca efect mărirea sau micșorarea jocului fără a influența în mod deosebit pata de contact. Aceste influențe au loc mai evident cu cît raportul de transmitere este mai depărtat de 1. Pentru $i=1$ influențele sînt egale atît la deplasarea roții cît și a pinionului.

Deplasarea relativă a axelor angrenajului pe verticală are același efect asupra petei de contact ca și modificarea unghiului de înclinare a danturii.

Controlul petei de contact se face utilizînd așa numita metodă a deplasărilor H și V adică deplasări pe orizontală și pe verticală a axei pinionului.

2.4. Bazele prelucrării roților dințate conice cu dantură curbă în arc de cerc prin metoda ruletei

În cele ce urmează sînt expuse relațiile generale pe baza cărora se pot determina reglajele mașinii de danturat ce realizează roata plană generatoare, fără a se intra în detaliile necesitate de diversele metode de prelucrare.

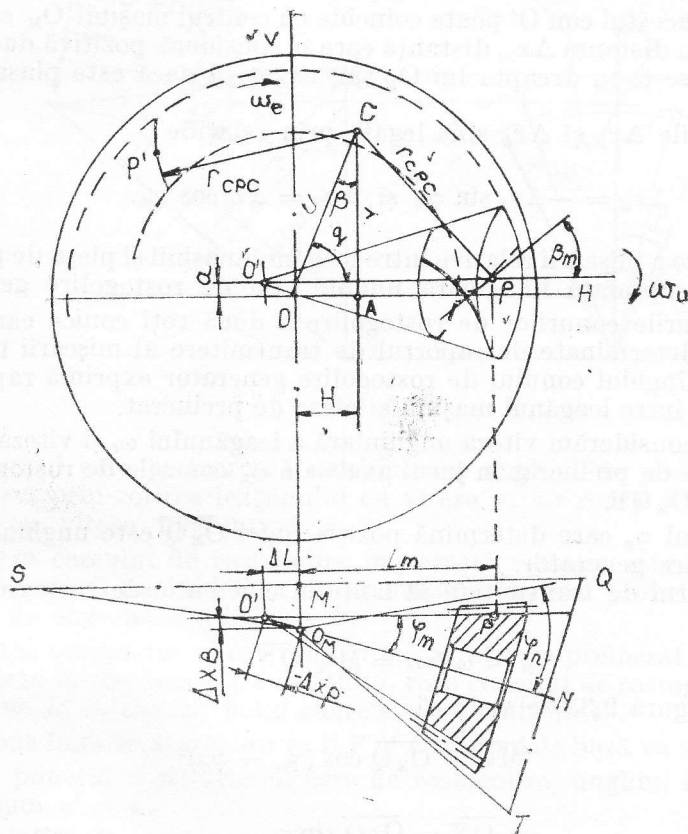
În figura 2.33 se prezintă schema așezării pe mașină a capului port-cuțite (CPC) și a piesei de prelucrat.

Azul de rotație al leagănului (tamburul) mașinii trece prin punctul O, axele orizontală și verticală fiind OH și OV.

Punctul C reprezintă axa de rotație a capului port cuțite, iar în figura de față fiind deasupra axei OH, dantura care se va prelucra rezultă cu direcția spirei pe dreapta.

Planul O'PN, conținând axa roții de prelucrat, în cazul cel mai general nu se găsește în axa orizontală OH ci deplasat cu o distanță „a” numită deplasare hipoidă.

În figura 2.33 „a” este plasat deasupra axei OH.



Coordonatele punctului C în sistemul de axe VOH au denumirea de „așezarea pe orizontală” (H) și „așezarea pe verticală” (V), unde :

r_{CPC} — raza de calcul a capului porțuțite (diferită de regulă față de raza nominală a CPC),

L_m — distanța de la axa OV la punctul P.

În acest caz $U = \sqrt{H^2 + V^2}$ și $\operatorname{tg} q = V/H$. (2.41)

Proiecția axei orizontale a leagănelui se întretaie cu axa de rotație a piesei de prelucrat în punctul O_M , punct care în cazul general este deplasat cu Δx_B față de planul $O'P$ ce trece prin virful cuțitelor (respectiv fundul danturii).

Această deplasare se consideră pozitivă dacă O_M se găsește ca în figură și negativă dacă se găsește plasată în partea opusă.

Piesa de prelucrat se așează pe mașină sub unghiul φ_m , de obicei egal cu unghiul conului interior.

Virful acestui con O' poate coincide cu centrul mașinii O_M sau poate fi deplasat cu distanța Δx_p , distanță care se consideră pozitivă dacă punctul O' se găsește în dreapta lui O_M sau negativă dacă este plasată ca în figură.

Mărimile Δx_p și Δx_B sînt legate prin relațiile :

$$\Delta x_B = -\Delta x_p \sin \varphi_m \text{ și } \Delta x_p = \Delta L / \cos \varphi_m. \quad (2.42)$$

Urmare a mișcării relative între leagănel mașinii și piesa de prelucrat „apare” o suprafață imaginară numită con de rostogolire generator.

Unghiurile conurilor de rostogolire a două roți conice care angrenează sînt determinate de raportul de transmitere al mișcării între cele două roți. Unghiul conului de rostogolire generator exprimă raportul de transmitere între leagănel mașinii și piesa de prelucrat.

Dacă considerăm viteza unghiulară a leagănelui ω_e și viteza unghiulară a piesei de prelucrat în jurul axei sale ω_n conurile de rostogolire vor fi $O_M Q S$ și $O_M Q T$.

Unghiul φ_n care determină poziția liniei $\overline{O_M Q}$ este unghiul conului de rostogolire generator.

Raportul de transmitere al lanțului cinematic de rostogolire va fi

$$i_M = \omega_n / \omega_e = \overline{MQ} / \overline{QN}. \quad (2.43)$$

Din figura 2.33 se vede că

$$\overline{MQ} = \overline{O_M Q} \cos (\varphi_n - \varphi_m)$$

și

$$\overline{QN} = \overline{O_M Q} \sin \varphi_n,$$

de unde se obține

$$i_M = \cos (\varphi_n - \varphi_m) / \sin \varphi_n. \quad (2.44)$$

Din această relație rezultă că unghiul φ_n al conului generator depinde de unghiul de așezare al semifabricatului φ_m și de raportul de transmitere al lanțului cinematic de rostogolire i_M .

Diferența între φ_m și φ_n de regulă nu este prea mare deci se poate aproxima

$$i_M \approx 1 / \sin \varphi_n. \quad (2.45)$$

Dacă conul de rostogolire generator coincide cu conul de rostogolire δ_W (funcțional) al roții atunci

$$i_M = 1 / \sin \delta_W.$$

Se vede din cele arătate că schimbarea raportului de rostogolire a lanțului cinematic duce la schimbarea unghiului φ_n al conului de rostogolire generator.

Aceste schimbări se reflectă și asupra unghiului de angrenare.

Modul cum influențează asupra unghiului de angrenare se poate demonstra prin figura 2.34.

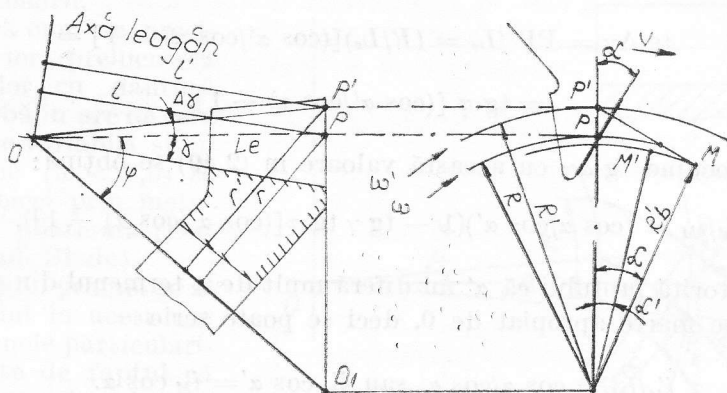


Fig. 2.34

Cuțitul care prelucreează dantura are unghiul de presiune α și se deplasează prin rotirea leagănelui cu viteza v , iar roata de prelucrat se rotește cu viteza unghiulară ω .

Raza cercului de rostogolire în această situație este $R = v/\omega$, iar polul angrenării punctul P și drept urmare dantura prelucrată va avea unghiul de angrenare α la raza R .

Dacă schimbăm viteza unghiulară a roții de prelucrat în ω' și păstrăm viteza de deplasare v a cuțitului, raza cercului de rostogolire generator devine $R' = v/\omega'$ iar polul angrenării se mută în P' .

Noua linie de angrenare va fi $P'M$ iar cercul de bază va avea raza R'_b .

În punctul P pe vechiul cerc de rostogolire, unghiul de angrenare va fi acum $\alpha' \neq \alpha$.

Relația de legătură; $R'_b = R' \cos \alpha = R \cos \alpha'$ permite să se scrie:

$$\overline{PP'} = R' - R = (R \cos \alpha' / \cos \alpha) - R = R[(\cos \alpha' / \cos \alpha) - 1]. \quad (2.46)$$

Înainte de schimbarea vitezei unghiulare ω în ω' raportul de transmitere al lanțului cinematic de rostogolire era $i_M = l/r$.

Deoarece viteza unghiulară a leagănelui este Ω și $l \cdot \Omega = r \cdot \omega$, rezultă:

$$i_M' = l/r' = L_e \cos \gamma / L_e \sin \varphi = \cos \gamma / \sin \varphi. \quad (2.47)$$

După schimbarea vitezei de rotație a piesei în ω' raportul de transmitere devine:

$$\begin{aligned} i_M' &= l'/r' = [L_e \cos (\gamma + \Delta\gamma) / [L_e \sin (\varphi + \Delta\gamma)]] = \\ &= \cos (\gamma + \Delta\gamma) / \sin (\varphi + \Delta\gamma). \end{aligned} \quad (2.48)$$

Prin urmare

$$\begin{aligned} i'_M/i_M &= \cos(\gamma + \Delta\gamma) \sin \varphi / \sin(\varphi + \Delta\gamma) \cos \gamma = \\ &= (1 - \operatorname{tg} \gamma \operatorname{tg} \Delta\gamma) / (1 + \operatorname{ctg} \varphi \operatorname{tg} \Delta\gamma). \end{aligned} \quad (2.49)$$

Din triunghiul POP' se obține:

$$\begin{aligned} \operatorname{tg} \Delta\gamma &= PP'/L_e = (R/L_e)[(\cos \alpha'/\cos \alpha) - 1] = \\ &= \operatorname{tg} \varphi [(\cos \alpha'/\cos \alpha) - 1]. \end{aligned} \quad (2.50)$$

Înlocuind $\operatorname{tg} \Delta\gamma$ cu această valoare în (2.49) se obține:

$$i'_M/i_M = (\cos \alpha/\cos \alpha')(1 - \operatorname{tg} \gamma \operatorname{tg} \varphi [(\cos \alpha'/\cos \alpha) - 1]). \quad (2.51)$$

Datorită faptului că α' nu diferă mult de α termenul din paranteză mare este foarte apropiat de 0, deci se poate scrie

$$i'_M/i_M = \cos \alpha/\cos \alpha' \text{ sau } i'_M \cos \alpha' = i_M \cos \alpha. \quad (2.52)$$

După cum s-a demonstrat anterior $i_M = 1/\sin \varphi$, iar la un raport de transmitere modificat $i'_M = 1/\sin \varphi_n$ rezultă:

$$i'_M/i_M = \sin \varphi/\sin \varphi_n = \cos \alpha/\cos \alpha'. \quad (2.53)$$

În concluzie, schimbarea raportului de transmitere al lanțului cinematic de rostogolire duce la modificarea unghiului conului de rostogolire generator și implicit la modificarea unghiului de angrenare al roții de prelucrat.

Raportul de transmitere al lanțului cinematic de rostogolire se poate scrie și în funcție de numărul de dinți al roții de prelucrat, $i_M = z_0/z$ unde z_0 — numărul de dinți al roții generatoare iar z — numărul de dinți al roții de prelucrat. (2.54)

Schimbând raportul în i'_M se modifică conul de rostogolire al roții, respectiv se va modifica și roata generatoare, deci numărul de dinți al roții generatoare,

$$i'_M = z'_0/z \text{ deci } i'_M/i_M = z'_0/z_0 = \cos \alpha/\cos \alpha' \text{ sau } z'_0 = z_0 \cos \alpha/\cos \alpha'. \quad (2.55)$$

Aceste considerații, privind atât așezarea piesei de prelucrat față de axa leagănului mașinii, cit și influența raportului de rostogolire, au o deosebită importanță în cazul danturii de înălțime variabilă la care s-a amintit că înlăturarea contactului diagonal se poate face prin metoda deplasărilor hipoidale sau prin metoda modificării conului de rostogolire.

La dantura de înălțime constantă, deoarece conul de divizare al roții de prelucrat este con de rostogolire și rulează pe roata plană generatoare având generatoarea paralelă cu generatoarea conului de picior, cuțitele de prelucrat dantura au în toate cazurile unghiul de presiune egal cu unghiul de angrenare nominal.

În cazul danturii de înălțime constantă este bine să fie cunoscute aceste considerații pentru faptul că în practică nu în toate cazurile se acordă suficientă atenție poziției roții de prelucrat și realizării raportului de transmitere al lanțului cinematic de rostogolire ceea ce în multe situații constituie sursa unor nepotriviri în realizarea petei de contact în angrenare, cit și datorită faptului că pe această cale sînt posibile o serie de corecții pentru îmbunătățirea angrenării.

După cum s-a precizat anterior prelucrarea angrenajelor cu dantură conică curbă în arc de cerc cu înălțime variabilă și cu modul mic ($m < 2,5$) se face de obicei prin metoda dublă bilaterală (Duplex Spread Blade).

Calculul geometric al angrenajului în acest caz prezintă unele particularități dictate de faptul că prelucrarea se face la ambele roți ale angrenajului cu capete bilaterale, într-o singură prindere.

Esența acestei metode constă în a obține o îngustare convenabilă a dintelui și golului între dinți, precum și unghi de înclinare egal pe flancurile dintelui.

În fig. 2.35 se prezintă roata plană generatoare și axa capului portuțite (CPC) perpendiculară pe roata plană ($\theta_f = 0$) deci cazul limită în care avem dantură de înălțime constantă.

Se observă că pentru cazul tăierii bilaterale golul dintre dinți rezultă cu lățime constantă iar dintelui își micșorează grosimea îngustîndu-se mult spre partea interioară a roții plane.

Unghiul de înclinare al flancurilor rezultă diferit $\beta_1 \neq \beta_2$.

Din fig. 2.35 întrucît $\overline{CP_1}$ și $\overline{CP_2}$ sînt perpendiculare pe tangentele în P_1 și P_2 se poate scrie :

$$\begin{aligned} \widehat{OP_1C} + \beta_1 &= \widehat{OP_2C} + \beta_2 \text{ de unde } \beta_1 - \beta_2 = \widehat{OP_2C} - \widehat{OP_1C} = \Delta\beta \\ 180^\circ - (\widehat{OP_1C} + \mu) &= 180^\circ - (\widehat{OP_2C} + \psi) \text{ deci} \\ \widehat{OP_2C} - \widehat{OP_1C} &= \mu - \psi = \Delta\beta; \\ \mu &= \widehat{P_1P_2}/R = s_{gt}/R, \end{aligned} \quad (2.56)$$

s_{gt} reprezentînd lățimea golului în plan frontal.

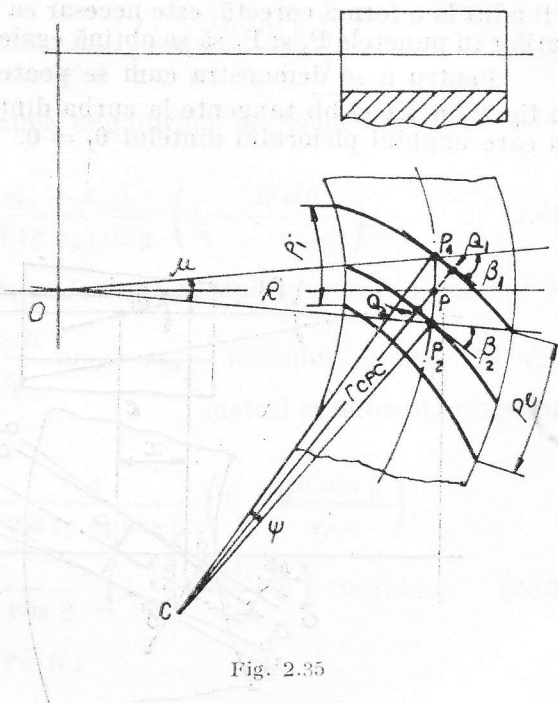


Fig. 2.35

$$\psi = (\overline{P_1 Q_1} + \overline{P_2 Q_2})/r_{CFC} \approx \overline{P_1 P_2} \sin \beta / r_{CFC} = s_{gt} \sin \beta / r_{CFC};$$

$$\Delta \beta = \frac{s_{gt}}{R} - \frac{s_{gt} \sin \beta}{r_{CFC}} = \frac{s_{gt}}{R} \left(1 - \frac{R \sin \beta}{r_{CFC}} \right). \quad (2.57)$$

Urmare a faptului că dintele are o îngustare neconvenabilă, pentru a fi adus la o formă corectă, este necesar ca unghiurile de înclinare a flancurilor în punctele P_1 și P_2 să se obțină egale.

Pentru a se demonstra cum se poate realiza aceasta se consideră, în fig. 2.36, \overline{aa} și \overline{bb} tangente la curba dinților pe roata plană în situația în care unghiul piciorului dintelui $\theta_f = 0$.

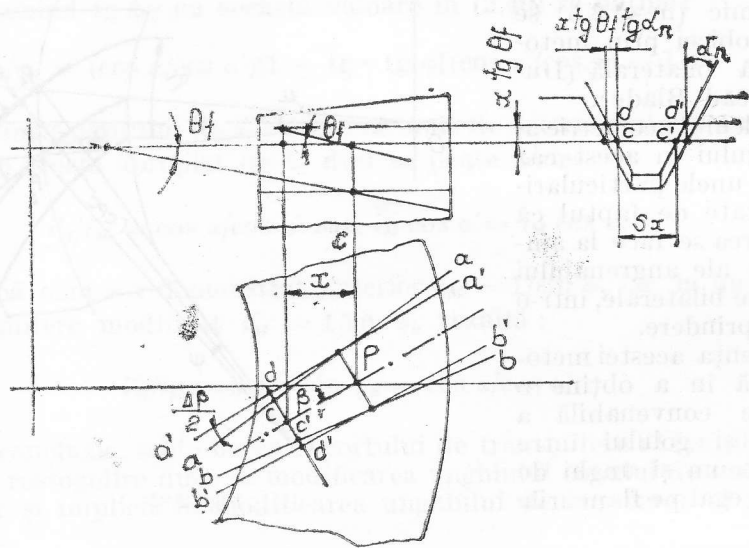


Fig. 2.36

Într-o secțiune oarecare aflată la distanța x de punctul P în direcție radială, distanța între cele două tangente este $\overline{cc'} = s_x$.

Înclinând axul capului portcutite astfel ca să facă cu planul roții plane unghiul θ_f , atunci tangentele \overline{aa} și \overline{bb} se schimbă devenind $\overline{a'a'}$ și $\overline{b'b'}$ iar distanța între ele va fi $\overline{dd'} = s_x + 2x \operatorname{tg} \theta_f \operatorname{tg} \alpha_n$.

Întrucît unghiul între cele două tangente este un unghi mic, se poate scrie $\operatorname{tg} \Delta \beta \approx \Delta \beta$,

$$(x/\cos \beta) \cdot (\Delta \beta/2) = (\overline{dd'} - \overline{cc'})/2;$$

$$(\overline{dd'} - \overline{cc'})/(x/\cos \beta) = \Delta \beta \text{ dar } \overline{cc'} = s_x;$$

$$\overline{dd'} - \overline{cc'} = \overline{dd'} - s_x = 2x \operatorname{tg} \theta_f \operatorname{tg} \alpha_n;$$

$$(\overline{dd'} - s_x)/(x/\cos \beta) = 2 \operatorname{tg} \theta_f \operatorname{tg} \alpha_n \cos \beta = \Delta \beta. \quad (2.58)$$

Egalind cu valoarea găsită anterior (2.57) rezultă :

$$\frac{s_{gt}}{R} \left(1 - \frac{R \sin \beta}{r_{CPC}} \right) = 2 \operatorname{tg} \theta_f \operatorname{tg} \alpha_n \cos \beta. \quad (2.59)$$

Întrucît unghiul θ_f este un unghi mic $\operatorname{tg} \theta_f \approx \theta_f$ de unde,

$$\theta_f = \frac{s_{gt}}{2R \operatorname{tg} \alpha_n \cos \beta} \left(1 - \frac{R \sin \beta}{r_{CPC}} \right). \quad (2.60)$$

În cazul angrenajului, suma unghiurilor de picior ale roților componente va fi :

$$\theta_{f1} + \theta_{f2} = \frac{(s_{gt1} + s_{gt2})}{2R \operatorname{tg} \alpha_n \cos \beta} \left(1 - \frac{R \sin \beta}{r_{CPC}} \right). \quad (2.61)$$

Întrucît $s_{gt1} + s_{gt2} = \pi \cdot m_t$ unde m_t — modulul frontal în punctul P,

iar $\pi \cdot m_t = \pi \cdot m_{ts} \cdot \frac{R}{R_s} = \frac{2\pi R}{z_0}$ unde m_{ts} — modulul frontal la diametrul exterior al roții plane,

rezultă :

$$\begin{aligned} \theta_{f1} + \theta_{f2} &= \frac{2\pi R}{z_0} \cdot \frac{1}{2R \operatorname{tg} \alpha_n \cos \beta} \left(1 - \frac{R \sin \beta}{r_{CPC}} \right); \\ \theta_{f1} + \theta_{f2} &= \frac{\pi}{z_0 \operatorname{tg} \alpha_n \cos \beta} \left(1 - \frac{R \sin \beta}{r_{CPC}} \right) \text{ radiani.} \end{aligned} \quad (2.62)$$

În minute acest unghi va fi :

$$\theta_{f1} + \theta_{f2} = \frac{10.800}{z_0 \operatorname{tg} \alpha_n \cos \beta} \left(1 - \frac{R \sin \beta}{r_{CPC}} \right). \quad (2.63)$$

Pentru cazul danturii de înălțime variabilă standard la care conul de fund are vârful comun cu conul de divizare, suma unghiurilor piciorului dinților este $\theta'_{f1} + \theta'_{f2}$.

Raportul $k_0 = (\theta_{f1} + \theta_{f2}) / (\theta'_{f1} + \theta'_{f2})$ caracterizează gradul de modificare a înălțimii dinților.

Diferența $\Delta\theta = [(\theta_{f1} + \theta_{f2}) - (\theta'_{f1} + \theta'_{f2})] / 2$ poate să fie repartizată în mod egal la cele două roți ale angrenajului, respectiv

$$\theta_{f1} = \theta'_{f1} + \Delta\theta \text{ și } \theta_{f2} = \theta'_{f2} + \Delta\theta. \quad (2.64)$$

Forma danturii astfel obținută este prezentată în fig. 2.37.

Această formă a înălțimii dinților se poate realiza foarte comod pe mașinile de danturat în arc de cerc cu cap portcuțite înclinabil.

Evident că datorită înălțimii variabile a dintelui apare fenomenul de contact diagonal, dar în cazul unor angrenaje mai puțin pretențioase și la module mici această abatere nu este determinantă.

Metoda dublă bilaterală prezentată este aplicabilă pentru module mici $m \leq 2,5$ și unghiul de înclinare al dinților $\beta = 30^\circ \dots 40^\circ$.

Din cele expuse se poate trage concluzia că dantura de înălțime variabilă standard (cu vîrf comun pentru conul de picior și conul de divizare) nu poate rezolva optim problemele care apar la dantura în arc de cerc și sînt necesare abateri de la această formă, abandonîndu-se deci avantajele care ar rezulta din variația proporțională a înălțimii dintelui cu modulul, ceea ce explică dealtfel și răsîndirea danturii de înălțime constantă a dintelui.

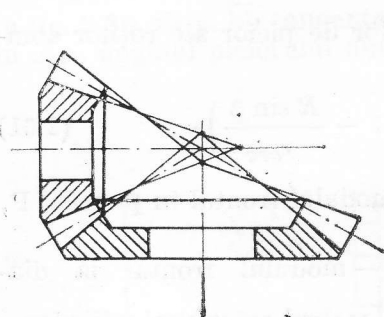


Fig. 2.37

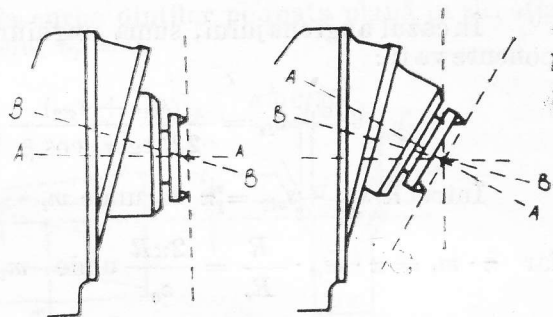


Fig. 2.38

O altă soluție la care s-a recurs la module mai mari pentru eliminarea complicațiilor determinate de neperpendicularitatea axei capului portcuțite pe generatoarea conului de divizare la dantura de înălțime variabilă a fost folosirea cuțitelor cu muchie curbă în loc de muchie rectilinie.

Această metodă este cunoscută sub denumirea Unitool (sculă unică, respectiv fără corecții de număr).

Metoda presupune utilizarea unor cuțite speciale avînd muchiile tăietoare dispuse pe un cerc mare al unei sfere.

În cazul muchiilor rectilinii suprafața măturată în timpul rotirii de către muchiile cuțitelor, montate pe capul portcuțite, este o parte dintr-un con a cărui generatoare coincide cu muchia tăietoare.

Suprafața laterală a dinților roții plane este constituită din aceste porțiuni de suprafață conică, după cum s-a indicat în figura 2.39 și în figura 2.26.

Deoarece aceeași suprafață laterală a dintelui roții plane trebuie materializată o dată la prelucrarea roții și o dată la prelucrarea pinionului, iar poziția axei diferă în cele două cazuri, aceste două suprafețe nu vor coincide, deci nu se poate asigura coincidența celor două roți plane care vor genera roțile componente ale angrenajului și ca urmare apar necesare aproximațiile prezentate anterior.

În cazul cînd muchiile sînt curbe și fac parte dintr-un cerc mare al unei sfere, la rotirea capului portcuțite muchiile descriu sfera iar suprafețele laterale ale dinților roții plane vor fi porțiuni din această sferă.

În această situație suprafețele laterale ale dinților celor două roți plane generatoare (a roții și a pinionului) vor putea fi puse în coincidență chiar dacă muchiile au direcții diferite la prelucrarea celor două roți

componente, după cum se vede în figura 2.40 prin rotirea în jurul unui centru comun care este centrul sferei.

Metoda este ingenioasă și teoretic rezolvă problemele ridicate de înălțimea variabilă a dintelui, dar ridică probleme dificile în ceea ce privește execuția sculelor. Acestea trebuie să li se asigure o formă corectă

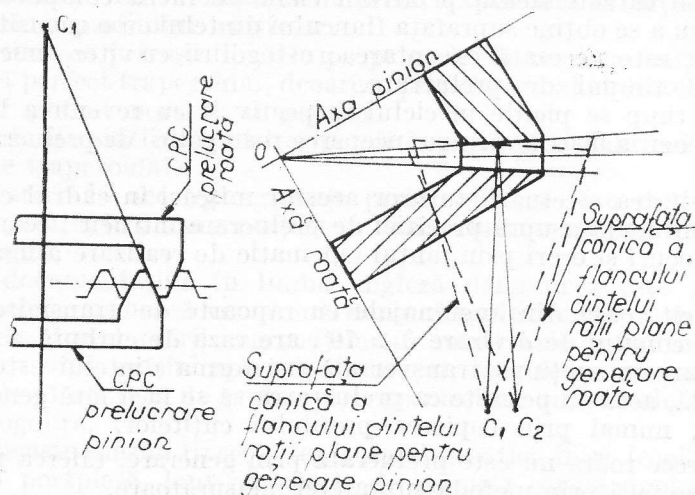


Fig. 2.39

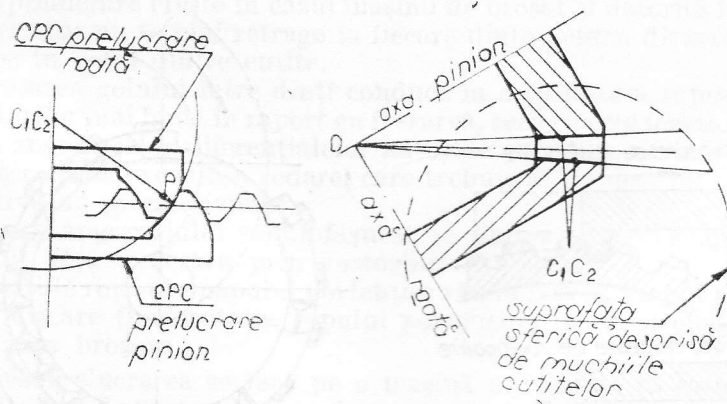


Fig. 2.40

a muchiilor la execuție și la ascuțire, o poziție corectă pe capul portuțite, iar în final ascuțirea identică a celor două capete spre a obține sfera comună. Cumularea a o serie întreagă de erori ca urmare a execuției și reglajelor face ca metoda să fie utilizată numai în cazuri de unicate fiind cunoscute ca o metodă artizanală (Jobbing) cu un preț de cost ridicat, determinat în special de costul mare al sculelor.

În cazul producției de serie dantura de înălțime variabilă se utilizează în modul prezentat în capitolul 2.7.

2.5. Bazele prelucrării roților dințate conice cu dantură curbă în arc de cerc prin metoda suprafeței înfășurătoare

Realizarea angrenajelor conice cu dantură curbă în arc de cerc prin metoda ruletei, deci prin rostogolire cu roată plană a ambelor roți din angrenaj, se caracterizează printr-un ciclu de lucru complicat și lung.

Pentru a se obține suprafața flancului dintelui cu o rugozitate corespunzătoare, este necesară executarea rostogolirii cu viteze mici, ceea ce prelungește timpul de prelucrare.

Mult timp se pierde în ciclul respectiv și cu revenirea leagănului mașinii în poziția inițială pentru începerea rostogolirii de prelucrare a unui nou dinte.

Necesitatea efectuării tuturor acestor mișcări în cadrul ciclului de lucru are influență asupra preciziei de prelucrare întrucât fiecare mișcare introduce jocuri și erori prin lanțul cinematic de realizare a mișcării respective.

Întrucât roata din angrenajele cu rapoarte de transmitere $i > 3$, cu unghiul conului de divizare $\delta \geq 70^\circ$, are raza de curbura a profilului dintelui mare în secțiune transversală iar forma dintelui este aproape trapezoidală, aceasta permite ca prelucrarea să se facă fără generare prin rostogolire, numai prin copierea profilului cuțitelor.

Deoarece roata nu este prelucrată prin generare, tăierea pinionului trebuie să se facă prin metoda suprafeței înfășurătoare.

În acest caz ansamblul leagăn mașină și cap portcuțite nu materializează roata plană generatoare, ci roata pereche cu care va angrena pinionul, sub forma roții conice generatoare.

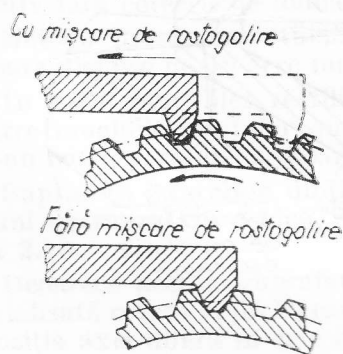


Fig. 2.41

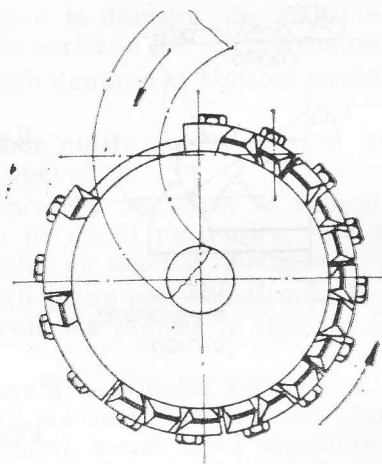


Fig. 2.42

Bineînțeles mașina trebuie să permită acest lucru din construcție prin înclinarea capului portcuțite, sau să se utilizeze la prelucrarea pinionului mașini cu roată plană generatoare, dar având mecanism de modificare a profilului dintelui.

Eliminarea mișcării de rostogolire la prelucrarea roții permite scurtarea ciclului, iar printr-o construcție corespunzătoare a mașinii de dantu-

rat se poate elimina și mișcarea de retragere a piesei, divizarea executându-se în golul dintre cuțitele montate pe capul portcuțite.

Din cauza eliminării mișcării de rostogolire, suprafața laterală a dinților nu mai este o suprafață elicoidală înfășurată pe conul de referință, ci o suprafață conică corespunzând conului măturat de muchiile cuțitelor.

Această suprafață conică intersectind corpul conic al semifabricatului, golul între dinți rezultă cu un profil trapezoidal în secțiune normală, corespunzând profilului cuțitelor.

În ceea ce privește dintele propriu zis, în secțiune normală acesta nu rezultă perfect trapezoidal, deoarece planul normal al dintelui nu corespunde cu planul normal al golului.

Abaterile sînt însă mici și pot fi neglijate, considerînd că și acest profil este trapezoidal.

Deoarece la aceste angrenaje prelucrarea se face prin rostogolire numai la pinion, în documentațiile în limba rusă aceste danturi se numesc semirostogolite.

În documentațiile în limba engleză denumirea este „Formate”.

În cele ce urmează vom folosi denumirea de dantură semiînfășurată.

În cazul prelucrării angrenajelor de mare serie se utilizează pentru prelucrarea roții, mașini speciale de broșat, care reduc timpul de prelucrare de 5—6 ori față de prelucrarea pe mașinile universale cu generare prin rostogolire.

La aceste mașini lipsește legătura cinematică între leagănul mașinii și păpușa portpiesă, lanț cinematic de precizia căruia depinde precizia mașinii de danturat ce lucrează prin rostogolire.

Aceste mașini avînd o construcție simplă, lanțuri cinematice scurte și reglaje operative, asigură și o precizie de cea. două ori mai mare. Precizia de prelucrare crește în cazul mașinii de broșat și datorită faptului că semifabricatul nu se mai retrage la fiecare dinte pentru divizare, aceasta avînd loc în golul dintre cuțite.

Broșarea golului între dinți conduce la o calitate a suprafeței flancului dinților mai bună în raport cu frezarea, ceea ce este foarte important în cazul angrenajelor diferențialelor auto, de exemplu, unde după tratamentul termic se execută o rodare, care trebuie să fie însă cît mai scurtă din motive de productivitate.

Roata angrenajului semiînfășurat se finisează într-o singură trecere (bilateral) fără generare prin rostogolire.

Pozițiile roții și a capului portcuțite rămîn fixe în timpul prelucrării, singura mișcare fiind rotația capului portcuțite, în cazul cînd așchieria se face prin broșare.

Dacă prelucrarea se face pe o mașină universală la care se poate bloca mișcarea de rostogolire, prelucrarea fiecărui dinte se face prin mișcarea de pătrundere executată de sania păpușii portpiesă.

Tăierea pinionului se face obligatoriu cu generare prin rostogolire pe fiecare flanc prin metoda unilaterală.

În acest caz profilul transversal al dintelui pinionului nu mai trebuie să fie cel obținut la dantura octoidală ci o curbă cu o rază de curbura mai mică, existînd abateri la bază și la vîrfurile dintelui ca în figura 2.29.

Fundul golului dintre dinți la prelucrarea danturii roții fiind într-un plan, planul vîrfurilor cuțitelor montate în capul portcuțite, înălțimea dintelui rezultă variabilă, fiind mai mică spre capete datorită curburii suprafeței conice exterioare a semifabricatului (fig. 2.43).

În cazul danturii generate prin rostogolire înălțimea dintelui este aceeași în toate planele radiale ale conului tocmai din cauza rostogolirii. În cazul danturii semiînfășurate, la roată în afara acestei variații a înălțimii dintelui mai apare spre capetele dintelui și o variație a unghiului de angrenare, după cum se vede din aceeași figură, având valori negative la un capăt și pozitive la celălalt.

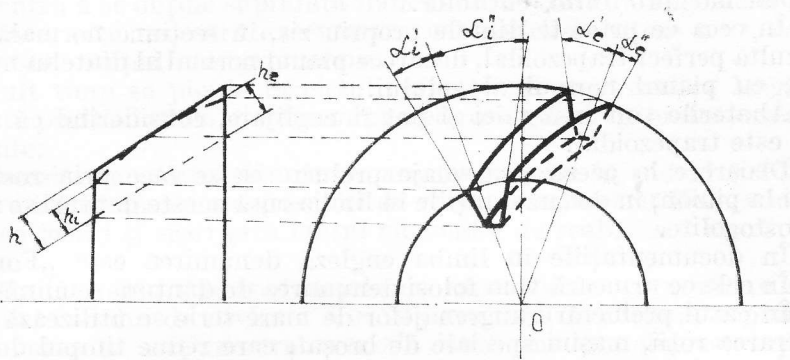


Fig. 2.43

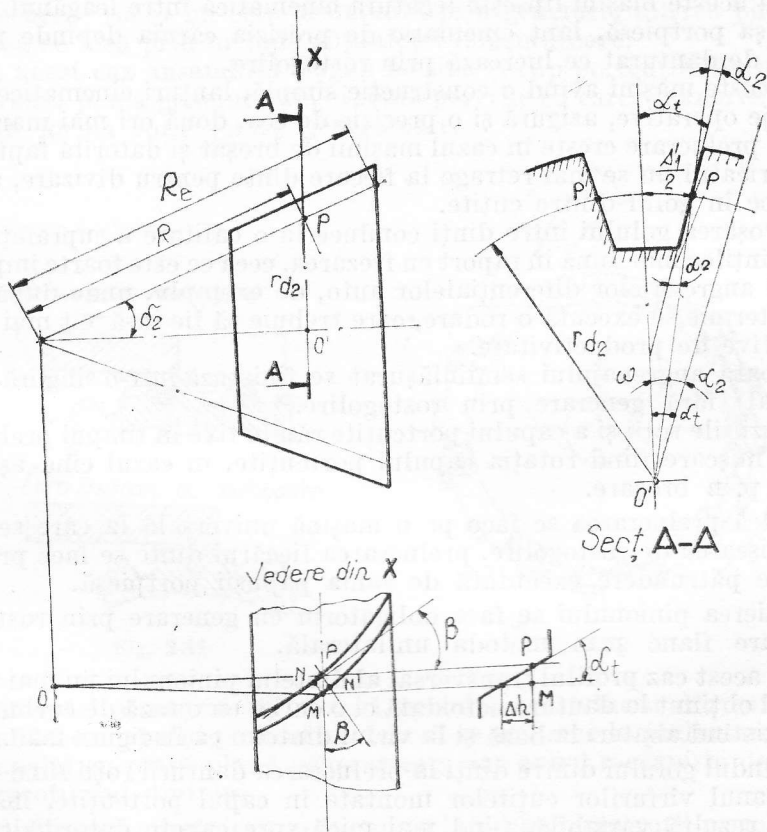


Fig. 2.44

Aceste variații explică limitele sistemului.

În afara acestor variații, mai apare și o diferență între unghiul sculelor de prelucrare a roții și unghiul de angrenare al pinionului.

În cazul prelucrării prin rostogolire a ambelor roți componente ale angrenajului, unghiul de angrenare al roții plane este unghi de angrenare comun.

În cazul angrenajelor semiînfășurate pinionul va avea pe cercul de divizare un unghi de angrenare diferit față de semiunghiul de deschidere al golului trapezoidal dintre dinții roții.

În figura 2.44 în secțiunea AA se prezintă semiunghiul de deschidere a profilului trapezoidal al golului dintre dinții roții.

Pe cercul de divizare de rază r_{d2} deschiderea golului dintre dinții roții va fi egală cu grosimea dintelui pinionului s'_1 , iar unghiul de angrenare în plan frontal pe cercul de divizare va fi α_2 .

Notînd cu α_n unghiul de angrenare în plan normal, în punctul P, în vederea din X se pot stabili următoarele relații:

$$\overline{PM} = \Delta h \operatorname{tg} \alpha_t; \overline{NP} = \Delta h \operatorname{tg} \alpha_n \text{ și } \overline{PN} = \overline{PM} \cos \beta.$$

Rezultă

$$\Delta h \operatorname{tg} \alpha_t \cos \beta = \Delta h \operatorname{tg} \alpha_n$$

respectiv

$$\operatorname{tg} \alpha_t = \operatorname{tg} \alpha_n / \cos \beta. \quad (2.65)$$

Revenind la secțiunea AA, unghiul de angrenare va fi $\alpha_2 = \alpha_t - \omega$.

Grosimea dintelui pinionului în punctul mediu va fi $s'_1 = PP' = s_1 R / R_e$, unde s_1 este grosimea dintelui în plan frontal (formula 2.24), la distanța R_e , admitînd că grosimea reprezintă jumătate din pas.

$$r_{d2} \pm \omega_{rad.} = s'_1 / 2; \quad \omega_{rad.} = s'_1 / 2 r_{d2}, \quad \omega^0 = 57,296 s'_1 / 2 r_{d2} = 28,65 s_1 R / r_{d2} \cdot R_e.$$

Rezultă

$$\omega^0 = 28,65 s_1 / R_e \sin \delta_2 \quad (2.66)$$

de unde,

$$\alpha_2 = \alpha_t - \omega^0 = \operatorname{arc} \operatorname{tg}(\operatorname{tg} \alpha_n / \cos \beta) - 28,65 s_1 / R_e \sin \delta_2. \quad (2.67)$$

Unghiul de angrenare în plan frontal al roții fiind α_2 se poate determina unghiul de angrenare în secțiune normală a pinionului:

$$\operatorname{tg} \alpha_{n1} = \operatorname{tg} \alpha_2 \cos \beta;$$

de unde:

$$\operatorname{tg} \alpha_{n1} = \operatorname{tg} \left[\operatorname{arc} \operatorname{tg} \left(\frac{\operatorname{tg} \alpha_n}{\cos \beta} \right) - \frac{28,65 s_1}{R_e \sin \delta_2} \right] \cos \beta. \quad (2.68)$$

După cum se vede din aceste considerații, în cazul cînd roata este prelucrată cu scule avînd unghiul de presiune normalizat, la pinion rezultă unghiuri de presiune ale sculelor diferite de valorile normalizate.

După cum s-a menționat la § 2.1.1 linia de angrenare a angrenajelor conice obținute prin rostogolire peste roată plană cu profil trapezoidal al dinților, este o octoidă pe o suprafață sferică.

În cazul angrenajelor, semiînfășurate profilul trapezoidal al dintelui roții conice generatoare negăsindu-se în planul diametral al sferei, linia de angrenare are o formă mai complexă, prezentându-se ca în figura 2.45.

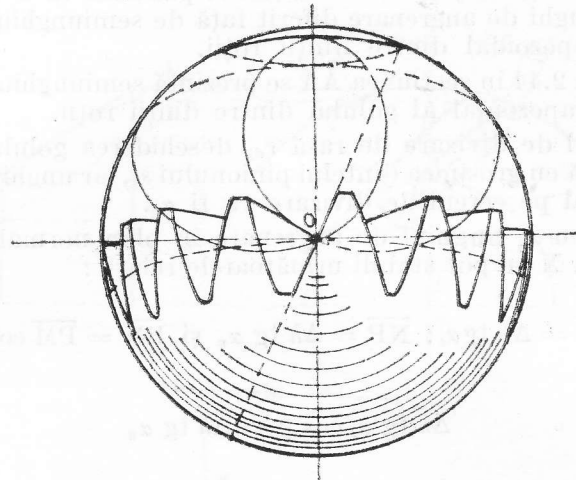


Fig. 2.45

Din cauză că la prelucrarea angrenajelor semiînfășurate este necesară o nomenclatură mai complicată de scule dar se asigură o productivitate ridicată, aceste angrenaje se pretează mai bine producției de mare serie. Limitele în care se folosesc în mod obișnuit angrenajele semiînfășurate sint date în tabelul 2.1.

Tabelul 2.1. Limitele angrenajelor semiînfășurate

| | | | | | | |
|---|-----------|----|---|---|-------|--------|
| Raportul de transmitere minim al angrenajului | i_{min} | 3 | 4 | 5 | 6...8 | 8...10 |
| Numărul de dinți minim al pinionului | z_{min} | 12 | 9 | 8 | 7 | 6 |

Suma numărului de dinți a angrenajului se recomandă $z_1 + z_2 \geq 40$, pentru unghiuri de angrenare $\alpha_n = 20^\circ$.

Unghiul conului de divizare al roții va fi $\delta_2 \geq 70^\circ$.

Lungimea generatoarei conului de divizare se recomandă $R_z = 65...190$.

Unghiul de înclinare al spirei dintelui se admite $\beta = 35^\circ ... 40^\circ$ și numai în cazuri extreme se merge la $\beta = 32^\circ ... 42^\circ$.

Raza nominală a capului portcuțite: $r_{CPC} = (0,5 ... 0,75) R$ — pentru dinți de înălțime constantă și $r_{CPC} = (0,96 ... 1,3) R$ — pentru dinți de înălțime variabilă, R fiind lungimea medie a generatoarei conului de divizare.

Lățimea coroanei dințate se poate determina cu formula $b = 0,155d_2$.
Alte elemente geometrice ale angrenajelor semiînfășurate sînt date în tabelul 2.2.

Tabelul 2.2. Elemente geometrice ale angrenajelor semiînfășurate

| Nr. de dinți al pinionului | $z_1 \rightarrow$ | 6 | 7 | 8 | 9 | 10 | 12 \rightarrow |
|---|---------------------|---|------|------|------|------|------------------|
| Coefficientul înălțimii capului dintelui | f_a | 0,75 | 0,78 | 0,80 | 0,82 | 0,84 | 0,86 |
| Coefficientul deplasării radiale a profilului | $x_r \rightarrow$ | 0,53 | 0,51 | 0,48 | 0,44 | 0,41 | 0,36 |
| Coefficientul jocului la fund | $c \rightarrow$ | 0,16 | 0,16 | 0,18 | 0,18 | 0,2 | 0,2 |
| Raportul de transmitere | i | Coefficientul deplasării tangențiale a profilului x_f | | | | | |
| | 3 | — | — | — | 0,17 | 0,18 | 0,2 |
| | 4 | — | 0,15 | 0,17 | 0,32 | 0,31 | 0,29 |
| | 5 | 0,18 | 0,22 | 0,30 | 0,34 | 0,32 | 0,30 |
| | 6 | 0,24 | 0,29 | 0,36 | 0,34 | 0,32 | 0,30 |
| | 7 | 0,29 | 0,35 | 0,36 | 0,35 | 0,33 | — |
| | 8 | 0,34 | 0,38 | 0,37 | — | — | — |
| | 10 | 0,38 | — | — | — | — | — |
| Unghiul de înclinare al spirei | $\beta \rightarrow$ | 35°...40° | | | | | |

După cum s-a menționat, dantura conică curbă semiînfășurată se pretează foarte bine pentru producția de mare serie și din această cauză este foarte mult utilizată în industria auto atît sub forma danturii de înălțime constantă cît și cu înălțime variabilă.

Firma Renault, de exemplu, a introdus pentru angrenajele diferențialelor auto încă din anul 1965 dantură în arc de cerc semiînfășurată cu înălțime constantă conform metodei de calcul propusă de F. Rochat. Firma Gleason căutînd să mențină înălțimea dintelui variabilă conform normelor AGMA, totodată conservînd avantajele danturii semiînfășurate și rezolvînd în principiu și problema suprafețelor conjugate a flancurilor danturii, a creiat o nouă metodă de prelucrare, denumită Helixform.

Această metodă de prelucrare necesită o mașină de danturat mai complicată, ceea ce ridică probleme privind precizia de fabricație a ei, dar permite executarea de dantură conică curbă în arc de cerc cu înălțime variabilă a dintelui fără contact diagonal.

Danturile Formate și Helixform în aparență sînt identice sub aspectul proporțiilor dinților.

Diferența constă în faptul că roata angrenajului Helixform are suprafața laterală a dinților făcînd parte dintr-un elicoid riglat evolventic în timp ce la Formate aceste suprafețe sînt conice.

Elicoidul riglat evolventic este o suprafață generată de mișcarea elicoidală a unei drepte tangență la un cilindru director, față de a cărui

generatoare, dreapta este așezată înclinat sub un unghi ce corespunde unghiului elicei descrise pe acest cilindru.

O suprafață elicoidală riglată de tip evolventic prezintă următoarele caracteristici :

- 1) Există o axă comună a suprafeței elicoidale și a cilindrului director după care se generează suprafața.
- 2) Curba de intersecție a suprafeței elicoidale cu un plan perpendicular pe axă, numit plan de bază, este o evolventă.
- 3) Intersecția suprafeței elicoidale cu un plan tangent la cilindrul director este o linie dreaptă, acest plan fiind planul curburii minime.

Legătura între suprafețele conice și cele elicoidale riglate este prezentată în figura 2.46.

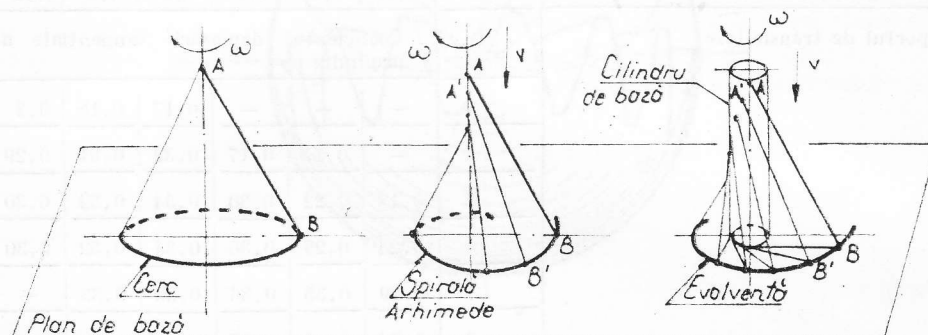


Fig. 2.46

Se vede din această figură că la rotirea unei drepte înclinate (de exemplu muchia așchietoare a cuțitului) față de axă se descrie o suprafață conică, segmentul de dreaptă fiind conținut în planul radial.

Dacă în afară de rotație se imprimă segmentului de dreaptă și o mișcare uniformă de avans în lungul axei, dreapta descrie o suprafață elicoidală a cărei intersecție cu planul de bază este o spirală arhimedică. Dacă această dreaptă este plasată tangent la un cilindru și este rotită și traslată simultan ea descrie o suprafață elicoidală a cărei intersecție cu planul de bază este o evolventă.

Acest principiu a fost aplicat în cazul procedurii Helixform construindu-se o mașină la care arborele capului portcuțite are o mișcare de avans în lungul axului său în afara mișcării de rotație necesară așchierii. Muchiile tăietoare ale cuțitelor montate pe capul portcuțite nu mai sînt ascuțite în planul radial al capului ca la dantura în arc de cerc generată prin rostogolire sau ca la sistemul Formate, ci într-un plan dezaxat față de axa de rotație cu raza cilindrului director.

În figura 2.47 sînt prezentate principiile de lucru în cazul Formate și în cazul Helixform.

Linia a' reprezintă traiectoria cuțitului de prelucrare a roții, iar b' traiectoria cuțitului de prelucrare a pinionului.

Axele X și X' de rotație a capetelor portcuțite sînt deplasate lateral față de planul axial al angrenajului și sînt înclinate una față de alta cu unghiul θ datorită faptului că fiecare axă este perpendiculară pe traiectoria cuțitului respectiv, în cazul Formate.

Dacă vom considera tășurile celor două cuțite suprapuse în punctul P, vom constata că acestea se intersectează în acest punct, dar au direcții diferite, din care cauză și normalele suprafețelor laterale a dinților nu vor avea aceeași direcție și angrenarea nu se va face corect, apărind contactul diagonal.

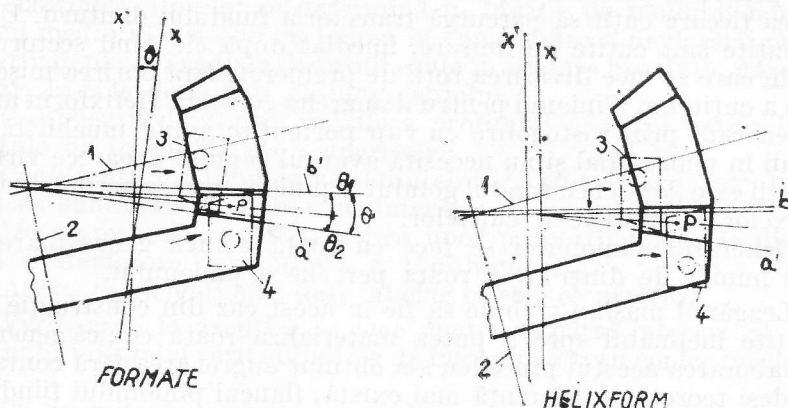


Fig. 2.47

În sistemul Helixform capul portcuțite afară de mișcarea de rotație are și un avans axial ceea ce permite ca traiectoria cuțitului să descrie dreapta a' (fundul golului danturii la roată) dar axa sa de rotație să fie paralelă cu axa de rotație la prelucrarea pinionului.

Mișcarea de avans a capului portcuțite este de fapt o mișcare de du-te-vino a cărei frecvență este cu atât mai mare cu cât este mai mare turația C.P.C. astfel încât fiecare cuțit montat pe capul portcuțite să poată parcurge traiectoria înclinată a fundului golului pe întreaga lățime a danturii.

Se vede că în acest caz în punctul mediu P muchiile tăietoare au aceeași direcție. Aceste muchii executând în același timp rotație și avansul cu viteză constantă descriu în spațiu suprafața elicoidală evolventică ce va constitui flancul dintelui.

Curba dintelui nu mai este un arc de cerc ci un arc de evolventă.

Ascățirea capului portcuțite se face de așa manieră încât există doi cilindri directori, cu raze diferite pentru fiecare flanc al dintelui.

În figura 2.48 este reprezentat planul perpendicular pe axa de rotație a capului portcuțite și curbele de intersecție a elicoizilor ce materializează suprafețele laterale a dinților, respectiv a, b și c, d.

Curba ab corespunde flancului concav și este o evolventă având cercul de bază cu raza OT iar curba cd flancul convex o evolventă a cercului de bază cu raza OT'.

Segmentul E reprezintă elementul liniar care prin riglare determină suprafața dintelui pe flancul concav.

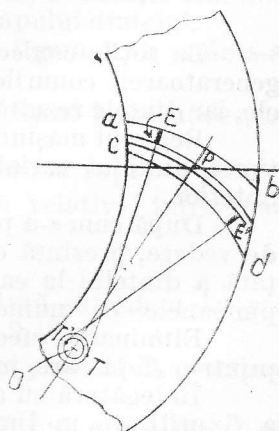


Fig. 2.48

În mod identic acest element este E' pentru flancul convex. Axa capului porteuite coincide cu axa elicoidului iar muchiile tăietoare a cuțitelor corespund segmentelor E și E'.

Cuțitele sint montate alternativ în capul porteuite cu spații suficiente pentru a permite capului porteuite să avanseze și să se retragă astfel ca fiecare cuțit să parcurgă traiectoria fundului danturii. Ultimele două cuțite sint cuțite de finisare, imediat după ele fiind sectorul fără cuțite în care se face divizarea roții de prelucrat, fără oprirea mișcării de rotație a cuțitelor. Pinionul pentru a angrena cu roata Helixform are dantura generată prin rostogolire cu cap porteuite avind muchii tăietoare rectilinii în plan radial și nu necesită avansul capului deoarece vârful dintelui roții este paralel cu fundul golului la pinion, ceea ce permite paralelismul axelor de rotație a cuțitelor.

Generarea pinionului se face cu roată conică generatoare avind același număr de dinți ca și roata pereche a pinionului.

Leagănul mașinii trebuie să fie în acest caz din construcție cu cap porteuite înclinabil spre a putea materializa roata conică generatoare. Prin elaborarea acestui procedeu s-a obținut angrenarea fără contact diagonal deși teoretic o diferență mai există, flancul pinionului fiind dirijat după un arc de cerc iar al roții după o evolventă. Din acest motiv precum și din cele arătate anterior reglajul mașinii mai necesită o serie de corecții pentru obținerea formei definitive a petei de contact, dar aceste corecții se afirmă că sint mai simple decit în cazul danturii Formate.

Deși informații asupra modului cum s-a răspândit metoda Helixform lipsesc, se pare că totuși nu a substituit metodele clasice, în principal probabil datorită construcției complicate a mașinii de danturat.

2.6. Angrenaje conice cu dantură curbă în arc de cerc cu înălțimea dintelui constantă

La roțile conice cu dantură curbă și înălțime constantă a dintelui, generatoarele conurilor de cap, de divizare și de picior sint paralele între ele, iar dintele rezultă cu același înălțime pe toată lățimea roții (fig. 2.19).

Reglajul mașinii este mai simplu în acest caz decit la roțile cu înălțimea dintelui variabilă, din motive de cinematică a generării expuse anterior.

După cum s-a precizat această formă, avantajoasă din multe puncte de vedere, prezintă ca dezavantaj o subțaiere și o ascuțire mai pronunțată a dintelui la capătul dinspre interiorul roții plane de referință, la pinioanele cu numere mici de dinți.

Eliminarea efectului negativ al acestei subțaieri poate fi realizată printr-o deplasare judicios aleasă a profilului dintelui.

În legătură cu aceasta, dantura de înălțime constantă se recomandă a fi utilizată în limitele :

$$k_b = 0,2 \dots 0,3; z_1 \geq 9; z_0 \geq 25; k_b = b/R_e; \quad (2.69)$$

în care :

- k_b — coeficientul lățimii danturii;
- b — lățimea coroanei dințate;
- R_e — lungimea generatoarei exterioare a conului de divizare;

z_1 — numărul de dinți al pinionului;

z_0 — numărul de dinți al roții plane de referință.

Principală proprietate a acestui tip de dantură — reglaje mai simple și scule mai universale — o fac utilizabilă la unicate și serie mică, dar în egală măsură este folosită și în producția de mare serie.

Înălțimea dintelui se determină în funcție de modulul normal din punctul mediu al dintelui cu luarea în considerare a deplasării profilului, respectiv deplasări radiale de profil egale în valoare absolută, dar de semn contrar, la cele două roți ale angrenajului.

Coeficienții deplasării radiale a profilului (x_r) sînt determinați din condițiile de îmbunătățire a angrenării.

Coeficienții înălțimii capului dintelui (f_a) sînt determinați din condiția lipsei subțâierii la diametrul interior.

De asemenea pentru stabilirea unor proporții juste ale dinților se aplică o deplasare tangențială a profilului (x_t).

Acești coeficienți sînt dați tabelar în cele ce urmează.

Verificarea la ascuțire se face pentru capătul interior al dinților prin analiza dintelui roții cilindrice de înlocuire a roții conice (vezi punctul 2.1.2).

Ca un criteriu la ascuțire se admite grosimea dintelui la vîrf din interior $s_v \geq (0,3 \dots 0,5) m_n$.

Ascuțirea dintelui este dependentă de metoda de tăiere aplicată, la metoda unilaterală de prelucrare fiind mai predispus la ascuțire pinionul iar la metoda bilaterală roata.

Pentru a micșora ascuțirea se recomandă să se prelucereze dantura cu capete porteuite de diametru relativ mic, $r_{CPC} < R$, unde :

r_{CPC} — raza nominală a capului porteuite și R — lungimea medie a generatoarei conului de divizare.

În caz de ascuțire a dintelui, în zona spre interior se poate face o fațetă la vîrf dinților.

Înălțimea fațetei (cit se intră în vîrf dintelui) se admite mai mică sau egală cu $[1 - (R_1/R)]h_a^2$ unde h_a — înălțimea capului dintelui.

Pentru verificarea subțâierii se apelează la figura 2.49 unde s-au făcut următoarele notații :

h_f — înălțimea piciorului dintelui roții de verificat la ascuțire (respectiv înălțimea capului dintelui roții plane);

δ — semi unghiul la vîrf al conului de divizare al roții;

\overline{OM} — axa instantanee de rotație (mișcare relativă între roata plană și roata conică);

\overline{OQ} — axa roții conice de prelucrat.

Muchia tăietoare a sculei este $\overline{P_vN}$ și ea mătură suprafața laterală a dintelui roții plane (suprafața hașurată în figura 2.49).

$R_v = \overline{OP_v}$ este distanța de la axa roții plane la punctul P_v corespunzător poziției în care vrem să facem verificarea.

\overline{MN} — dreapta care limitează capul dintelui roții plane fără a da interferențe, (analogie cu roțile cilindrice).

β_v — unghiul de inclinare a danturii în punctul unde se face verificarea.

În figura 2.49, *a* este dată schema de calcul pentru determinarea subțâierii în cazul roții conice, iar în figura 2.49, *b* pentru analogie în cazul roților cilindrice.

s_y — grosimea dintelui într-o secțiune oarecare,
 s_v — grosimea dintelui la vîrf pe cercul exterior al danturii.
 Grosimile s_y și s_v se determină cu relațiile :

$$s_y = mz(ev\alpha' - ev\alpha_y) \cos \alpha_0 / \cos \alpha_y; \text{ unde } ev\alpha' = (s/mz) + ev\alpha_0. \quad (2.74)$$

Întrucît

$$r_y = (mz/2) \cdot (\cos \alpha_0 / \cos \alpha_y),$$

înlocuind se obține

$$s_y = d_y[(s/mz) + (ev\alpha_0 - ev\alpha_y)]. \quad (2.75)$$

Rezultă :

$$s_v = d_a[(s/d) - (ev\alpha_v - ev\alpha_0)]. \quad (2.76)$$

Demonstrația acestor relații se poate găsi în lucrarea [9].

Alegerea diametrului capului portcuțite se face în funcție de lungimea generatoarei conului de divizare al angrenajului de prelucrat după relația $R/1,5 \leq r_{CFC} \leq 1,5R$, relație transpusă în fig. 2.50.

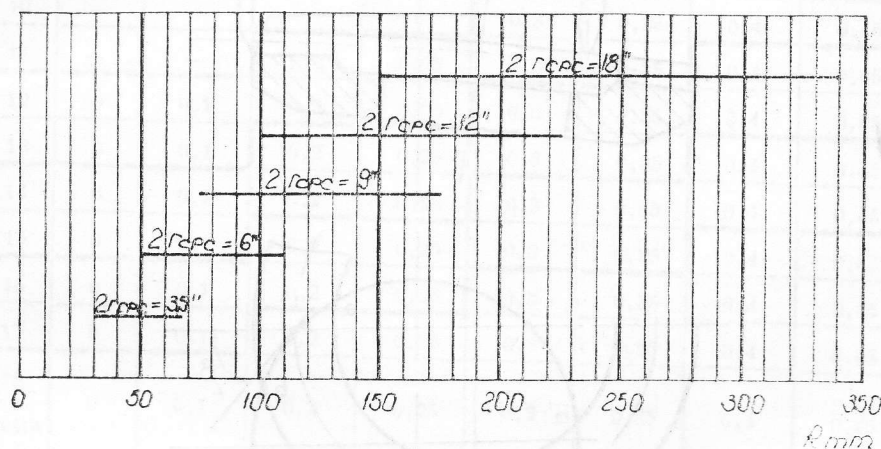


Fig. 2.50

După cum rezultă din această figură, fiecare angrenaj conic cu o lungime dată a generatoarei medii de divizare R poate fi prelucrat cu capete portcuțite cu raze mai mari sau mai mici decît R .

În cazul metodei bilaterale pentru angrenaje cu o construcție rigidă a arborelui și a lagărelor se poate folosi $r_{CFC} > R$, deoarece tendința de deplasare a petei de contact este mai mică datorită rigidității sporite.

Pentru construcții mai puțin rigide se va prefera $r_{CFC} < R$, întrucît în acest caz sintem mai aproape de situația în care pata de contact este mai stabilă (vezi 2.3.4).

O restricție de care este necesar a se ține seama în calculul roților cu dantură de înălțime constantă este evitarea tăierii duble la prelucrare.

Tăierea dublă apare la prelucrarea roților conice cu un unghi mare al conului de divizare și constă în faptul că secula atacă coroana dințată în partea opusă dintelui prelucrat, arcu a'b' în fig. 2.51.

Pericolul tăierii duble apare la prelucrarea roții angrenajelor la care $i > 5$. Dacă apare o astfel de situație soluțiile sînt :

Mărirea diametrului capului portcuțite, admiterea unei scăderi a înălțimii dintelui spre interior avînd valori în limita admisă pentru țesirea

dinților din cazul ascuțirii, sau aplicarea unor metode de prelucrare cu înclinarea capului portcuțite.

Și în cazul roților cu dinți în arc de cerc de înălțime constantă se aplică metodele de tăiere bilaterală și unilaterală.

În cazul tăierii flanc cu flanc prin metoda unilaterală, atit la roată cît și la pinion poziția axei capului portcuțite se determină din condiția de a se asigura unghiul de înclinare dat (β) în punctul mediu al fiecărui flanc al dintelui atit la pinion cît și la roată (figura 2.27).

În cazul prelucrării prin metoda unilaterală grosimea în secțiunea normală a dintelui și lățimea în secțiunea normală a golului se micșorează de la exterior spre interior dar nu proporțional cu lungimea generatoarei conului de divizare (cum este cazul la dantura dreaptă) din cauza schimbării unghiului de înclinare a spirei în lungul dintelui.

Lățimea cea mai mică a golului evident se găsește la diametrul interior.

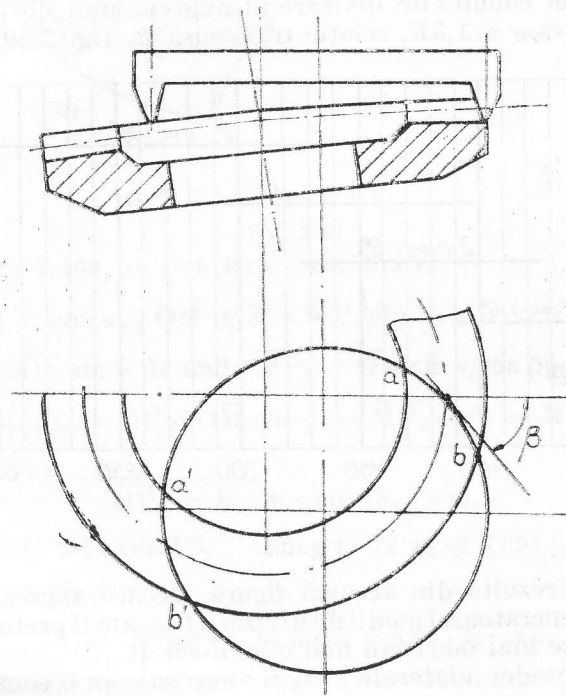


Fig. 2.51

În cazul tăierii roții prin metoda bilaterală, poziția capului portcuțite se determină din condiția asigurării unghiului spirei în punctul mediu al golului (figura 2.28).

Golul dintre dinți în acest caz este constant în toate secțiunile normale iar dintele are grosime variabilă.

Unghiul spirei în punctul mediu al flancului convex și unghiul spirei în punctul mediu al flancului concav sînt diferite.

Aceste unghiuri diferă față de unghiul spirei în punctul mediu al golului, unul în plus și unul în minus.

Pinionul pentru o roată tăiată prin metoda bilaterală va fi prelucrat prin metoda unilaterală și va trebui să asigure unghiurile de înclinare ale flancurilor concav și convex rezultate la roată.

Dintele pinionului trebuie să aibă în acest caz grosimea constantă în toate secțiunile, iar golul său este descrescător în lățime de la diametrul mare spre cel mic.

Pentru aceasta lățimea vârfului cuțitelor pentru tăierea pinionului se verifică la secțiunea golului în capătul interior.

Coefficienții deplasării radiale a profilului (x_r) și coeficientul înălțimii capului dintelui (f_a) pentru roțile conice cu dinți în arc de cerc de înălțime constantă și unghiul de angrenare $\alpha_n = 20^\circ$ sint dați în tabelul 2.3.

Tabelul 2.3. Coeficienții deplasării radiale a profilului și coeficienții înălțimii capului dintelui

| z_1 | Raportul de transmitere $i = z_2/z_1$ | | | | | | | |
|-------------|---------------------------------------|------|------|------|-----------|-----------|-----------|-----------|
| | 1,0 | 1,25 | 1,50 | 1,75 | 2,0...2,5 | 2,5...3,0 | 3,0...4,0 | 4,0...6,0 |
| 9* | — | — | — | — | — | — | 0,4 | 0,45 |
| 10 | — | — | — | — | 0,3 | 0,35 | 0,4 | 0,45 |
| 11 | — | — | 0,2 | 0,25 | 0,3 | 0,35 | 0,4 | 0,45 |
| 12 | 0 | 0,1 | 0,2 | 0,25 | 0,3 | 0,35 | 0,4 | 0,45 |
| 13 | 0 | 0,1 | 0,2 | 0,25 | 0,3 | 0,35 | 0,4 | 0,45 |
| 14 | 0 | 0,1 | 0,2 | 0,25 | 0,3 | 0,35 | 0,4 | 0,45 |
| 15 | 0 | 0,1 | 0,2 | 0,25 | 0,3 | 0,35 | 0,4 | 0,45 |
| 16 | 0 | 0,1 | 0,2 | 0,25 | 0,3 | 0,35 | 0,4 | 0,45 |
| 17 | 0 | 0,1 | 0,2 | 0,25 | 0,3 | 0,35 | 0,4 | 0,45 |
| 18 și peste | 0 | 0,1 | 0,2 | 0,25 | 0,3 | 0,35 | 0,4 | 0,45 |

În tabelul 2.3, z_2 este numărul de dinți al roții, iar z_1 numărul de dinți al pinionului.

Coefficienții deplasării radiale a profilului x_r se aleg pentru toate unghiurile de înclinare β și toate numerele de dinți ale pinioanelor numai în funcție de raportul de transmitere i (coloanele tabelului). La unghiul de înclinare a danturii $\beta = 35^\circ$ coeficientul înălțimii capului dintelui f_a se alege în funcție de z_1 și i în modul următor:

Dacă punctul determinat de intersecția coloanei i cu rîndul z_1 se găsește sub linia

| | |
|----------------|-------------|
| 1 — 1 | $f_a = 1,0$ |
| 1 — 1 și 2 — 2 | $f_a = 0,9$ |
| 2 — 2 și 3 — 3 | $f_a = 0,8$ |
| 3 — 3 și 4 — 4 | $f_a = 0,7$ |

Valorile coeficienților deplasării tangențiale a profilului x_t pentru angrenajele cu unghiul între axe $\Sigma = 90^\circ$ și unghiul de angrenare $\alpha_n = 20^\circ$ sint date în tabelul 2.4.

În acest tabel apar valori pentru deplasări tangențiale la unghiul de înclinare a dintelui $\beta = 0^\circ$.

Precizăm că aceste roți conice cu dantură curbă dar cu unghiul de înclinare mediu zero, se numesc roți cu dantură zerol.

Prin caracteristicile lor funcționale aceste roți sînt foarte apropiate de roțile conice cu dantură dreaptă și o pot înlocui fără probleme atît din punct de vedere al capacității de a transmite efort cît și din punct de vedere al efortului axial exercitat pe lagăre.

Coefficienții deplasărilor de profil și limitele danturii după indicația autorilor sînt stabiliți astfel încît să asigure lipsa subțierii și a ascuțirii dintelui [23].

Comparînd cu valorile stabilite de diverse firme care utilizează dantură de înălțime constantă, se remarcă că aceste valori sînt în general prudente, în alte recomandări mai noi existînd tendința de depășire a limitelor de mai sus.

Se poate deci concluziona că valorile prezentate sînt acoperitoare și un studiu atent al formei profilului prin metoda roții înlocuitoare sau prin metode analitice poate stabili limitele exacte și în ce condiții se pot extinde aceste limite.

Sinteza formulelor de calcul a danturii în arc de cerc cu înălțime constantă a dintelui pentru diferite metode de prelucrare este dată în tabelul 2.5.

Determinarea dimensiunilor conform acestui tabel presupune cunoașterea unor date inițiale stabilite din condiții cinematice și constructive, după cum urmează :

- | | |
|--|------------------|
| — Numărul de dinți al pinionului și al roții | z_1 și z_2 ; |
| — Unghiul între axele angrenajului | Σ ; |
| — Modulul frontal la diametrul mare | m_t ; |
| — Unghiul de înclinare a spirei dintelui pe cercul mediu al roții plane de referință | β ; |
| — Unghiul de angrenare în secțiune normală | α_n . |

Calculule efectuate conform tabelului 2.5 sînt valabile și pentru unghiul între axe diferit de 90° . Deoarece valorile din tabelele 2.3 și 2.4 sînt determinate pentru angrenaje cu unghiul între axe de 90° , pentru angrenajele unghiulare se calculează angrenajul echivalent (vezi figura 2.12)

În cazul cînd se calculează un angrenaj cu unghiul axelor 90° angrenajul echivalent rezultă chiar angrenajul dat.

Elementele angrenajului echivalent sînt marcate în tabelul 2.5 cu indicele obișnuit urmat de cifra 90.

Pentru aplicarea calculelor prezentate în tabelul 2.5 mai sînt necesare o serie de precizări.

Astfel pentru a defini sensul spirei unei roți cu dantură conică curbă regula este următoarea :

Privind dinspre vîrfurile conului, dacă sensul de parcurgere a spirei este în sens orar, sensul spirei este dreapta și invers.

În cazul roților zerol regula este aceeași cu mențiunea că se ia în considerare sensul la ieșirea de pe dantură, prin similitudine și față de sensul curbării dintelui (fig. 2.52).

Indicarea în desen a elementelor danturii se face ca în fig. 2.53. Se remarcă un număr mare de calcule privind dimensiunile danturii pe roata plană. Acest lucru este necesar deoarece pentru reglarea cuștelor pe capul portcușite avem nevoie de cunoașterea exactă a formei golului. În cazul studierii profilului dintelui este posibil de obținut din aceste relații grosimea dintelui pe cercul de divizare (s) necesar în formulele 2.74...2.76.

Tabelul 2.5. Calculul danturii în arc de cerc cu înălțime constantă a dintelui

| Nr. crt. | Elementul de calculat | Formulele de calcul | |
|----------|---|---|---|
| | | Pinion | Roată |
| 1 | Unghiul conului de divizare | $\text{ctg } \delta_1 = z_2/(z_1 \sin \Sigma) + \text{ctg } \Sigma$ | $\text{ctg } \delta_2 = z_1/(z_2 \sin \Sigma) + \text{ctg } \Sigma$ |
| 2 | Diametrul cercului de divizare | $d_1 = m_t z_1$ | $d_2 = m_t z_2$ |
| 3 | Lungime generatoare exterioară a conului de divizare | $R_g = d_1/2 \sin \delta_1 = d_2/2 \sin \delta_2$ | |
| 4 | Lungimea dintelui pe generatoare (lățime dantură) | $b = k_g R_g$ unde $k_g = 0, 2 \dots 0, 3$ | |
| 5 | Lungime generatoare medie a conului de divizare | $R = R_g - 0,5 b$ | |
| 6 | Lungime generatoare interioară a conului de divizare | $R_i = R_g - b$ | |
| 7 | Raportul lungimii generatoarei exterioare față de medie | $\lambda_g = R_g/R$ | |
| 8 | Raportul lungimii generatoarei interioare față de medie | $\lambda_i = R_i/R$ | |
| 9 | Modulul normal în punctul mediu al dintelui | $m_n = m_t \cos \beta / \lambda_g$ | |
| 10 | Raportul de transmitere al angrenajului conic echivalent avînd unghiul axelor 90° și numărul de dinți al pinionului echivalent | $i_{90} = \sqrt{(z_2/z_1)(\cos \delta_1/\cos \delta_2)} = \text{tg } \delta_{2-90}$ $z_{1-90} = z_1 \sin \delta_{2-90} / \cos \delta_1$ | |
| 11 | Înălțimea capului dintelui | $h_{a1} = (f_a + x_r) m_n$ $h_{a2} = (f_a - x_r) m_n$ x_r și f_a în tabelul 2.3. Valorile din tabel se aleg pentru i_{90} și z_{1-90} | |
| 12 | Înălțimea piciorului dintelui | $h_{f1} = (2f_a + c'_n) m_n - h_{a1}$ $h_{f2} = (2f_a + c_n) m_n - h_{a2}$ $c'_n = 0, 2 \dots 0, 25$ coeficientul jocului la picior | |
| 13 | Diametrul cercului de cap | $d_{a1} = d_1 + 2h_{a1} \cos \delta_1$ | $d_{a2} = d_2 + 2h_{a2} \cos \delta_2$ |
| 14 | Înălțimea exterioară a conului de divizare | $H_{e1} = R_g \cos \delta_1$ | $H_{e2} = R_g \cos \delta_2$ |
| 15 | Înălțimea exterioară a conului de cap | $H_{a1} = H_{e1} - h_{a1} \sin \delta_1$ | $H_{a2} = H_{e2} - h_{a2} \sin \delta_2$ |
| 16 | Diametrul nominal al capului portcuțite | $D_{CPC} = 2r_{GPC}$ (v. fig. 2.50) | |
| 17 | Numărul de dinți al roții plane de referință | $z_0 = \sqrt{z_1^2 + (z_2 + z_1 \cos \Sigma)^2 / \sin^2 \Sigma}$ | |
| 18 | Unghiul de înclinare spiră la exteriorul roții plane | $\sin \beta_e = [R_g + R(D_{CPC} \sin \beta - R)/R_g]/D_{CPC}$ | |
| 19 | Unghiul de înclinare spiră la interiorul roții plane | $\sin \beta_i = [R_i + R(D_{CPC} \sin \beta - R)/R_i]/D_{CPC}$ | |

Tabelul 2.5. (continuare)

| Nr. crt. | Elementul de calculat | Formulele de calcul | |
|----------|--|---|---|
| | | Pinion | Roată |
| 25 | Dimensiuni dinte și gol în secțiunea frontală la diametrul interior al roții plane | $s_{t1} = \text{grosime dinte pinion}$ | $s_{t12} = \text{grosime dinte roată}$ |
| | | $s_{gt1} = \text{lățime gol pinion}$ | $s_{gt12} = \text{lățime gol roată}$ |
| | | unilateral $s_{t1} = s_{gt12} = s_{n1}/\cos \beta_i$ | bilateral $s_{t12} = s_{gt11} = s_{n12}/\cos \beta_i$ |
| | | unilateral $s_{t11} = s_{gt12} = s_{n11}/\cos \beta_i$ | unilateral $s_{t12} = s_{gt11} = s_{n12}/\cos \beta_i$ |
| 26 | Verificarea la subțiere. Înălțimea piciorului dintelui trebuie să fie mai mică decât valoarea din calculul de verificare | Calculul de verificare se execută la pinion cu formula: $h_f = R_i \sin^2 \alpha_n \operatorname{tg} \delta_i \cos \beta_i / \cos(\beta_i - \nu)$ unde $\sin \nu = \operatorname{tg} \alpha_n \operatorname{tg} \delta_i \cos \beta_i$ Calculul se execută pentru două cazuri $+\alpha_n$ și $-\alpha_n$ $h_{f1} < h_f$ (pentru h_{f1} v. pct. 12) | |

În afară de aceasta, la module mici, sub 2,5, îngustarea golului între dinți la capătul dinspre interiorul roții constituie o problemă dificilă de rezolvat, determinând utilizarea unor scule cu lățimi mici la vîrf deci cu o durabilitate scăzută.

Acest fenomen apare și la module mai mari (3; 3,5) în cazul unor roți cu număr mare de dinți și deci cu o lățime mare a coroanei dințate, ceea ce determină micșorarea modulului la capătul dinspre interior al dintelui sub valoarea 2,5.

Deasemeni în cazul unor angrenaje cu rapoarte mari de transmitere, datorită apropierii roții de forma roții plane, apare pericolul tăierii duble la prelucrare.

Aceste limitări presupun în fiecare caz studierea atentă a geometriei angrenajului și alegerea metodei de prelucrare corespunzătoare.

2.6.1. Exemplu de calcul al unui angrenaj cu dantură conică în arc de cerc cu înălțimea dintelui constantă

Elementele cunoscute inițial:

- Numărul de dinți al pinionului și roții $z_1 = 27$ $z_2 = 48$
- Unghiul între axele angrenajului $\Sigma = 90^\circ$
- Modulul frontal la diametrul mare $m_t = 4$
- Unghiul de înclinare al spirei pe cercul mediu al roții plane. $\beta = 35^\circ$
- Unghiul de angrenare în secțiune normală $\alpha_n = 20^\circ$

Desenul angrenajului și notațiile corespund cu figura 2.53.

Calculul se execută conform tabelului 2.5 și sunt redată în tabelul 2.7.

Valorile necesare a fi marcate pe desenele de execuție sunt indicate în tabelul 2.6.

Punctele 1...6, din tabelul 2.6, corespund datelor inițiale ale angrenajului, iar punctele 7...13 valorilor calculate conform tabelului 2.5, în tabelul 2.7.

O roată dințată conică cu dantură curbă se poate executa cu dantură de înălțime variabilă, sau cu dantură de înălțime constantă.

În cazul când realizăm dantură de înălțime constantă, după standardele sovietice, folosim o dantură avînd forma dintelui III.

După cum s-a văzut dantura conică curbă de înălțime constantă este o dantură teoretic exactă (profile perfect conjugate) iar dantura conică curbă de înălțime variabilă o dantură în care profilele dinților nu sînt perfect conjugate decît dacă se fac anumite corecții la reglajele de execuție, corecții definite ca fiind aproximații de ordinul 1, 2 și 3, după gradul de precizie al danturii de realizat.

Dantura conică curbă de forma I are o formă arbitrar aleasă, prin comparație cu dantura conică dreaptă la care prin această formă se obține proporționalitatea înălțimii dintelui cu modulul.

Datorită acestui fapt este clar că înălțimea variabilă a dintelui admite și forme diferite de forma I, avînd ca limită înălțimea constantă a dintelui cînd se ajunge la forma exactă a danturii.

Cazurile posibile sînt ilustrate în figura 2.54, *a* și *b*, cazuri în care după terminologia sovietică avem o dantură cu dinți de forma II. După terminologia firmei Gleason avem o dantură cu fundul dintelui înclinat (Tilted Root Line) sau preseurtat TRL.

Forma dintelui I este forma uzuală pentru dantura conică dreaptă.

Dantura conică curbă de forma I se utilizează mai puțin prezentînd unele dezavantaje și ea reprezintă istoric prima etapă de dezvoltare a danturii conice curbe.

Forma dintelui II se utilizează numai la danturile conice curbe.

Datorită posibilității de variație a unghiului conului de fund al danturii, ea permite obținerea unei forme optime a dintelui aplicînd metoda de prelucrare de cea mai mare productivitate, respectiv metoda bilaterală.

Forma dintelui III (dinți de înălțime constantă) se utilizează mult în construcția de mașini prezentînd avantajul unor reglaje de prelucrare teoretic exacte și a simplității nomenclatorului de scule, dar avînd și unele limitări după cum s-a văzut la capitolul respectiv.

Revenind la dantura de forma I acești dinți pot fi obținuți, în cazul danturii în arc de cerc, prin prelucrare unilaterală (flanc cu flanc), la ambele roți ale angrenajului, sau prin prelucrare bilaterală simplă (bilaterală la roată și unilaterală la pinion).

Deși aplicarea metodei unilaterale la ambele roți ale angrenajului poate asigura o îngustare egală dintelui și golului, (denumită îngustare obișnuită normală) această metodă este mai puțin productivă din necesitatea de a se prelucra fiecare flanc în parte. Metoda este recomandată la angrenaje unicate sau angrenaje de mare precizie, în practică la producția de serie și chiar la unicate preferîndu-se însă metoda bilaterală simplă.

Această metodă, datorită prelucrării simultane a ambelor flancuri ale golului între dinții roții, asigură o productivitate mai mare.

Evident productivitatea prelucrării unui angrenaj este în acest caz cu atît mai mare cu cît pinionul are un număr mai mic de dinți în raport cu numărul de dinți al roții.

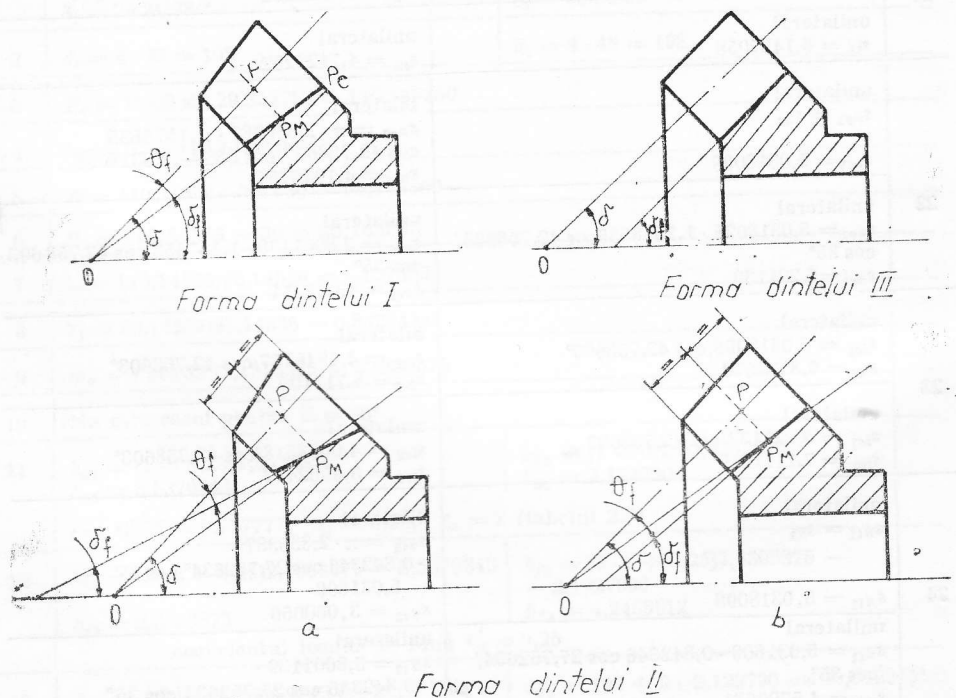
Aplicarea metodei bilaterale simple în cazul danturii de înălțime variabilă standard, respectiv forma I, duce în multe cazuri însă la o formă a dintelui mai puțin corespunzătoare din punct de vedere al îngustării longitudinale.

Tabelul 2.7 (continuare)

| Nr. crt. | Pinion | Roată |
|----------|--|---|
| 25 | unilateral $s_{ti1} = 5,0318098/\cos 27,752634^\circ$ $s_{ti1} = 5,6858779$ | unilateral $s_{ti2} = 3,060056/\cos 27,752634^\circ$ $s_{ti2} = 3,4578224$ |
| | unilateral $s_{ti1} = 4,5790681/\cos 27,752634^\circ$ $s_{ti1} = 5,1742858$ | unilateral $s_{ti2} = 3,5127966/\cos 27,752634^\circ$ $s_{ti2} = 3,9694132$ |
| 26 | $\sin \nu = \pm \operatorname{tg} 20^\circ \operatorname{tg} 29,357754^\circ \cos 27,752634^\circ$ $\sin \nu = \pm 0,1811819$ $h_f = 80,14536 \sin^2 20^\circ \operatorname{tg} 29,357754^\circ \cos 27,752634^\circ / \cos(27,752634^\circ \mp 10,438609^\circ)$ $h_f = 4,6669204 / \cos 17,314025^\circ$ $h_f = 4,888425$ $h_{f1} = 2,830387$ deci $h_{f1} < h_f$ | $\nu = \pm 10,438609^\circ$ $h_f = 4,6669204 / \cos 38,191243^\circ$ $h_f = 5,937924$ |

2.7. Angrenaje conice cu dantură curbă în arc de cerc cu înălțimea dintelui variabilă

După cum s-a precizat anterior, dantura conică curbă la care generatoarea conului de fund trece prin vârful conului de divizare este o dantură de înălțime variabilă standard, sau după literatura tehnică sovietică dantură avînd forma dintelui I.



Forma dintelui II

Fig. 2.54

În fig. 2.55 sînt prezentate formele de dinte care se pot obține din punct de vedere al îngustării, forme dependente de metoda de prelucrare și de caracteristicile geometrice ale angrenajului.

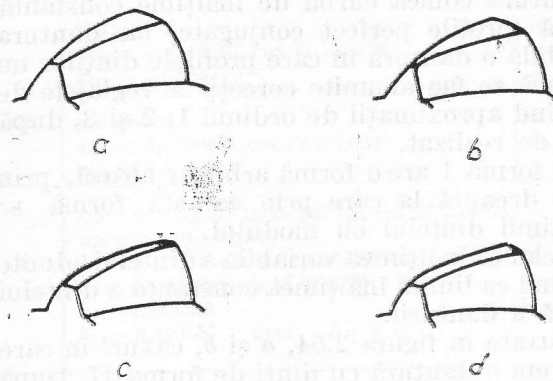


Fig. 2.55

Aceste forme sînt : *a* și *b* — îngustare obișnuită, *c* — îngustare inversă, *d* — îngustare optimă.

Îngustarea obișnuită poate fi : îngustare obișnuită normală (*a*), sau îngustare obișnuită anormală (*b*).

Îngustarea obișnuită normală se obține în cazul prelucrării ambelor roți prin metoda unilaterală caz în care îngustarea golului între dinți și a plinului dintelui se pot face egale fiind jumătate din îngustarea fundamentală. În acest caz unghiul de

înclinare al flancurilor pe cercul mediu al roții plane este egal la ambele flancuri (v. fig. 2.27).

Îngustarea obișnuită anormală apare în cazul prelucrării bilaterale, dintele îngustindu-se prea mult în capătul d'n interior datorită lățimii constante a golului între dinți. În această situație unghiurile de inclinare ale flancurilor pe cercul mediu nu mai sînt egale (v. fig. 2.28).

Forma optimă a dintelui, deci îngustarea optimă în acest caz, se consideră că se obține atunci cînd fațeta rezultată pe vîrfurile dintelui este constantă la roata prelucrată bilateral. Aceasta se obține atunci cînd unghiurile de inclinare pe flancurile dintelui sînt aduse să fie egale, după cum s-a demonstrat în capitolul 2.4.

Executarea într-un angrenaj conic cu dantură de forma I a roții prin metoda bilaterală, deci cu lățimea golului la fund constantă, conduce la vîrfurile dintelui cu lățime variabilă.

Pinionul prelucrîndu-se unilateral este realizat în acest caz cu lățimea dintelui la vîrf constantă și lățimea golului la fund variabilă. Metoda bilaterală simplă este deci eficientă și economică dar ea se realizează, în cazul formei I, cu unele compromisuri deoarece în dantura conică există o îngustare fundamentală, îngustare ce reprezintă diferența dintre pasul exterior și pasul interior.

Analiza relațiilor ce exprimă mărimea golului la fund la pinion poate indica metoda de ameliorare a influenței îngustării.

Aceste relații sînt :

$$w_{1e} = \left[\frac{R_e}{R} \cdot \frac{\cos \beta_e}{\cos \beta}, p_n \right] - [(h_{fe1} + h_{fe2}) 2 \operatorname{tg} \alpha_n] - [w_{e2}] + \left[\frac{j_n}{\cos \alpha_n} \right], \quad (2.77)$$

w_{1e} — lățimea golului la fund dantură pinion în capătul exterior,

p_n — pasul normal în punctul mediu al danturii,

h_{fe1} — înălțimea piciorului dintelui în capătul exterior la pinion

- h_{f2} — înălțimea piciorului dintelui în capăt exterior la roată,
 w_{e2} — lățimea golului la fund dantură roată în capătul exterior,
 j_n — jocul normal între flaneurile dinților.

$$w_{1i} = \left[\frac{R_i}{R} \cdot \frac{\cos \beta_i}{\cos \beta} \cdot p_n \right] - [(h_{f11} + h_{f12}) 2 \operatorname{tg} \alpha_n] - [w_{i2}] + \left[\frac{R_i}{R} \cdot \frac{\cos \beta_i}{\cos \beta} \cdot \frac{j_n}{\cos \alpha_n} \right], \quad (2.78)$$

- w_{1i} — lățimea golului la fund dantură pinion în capătul interior,
 h_{f11} — înălțimea piciorului dintelui în capătul interior al danturii la pinion,
 h_{f12} — înălțimea piciorului dintelui în capătul interior al danturii la roată.

Întrucît roata se prelucrează prin metoda bilaterală lățimea golului pe fundul danturii este constant pe întreaga lățime a roții, deci

$$w_{e2} = w_{i2} = w_2.$$

Orice schimbare a valorii lățimii w_2 va modifica și lățimea corespunzătoare a golului la fund la pinion, respectiv w_{1e} și w_{1i} .

Făcînd diferența $w_{1e} - w_{1i}$ se observă însă că această diferență, respectiv îngustarea golului, nu depinde de mărimea golului la roată, expresia avînd numai parametri independenți de lățimea golului la fundul danturii roții.

$$w_{1e} - w_{1i} = (R_e \cos \beta_e - R_i \cos \beta_i) \left(\frac{p_n}{R \cos \beta} + \frac{j_n}{R_e \cos \beta_e \cos \alpha_n} \right) - 2 \operatorname{tg} \alpha_n [\Sigma h_{f1} + \Sigma h_{f2}]. \quad (2.79)$$

Analizînd această relație se remarcă posibilitatea de a modifica îngustarea golului la pinion prin modificarea mărimii piciorului dinților din termenul al doilea al expresiei.

Acest lucru se face rotînd linia de fund a danturii de forma I în jurul unui punct care se admite ca fiind punctul mediu (P_M fig. 2.54) ceea ce conduce la modificarea înălțimii piciorului dinților la ambele capete.

Metoda este cunoscută sub denumirea abreviată TRLM.

Linia de fund a danturii poate fi rotită în jurul oricărui punct de pe fundul danturii. Astfel în prima etapă de aplicare a acestui principiu rotirea se făcea în jurul punctului din exteriorul danturii (P_e fig. 2.54) caz în care abrevierea era TRLL.

În prezent se preferă sistemul TRLM acesta conducînd la o formă mai convenabilă a dintelui spre capătul interior al danturii.

În practică pentru un angrenaj dat, calculul de stabilire a parametrilor danturii nu se face luînd în considerare înălțimea piciorului dinților ci suma unghiurilor piciorului dinților $\Sigma \theta_f = \theta_{f1} + \theta_{f2}$.

La prima vedere s-ar părea că datorită lățimilor constante la fundul danturii, la ambele roți ale angrenajului, se poate aplica prelucrarea dublă bilaterală.

În realitate datorită faptului că dantura de înălțime variabilă nu este teoretic exactă, spre a se obține conjugarea profilelor, se execută și în acest caz unilateral pinionul.

Prelucrând unilateral pinionul se execută corecții ale reglajelor de bază, corecții ce sînt diferite și de sens contrar la flancurile dintelui. Atît la dantura de forma II prelucrată bilateral simplu cît și la cea prelucrată dublu bilateral se urmărește egalizarea unghiurilor de înclinare pe flancurile dintelui.

În această situație se ajunge atunci cînd parametrii danturii satisfac relația 2.63 respectiv,

$$\Sigma \theta_{fD} = \theta_{f1} + \theta_{f2} = \frac{10\ 800}{z_0 \operatorname{tg} \alpha_n \cos \beta} \cdot \left(1 - \frac{R \sin \beta}{r_{CPC}} \right) \text{ minute.} \quad (2.80)$$

În cazul prelucrării dublu bilaterale (deci lățimea golului la fundul danturii este constantă la ambele roți), din cauza abaterilor inerente danturii conice curbe de înălțime variabilă și care nu mai pot fi corectate în mod corespunzător, metoda este admisă numai pentru module mici și precizii mai scăzute ale danturii.

După cum se observă din relația 2.80 schimbarea mărimii capului porteuite produce influențe asupra sumei unghiurilor de picior $\Sigma \theta_{fD}$ la care se produce efectul „Duplex” respectiv egalizarea unghiurilor de înclinare pe flancuri și egalizarea lățimii golului la fundul danturii pinionului și a vârfului dintelui roții.

În figura 2.56 se ilustrează această influență legată de mărimea capului porteuite în raport cu lungimea generatoarei comune după cum urmează :

a) $\Sigma \theta_{fst}$ pentru înălțimea variabilă standard.

b) $\Sigma \theta_f$ pentru cazul TRLM prelucrat cu cap porteuite avînd raza mai mare decît lungimea generatoarei comune medii R.

Rezultă $\Sigma \theta_{fTRLM} > \Sigma \theta_{fst}$.

c) $\Sigma \theta_f$ pentru cazul TRLM prelucrat cu cap porteuite avînd raza mai mică decît lungimea generatoarei comune medii R.

Rezultă $\Sigma \theta_{fTRLM} < \Sigma \theta_{fst}$.

Din formula 2.80 se observă că atunci cînd raza capului porteuit $r_{CPC} = R \sin \beta$ rezultă $\Sigma \theta_f = 0$ deci se ajunge la o dantură de înălțime constantă.

Această dantură de înălțime constantă la care se respectă relația $r_{CPC} = R \sin \beta$ este încadrată ca dantură de forma II (fig. 2.54).

Deoarece capetele porteuite sînt normalizate se lucrează în realitate cu capete porteuite stabilite conform relației transpuse în figura 2.50, respectiv $R/1,5 \leq r_{CPC} \leq 1,5R$, avînd deaceia în acest caz cu o dantură de înălțime constantă de forma III.

Este interesant de remarcă că la dantura în arc de cerc curbura dintelui evoluează între limita $r_{CPC} = R \sin \beta$, cînd arcul de cerc al dintelui aproximează o evolventă și $r_{CPC} = R/\sin \beta$ cînd arcul de cerc al dintelui aproximează o spirală logaritmică. Pentru $r_{CPC} = R$ arcul de cerc al dintelui aproximează o spirală arhimedică.

Pentru cazul TRLM stabilirea mărimii $\Sigma \theta_f$ se face cu relațiile:)

$$\Sigma \theta_{fT} = 1,3 \cdot \Sigma \theta_{fstd} \text{ cînd } z_1 \geq 12, \quad (2.81)$$

$$\Sigma \theta_{fT} = (1,06 + 0,02 z_1) \Sigma \theta_{fstd} \text{ cînd } z_1 < 12.$$

$\Sigma \theta_{fstd}$ — suma unghiurilor piciorului dinților în cazul danturii de forma I.

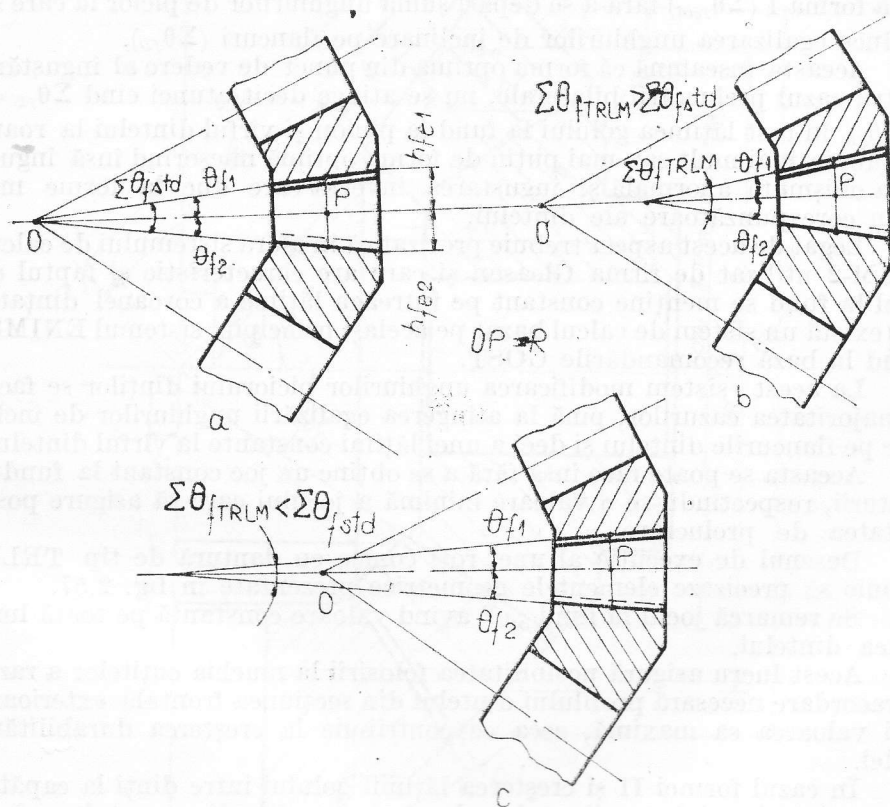


Fig. 2.56

Pentru $\Sigma \theta_{fTRLM}$ se alege valoarea cea mai mică dintre $\Sigma \theta_{fD}$ și $\Sigma \theta_{fT}$ (relațiile 2.80 și 2.81) neadmitîndu-se însă valori negative.

În general spre a se încadra în valorile acestea se poate acționa prin mărimea razei capului portcuțite r_{CPC} din relația 2.80.

În cazul TRLM stabilindu-se, pentru un angrenaj dat, o valoare a sumei unghiurilor de picior se pune problema stabilirii valorilor pentru unghiurile θ_{f1} și θ_{f2} .

Inițial această sumă se împărțea în mod egal între roțile angrenajului, metoda de calcul corespunzătoare fiind cunoscută ca TRLM-1.

În prezent se preferă ca unghiul de picior să fie proporțional cu înălțimea capului dintelui roții pereche, metoda de calcul fiind abreviată TRLM-2.

În acest caz relațiile de calcul sint :

$$\begin{aligned}\theta_{f1} &= \Sigma \theta_f [h_{am2}/(h_{am1} + h_{am2})], \\ \theta_{f2} &= \Sigma \theta_f [h_{am1}/(h_{am1} + h_{am2})].\end{aligned}\quad (2.82)$$

Aplicind conceptul TRLM se observă din relațiile 2.81 că suma unghiurilor de picior ($\Sigma \theta_{fT}$) se face în raport cu suma unghiurilor de picior, de la forma I ($\Sigma \theta_{fsta}$) fără a se depăși suma unghiurilor de picior la care se produce egalizarea unghiurilor de înclinare pe flancuri ($\Sigma \theta_{fD}$).

Aceasta înseamnă că forma optimă din punct de vedere al îngustării pentru cazul prelucrării bilaterale, nu se atinge decât atunci cînd $\Sigma \theta_{fT} = \Sigma \theta_{fD}$ în rest lățimea golului la fund la pinion și vîrf dintelui la roată se apropie mai mult sau mai puțin de forma optimă micșorînd însă îngustarea obișnuită anormală și îngustarea inversă care duc la forme mai puțin corespunzătoare ale dintelui.

Legat de acest aspect trebuie precizat că în afara sistemului de calcul TRLM-2 utilizat de firma Gleason și care are caracteristic și faptul că jocul la fund se menține constant pe întreaga lățime a coroanei dințate, mai există un sistem de calcul bazat pe același principiu, sistemul ENIMS, avînd la bază recomandările GOST.

La acest sistem modificarea unghiurilor piciorului dinților se face, în majoritatea cazurilor, pînă la atingerea egalizării unghiurilor de înclinare pe flancurile dintelui și deci a unei lățimi constante la vîrf dintelui.

Aceasta se poate face însă fără a se obține un joc constant la fundul danturii, respectîndu-se o valoare minimă a jocului care să asigure posibilitatea de prelucrare.

Desenul de execuție al unei roți conice cu dantură de tip TRLM trebuie să precizeze elementele geometrice prezentate în fig. 2.57.

Se remarcă jocul la fund „c” avînd valoare constantă pe toată lungimea dintelui.

Acest lucru asigură posibilitatea folosirii la muchia cuțitelor a razei de racordare necesară profilului dintelui din secțiunea frontală exterioară deci valoarea sa maximă, ceea ce contribuie la creșterea durabilității sculei.

În cazul formei II și creșterea lățimii golului între dinți la capătul dinspre interior al danturii conduce la efecte benefice din punct de vedere al productivității, prin sporirea durabilității cuțitelor datorită creșterii lățimii lor la vîrf, iar din punct de vedere calitativ se poate obține o calitate ameliorată a suprafeței dinților prin posibilitatea de a se lăsa pe flancuri adaosuri de finisare de grosime uniformă pe întreaga lungime a dintelui.

În ceea ce privește execuția, dantura de înălțime variabilă, nefiînd teoretic exactă, necesită o serie de corecții pentru a se obține conjugarea profilelor dinților. Calculul reglajelor pentru frezare și rectificare dantură incluzînd și corecțiile sub forma aproximațiilor de ordinul 1, 2, și 3, însumează cca 500 relații de calcul.

Realizarea unui contact corect al flancurilor conjugate necesită în final o fază de analiză denumită „Dezvoltarea petei de contact” acțiune care la rîndul său însumează și ea un număr de peste 100 de relații de calcul. Acest volum mare de calcule presupune executarea sa pe calculator.

În caz contrar, în lipsa programului de calcul, consumul mare de timp, pentru pregătirea fișelor de reglaj la execuție constituie un impediment ce nu poate fi neglijat în decizia de folosire a danturii de înălțime variabilă, dacă se dorește un angrenaj de calitate.

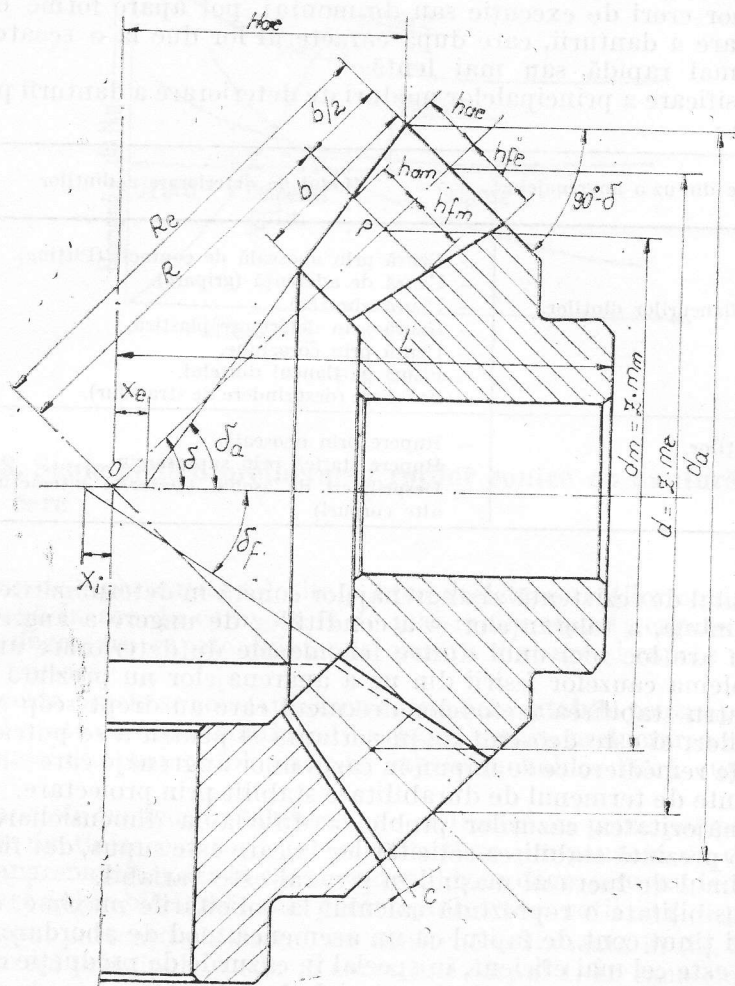


Fig. 2.57

2.3. Calculul de rezistență al angrenajelor conice

Angrenajele conice sînt organe de mașini foarte complexe și calculul lor de rezistență trebuie să asigure o durabilitate corespunzătoare, în caz contrar înlocuirea presupunînd operații complexe care nu pot fi executate decît în condiții de dotare cu verificatoare special destinate acestui scop.

Un angrenaj conic bine proiectat, bine executat, bine montat și avînd o ungere corespunzătoare, trebuie să prezinte în zona de contact

a dinților o suprafață lucioasă fără denivelări palpabile între zona de contact și restul suprafeței.

Scoaterea din funcțiune a angrenajului, în majoritatea cazurilor, se datorește deteriorării danturii.

La un angrenaj conic datorită solicitărilor complexe, precum și datorită unor erori de execuție sau de montaj, pot apare forme diferite de deteriorare a danturii, care după caracterul lor duc la o scoatere din funcțiune mai rapidă sau mai lentă.

O clasificare a principalelor moduri de deteriorare a danturii poate fi următoarea :

| Cauze de ieșire din uz a angrenajelor | Modul de deteriorare a dinților |
|---------------------------------------|--|
| Distrugerea flancurilor dinților, | <ul style="list-style-type: none"> — Uzură prin oboseală de contact. (Pitting). — Uzură de aderență (gripare). — Uzură abrazivă. — Uzură prin deformare plastică. — Uzură prin coroziune. — Fisuri pe flancul dintelui. — Exfoliere (desprindere de strat dur). |
| Ruperea dinților. | <ul style="list-style-type: none"> — Rupere prin obosală. — Rupere statică prin suprasarcini. — Desprinderi de așchii. (Datorită interacțiunii cu alte corpuri) |

Calculul de rezistență al angrenajelor constă în determinarea dimensiunilor minime, a toleranțelor și a condițiilor de ungere a angrenajului la care nu are loc nici unul dintre fenomenele de deteriorare amintite.

Problema cauzelor ieșirii din uz a angrenajelor nu prezintă interes numai pentru stabilirea metodelor de calcul care au drept scop evitarea deteriorărilor, ci este deosebit de importantă și pentru a se putea stabili măsurile de remediere ce se impun în cazul unor angrenaje care s-au deteriorat înainte de termenul de durabilitate stabilit prin proiectare.

În majoritatea cazurilor problema dificilă la dimensionarea unui angrenaj o prezintă stabilirea solicitărilor la care este supus, dat fiind faptul că regimul de lucru al mașinii în general este variabil.

O posibilitate o reprezintă calculul la solicitările maxime, dar trebuie totuși ținut cont de faptul că un asemenea mod de abordare al problemei nu este cel mai eficient, în special în cazurile de producție de mare serie când se implică mari valori materiale în fabricație.

Un mod mai eficient, dar mai laborios, de studiu al unui angrenaj îl constituie desfășurarea calculului pe un domeniu care acoperă regimurile posibile de funcționare, după cum s-a ilustrat în fig. 2.58.

Într-o asemenea diagramă, viteză — încărcare, se pot reprezenta domeniile în care poate fi preponderentă o cauză sau alta a deteriorării și dimensionarea se poate face mult mai judicios. Acest mod de abordare a problemei este mai laborios dar în condițiile existenței mijloacelor de calcul moderne nu poate reprezenta un impediment, cu condiția existenței unor programe de calcul corespunzătoare.

Literatura noastră tehnică a abordat aceste probleme și un calcul de rezistență al angrenajelor conice poate fi efectuat după metoda prezentată în lucrarea [45].

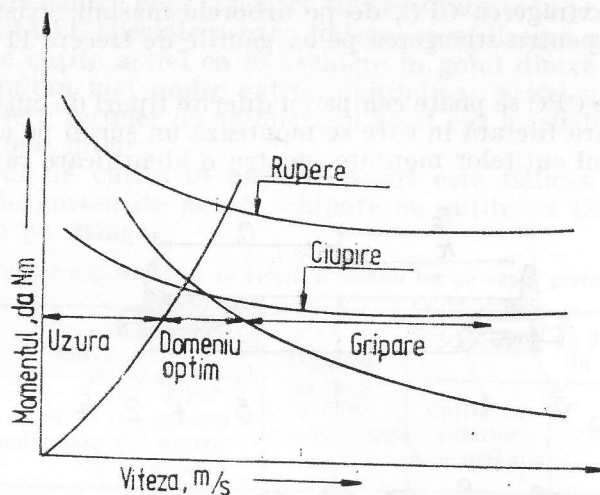


Fig. 2.58

2.9. Seule pentru prelucrarea roților conice cu dantură curbă în arc de cerc

Capetele portețuite folosite pentru prelucrarea roților conice cu dantură curbă în arc de cerc pot fi de mai multe tipuri; capete bilaterale pentru degroșare capete bilaterale pentru finisare și capete unilaterale pentru finisare.

Aceste capete se construiesc cu cuțite demontabile pentru prelucrarea roților dințate cu dimensiuni medii și mari, pentru prelucrarea roților dințate de mici dimensiuni folosindu-se capete monobloc (fără cuțite demontabile).

Capetele portețuite bilaterale se utilizează în principal pentru prelucrările de finisare a roții, (avem în vedere componenta de dimensiuni mari a angrenajului), iar în cazul operațiilor de degroșare sau la metoda de prelucrare dublu bilaterală, atât pentru prelucrarea roții cât și a pinionului.

Capul portețuit bilateral are construcția indicată în fig. 2.59.

Partea principală a CPC o constituie corpul 1. În canalele existente pe periferie se montează cuțitele 2 și 3 ele fiind strinse cu șuruburile 4. Capetele bilaterale sînt echipate cu două tipuri de cuțite; cuțite cu tăiere interioară 2 și cuțite cu tăiere exterioară 3. Cuțitele cu tăiere interioară așchiază flancul convex al dintelui iar cele cu tăiere exterioară flancul concav.

Poziția radială a cuțitelor se reglează cu ajutorul penelor 5 și a calelor 6. Penele pot fi deplasate cu ajutorul șurubului de reglaj 7. Penele de reglaj se găsesc la toate locașele, mai puțin două locașe vecine la care cuțitele au poziție fixă obținută numai prin cale de reglaj. În acest fel se creează pe CPC două cuțite etalon 8 și 9, din care unul de exterior și unul de interior.

În raport cu aceste cuțite se execută reglajul poziției radiale a restului de cuțite.

Pentru extragerea CPC, de pe arborele mașinii, există două găuri filetate 10 iar pentru stringerea pe ax găurile de trecere 11 a șuruburilor de prindere.

Deoarece CPC se poate echipa cu diferite tipuri de cuțite, mai există deobicei o gaură filetată în care se montează un șurub pe al cărui cap se marchează tipul cuțitelor montate, pentru o identificare rapidă.

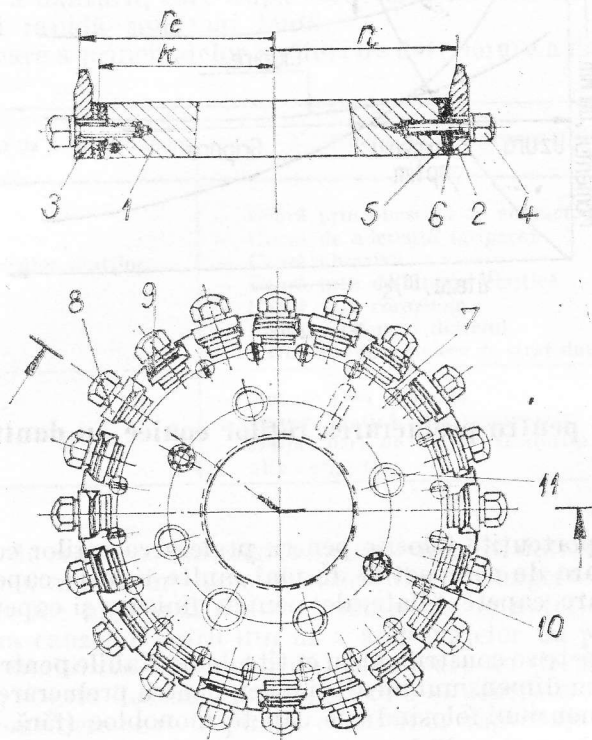


Fig. 2.59

Virfurile muchiilor tăietoare a cuțitelor de interior și exterior se găsesc la diferite distanțe r_i și r_e față de axa CPC și care se numesc raze generatoare. Diferența între aceste două raze constituie decalajul cuțitelor.

Raza medie $r_{CPC} = 0,5(r_e + r_i)$ se numește rază nominală a capului.

Mărimea diametrelor nominale a CPC, ($D_{CPC} = 2r_{CPC}$) este normalizată având următoarele valori: $3 \frac{1}{2}'' = 88,9 \text{ mm}$; $6'' = 152,4 \text{ mm}$;

$7 \frac{1}{2}'' = 190,5 \text{ mm}$; $9'' = 228,6 \text{ mm}$; $12'' = 304,8 \text{ mm}$ și $18'' = 451,2 \text{ mm}$.

Capul portcuțite de $7 \frac{1}{2}''$ fiind relativ apropiat de dimensiunile vecine se utilizează de regulă numai în producția de mare serie.

În ceea ce privește numărul de cuțite montate pe un cap portcuțite, există CPC universale care se utilizează în producția de mică serie și care au un număr mai mare de cuțite folosindu-se atât la eboș cit și la finisare

și CPC speciale pentru eboș și pentru finisare folosite în producția de mare serie. În cazul CPC speciale pentru finisare se utilizează uneori un număr mai redus de cuțite astfel ca în așchiere în golul dintre dinți să nu se găsească simultan mai multe cuțite, evitându-se astfel unele distorsiuni datorite creșterii forțelor de așchiere, în acest caz lucrându-se cu regimuri de așchiere mai intense.

Numărul de cuțite în ambele cazuri este indicat în tabelul 2.8.

Capetele portcuțite pot fi echipate cu cuțite cu tăiere pe dreapta sau cu tăiere pe stînga.

Tabelul 2.8. Numărul de cuțite și poziția lor pe capul portcuțite

| Diametrul nominal al CPC în folii | Nr. de locașe pentru cuțite | | Distanța de bază a CPC $k \pm 0,01$ mm | Distanța de bază a cuțitelor în mm | |
|-----------------------------------|-----------------------------|------------------------------|--|--------------------------------------|--------------------------------------|
| | CPC universale | CPC speciale pentru finisare | | Cuțite de exterior $b_e \pm 0,01$ mm | Cuțite de interior $b_i \pm 0,01$ mm |
| $3 \frac{1}{2}$ " | 8 | — | 37,060 | 4,48 | 5,24 |
| 6 " | 12 | — | 67,724 | 4,92 | 6,06 |
| $7 \frac{1}{2}$ " | 12 | — | 84,010 | 7,56 | 7,94 |
| 9 " | 16 | 12 | 103,055 | 7,56 | 7,94 |
| 12 " | 20 | 16 | 138,940 | 8,38 | 9,40 |
| 18 " | 24 | 20 | 211,060 | 8,09 | 12,92 |

Dacă privim un cap portcuțite din față, în cazul tăierii pe dreapta sensul său de rotație este antiorar, iar în cazul tăierii pe stînga în sensul acelor de ceas.

La prelucrare se pot folosi ambele feluri de CPC deoarece de sensul tăierii depinde numai sensul forțelor de așchiere care acționează asupra semifabricatului și a capului portcuțite.

Dacă sensul tăierii este același cu sensul spirei danturii de prelucrat, atunci forța este îndreptată spre dispozitivul de prindere și invers.

Alegerea sensului de tăiere se recomandă a se face, în cazul producției de serie mare, conform tabelului 2.9.

În producția de serie mică pentru a simplifica nomenclatura de scule se folosește în toate cazurile tăierea pe dreapta, dar în acest caz trebuie reduse regimurile de așchiere în situația cînd substituie sensul de tăiere pe stînga.

Corpul capetelor portcuțite este același, sensul de tăiere obținîndu-se numai din cuțitele montate, respectiv, canalele de așezare a cuțitelor sînt simetrice față de planul radial al corpului.

În ceea ce privește unghiul de angrenare nominal, în general se folosește $\alpha = 20^\circ$ dar în unele cazuri speciale se utilizează și alte valori, ca de exemplu $\alpha = 17^\circ 30'$ sau $\alpha = 22^\circ 30'$.

Tabelul 2.9. Sensul de tăiere recomandat

| Tipul piesei de prelucrat | Raportul de transmitere a angrenajului de prelucrat | Sensul spirei | Sensul de tăiere recomandat |
|---------------------------|---|---------------|-----------------------------|
| Roata | 2:1 și mai mare | Dreapta | Dreapta |
| | | Stinga | Stinga |
| Roata | Peste 1:1 până la 2:1 | Dreapta | Stinga |
| | | Stinga | Dreapta |
| Roată și pinion | 1:1 | Dreapta | Stinga |
| | | Stinga | Dreapta |
| Pinion | Peste 1:1 | Dreapta | Stinga |
| | | Stinga | Dreapta |

Capetele portcuțite bilaterale au pentru un diametru nominal un singur corp caracterizat prin cota K și prin numărul de canale pentru cuțite, (v. tabelul 2.8).

Cuțitele de exterior cât și de interior sînt prezentate în fig. 2.60.

Suprafețele laterale, atît cea așchietoare cît și cea neașchietoare, sînt detalonate.

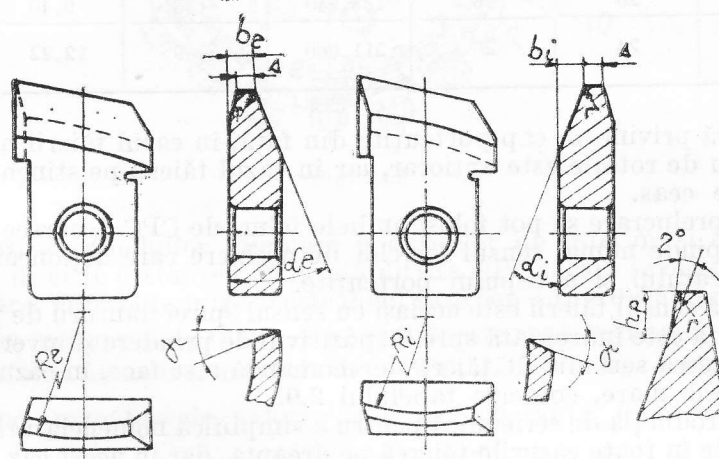


Fig. 2.60

Razele R_e și R_i teoretic trebuie să fie egale cu razele generatoare de pe CPC r_e și r_i , dar practic se execută cu raza nominală a CPC. Reglarea cuțitelor la razele r_e și r_i se face prin cale și pene de reglaj.

Cuțitul se caracterizează prin distanța sa de bază b_e sau b_i avînd valoare fixă strîns tolerată din execuție.

Aceste valori sînt indicate în tabelul 2.8.

Fiecare cuțit este caracterizat printr-un număr care exprimă corecția unghiului de angrenare față de unghiul nominal. Dacă α_e sau α_i sînt unghiurile de angrenare reale ale cuțitelor, $\alpha_e = \alpha - \Delta\alpha$ și $\alpha_i = \alpha + \Delta\alpha$.

În aceste relații α este unghiul de angrenare nominal, iar $\Delta\alpha$ unghiul de corecție în minute obținut din relația $\Delta\alpha = 10N$, N fiind numărul cuțitului.

Fiecare cuțit are o anumită grosime la vîrf s (v. fig. 2.60) și o rază de racordare r a muchiei.

În mod obișnuit cuțitele sînt prevăzute la vîrf și cu protuberanță avînd înălțimea h_p pentru evitarea apariției pragurilor, pe flancul dintelui, la operația de rectificare a danturii.

Mărimea grosimii la vîrf se alege în funcție de decalajul cuțitelor. În cazul finisării se recomandă ca grosimea la vîrf și raza de racordare în funcție de decalajul cuțitelor să fie cele indicate în tabelul 2.10.

Pentru a se așeza cuțitele la decalajul necesar, se folosesc calele de reglaj și penele de reglaj ce echipează capul portețute.

Tabelul 2.10. Grosimea și raza de rotunjire la vîrfurile cuțitelor

| Grosimea la vîrf a cuțitului s , mm | Raza de rotunjire la vîrfurile cuțitului r , mm | Valori recomandate pentru decalaj | | | |
|--|---|-----------------------------------|-----------|-------------|-----------|
| | | La degroșare | | La finisare | |
| | | W_{min} | W_{max} | W_{min} | W_{max} |
| 0,25 | — | 0,40 | 0,40 | 0,40 | 0,40 |
| 0,3 | — | 0,50 | 0,50 | 0,50 | 0,50 |
| 0,4 | — | 0,65 | 0,65 | 0,65 | 0,65 |
| 0,5 | 0,1 | 0,75 | 0,85 | 0,75 | 0,85 |
| 0,65 | 0,1 | 1,00 | 1,15 | 1,00 | 1,15 |
| 0,75 | 0,15 | 1,25 | 1,40 | 1,50 | 1,75 |
| 1,0 | 0,2 | 1,50 | 1,75 | 1,75 | 2,25 |
| 1,3 | 0,2 | 2,00 | 2,25 | 1,75 | 2,25 |
| 1,65 | 0,25 | 2,50 | 3,00 | 2,25 | 3,00 |
| 2,00 | 0,3 | 3,25 | 3,75 | 2,75 | 5,00 |
| 2,5 | 0,35 | 3,75 | 4,75 | 3,25 | 6,50 |
| 2,8 | 0,4 | 4,25 | 5,00 | 3,50 | 7,50 |
| 3,2 | 0,45 | 4,75 | 5,75 | 4,00 | 8,75 |
| 3,8 | 0,5 | 5,25 | 7,00 | 4,75 | 10,00 |
| 5,0 | 0,7 | 7,25 | 9,50 | — | — |

După cum se ilustrează în fig. 2.61, reglajul cuțitelor de exterior presupune realizarea razei generatoare r_e .

$$r_e = r_{CPC} + w/2 = K + T_e + b_e \text{ de unde rezultă,}$$

$$T_e = r_{CPC} + w/2 - K - b_e \quad (2.83)$$

în care :

T — grosimea calei de reglaj, K — cota de bază a CPC și b_e — distanța de bază a cuțitului.

Pentru cuțitele de interior formula rezultă :

$$T_i = r_{CPC} - w/2 - K - b_i. \quad (2.84)$$

Se vede din aceste relații că reglajul capului portcuțite se poate stabili cunoscând mărimile de mai sus.

În cazul cînd cuțitele sînt executate precis la cotele de bază b_e și b_i prescrise, reglajul rezultă fără a mai fi necesară măsurătoarea pe muchia vîrfului cuțitului, măsurătoare dificil de executat precis din cauza razei de racordare a muchiei cuțitului.

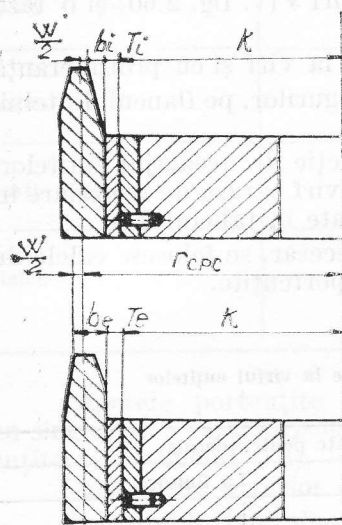


Fig. 2.61

Capetele portcuțite unilaterale se folosesc în producția de serie, sînt echipate cu cuțite de un singur fel (exterior sau interior) și sînt destinate prelucrării pinioanelor (componente de mici dimensiuni a angrenajului).

Cuțitele pentru CPC unilaterale se execută cu diverse raze generatoare într-o gamă mult mai largă și la montajul în capul portcuțite nu mai au decalaj al muchiilor tăietoare.

În general raza generatoare diferă de raza nominală cu mărimea Δr astfel încît $r_e = r_{CPC} + \Delta r$ pentru cuțitele de exterior și $r_i = r_{CPC} - \Delta r$ pentru cuțitele de interior.

Dimensiunile capetelor unilaterale utilizate în fabricație sînt date în tabelul 2.11.

Capetele portcuțite unilaterale se deosebesc de cele bilaterale și prin faptul că au numai un locaș de cuțit cu poziție fixă.

Deoarece Δr variază în cazul pinioanelor cu valori mai mari, razele generatoare au o gamă mai extinsă de valori și la aceeași dimensiune nominală a capului vor exista mai multe corpuri cu diverse distanțe de bază.

Grosimea calelor de reglaj se determină cu relațiile :

$$T_e = r_e - K_e - b_e \quad \text{și} \quad T_i = r_i - K_i - b_i, \quad (2.85)$$

după cum se ilustrează în fig. 2.62.

Cuțitele utilizate la capetele unilaterale sînt de regulă aceleași cu cuțitele utilizate la capetele bilaterale, dar pot fi și speciale destinate acestui scop.

Capetele, portcuțite folosite pentru degroșare sînt capete bilaterale (atît pentru roată cît și pentru pinion) echipate cu grupe de două cuțite (exterior și interior), sau cu trei cuțite (exterior, de fund și interior).

În nomenclatura firmei Gleason acestea sînt denumite capete Duplex și capete Triplex.

Capetele de degroșare au o construcție mai rigidă avînd aspectul din figura 2.63.

La aceste capete se folosesc cuțite nereglabile prin pene, raza lor generatoare stabilindu-se numai prin cale de reglaj.

Capetele portcuțite cu dimensiunea nominală mai mică de $3\frac{1''}{2}$ se execută monobloc (fără cuțite demontabile).

Schema ascuțirii capetelor portcuțite echipate cu cuțite de exterior sau de interior este indicată în fig. 2.64.

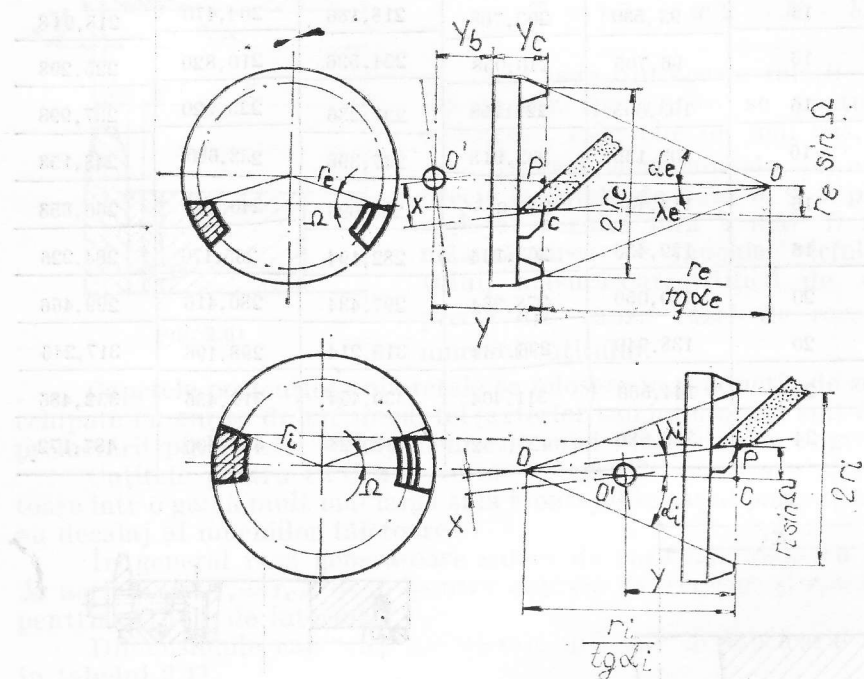


Fig. 2.64

Ascuțirea se execută de regulă cu partea conică a pietrei de ascuțit, pe suprafața de degajare a cuțitului.

Muchia tăietoare a cuțitului trebuie să se găsească în mod normal în planul radial al CPC și numai la unele metode speciale de prelucrare (Helixform), decalat cu o anumită distanță.

Schema ascuțirii normale este prezentată în fig. 2.64.

Suprafața de degajare a cuțitului se ascute într-un plan ce trece prin virful conului determinat de muchiile tăietoare înclinat față de planul orizontal sub unghiul λ , notîndu-se λ_e pentru cuțitele cu tăiere exterioară și λ_i pentru cele cu tăiere interioară.

Ascuțirea se face pe mașini speciale care permit înclinarea capului portcuțite și decalarea planului de ascuțire față de punctul de rotire al capului.

Întrucît $\operatorname{tg} \lambda = \overline{CP}/\overline{CO}$ rezultă $\operatorname{tg} \lambda = \sin \Omega \cdot \operatorname{tg} \alpha$ respectiv,,

$$\operatorname{tg} \lambda_e = \sin \Omega \cdot \operatorname{tg} \alpha_e \text{ și } \operatorname{tg} \lambda_i = \sin \Omega \cdot \operatorname{tg} \alpha_i. \quad (2.86)$$

Deplasarea axei de rotație O' față de planul de ascuțire va fi

$$x = (\overline{CO} \pm \overline{CO'}) \sin \lambda,$$

de unde rezultă :

$$x_e = r_e \sin \lambda_e / \operatorname{tg} \alpha_e + Y \sin \lambda_e \quad (2.87)$$

$$x_i = r_i \sin \lambda_i / \operatorname{tg} \alpha_i - Y \sin \lambda_i. \quad (2.88)$$

Relația 2.87 este valabilă pentru cuțite cu tăiere exterioară iar 2.88 pentru cuțite cu tăiere interioară.

Distanța Y de la vârful cuțitelor la axa de rotație rezultă $Y = Y_b + Y_c$ de unde Y_c este o mărime caracteristică a CPC, iar Y_b a mașinii de ascuțit.

2.10. Angrenaje conice cu dantură curbă realizată după curbe ciclice

Așa după cum s-a amintit anterior există unele procedee de danturat conic curb care lucrează prin divizare continuă, deci la care dinții se formează în sens longitudinal după curbe ce se repetă periodic, respectiv curbe ciclice.

Cel mai vechi sistem, dar care se mai întâlnește în industrie, este sistemul Paloid, procedeu la care curba dintelui în sens longitudinal este o evolventă alungită.

Sistemele cele mai răspândite și în consecință mai cunoscute, sînt sistemul Elloid și Cyclopaloid, sisteme la care curba dintelui în sens longitudinal este o epicicloidă alungită.

Aceste procedee lucrează cu generare prin rostogolire cu roată plană, deci prin metoda ruletelor.

În procesul de lucru semifabricatul execută o rotație continuă cu viteză unghiulară constantă, sincronizată cu mișcarea de rotație a sculei, leagănul mașinii pe care se găsește arborele portsculă executînd mișcarea de rostogolire.

Mișcarea de rostogolire se suprapune peste mișcarea de rotație a piesei și a sculei prin intermediul unui mecanism diferențial din construcția mașinii.

Determinat de acest principiu de generare, în cazul acestor mașini, lipsește mecanismul de divizare dinte cu dinte și sînt eliminate mecanismele reversibile caracteristice sistemului de danturare în arc de cerc, mașina funcționînd continuu într-un singur sens.

Linia directoare a dintelui se materializează pe semifabricat ca urmare a combinării mișcării sculelor și a semifabricatului producîndu-se o veritabilă angrenare între scule și dinții generați.

Mașinile de prelucrat dantură conică curbă după curbe ciclice, din punct de vedere constructiv, sînt mai simple decît mașinile de prelucrat dantura în arc de cerc prin rostogolire.

SISTEMUL PALOID

Acest sistem a căutat să reproducă procedeul de frezare a roților cilindrice cu freză melc și la roțile conice.

Scula necesară în acest caz este o freză melc conică, formă necesară pentru a asigura generarea roții plane fără interferențe.

Fiecare dinte al frezei este plasat pe o elice și are două muchii tăietoare care prelucrează simultan ambele flancuri ale dintelui.

Elicea frezei melc este o elice conică cu pas axial constant și ca urmare a micșorării diametrului frezei melc, unghiul de înclinare al spirei dintelui este variabil.

Canalele care creiază muchiile tăietoare ale dinților frezei sînt plasate în planul axial al frezei.

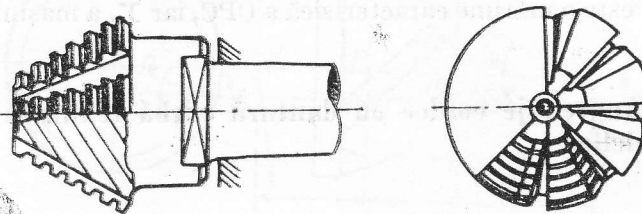
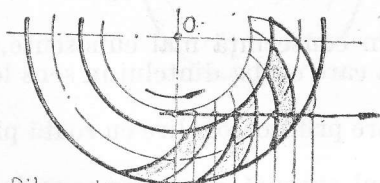


Fig. 2.65

Dantura realizată cu aceste freze este o dantură de înălțime constantă orientată după o evolventă în sens longitudinal.

Pentru executarea dinților bombați freza trebuie să aibă generatoarea conului curbă, ceea ce mărește dificultățile de execuție a frezei și așa destul de mari.



Profil sculă
fără bombare
dantură

Profil sculă
cu bombare
dantură

Fig. 2.66

Avantajele sistemului sînt, calculele și reglaje mai simple la execuție pe mașină.

Dezavantajul principal îl constituie scula extrem de complicată.

Pentru a tăia un angrenaj sînt necesare două freze, una pe dreapta și una pe stînga, iar pentru a realiza diferite corecții prin deplasarea profilului sînt necesare freze corespunzătoare fiecărei deplasări de profil în parte.

Practic este dificil, din această cauză, a se obține profilele dinților perfect conjugate la cele două roți ale angrenajului, frezele schimbîndu-și dimensiunile și unele caracteristici la fiecare ascuțire. Angrenarea cea mai corectă are loc numai la valorile nominale ale dimensiunilor sculei.

În afară de aceasta freza are o construcție monobloc, necesită un consum mare de oțel rapid și se rebutează în caz de distrugere a unui singur dinte.

Execuția și controlul frezei se poate face numai pe mașini speciale destinate acestor operații.

Datorită complicațiilor constructive și de utilizare a frezei acest sistem este azi din ce în ce mai puțin folosit.

SISTEMUL ELOID

Acest sistem de prelucrare a roților conice cu dantură curbă folosește capete portcuțite echipate cu cuțite demontabile.

Capetele portcuțite ale acestui sistem se caracterizează prin cuțite cu muchii rectilinii așezate în corp pe grupe distincte.

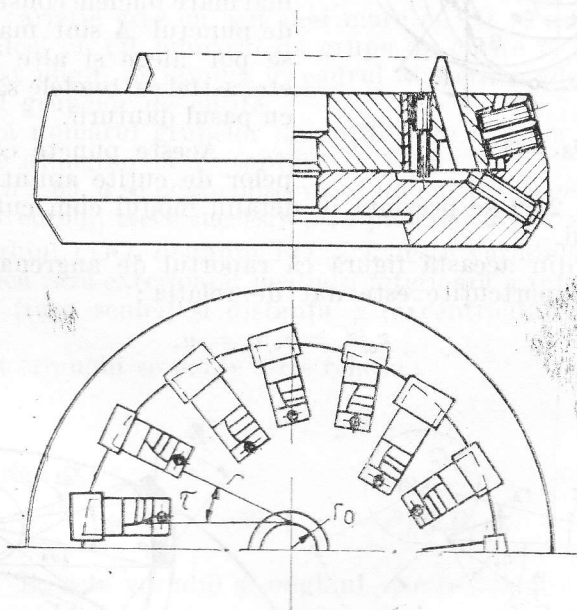


Fig. 2.67

Numărul de grupe de cuțite depinde de mărimea capului portcuțite și poate varia între trei și șapte.

Fiecare grupă se poate compune din minim două cuțite, din care unul cu tăiere interioară pentru flancul convex și unul cu tăiere exterioară pentru flancul concav, în cele mai multe cazuri existind în fiecare grupă și cuțite ajutătoare.

La rotația sculei grupele de cuțite generează dinții roții plane generatoare, roată plană imaginară, care prin angrenare cu semifabricatul prin intermediul muchiilor tăietoare ale sculelor produce generarea danturii.

Dantura Eloidă este o dantură de înălțime constantă cu deplasări de profil radiale compensate (+ la pinion și - la roată).

Deplasări tangențiale ale profilului nu se folosesc la acest tip de dantură. Divizarea este continuă și la o rotație a sculei piesa de prelucrat se rotește cu atîta pași cîte grupe de cuțite sînt pe capul portcuțite.

Principiul acesta de generare este ilustrat în figura 2.68.

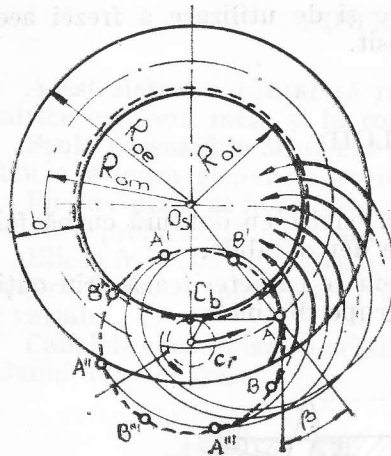


Fig. 2.68

Curba de generare—epicicloidă alungită—se obține prin rostogolirea unui cerc C_r peste un alt cerc C_b fix, ambele situate într-un plan, respectiv planul roții plane generatoare.

Un punct A legat de cercul C_r și situat în exteriorul său descrie curba de mai sus sub forma unor curbe succesive, reprezentînd flancuri omoloage consecutive.

Dacă cercul de rostogolire este mai mare buclele consecutive descrise de punctul A sînt mai depărtate și se pot alege și alte puncte A', B', etc. astfel ca buclele să fie distanțate cu pasul danturii.

Aceste puncte corespund grupelor de cuțite amintite.

În figura 2.69 se prezintă în detaliu modul cum cuțitul generează flancul dintelui.

Se vede din această figură că raportul de angrenare între roata plană și capul portcuțite este dat de relația :

$$z_0/z_s = r_b/r_r = u. \quad (2.89)$$

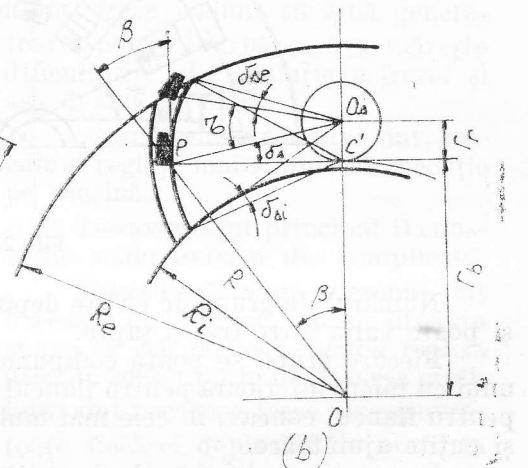
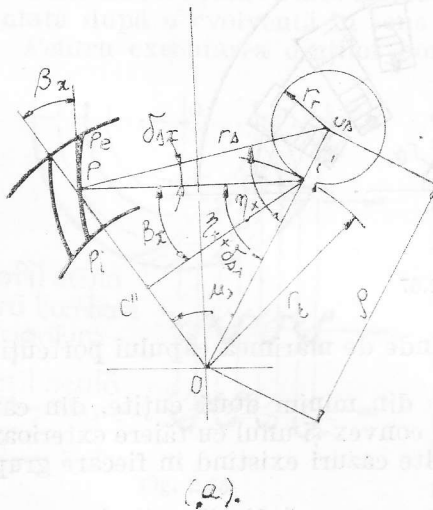


Fig. 2.69

z_0 — numărul de dinți al roții plane.

z_s — numărul de grupe de cuțite.

r_b — raza cercului de bază (fix).

r_r — raza cercului rostogolitor.

ρ — distanța între centrul roții plane și a sculei.

Deoarece $\rho = r_b + r_r$, rezultă :

$$r_b = \rho - r_r = \rho(1 - r_r/\rho) = \rho[1 - r_r/(r_b + r_r)] = \rho[u/(u + 1)]$$

de unde :

$$r_b = \rho[z_0/(z_s + z_0)] \text{ sau } \rho = r_b[(z_s/z_0) + 1]. \quad (2.90)$$

Cuțitul în poziția P trebuie reglat perpendicular pe raza de curbură a flancului dintelui PC'.

Acest cuțit este deci rotit cu unghiul δ_{sx} față de raza sculei $\overline{PO_s}$, unghiul δ_{sx} fiind numit din această cauză unghi de orientare.

Acest unghi este variabil în diverse poziții în lungul dintelui, (δ_{sx} , δ_{se} fig. 2.69, b) iar cuțitul avind poziție fixă în capul port-cuțite rezultă că unghiul de așezare al flancului cuțitului este variabil în timpul așchierii.

Această variație este cu atât mai mare cu cît r_r este mai mare în raport cu r_b , deci cu cît numărul de grupe de cuțite z_s este mai mare. Pentru ca acest unghi să rămînă în cadrul abaterilor admisibile se limitează numărul grupelor de cuțite.

De regulă numărul grupelor de cuțite este cuprins între 1 și 5 în cazuri speciale ajungînd la 7 (șapte).

Din figura 2.69, a se poate observa că un cuțit care generează flancul convex, spre exemplu, trece succesiv prin punctele P_e , P și P_i .

În triunghiul POO_s distanța $\overline{PO} = R_x$ este variabilă fiind succesiv R_e , R și R_i adică raza exterioră, medie și interioară a roții plane, în timp ce distanța r_s (raza sculei) și distanța ρ (excentricitatea sculei) rămîn constante.

Din acest triunghi se poate scrie relația :

$$r_s^2 = R_x^2 + \rho^2 - 2R_x\rho \cos \mu_x$$

din care rezultă :

$$\cos \mu_x = (R_x^2 + \rho^2 - r_s^2)/(2R_x\rho). \quad (2.91)$$

Deoarece R_x este variabil și unghiul μ_x este variabil avind succesiv valorile :

$$\cos \mu_e = (R_e^2 + \rho^2 - r_s^2)/2R_e\rho; \cos \mu = (R^2 + \rho^2 - r_s^2)/2R\rho \text{ și}$$

$$\cos \mu_i = (R_i^2 + \rho^2 - r_s^2)/2R_i\rho. \quad (2.92)$$

Deasemeni unghiul de inclinare β_x este variabil avind valori diferite β_e , β și β_i în funcție de poziția punctului de contact între dinte și sculă. Aceste valori se determină observînd că :

$$\overline{O'C''} \operatorname{tg} \beta_x = \overline{PC''}; \overline{O'C''} = r_b \sin \mu_x \text{ și } \overline{PC''} = R_x - r_s \cos \mu_x.$$

Cu aceste relații se poate scrie :

$$\operatorname{tg} \beta_x = (R_x - r_s \cos \mu_x)/r_b \sin \mu_x. \quad (2.93)$$

În funcție de variabile avem succesiv :

$$\operatorname{tg} \beta_e = (R_e - r_b \cos \mu_e) / r_b \sin \mu_e; \operatorname{tg} \beta = (R - r_b \cos \mu) / r_b \sin \mu \quad (2.94)$$

și

$$\operatorname{tg} \beta_i = (R_i - r_b \cos \mu_i) / r_b \sin \mu_i.$$

Variabil este și unghiul η_x și ca urmare din triunghiul OPO_s se poate scrie :

$$R_x^2 = \rho^2 + r_s^2 - 2\rho r_s \cos \eta_x,$$

de unde :

$$\cos \eta_x = (\rho^2 + r_s^2 - R_x^2) / 2\rho r_s, \quad (2.95)$$

$$\cos \eta_s = (\rho^2 + r_s^2 - R_e^2) / 2\rho r_s; \cos \eta = (\rho^2 + r_s^2 - R^2) / 2\rho r_s$$

și

$$\cos \eta_i = (\rho^2 + r_s^2 - R_i^2) / 2\rho r_s. \quad (2.96)$$

Din triunghiul PO_sC' se poate determina mărimea unghiului δ_{sx} deasemenea variabil.

Pentru aceasta se scrie relația :

$$r_s / \sin [\pi - (\eta_x + \delta_{sx})] = r_r / \sin \delta_{sx}. \quad (2.97)$$

Efectuînd calculele rezultă :

$$\operatorname{tg} \delta_{sx} = \sin \eta_x / [(r_s / r_r) - \cos \eta_x]; \quad (2.98)$$

sau în funcție de variabile :

$$\operatorname{tg} \delta_{sx} = \sin \eta_e / [(r_s / r_r) - \cos \eta_e]; \operatorname{tg} \delta_s = \sin \eta / [(r_s / r_r) - \cos \eta]$$

și

$$\operatorname{tg} \delta_{si} = \sin \eta_i / [(r_s / r_r) - \cos \eta_i]. \quad (2.99)$$

Pentru cazul cînd $\eta_x + \delta_{sx} = 90^\circ$ (vezi fig. 2.69, b) avem :

$$R = \overline{PC'} / \sin \beta = \overline{PO_s} \cos \delta_s / \sin \beta; \overline{PO_s} = r_s \text{ unde } r_s \text{ este raza sculei.}$$

$r_b / r_r = z_0 / z_s = 2R \cos \beta / m_n z_s$ unde m_n — modulul normal în punctul mediu P.

$$r_b = R \cos \beta = m_n z_0 / 2, \quad (2.100)$$

$$r_r = r_s \sin \delta_s = m_n z_s / 2, \quad (2.101)$$

$$\sin \delta_s = m_n z_s / 2r_s, \text{ sau } m_n = 2r_s \sin \delta_s / z_s. \quad (2.102)$$

Rezultă că unghiul de orientare este determinat de modulul normal mediu și un factor dependent de sculă.

Pe de altă parte modulul frontal în punctul P va fi :

$$m_t = 2R/z_0. \quad (2.103)$$

Modulul normal poate fi scris sub forma :

$$m_n = m_t / \cos \beta = 2R/z_0 \cos \beta = 2r_s \sin \delta_s / z_s = 2r_r / z_s. \quad (2.104)$$

Excentricitatea reglajului capului portcuțite va fi :

$$p = r_b + r_r = m_n z_0 / 2 + m_n z_s / 2 = m_n (z_0 + z_s) / 2. \quad (2.105)$$

Relațiile 2.93 și 2.94 ne arată că unghiul de înclinare al spirei dintelui este variabil pe lățimea danturii.

În funcție de numărul de dinți al roții de prelucrat unghiul de înclinare mediu al danturii este dat de relația :

$$\cos \beta = \sqrt{[z^2 - (d_s/m_t)^2] / (z^2 - z_s^2)} \quad (2.106)$$

unde :

- z — numărul de dinți al roții de prelucrat,
- d_s — diametrul nominal al sculei,
- m_t — modulul frontal mediu al danturii,
- z_s — numărul de grupe de cuțite al capului portcuțite.

Rezultă din această relație că unghiul mediu de înclinare a danturii nu poate fi ales oricum el fiind dependent de mărimea capului portcuțite.

În documentația de calcul a angrenajelor de acest tip există diagrame din care se poate alege capul portcuțite în funcție de elementele roții de prelucrat și se poate stabili valoarea exactă a unghiului de înclinare mediu ce poate fi realizat. Se vede din cele arătate că angrenajele Eloide prezintă în funcție de așezarea sculelor caracteristici diferite.

O caracteristică importantă a lor este mărimea razei de curbura a epicycloidei în punctul mediu al danturii (PC' în fig. 2.69, a) raza de curbura fiind variabilă în lungul dintelui.

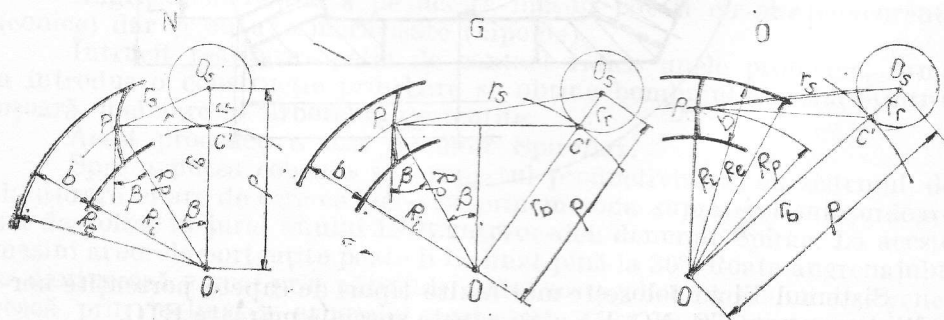


Fig. 2.70

În funcție de mărimea acestei raze, corelat cu raza medie a roții plane R și unghiul mediu de înclinare a danturii β se disting trei tipuri de dantură Eloidă, notate, N, G și O, tipuri care au forme diferite ale dintelui datorită variației razei de curbura.

Schema de generare a danturii în cazurile N, G și O este indicată în figura 2.70.

În cazul danturii de tip N raza medie de curbură este $r = R_p \sin \beta$.
 La acest tip de dantură unghiul mediu de înclinare a danturii ce poate fi realizat este $30^\circ \leq \beta \leq 55^\circ$.

În cazul cînd $r > R_p \sin \beta$ unghiul mediu de înclinare a danturii poate fi ales arbitrar în domeniul $0 \leq \beta \leq 50^\circ$.

Acest tip de dantură este denumit dantură de tip G.

Dantura de tip O este un caz particular al danturii de tip G atunci cînd unghiul de înclinare mediu al danturii este $\beta = 0$.

Dacă înaintea literelor N, G sau O ce caracterizează dantura unui angrenaj apare litera H înseamnă că este vorba de un angrenaj cu dantură hipoidă.

Orice marcaj al unui angrenaj fără litera H indică un angrenaj cu axe concurente.

Dacă înaintea literelor N, G sau O apare litera X aceasta înseamnă că este vorba de un angrenaj conic cu axe concurente dar la care unghiul conului de fund și de vîrf al danturii diferă de unghiul conului de divizare (vezi fig. 2.71) dantura fiind deci cu deplasarea profilului variabilă progresiv.

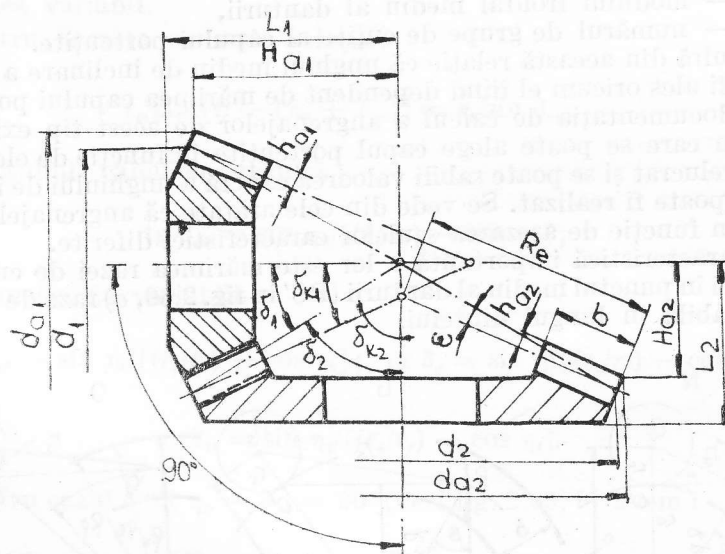


Fig. 2.71

Sistemul Elloid folosește mai multe tipuri de capete porteuite normalizate marcate TC, NC, EN, sau capete speciale marcate ETC.

Dintre aceste capete două sînt de uz general :

1. Capete porteuite de tip TC avînd grupe de trei cuite și care realizează danturi cu contact localizat pronunțat (pata de contact mică).
2. Capete porteuite de tip NC cu grupe de cîte două cuite și care realizează danturi cu localizare redusă a contactului (pata de contact mare).

Simbolul capului porteuite mai este completat cu litera L sau R indicînd sensul de rotație (*L* — stînga, *R* — dreapta).

Notăția unui cap portcuțite se face prin litere și cifre ca de exemplu $TC3 - 40/3,0 R$ avind următoarea semnificație :

TC — tipul capului portcuțite.

3 — numărul grupelor de cuțite (z_s).

40 — raza nominală de așezare a cuțitelor (r_s).

3,0 — modulul nominal al capului portcuțite.

R — sensul de rotire al capului portcuțite.

În cazul prelucrării danturii hipoide se folosesc capete speciale marcate HC , $EH C$ sau $EH N$.

Un cap portcuțite poate să acopere numai un cîmp limitat de lucru între anumite limite ale modulului normal m_n , unghiului mediu de înclinare a danturii β , razei medii a roții plane R și a numărului de dinți al roții plane z_0 .

Pentru a acoperi întregul cîmp de lucru al mașinii se întrebuintează mai multe dimensiuni de capete portcuțite ale căror cîmpuri de lucru se suprapun în oarecare măsură pentru a ușura alegerea.

Se alege acea sculă pentru care se obține unghiul de înclinare convenabil al dinților.

Mașinile de danturat în sistemul Eloid sînt produse de firma elvețiană Oerlikon sub apelativul Spiromatic.

Tăierea danturii se execută pe această mașină dintr-o singură prindere în două faze.

Prima este o mișcare de pătrundere prin avansul saniei portpiesă și prin angrenarea dintre piesă și cuțitele capului, fază în care se produce degroșarea continuă a tuturor dinților roții.

În momentul cînd se atinge adîncimea danturii începe faza a doua respectiv mișcarea de rostogolire a leagănului mașinii, fază cînd se produce generarea profilului transversal al dintelui.

Suprapunerea mișcării de rostogolire, peste mișcarea de angrenare a capului portcuțite cu semifabricatul, se face prin lanțul cinematic de rostogolire prevăzut cu mecanism diferențial pentru suprapunerea mișcărilor de rotație.

Angrenajele realizate pe aceste mașini pot fi cu axe concurente (conice) dar și cu axe încrucișate (hipoide).

Întrucît realizarea petei de contact ridică unele probleme, firma a introdus o construcție prin care se obține bombajul dintelui printr-o ușoară înclinare a arborelui portcuțite.

Acest procedeu a fost denumit Spiroflex.

Spre a putea concura sub aspectul productivității, cu sistemul de danturare în arc de cerc ce lucrează prin metoda suprafeței înfășurătoare s-a dezvoltat în jurul anului 1975 un procedeu denumit Spirac. La aceste mașini arborele portcuțite poate fi înclinat pînă la 30° . Roata angrenajului se danturează numai prin pătrundere fără rostogolire iar pinionul se generează prin înclinarea arborelui portcuțite deci se regăsește principiul generării prin suprafață înfășurătoare cu roată conică generatoare.

O variantă a sistemului Eloid este sistemul FIAT — Mammano elaborat la cunoscuta firmă italiană.

La acest sistem pe capul portcuțite există o singură grupă de cuțite, constituită dintr-un cuțit de finisare exterior și unul de interior (situat diametral opus pe capul portcuțite) între ele fiind cuțite intermediare de degajare a materialului din golul între dinți.

Datorită cercului de rostogolire foarte mic, la o rotație a CPC parcurgîndu-se un singur dinte, epicycloida alungită prezintă variații mult mai

mici a razei de curbura pe lăţimea danturii cu repercusiuni pozitive asupra petei de contact la funcţionarea în sarcină, apropiindu-se sub acest aspect de dantura în arc de cerc. Cu toate că maşinile FIAT[®] DIS 400 se caracterizau prin simplitate a calculelor şi reglajelor, pe parcurs fabricaţia lor a fost abandonată din cauza productivităţii reduse în comparaţie cu maşinile Spiromatic.

SISTEMUL CYCLOPALOID

Sistemul Cyclopaloid a fost pus în fabricaţie de firma Klingelberg şi este asemănător cu sistemul Elloid, diferenţa constind în faptul că există două capete portcuţite care se întrepătrund, unul echipat cu cuţite de exterior şi unul cu cuţite de interior ca în figura 2.72.

Construcţia acestor capete este astfel concepută încît axele lor de rotaţie sînt foarte apropiate, iar distanţa între axe este reglabilă.

Principiul acestui sistem este ilustrat în figura 2.73.

Întrucît capetele portcuţite au cercuri de rulare diferite, flancul exterior (convex) se realizează cu o curbura mai mare decît flancul interior (concav) obţinîndu-se astfel bombarea în lungime a dinţilor.

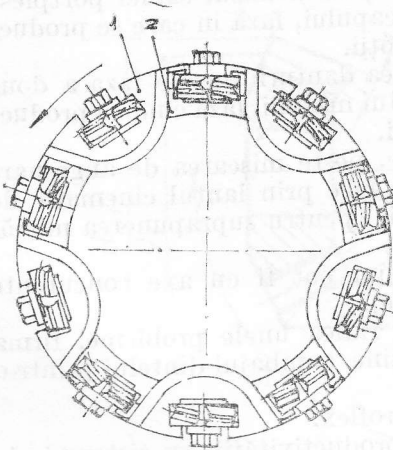


Fig. 2.72

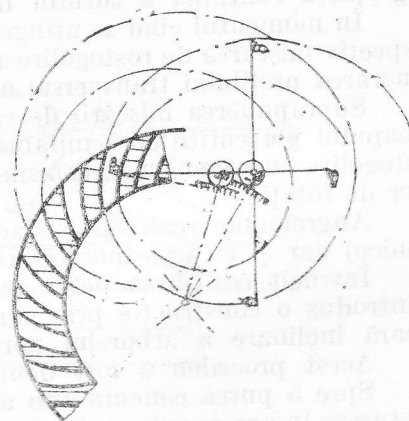


Fig. 2.73

Datorită faptului că generarea are loc cu două cercuri de rostogolire există posibilitatea de reglare a grosimii dinţilor, respectiv corecţia tangenţială, reglînd distanţa între axele de rotaţie a capetelor portcuţite.

Cuţitele au poziţie fixă pe capete, fără reglaj radial şi sînt dispuse pe grupe de două, pe lângă cuţitul finisor existînd şi un cuţit ajutător.

Pata de contact a dinţilor în angrenare poate fi corectată în timpul prelucrării independent pe fiecare flanc în parte.

Marele avantaj al sistemelor de danturare conic curb după curbe ciclice îl constituie reglajele mai simple a maşinilor de danturat, determinat de faptul că piesa este prelucrată complet dintr-o singură prindere pe maşină.

În ceea ce privește productivitatea, în cazul unicateilor și a seriei mici, aceste procedee sînt mai productive decît procedeul în arc de cerc, datorită tocmai acestor reglaje mai simple și mai rapide, dar la producția de serie balanța înclină în favoarea sistemului de danturare în arc de cerc în special la prelucrarea prin metoda suprafeței înfășurătoare.

Acest lucru este determinat atît de faptul că mașinile pentru prelucrarea roții unui angrenaj (precizăm a roții nu și a pinionului) la prelucrarea prin metoda suprafeței înfășurătoare au o cinematică simplă ce permite scurtarea diverselor faze din ciclul de prelucrare a dintelui, cît și datorită faptului că pe capetele portcuțite în acest caz pot fi montate un număr mai mare de cuțite.

După cum s-a văzut la sistemul Eloid numărul de grupe de cuțite este limitat și în această situație la aceeași încărcare cu grosime de așchie pe tăiș, sistemul în arc de cerc poate asigura degajarea unei cantități de așchii mai mare.

În raport cu procedeul de danturat în arc de cerc, cele cu divizare continuă mai prezintă unele probleme mai delicate privind reglarea poziției petei de contact în angrenare sub sarcină.

Aceste probleme provin din faptul că la curbele ciclice raza de curbura a dinților în sens longitudinal este variabilă, în timp ce la dantura în arc de cerc raza de curbura este constantă.

Marele dezavantaj al procedeelor cu divizare continuă îl constituie însă imposibilitatea rectificării danturii după tratament termic, fapt care exclude utilizarea lor pentru cazurile de mecanisme pretențioase unde este necesară o precizie cinematică superioară cel puțin atît timp cît nu va fi rezolvată în mod absolut problema deformărilor la operațiile de tratament termic. La noi în țară cel mai răspîndit procedeu de prelucrare prin divizare continuă este sistemul Eloid. Metodologia de calcul a danturii Eloide poate fi găsită sistematic prezentată în lucrarea [45] volumul 3.

2.11. Scurtă privire asupra utilizării și fabricației angrenajelor conice cu dantură curbă

Dat fiind complexitatea angrenajelor conice cu dantură curbă și problemele pe care le ridică în fabricație, este necesar să precizăm locul pe care îl ocupă aceste angrenaje în construcția de mașini.

În acest sens ele se împart în două categorii, respectiv : angrenaje de forță și angrenaje cinematice.

Angrenajele de forță au ca principală destinație transmiterea de momente de torsiune mari, realizarea de rapoarte mari de transmitere și ca principală cerință constructivă se urmărește o formă cit mai compactă.

Angrenajele cinematice au ca principală destinație realizarea transmiterii mișcării de rotație între axe cu o mare precizie privind constanța vitezei unghiulare de rotație, respectiv constanța raportului de transmitere a mișcării.

În general rapoartele de transmitere realizate în aceste cazuri sînt apropiate de unu sau chiar unu dar pot fi întîlnite și angrenaje conice cinematice cu rapoarte de transmitere avînd valori mari și foarte mari.

Principală cerință urmărită la aceste angrenaje este precizia cinematică.

În funcție de destinația angrenajului se stabilește tipul său constructiv și tipul procesului tehnologic de realizare.

Tipul constructiv trebuie ales între dantura rectilinie și dantura curbilinie criteriile de alegere fiind constructive dar în egală măsură și determinate de dotarea existentă cu mașini de danturat.

Din fig. 2.74 se vede că există posibilitatea de substituire între aceste angrenaje ceea ce simplifică problematica dotării cu utilaje în funcție de volumul fabricației.

În ce privește gradul de folosire a acestor tipuri de danturi în construcția de mașini, putem deosebi frecvența cazurilor de utilizare a tipului de dantură prezentată în fig. 2.75, *a* și volumul de fabricație a tipului de dantură prezentată în fig. 2.75, *b*.

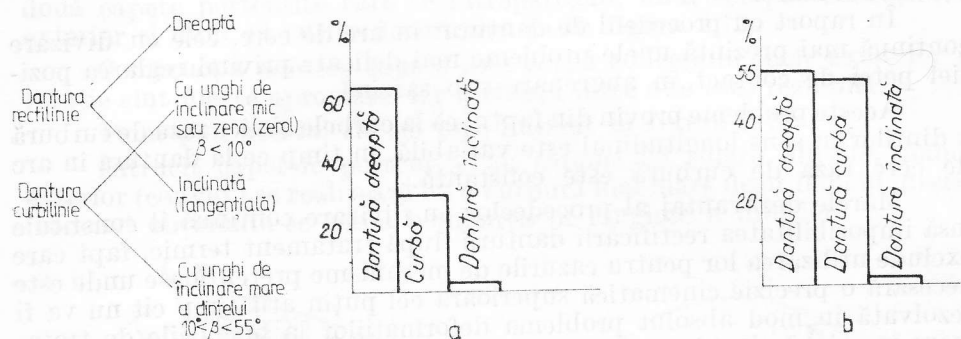


Fig. 2.74

Fig. 2.75

În fig. 2.75, *a* se poate remarca frecvența mare de utilizare a danturii drepte determinată de numărul mare de cazuri de utilizare în construcția de mașini în general cât și de folosirea sa la dantura sateliților și planetarelor diferențialelor auto.

În ce privește dantura curbă ea se utilizează masiv la angrenajul conic principal al diferențialelor mijloacelor de transport și în mai mică măsură în celelalte domenii ale construcției de mașini în general.

Ca volum de fabricație din fig. 2.75, *b* se remarcă o mai mică diferență între dantura dreaptă și curbă determinată de faptul că în construcția de mașini în general dantura dreaptă este folosită mai mult la unicate sau serii mici, la serii mari și foarte mari (mijloace de transport) utilizarea danturii drepte și curbe fiind la un volum de fabricație aproximativ echivalent.

În ce privește dantura rectilinie înclinată (tangentială) utilizarea sa este puțin răspândită fiind substituită în majoritatea cazurilor de dantura curbă.

Cazurile în care se mai folosește sînt cele a unor piese de mari dimensiuni pentru care există mașini de danturat corespunzătoare.

În ceea ce privește dantura conică curbă, datorită avantajelor pe care le prezintă, există în prezent tendința de a se răspîndi în cele mai diverse domenii ale construcției de mașini.

În acest sens frecvența cazurilor de utilizare în funcție de modul este cel indicat în fig. 2.76, *a*, iar al volumului de fabricație în funcție de modul, în fig. 2.76, *b*.

În ambele cazuri procente mari de utilizare prezintă domeniul modurilor 3 ... 10 datorită mijloacelor de transport, automobile, camioane tractoare etc. toate caracterizate prin serii mari de fabricație.

Utilizarea angrenajelor conice cu dantură curbă în funcție de viteza periferică este ilustrată în fig. 2.77.

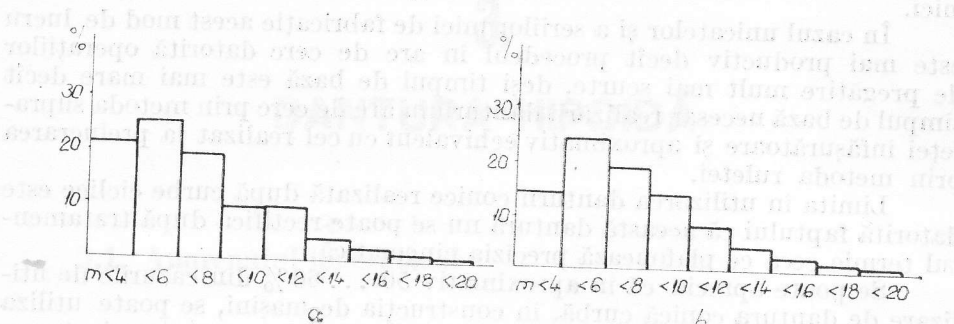


Fig. 2.76

Graficul din fig. 2.77 indică faptul că un volum foarte mare de angrenaje conice cu dantură curbă este utilizat în domeniul vitezelor mai mici de 10 m/s adică în domeniul în care se poate aplica rodarea pe stand.

La viteze mari de funcționare unde este necesară rectificarea danturii volumul este mult mai redus. Se remarcă o creștere ușoară în domeniul vitezelor mari de funcționare, creștere datorită activităților spațiale unde sînt necesare performanțe de vîrf.

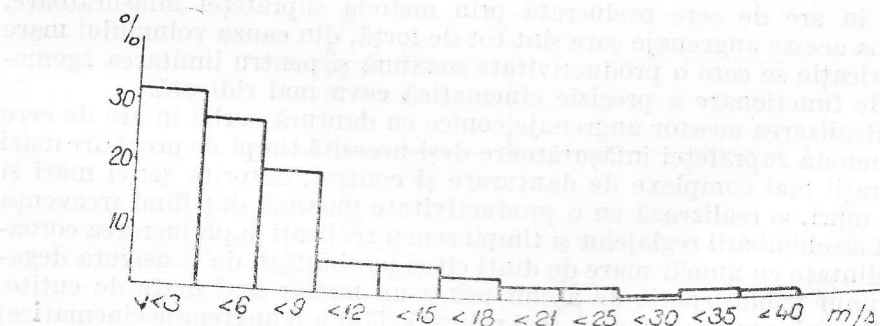


Fig. 2.77

Nu trebuie concluzionat de aici că rectificarea danturii se aplică numai pentru angrenajele ce lucrează la viteze periferice mari. Majoritatea angrenajelor cinematice, în special la mașini-unelte, au viteze periferice reduse dar necesită precizie cinematică superioară, care se poate obține numai prin rectificarea danturii.

Analizînd aceste grafice problema principală care se pune este a metodelor de fabricație, respectiv cînd se poate recurge la dantură realizată după curbe ciclice și cînd la dantură conică curbă în arc de cerc.

După cum s-a văzut anterior realizarea angrenajelor conice cu dantură curbă orientată după curbe ciclice prezintă reale avantaje, în ceea ce privește simplitatea operației de danturare, datorită faptului că piesa este prelucrată complet dintr-o singură prindere pe mașină. Regla-

jul mașinii de danturat este simplu și se poate executa într-un timp relativ redus.

Timpul de prelucrare al unei roți este dictat de faptul că avansul de frezare se face progresiv împreună cu rostogolirea la toți dinții ceea ce necesită rularea leagănului mașinii pe unghiuri mari cu viteze de avans mici.

În cazul unicateilor și a seriilor mici de fabricație acest mod de lucru este mai productiv decât procedeul în arc de cerc datorită operațiilor de pregătire mult mai scurte, deși timpul de bază este mai mare decât timpul de bază necesar realizării danturii în arc de cerc prin metoda suprafeței înfășurătoare și aproximativ echivalent cu cel realizat la prelucrarea prin metoda ruletei.

Limita în utilizarea danturii conice realizată după curbe ciclice este datorită faptului că această dantură nu se poate rectifica după tratamentul termic ceea ce plafonează precizia cinematică.

Se poate aprecia că în aproximativ 50 ... 60% din cazurile de utilizare de dantura conică curbă, în construcția de mașini, se poate utiliza dantură realizată după curbe ciclice fiind vorba de angrenaje unicate sau serii mici cu schimbări dese de fabricație și fără pretenții deosebite de precizie cinematică după operațiile de tratament termic.

În totalitatea acestor cazuri avem de a face cu angrenaje de forță. Un alt grup de cazuri apreciat la 20 ... 30% din cazurile de utilizare de dantură conică curbă îl reprezintă angrenajele necesare mijloacelor de transport și care se fabrică în serii mari și foarte mari. Întrucât aceste angrenaje ca volum de fabricație au o pondere foarte mare reprezentând aproximativ 75 ... 80% din totalitatea angrenajelor conice cu dantură curbă fabricate, în aceste cazuri cel mai indicat este folosirea danturii conice în arc de cerc prelucrată prin metoda suprafeței înfășurătoare.

La aceste angrenaje care sînt tot de forță, din cauza volumului mare de fabricație se cere o productivitate maximă și pentru limitarea zgomotului de funcționare o precizie cinematică ceva mai ridicată.

Realizarea acestor angrenaje conice cu dantură curbă în arc de cerc prin metoda suprafeței înfășurătoare deși necesită timpi de pregătire mari și operații mai complexe de danturare și control, datorită seriei mari și foarte mari, se realizează cu o productivitate maximă dat fiind frecvența redusă a schimbării reglajelor și timpii scurți realizați la prelucrarea coroarelor dințate cu număr mare de dinți cît și posibilității de a asigura degajarea unui volum sporit de așchii printr-un număr mai mare de cuțite.

Precizia cinematică ceva mai ridicată (fără a fi angrenaje cinematice) este asigurată de metoda suprafeței înfășurătoare și în condițiile unui tratament termic executat corespunzător este suficientă rodarea pe mașina de rodat și o împerechere atentă la fabricație și la montaj.

Un număr mai redus de cazuri întîlnite în special la mașini unelte, tehnică spațială și aparatură de mare precizie este cel al angrenajelor cinematice necesitînd precizii deosebite ale danturii.

În aceste situații se utilizează exclusiv dantura conică curbă în arc de cerc. Pentru cazul seriei mici și a unicateilor se folosește metoda ruletei sau pentru unele angrenaje speciale metoda suprafeței înfășurătoare. Pentru serii mari se preferă metoda suprafeței înfășurătoare, bine înțeles dacă sînt îndeplinite condițiile în care se poate aplica această metodă.

În toate aceste cazuri dantura este rectificată după operațiile de tratament termic, rectificarea executîndu-se pe mașini speciale destinate acestui scop.

3.

DANTURA HIPOIDĂ

3.1. Angrenajul hiperboidal

Se consideră două axe I și II încrucișate, adică neparalele și necurente (fig. 3.1).

Se alege poziția lor astfel ca axa II să fie conținută în planul orizontal, iar segmentul de dreaptă $Q_1Q_2 = a$ perpendicular pe cele două axe și reprezentînd distanța cea mai mică între aceste axe, să fie perpendicular pe planul orizontal.

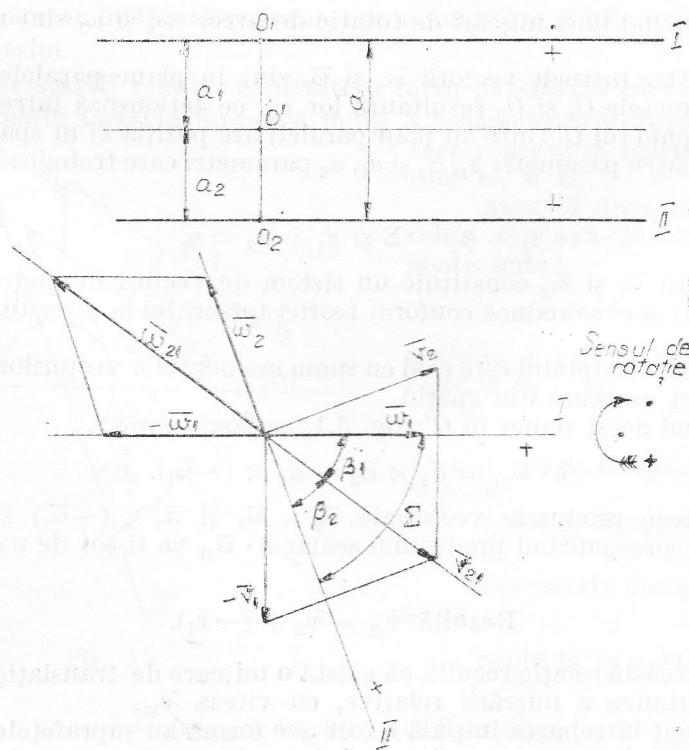


Fig. 3.1

Unghiul dintre aceste axe Σ se proiectează pe planul orizontal în adevărată mărime. (În figura 3.1 axele sînt reprezentate în cele două proiecții).

Se pune întrebarea ce formă trebuie să aibă două suprafețe de revoluție care se rotesc uniform cu vitezele unghiulare ω_1 și ω_2 avînd ca axe de rotație I și II , astfel ca ele să fie tangente și să se rostogolească una peste alta spre a putea deveni axoide (suprafețe de rostogolire, sau după o denumire mai veche suprafețe primitive) ale unui angrenaj.

După cum se știe din mecanica teoretică, dacă se consideră vectorii vitezelor unghiulare $\bar{\omega}_1$ și $\bar{\omega}_2$ ca fiind dirijați în lungul axelor I și II (sensurile de rotație sînt marcate prin \cdot și $+$ conform fig. 3.1), axoidele relative, adică cele două suprafețe de rostogolire, reprezintă locul geometric al axei instantanee relative, respectiv al dreptei suport a vectorului $\bar{\omega}_{21}$.

Mișcările de rotație ω_1 și ω_2 se văd ca atare dintr-un punct exterior față de două corpuri în rotație legate de axele I și II .

Dacă observatorul se plasează pe corpul legat de axa I el vede corpul de pe axa II în mișcare relativă și invers dacă se plasează pe corpul legat de axa II .

Mișcarea absolută a corpului de pe axa II este în primul caz ω_2 , mișcarea de transport a observatorului ω_1 , iar mișcarea relativă a corpului de pe axa II , față de observatorul de pe axa I , ω_{21} .

Întrucît mișcarea absolută = mișcarea relativă + mișcarea de transport, se poate scrie că

$$\bar{\omega}_2 = \bar{\omega}_{21} + \bar{\omega}_1 \text{ de unde } \bar{\omega}_{21} = \bar{\omega}_2 + (-\bar{\omega}_1), \quad (3.1)$$

ω_{21} corespunzînd unei mișcări de rotație deoarece ω_2 și ω_1 sînt mișcări de rotație.

Dar întrucît vectorii $\bar{\omega}_1$ și $\bar{\omega}_2$ sînt în plane paralele și acționează în punctele O_1 și O_2 rezultanta lor $\bar{\omega}_{21}$ ce acționează între punctele O_1 și O_2 în punctul O' (într-un plan paralel) are poziția ei în spațiu determinată de patru parametri β_1 , β_2 și a_1 , a_2 parametri care trebuie să respecte egalitățile :

$$\beta_1 + \beta_2 = \Sigma \text{ și } a_1 + a_2 = a. \quad (3.2)$$

Vectorii $\bar{\omega}_1$ și $\bar{\omega}_2$ constituie un sistem de vectori în spațiu (vectori necoplanari) și el se reduce conform teoriei torsorului la o rezultantă (ω_{21}) și un cuplu.

Momentul cuplului este egal cu suma momentelor vectorilor în raport cu un punct oarecare din spațiu.

Alegînd acest punct în O' (fig. 3.1) se poate scrie :

$$h \cdot \bar{\omega}_{21} = \bar{a}_2 \times \bar{\omega}_2 + \bar{a}_1 \times (-\bar{\omega}_1). \quad (3.3)$$

Deoarece produsele vectoriale $\bar{a}_2 \times \bar{\omega}_2$ și $\bar{a}_1 \times (-\bar{\omega}_1)$ sînt viteze și vectorul corespunzînd produsului scalar $h \cdot \bar{\omega}_{21}$ va fi tot de natura unei viteze.

$$\text{Rezultă } \bar{v}_{21} = \bar{v}_2 + (-\bar{v}_1). \quad (3.4)$$

Din această relație rezultă că există o mișcare de translație în lungul axei instantanee a mișcării relative, cu viteza \bar{v}_{21} .

Întrucît întrebarea inițială a fost „ce formă au suprafețele de rostogolire” (axoidele), se poate afirma că, întrucît axa de rotație instantanee este conținută într-un plan paralel cu axele I și II și înclinată față de

axe, ea descrie în fiecare din cele două mișcări de rotație relative (ω_{21} și ω_{12}) câte o suprafață hiperbolică având ca axe de rotație I și II , suprafețe ce sînt tangente exterior în lungul unei generatoare care ocupă în spațiu poziția axei instantanee.

Imagîndu-ne că de axele I și II sînt legate niște blocuri de ceară în rotație și că axa instantanee este materializată printr-un fir încălzit, acest fir decupează în blocurile de ceară cei doi hiperboloizi [7].

Dacă unul dintre hiperboloizi este ținut fix, iar al doilea este rostogolit peste primul, se observă că datorită unghiului axelor, hiperboloidul rotit are tendința de a-și schimba în permanență poziția în lungul generatoarei, ceea ce explică apariția vitezei de alunecare v_{21} . Mai simplu, acest fenomen poate fi realizat dacă ne imaginăm doi cilindri așezați încrucișat dintre care, unul este fix și al doilea se rostogolește peste el. Punctul lor de contact descrie o traiectorie elicoidală pe cilindrul fix, deci cilindrul care se rostogolește avansează în lungul cilindrului fix.

Dacă aceste două suprafețe hiperboloidale se consideră a fi suprafețe de rostogolire ale unui angrenaj (numit angrenaj hiperbolic), în acest caz curbele directoare ale dinților trebuie să coincidă cu direcția generatoarei hiperbolicilor pentru a se putea asigura alunecarea relativă între dinți.

Întrucît în mișcarea relativă a celor doi hiperboloizi danturile luate în considerare se înfășoară reciproc, contactul între dinți are loc în tot lungul dintelui.

Spre a stabili relațiile cantitative între parametrii care determină poziția în spațiu a axei instantanee, în fig. 3.2 se unesc vîrfurile segmentelor care reprezintă mărimea vectorilor $\vec{\omega}_1$ și $\vec{\omega}_2$.

Această dreaptă fiind paralelă cu axa instantanee se poate scrie:

$$\omega_1 \sin \beta_1 = \omega_2 \sin \beta_2 \quad (3.5)$$

unde ω_1 și ω_2 sînt mărimea vectorilor $\vec{\omega}_1$ și $\vec{\omega}_2$

și

$$\begin{aligned} a_1 \omega_1 \cos \beta_1 &= a_2 \omega_2 \cos \beta_2, \\ \text{respectiv} \quad v_1 \cos \beta_1 &= v_2 \cos \beta_2. \end{aligned} \quad (3.6)$$

Din aceste două relații rezultă că

$$a_1 \operatorname{ctg} \beta_1 = a_2 \operatorname{ctg} \beta_2, \quad (3.7)$$

$$\text{și} \quad i = \omega_1 / \omega_2 = (a_2 / a_1) \cdot (\cos \beta_2 / \cos \beta_1), \quad (3.8)$$

unde i este raportul de transmitere al angrenajului hiperbolic.

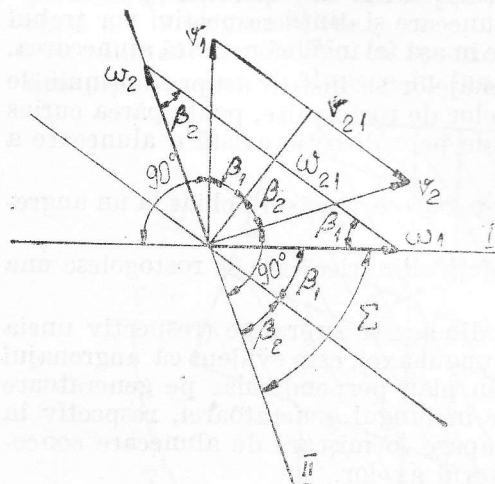


Fig. 3.2

Din cele expuse rezultă că există o mișcare de rotație și una de translație ale căror mărimi sînt conform fig. 3.2 :

$$\omega_{21} = \omega_1 \cos \beta_1 + \omega_2 \cos \beta_2, \quad (3.9)$$

$$v_{21} = a_1 \omega_1 \sin \beta_1 + a_2 \omega_2 \sin \beta_2 = v_1 \sin \beta_1 + v_2 \sin \beta_2. \quad (3.10)$$

Se constată că mișcarea relativă între cei doi hiperboloizi poate fi privită ca o mișcare a cărei distribuție de viteze corespunde unei mișcări elicoidale al cărei parametru sau pas este

$$h = v_{21}/\omega_{21}, \text{ deoarece } \bar{v}_{21} = h \cdot \bar{\omega}_{21} \text{ (relațiile 3.3 și 3.4)}. \quad (3.11)$$

În consecință

$$h = (a_1 \omega_1 \sin \beta_1 + a_2 \omega_2 \sin \beta_2)/(\omega_1 \cos \beta_1 + \omega_2 \cos \beta_2). \quad (3.12)$$

S-a demonstrat anterior că $\omega_1 \sin \beta_1 = \omega_2 \sin \beta_2 = T$, deci se poate scrie, din relația (3.12), că $h = T(a_1 + a_2)/(\omega_1 \cos \beta_1 + \omega_2 \cos \beta_2)$, de unde $h = (a_1 + a_2)/[(\omega_1 \cos \beta_1/T) + (\omega_2 \cos \beta_2/T)] = (a_1 + a_2)/[(\cos \beta_1/\sin \beta_1) + (\cos \beta_2/\sin \beta_2)]$, de unde

$$h = (a_1 + a_2)/(\operatorname{ctg} \beta_1 + \operatorname{ctg} \beta_2). \quad (3.13)$$

Ținînd seama de relația (3.7) rezultă că

$$h = a_1/\operatorname{ctg} \beta_2 = a_2/\operatorname{ctg} \beta_1 = (a_1 + a_2)/(\operatorname{ctg} \beta_2 + \operatorname{ctg} \beta_1). \quad (3.14)$$

Important de reținut este faptul că în cazul transmiterii unei mișcări de rotație prin corpuri dințate între două axe încrucișate în spațiu vor „exista” două suprafețe imaginare de forma a doi hiperboloizi tangenți care se rostogolesc fără alunecare în planul perpendicular pe generatoarea de contact (deoarece $v_1 \cos \beta_1 = v_2 \cos \beta_2$ v. fig. 3.2) dar, în lungul generatoarei lor, va apărea o mișcare de alunecare și dinții respectivi vor trebui orientați în lungul acestei generatoare în așa fel încît să permită alunecarea.

Deoarece la cunoașterea angrenajelor se insistă asupra noțiunii de rostogolire fără alunecare a suprafețelor de rostogolire, poate părea curios că în cazul suprafețelor hiperboloidale pe o direcție există o alunecare a acestor suprafețe.

Fenomenul poate fi intuit într-o oarecare măsură chiar la un angrenaj cilindric cu dinți drepti.

În acest caz există două suprafețe cilindrice care se rostogolesc una peste alta fără alunecare.

Dacă în timpul rotației uneia din aceste suprafețe (respectiv uneia din roți) îi imprimăm o deplasare în lungul axei, este evident că angrenajul funcționează în continuare normal în plan perpendicular pe generatoare fiind rostogolire fără alunecare, dar în lungul generatoarei, respectiv în lungul dinților, datorită deplasării apare o mișcare de alunecare concomitentă cu mișcarea de rotație în jurul axelor.

Se vede din fig. 3.3 că roțile dințate hiperboloidale sînt două discuri secționate din corpurile hiperboloidale. În cazul cînd aceste discuri sînt luate în considerare în zona de diametru minim, acestea pot fi înlocuite prin roți cilindrice cu dinți înclinați, obținîndu-se binecunoscutul angrenaj elicoidal cu axe încrucișate, iar atunci cînd sînt în alte zone, pot fi înlocuite cu roți conice, rezultînd angrenajul hipoid.

În ambele cazuri (roți cilindrice sau roți conice) mișcarea de rotație uniformă în jurul axelor încrucișate (neconcurente) determină o astfel de distribuție a vitezelor în corpurile ce se rotesc, încât suprafețele de rostogolire nu sînt altceva decît hiperboloizi.

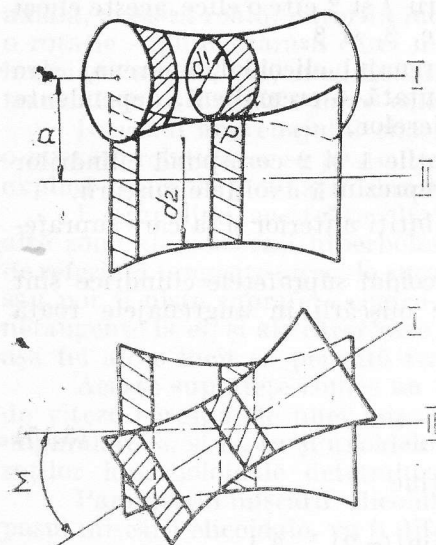


Fig. 3.3

Dacă vom considera zona de diametru minim a hiperboloizilor înlocuită cu suprafețe cilindrice de diametru d_1 și d_2 , astfel ca $(d_1 + d_2)/2 = a$ (vezi fig. 3.3) iar axa cilindrului 1 să corespundă cu axa I și cea a cilindrului 2, cu axa II, punctul lor de tangență va fi P, unde normala comună înțeapă suprafețele cilindrice.

Se consideră două plane suprapuse Q_1 și Q_2 tangente la cei doi cilindri, planul Q_1 conținînd dreapta Δ_1 , iar Q_2 , o dreaptă Δ_2 astfel că dreapta Δ_1 este suprapusă peste dreapta Δ_2 , ele fiind înclinate cu unghiul β_1 , față de axa I, și β_2 , față de axa II.

Admițînd o serie de drepte paralele și egal distanțate de dreptele Δ_1 și Δ_2 , se poate afirma că planele Q_1 și Q_2 sînt planele de referință ale unor cremaliere.

Impunînd condiția ca în orice moment dreapta Δ_1 să coincidă cu dreapta Δ_2 , dar să alunece în lungul acesteia prin deplasarea planului

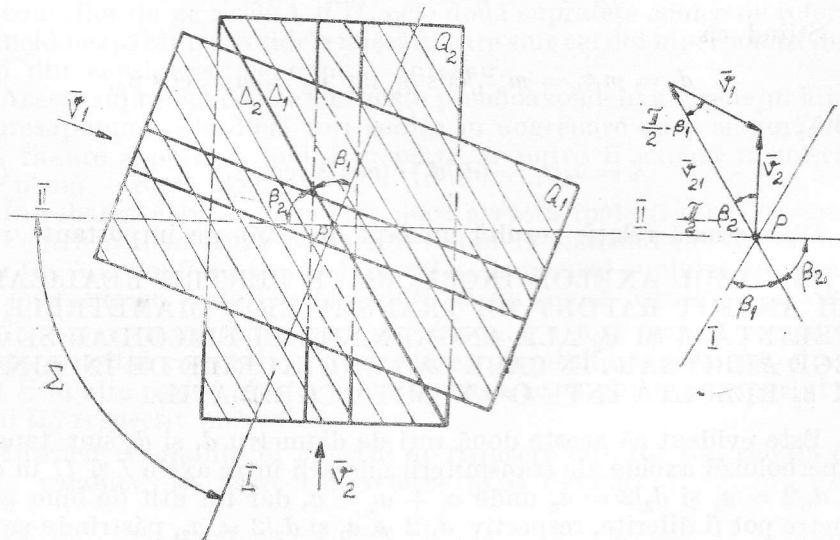


Fig. 3.4

Q_1 cu viteza v_1 , perpendiculară pe axa I , planul Q_2 va fi silit să execute și el o mișcare de translație cu viteza v_2 , perpendiculară pe axa II (respectiv o cremalieră va aluneca peste cealaltă cremalieră suprapusă).

Planul Q_1 fiind tangent la cilindrul 1 îi va imprima acestuia o rotație în jurul axei I , iar la rîndul său cilindrul 2 va avea o rotație în jurul axei II .

Dreptele Δ_1 și Δ_2 înfășoară pe cilindrii 1 și 2 câte o elice, aceste elice avînd unghiurile de înclinare, față de axe, β_1 și β_2 .

Angrenajul astfel obținut este angrenajul elicoidal, angrenaj care conține în sine două angrenaje roată dințată — cremalieră, dependente unul de altul prin suprapunerea cremalierelor.

În angrenajul elicoidal 1/2, unde roțile 1 și 2 corespund cilindrilor 1 și 2, cele două suprafețe cilindrice nu reprezintă axoidele mișcării.

Acestea sînt cei doi hiperboloizi amintiți anterior și la care suprafețele cilindrice au fost luate tangente.

Din această cauză în angrenajul elicoidal suprafețele cilindrice sînt pseudoaxoide, dar constituie axoide ale mișcării în angrenajele roată cremalieră 1/ Q_1 și 2/ Q_2 .

Din fig. 3.4 se vede că viteza

$$\bar{v}_2 = \bar{v}_1 + \bar{v}_{21}. \quad (3.15)$$

Aplicînd teorema sinusurilor se obține

$$v_1/\sin[(\pi/2) - \beta_2] = v_2/\sin[(\pi/2) - \beta_1],$$

de unde,

$$v_1/v_2 = \cos \beta_2/\cos \beta_1. \quad (3.16)$$

Impunînd condiția $v_1 = \omega_1(d_1/2)$ și $v_2 = \omega_2(d_2/2)$ se obține

$$\omega_1/\omega_2 = (d_2/d_1) \cdot (\cos \beta_2/\cos \beta_1) = i. \quad (3.17)$$

Știînd că

$$d_1 = m_t z_1 = m_n z_1/\cos \beta_1 \text{ iar } d_2 = m_n z_2/\cos \beta_2,$$

rezultă,

$$i = z_2/z_1 = (d_2/d_1) \cdot (\cos \beta_2/\cos \beta_1). \quad (3.18)$$

Din această relație rezultă un fapt deosebit de important.

ÎN CAZUL AXELOR ÎNCRUCIȘATE PENTRU REALIZAREA UNUI ANUMIT RAPORT DE TRANSMITERE, DIAMETRELE DE REFERINȚĂ d_1 ȘI d_2 ALE ANGRENAJULUI ELICOIDAL SE POT ALEGE ARBITRAR, ÎN CARE CAZ UNGHIURILE DE ÎNCLINARE β_1 ȘI β_2 REZULTĂ ÎNTR-O ANUMITĂ CORELAȚIE.

Este evident că aceste două roți de diametru d_1 și d_2 sînt tangente la hiperboloizii axoide ale transmiterii mișcării între axele I și II în cazul cînd $d_1/2 = a_1$ și $d_2/2 = a_2$ unde $a_1 + a_2 = a$, dar tot atît de bine aceste diametre pot fi diferite, respectiv $d_1/2 \neq a_1$ și $d_2/2 \neq a_2$, păstrîndu-se însă relația $d_1/2 + d_2/2 = a$.

În acest ultim caz roțile cilindrice ale angrenajului elicoidal, datorită, unghiurilor de înclinare a dinților, realizează același raport de transmitere ca și angrenajul hiperbolic.

Acest fenomen poate fi înțeles imaginându-ne în angrenare două roți dințate cilindrice cu dantură înclinată și axe paralele.

Dacă în timpul rotației vom imprima uneia din roți o translație axială, această roată, datorită înclinării dinților, va imprima roții pereche o rotație suplimentară a cărei mărime depinde de mărimea unghiului de înclinare a danturii, modificându-se în mod corespunzător raportul de transmitere a mișcării între cele două axe.

În cazul angrenajului elicoidal, cilindrii celor două roți dințate au o mișcare relativă ce se poate descompune în rotație și translație, ceea ce explică efectul înclinării danturii.

Extrapolând aceste rezultate și la roțile conice care aproximează alte zone ale acelorași hiperboloizi, rezultă că acestea pot avea conurile de referință tangente direct la suprafețele hiperboloidale axoide ale mișcării, sau pot fi niște suprafețe conice având aceleași axe cu hiperboloizii, însă netangente la ei, și ale căror raze și unghiuri de înclinare a dinților sînt în așa fel alese încît să permită realizarea aceleiași raport de transmitere.

Aceste suprafețe conice au tot o mișcare relativă a cărei distribuție de viteze corespunde unei mișcări elicoidale și realizează aceleași viteze unghiulare ω_1 și ω_2 ca și axoidele, dar razele lor nu mai corespund razelor roților hiperboloidale determinate de axoide.

Parametrul mișcării elicoidale a noilor suprafețe conice, respectiv pasul mișcării elicoidale, va fi diferit de cel al axoidelor, ceea ce înseamnă că alunecarea între dinți va fi alta.

Ca și în cazul angrenajului elicoidal, care a fost analizat luînd în considerare suprafețele cilindrice și două cremaliere suprapuse, și în cazul angrenajului hipoid se pot considera două roți conice fiecare în angrenare cu cîte o roată plană și cele două roți plane suprapuse și în angrenare între ele (v. fig. 3.20), ajungîndu-se la aceeași concluzie: diametrele se pot alege arbitrar corelînd unghiurile de înclinare ale dinților.

Rezultă că în angrenajul hipoid, în mișcarea 1/2, unde 1 și 2 corespund conurilor de pe axele I și II, cele două suprafețe conice de referință nu coincid neapărat cu axoidele mișcării care sînt cei doi hiperboloizi determinați din considerentele expuse anterior.

Aceste suprafețe conice sînt niște pseudoaxoide în angrenajul hipoid, dar, presupunînd cele două roți conice în angrenare cu o singură roată plană, fiecare suprafață conică în parte ar putea fi axoidă în mișcarea roată plană — roată conică.

Întrebarea care se pune este dacă această ipoteză este adevărată?

Pentru a demonstra aceasta revenim la sistemul de vectori $\vec{\omega}_1$ și $\vec{\omega}_2$ din fig. 3.1. Conform teoriei torsorului, momentul cuplului este egal cu suma momentelor vectorilor în raport cu un punct oarecare din spațiu.

În demonstrația anterioară acest punct a fost luat în considerare chiar pe suportul vectorului $\vec{\omega}_{21}$, dar în conformitate cu definiția, el poate fi luat și în alte poziții. Astfel vom considera acest punct pe suportul vectorului $\vec{\omega}_1$, respectiv pe axa I.

Întrucît rezultanta în punctul de reducere este tot $\vec{\omega}_{21}$, relația (3.3) rămîne valabilă. În acest caz relația (3.3) devine:

$$h \cdot \vec{\omega}_{21} = \vec{a}_2 \times \vec{\omega}_2 \quad \text{deoarece } a_1 = 0. \quad (3.19)$$

Dar, intrucit $a_2/a_1 = (\omega_1/\omega_2) \cdot (\cos \beta_1/\cos \beta_2)$, (relația 3.6) și $a_1 = 0$, rezultă că $\omega_2 \cos \beta_2 = 0$.

Deoarece $\omega_2 \neq 0$ rezultă $\cos \beta_2 = 0$, deci $\beta_2 = 90^\circ$.

Se poate trage concluzia că axa instantanee a mișcării relative, în acest caz, este conținută într-un plan perpendicular pe axa *II*, deci suprafețele de rostogolire în mișcare relativă sînt : o suprafață conică, avînd axa de rotație *I* și semiunghiul la vîrf β_1 , și o suprafață plană, cu axa de rotație *II*.

Această concluzie prezintă o importanță esențială pentru înțelegerea danturii hipoidale intrucit ne arată că :

O SUPRAFATĂ CONICĂ ȘI O SUPRAFATĂ CIRCULARĂ PLANĂ POT COSTITUI SUPRAFETE DE REFERINȚĂ ÎNTR-UN ANGRENAJ HIPOID.

Din punct de vedere practic aceasta înseamnă că o dantură hipoidă poate fi generată cu o roată plană prin așezarea necoplanară a axelor de rotație.

Comparînd cu angrenajele cu axe paralele sau axe concurente se constată că în timp ce, în aceste cazuri, un anumit raport de transmitere impune aproximativ același raport diametrelor exterioare ale roților, la angrenajele cu axe încrucișate roțile pot avea diametrele exterioare într-un raport total diferit de raportul de transmitere datorită existenței mișcării de alunecare între dinți.

Evident acest grad de libertate în plus are și el unele limitări impuse de geometria danturii și de viteza de alunecare între dinți.

Dacă examinăm roțile hiperboloidale din zona de diametru minim se poate observa că segmentul de dreaptă care constituie cea mai mică distanță între axe este perpendicular pe generatoarea de contact a hiperboloizilor și este axă de simetrie a mișcării, adică, deoparte și de alta a sa, punctele de pe un hiperboloid se apropie și se îndepărtează în mod egal, la unghiuri egale de rotație, față de hiperboloidul pereche.

Intrucit această noțiune de axă de simetrie a mișcării are o deosebită importanță pentru angrenajele hipoidale este necesar a se insista asupra sa.

La un angrenaj cilindric cu axe paralele observăm că planul care conține axele angrenajului este plan de simetrie al mișcării, deoarece în puncte simetrice față de acest plan și direcția vitezei în punctele respective este simetrică. Subliniem direcția vitezei, făcîndu-se deci abstracție de sensul vitezei. Intersecția acestui plan cu un plan perpendicular pe axe este o dreaptă (linia centrelor) care este axă de simetrie a mișcării.

Revenind la cele două suprafețe hiperboloidale în zona de diametru minim, segmentul de dreaptă care constituie cea mai mică distanță între axe înțeapă suprafețele hiperboloidale într-un punct ce limitează razele celor doi hiperboloizi în secțiunea dată.

Considerîndu-se planul format de axa fiecărei roți și punctul mai sus menționat se constată că acest plan este plan de simetrie al mișcării roții respective.

Intersecția celor două plane este chiar dreapta ce reprezintă distanța între cele două axe și, fiind comună planelor de simetrie a mișcării fiecărei roți, este axă de simetrie a mișcării în angrenaj.

În mod asemănător și la roțile hiperboloidale care reprezintă zone ale hiperboloizilor în afara zonei de distanță minimă între axe, luînd în

considerare razele r_1 și r_2 , acestea se întâlnesc pe generatoarea de contact într-un punct comun P (v. fig. 3.5).

Planul determinat de axa oricăreia dintre roți și punctul acesta este plan de simetrie al mișcării roții respective iar intersecția celor două plane (ce se pot forma astfel) este dreapta axă de simetrie a mișcării celor doi

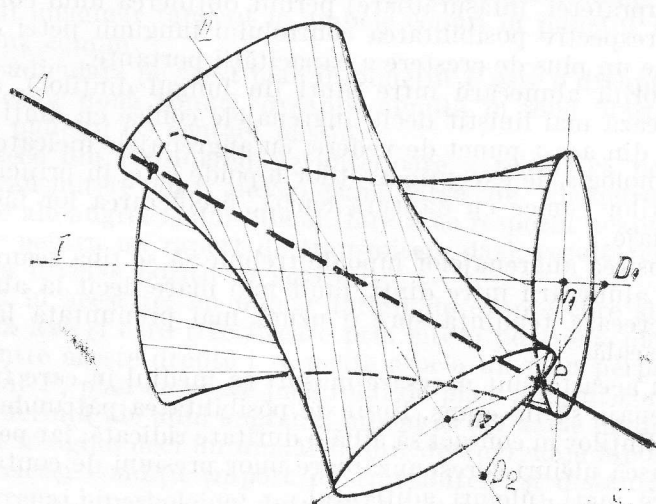


Fig. 3.5

hiperboloizi în punctul respectiv. Dreapta axă de simetrie este perpendiculară pe generatoarea de contact a hiperboloizilor Δ și se sprijină pe cele două axe, fiind normala în punctul considerat de pe generatoarea de contact.

Se vede din fig. 3.5 că, luând în considerare diverse puncte pe generatoarea de contact Δ , mulțimea dreptelor $\overline{D_1 D_2}$ constituie o suprafață riglată având o formă torsionată. Această suprafață este o suprafață de simetrie a mișcării în angrenajul hiperbolic, iar punctele D_1 și D_2 joacă rolul unor centre de rotație dacă se ia în considerare distribuția de viteze.

3.2. Noțiuni generale privind angrenajele hipoide

Angrenajele hipoide sînt destinate transmiterii mișcării de rotație între axe încrucișate care nu sînt în același plan, avînd rolul de a suplini angrenajele hiperboloidale.

În mod obișnuit ele se folosesc pentru rapoarte de transmitere de la 1 (unu) pînă la 10 (zece), denumite angrenaje hipoide normale, dar în prezent există variante ale angrenajelor hipoide (hipoide speciale) la care raportul de transmitere este mult mai mare, raport obținut în primul rînd pe seama micșorării numărului de dinți al pinionului pînă la $z = 1$ (mele cu un început). Dintre acestea menționăm angrenajul cu roată plană și mele cilindric (Helicon) și cel cu roată conică și mele conic (Spiroid).

În raport cu alte tipuri de angrenaje, angrenajele hipoide prezintă o serie de avantaje:

1. Capacitate mare de transmitere a efortului datorită atât formei dinților, cât și configurației geometrice a ansamblului care permite construcția unor lagăre rigide.

2. Metodele de prelucrare existente, (ne referim în mod deosebit la metoda suprafeței înfășurătoare) permit obținerea unui contact linear între dinți, respectiv posibilitatea controlului lungimii petei de contact, ceea ce aduce un plus de creștere a capacității portante.

3. Datorită alunecării între dinți (în lungul dinților), angrenajele hipoide lucrează mai liniștit decât angrenajele conice cu dinți curbi, asemănându-se, din acest punct de vedere, cu angrenajele melcate.

4. Tehnologia de execuție a roților hipoide este, în principiu, aceeași ca cea a roților conice cu dantură curbă, prelucrarea lor făcându-se pe aceleași utilaje.

La folosirea angrenajelor hipoide trebuie să se țină seama de faptul că prezența alunecării între dinți, mult mai mare decât la alte tipuri de angrenaje, creează tendința spre o uzură mai pronunțată la abraziune decât la oboseală.

Pentru aceasta sînt necesare măsuri ca mediul în care funcționează aceste angrenaje să fie etanș, lipsit de posibilitatea pătrunderii prafului, suprafețele dinților în contact să aibă o duritate ridicată, iar pentru ungere să se folosească uleiuri corespunzătoare unor presiuni de contact și viteze de alunecare mari (uleiuri aditivitate).

Angrenajele hipoide au început prin a se impune în construcția automobilelor, dovedindu-și eficiența pentru angrenajele conice ale diferențialelor.

Capacitatea lor mare de transmitere a efortului le-a făcut să se extindă în continuare la autocamioane, tractoare, locomotive electrice și alte mijloace de transport precum și la diverse utilaje mobile.

La utilaje statice o deosebită răspindire au aceste angrenaje în industria hîrtiei și în industria metalurgică.

În ultimul timp angrenajele de tip Helicon și Spiroid au început să se folosească la mașini-unelte, în special ca înlocuitoare ale angrenajelor melcate, mari consumatoare de metale neferoase.

După cum s-a menționat mai sus, la angrenajul hipoid axa pinionului se găsește sub axa roții (sau deasupra), ceea ce permite, în cazul unei dezaxări suficient de mari, ca arborele pinionului să treacă pe sub arborele roții și să fie sprijinit pe un lagăr corespunzător.

Dacă se consideră roata conică a angrenajului hipoid ca fiind roata conică a unui angrenaj conic obișnuit, la care pinionul are același număr de dinți ca și pinionul hipoid (deci este echivalent), se constată că pinionul hipoid are dimensiuni diferite față de pinionul conic echivalent, ceea ce are efecte favorabile din punct de vedere al capacității de transmitere a efortului în cazul cînd pinionul este mai mare.

Suprafețele de referință (respectiv suprafețele de divizare și rostogolire de la prelucrare) ale roților angrenajului hipoid sînt conuri în contact numai într-un singur punct P , plasat la jumătatea lățimii danturii roții și a pinionului, numit punct mediu.

Elementele geometrice asociate acestui punct vor avea în cele ce urmează precizarea „mediu” (exemplu: cerc de referință mediu).

Generatoarele acestor două conuri sînt intersectate în punctul P și determină un plan imaginar tangent la cele două conuri.

Este evident că două conuri așezate în această poziție au axele încrucișate neconcurente întocmai ca la angrenajul hiperboloidal și, după cum s-a arătat anterior, substituie cei doi hiperboloizi de referință ai angrenajului hiperboloidal, respectiv hiperboloizii de divizare, întrucît hiperboloizii de rostogolire rămîn neschimbați, fiind determinați de ω_1 și ω_2 .

Planul imaginar tangent la ambele conuri în punctul P este numit plan tangent comun.

Perpendiculara pe acest plan în punctul P este o dreaptă care întretaie axele celor două conuri, dreaptă numită în mod obișnuit normală comună în punctul de contact mediu.

Deoarece din considerentele anterioare a reieșit că pentru același raport de transmitere pot fi alese o gamă largă de diametre ale roților componente ale angrenajului hipoid (fără a se respecta neapărat raportul diametrelor pentru un raport de transmitere dat), rezultă că punctul P poate ocupa diverse poziții în spațiu.

Există în acest fel un număr infinit de drepte care sînt sprijinite pe cele două axe și care trec fiecare prin cîte o poziție a punctului P și fiecareia dintre aceste drepte i se poate asocia un plan perpendicular pe ea în punctul P , plan ce poate juca rolul de plan tangent comun la două conuri de referință ale unui angrenaj hipoid avînd axele de mai sus.

Se pot imagina deci un număr infinit de angrenaje hipoide care pot satisface aceleași condiții (raport de transmitere și distanță între axe) ca și un angrenaj hiperboloidal dat, urmînd ca prin calcul să se stabilească care din mulțimea acestor angrenaje hipoide corespunde din punct de vedere constructiv și tehnologic.*

Din mulțimea acestor angrenaje hipoide numai unele au poziția planului tangent comun în punctul P (punctul P ocupînd în fiecare caz altă poziție în spațiu) astfel încît normala la suprafețele conice să coincidă cu normala la suprafețele hiperboloidale axoide, care constituie axa de simetrie a mișcării, sau cu alte cuvinte punctul de contact al conurilor de referință să se găsească pe dreapta axă de simetrie a mișcării.

Rezultă din aceasta că deoarece dantura conică are în mod obișnuit dinții simetrici față de raza conurilor (simetrie geometrică), există situații cînd axa de simetrie a mișcării (simetrie cinematică) face un unghi cu axa de simetrie geometrică a danturii.

Acest fenomen nu influențează asupra mișcării decît în măsura în care se modifică gradul de acoperire al angrenării prin modificarea aparentă a unghiului de angrenare a celor două roți conice, unghi ce va trebui luat în considerare față de axa de simetrie cinematică.

Din punct de vedere al angrenării foarte important este ca suprafața de angrenare a dinților angrenajului hipoid să treacă prin punctul P asigurîndu-se în acest fel posibilitatea localizării petei de contact într-o zonă convenabilă.

După cum se menționează în lucrarea [1], pentru ca suprafața de angrenare să treacă prin punctul P este necesar și suficient ca, în punctul P , tangenta la curba dintelui, în planul tangent comun, să fie paralelă cu vectorul vitezei de alunecare între dinți: $\vec{v} = \vec{v}_1 - \vec{v}_2$ (v. fig. 3.6).

*) Se recomandă a se reveni la aceste considerații după citirea subcapitolului 3.3. Poziția reciprocă pinion roată hipoidă.

În cele ce urmează vectorul alunecării între dinți, notat anterior v_{21} , va fi notat simplificat v .

Se constată, în concluzie, că cinematic roțile conice ale angrenajului hipoid îndeplinesc aceeași funcție ca și roțile hiperboloidale, ele fiind conice numai din punct de vedere tehnologic (prin execuție), din care cauză angrenajul hipoid este definit uneori ca un angrenaj pseudoconic.

3.3. Poziția reciprocă pinion-roată în angrenajele hipoidale

Datorită intersectării generatoarelor conurilor de referință în punctul P , vitezele de rotație a pinionului și a roții au, în acest punct, direcții diferite.

În fig. 3.6 segmentul $\overline{PO_1}$ reprezintă generatoarea conului de referință al pinionului, iar $\overline{PO_2}$ — generatoarea conului de referință al roții. Întrucât ω_1 este viteza unghiulară de rotație a pinionului și ω_2 — a roții, rezultă că vectorii viteze \vec{v}_1 și \vec{v}_2 în punctul P sînt conținuți în planul tangent comun.

Avînd direcții diferite, rezultă că între cele două suprafețe conice, pe lângă mișcarea de rostogolire, există și o mișcare de alunecare cu viteza $\vec{v} = \vec{v}_1 - \vec{v}_2$.

Dacă C este curba dinților în contact în punctul P (arc de cerc, arc de epicloidă, de evolventă etc.) iar tangenta la această curbă în punctul P este T , unghiul de înclinare al danturii va fi β_1 la pinion și β_2 la roată.

Spre deosebire de angrenajul conic normal, la care unghiurile de înclinare ale danturii sînt egale la pinion și la roată, la angrenajul hipoid ele sînt diferite, respectiv cazul cel mai frecvent $\beta_1 > \beta_2$.

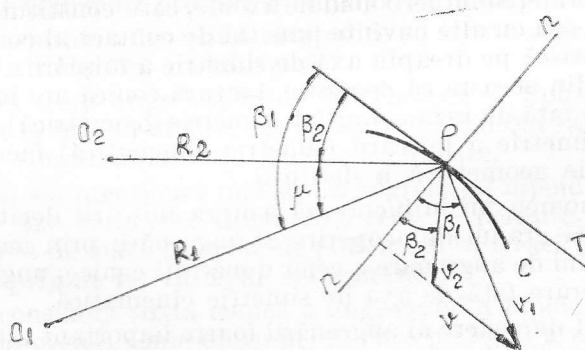


Fig. 3.6

Pentru ca angrenarea să poată avea loc este necesar ca cele două curbe ale dinților în contact să nu se desprindă una de alta în timpul mișcării ceea ce se poate realiza atunci cînd proiecțiile vectorilor viteze pe normala nn în punctul P sînt egale, de unde

$$v_1 \cos \beta_1 = v_2 \cos \beta_2 \quad (\text{v. fig. 3.6}). \quad (3.20)$$

(Dreapta nn se găsește în planul comun tangent generatoarelor și nu se va confunda cu normala comună care este perpendiculară pe planul comun tangent în P).

Din această condiție rezultă imediat că viteza de alunecare v este orientată tangent la flancul dinților C , adică pentru obținerea trecerii suprafeței de angrenare prin punctul P se regăsește condiția amintită anterior.

Întrucît $v_1 = \omega_1 \cdot r_1$ și $v_2 = \omega_2 \cdot r_2$ iar $v_1 \cos \beta_1 = v_2 \cos \beta_2$ rezultă raportul de transmitere:

$$i = \omega_1/\omega_2 = z_2/z_1 = (r_2/v_2) \cdot (v_1/r_1) = (r_2/r_1) \cdot (\cos \beta_2/\cos \beta_1) = (r_2/r_1) \cdot k. \quad (3.21)$$

Angrenajele hipoidale se folosesc în mod curent numai cu axele rectangulare deși teoretic ele pot fi determinate și pentru unghiuri ale axelor diferite de 90° . Deasemeni angrenajele hipoidale, în mod obișnuit, se execută cu dantură curbă deși se pot realiza și cu dantură rectilinie înclinată.

Deoarece există diferite tipuri de danturi conice curbe (arc de cerc, arc de epicycloidă, arc de evolventă etc.) există și tipuri corespunzătoare de danturi hipoidale.

În cazul de față se prezintă dantura hipoidă cu dinți în arc de cerc și cu înălțimea dintelui constantă, generată prin rostogolire cu roată plană (metoda ruletelor), dar trebuie reținut că relațiile privind poziția reciprocă a roții și pinionului sînt relații generale, aplicabile în toate cazurile de danturi hipoidale, indiferent de metoda de prelucrare.

În fig. 3.7 se prezintă suprafețele conice de referință în cele trei proiecții, normala la planul tangent comun în punctul P fiind notată D_1D_2 .

Aceeași configurație geometrică este prezentată în spațiu în fig. 3.8. Notațiile fiind comune în ambele figuri, se pot înțelege mai ușor poziția reciprocă și relațiile între diversele elemente geometrice.

În fig. 3.8 planul tangent comun la cele două conuri este hașurat. Notațiile din fig. 3.8 au următoarele semnificații:

δ_1 și δ_2 — semiunghiurile conurilor de referință pinion la vîrf și roată la vîrf;

R_1 și R_2 — lungimea generatoarelor medii ale conurilor de referință pinion și roată;

a — dezaxarea axelor conurilor de referință, respectiv distanța între axe (distanța cea mai scurtă dintre cele două axe, c_1c_2).

Calcululele se referă la angrenajul hipoid cu axe rectangulare.

Dacă se consideră în fig. 3.8 tetraedrul $C_2C_1D_1D_2$, se constată că toate suprafețele sale sînt triunghiuri dreptunghice.

Acest tetraedru reprezentat în fig. 3.9 permite stabilirea următoarelor relații:

$$\overline{C_2D_2} \operatorname{tg} \eta = a \text{ și } \overline{B_1P} \sin \eta = \overline{AB_1}, \text{ respectiv } r_1 \sin \eta = \overline{AB_1};$$

$$\overline{D_2B_2}/\overline{D_2C_2} = \overline{B_2G}/\overline{C_2C_1}, \text{ de unde } (\overline{B_2P} \operatorname{tg} \delta_2)/(a/\operatorname{tg} \eta) = \overline{C_2F}/a;$$

$$(r_2 \operatorname{tg} \delta_2 \operatorname{tg} \eta)/a = (a - r_1 \sin \eta)/a;$$

$$\operatorname{tg} \eta = (a - r_1 \sin \eta)/r_2 \operatorname{tg} \delta_2. \quad (3.22)$$

Considerăm angrenajul conic echivalent angrenajului hipoid (cu aceleași numere de dinți z_1 și z_2 dar fără dezaxare, realizând deci același raport de transmitere) și notăm:

r_{10} — raza cercului de referință al pinionului echivalent.

r_{20} — raza cercului de referință a roții echivalente.

r_2 — raza cercului de referință a roții hipoid.

r_1 — raza cercului de referință al pinionului hipoid.

S-a menționat anterior că în cazul angrenajului hipoid se folosește curent cazul în care raza pinionului este mai mare decât raza pinionului echivalent, considerind razele roților egale la ambele angrenaje.

În acest caz se poate scrie:

$$r_1 = r_{10}k \text{ și } r_2 = r_{20}, \quad (3.23)$$

unde k este coeficientul de modificare a diametrului pinionului hipoid față de pinionul conic echivalent.

Dacă i este raportul de transmitere, rezultă

$$i = \omega_1/\omega_2 = z_2/z_1 = r_{20}/r_{10} = r_2k/r_1.$$

Din relația (3.21) se poate constata că, pe altă cale, s-a obținut același rezultat.

Înlocuind în relația (3.22) rezultă:

$$\operatorname{tg} \eta = [a - (r_2 k \sin \eta)/i]/(r_2 \operatorname{tg} \delta_2). \quad (3.24)$$

Deoarece la valorile admise pentru deplasarea axelor unghiul η este un unghi relativ mic, se poate înlocui în relația (3.24) $\sin \eta$ prin $\operatorname{tg} \eta$ și efectuând calculele corespunzătoare se obține,

$$\operatorname{tg} \eta = a/[r_2(\operatorname{tg} \delta_2 + k/i)]. \quad (3.25)$$

În continuare, din fig. 3.9 constatăm:

$$\overline{C_2 D_2} \operatorname{tg} \eta = a = \overline{C_2 D_1} \sin \varepsilon,$$

$$\sin \varepsilon = (\overline{C_2 D_2}/\overline{C_2 D_1}) \cdot \operatorname{tg} \eta, \text{ dar } \overline{C_2 D_1} \operatorname{tg} \delta_2 = \overline{C_2 D_2} \text{ de unde:}$$

$$\sin \varepsilon = \operatorname{tg} \delta_2 \operatorname{tg} \eta. \quad (3.26)$$

Înlocuind cu valoarea din formula (3.25) se obține,

$$\sin \varepsilon = a/[r_2(1 + k/i \operatorname{tg} \delta_2)]. \quad (3.27)$$

În punctul P conurile de referință ale pinionului și roții hipoid sunt în contact și, după cum s-a menționat anterior, dinții pinionului și

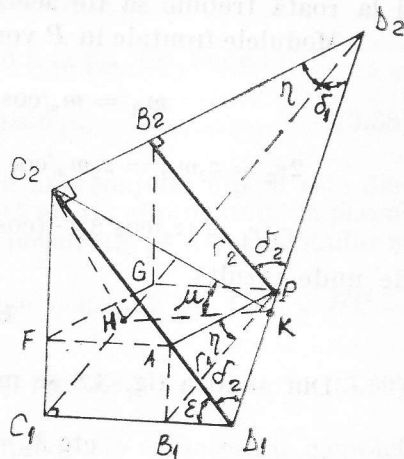


Fig. 3.9

$$R_2 = r_2 / \sin \delta_2. \quad (3.37)$$

$$R_1 = r_1 / \sin \delta_1. \quad (3.36)$$

Din fig. 3.8 se pot deasemeni obține relațiile:

$$\mu = \beta_1 - \beta_2 \quad (\text{v. fig. 3.6}). \quad (3.35)$$

$$\sin \mu = \sin \varepsilon / \cos \delta_1. \quad (3.34)$$

Ținând seama de relația (3.26) rezultă:

$$\sin \mu / \operatorname{tg} \eta = \operatorname{tg} \delta_2 / \cos \delta_1, \text{ adică } \sin \mu = \operatorname{tg} \delta_2 \operatorname{tg} \eta / \cos \delta_1.$$

$$\overline{D_2 H} \cos \delta_1 = \overline{D_2 K} = \overline{C_2 K} \operatorname{tg} \delta_2, \text{ de unde } \overline{D_2 H} / \overline{C_2 K} = \operatorname{tg} \delta_2 / \cos \delta_1.$$

$$\overline{C_2 K} \sin \mu = \overline{C_2 H} = \overline{D_2 H} \operatorname{tg} \eta, \text{ de unde } \overline{D_2 H} / \overline{C_2 K} = \sin \mu / \operatorname{tg} \eta.$$

Din fig. 3.9 rezultă:

— unghiul între planele $D_1 D_2 C_2$ și $D_1 D_2 C_1$ și unghi între splinele piniunului și a roții (v. fig. 3.6).

U_2 — distanța de la planul cercului de referință mediu al roții la planul axei piniunului măsurată pe axa roții (v. fig. 3.8);
— unghiul între planele $D_1 D_2 C_2$ și $D_1 D_2 C_1$ și unghi între splinele piniunului și a roții (v. fig. 3.6).

Semnificația notărilor din aceste relații este următoarea:

$$r_1 = U_2 \cos \delta_1 / \sin \delta_2. \quad (3.33)$$

$$\sin \delta_1 = \cos \delta_2 \cos \varepsilon, \quad (3.32)$$

$$\operatorname{ctg} \delta_2 = (a \operatorname{cosec} \varepsilon - r_2) / U_2, \quad (3.31)$$

Din analiza fig. 3.8 se mai pot obține următoarele relații:

$$k = \cos \beta_2 / \cos \beta_1. \quad (3.30)$$

de unde rezultă

$$r_2 / r_1 = (z_2 / \cos \beta_2) \cdot (\cos \beta_1 / z_1) = i / k, \quad (\text{v. și relația 3.21}),$$

$$2r_2 = z_2 m_{12} = z_2 m_n / \cos \beta_2 \text{ și } 2r_1 = z_1 m_{11} = z_1 m_n / \cos \beta_1. \quad (3.29)$$

$$m_{11} = m_n / \cos \beta_1 \text{ și } m_{12} = m_n / \cos \beta_2. \quad (3.28)$$

Modulele frontale în P vor fi m_{11} pentru piniun și m_{12} la roată:

și la roată trebuie să fie același.

Pentru ca angrenarea să poată avea loc, modulul normal m_n la piniun

ativ β_1 la piniun și β_2 la roată.

roții au înclinări diferite față de generatoarea conului de divizare, respectiv β_1 la piniun și β_2 la roată.

Din formulele (3.35) și (3.30) rezultă :

$$\beta_1 = \mu + \beta_2, \text{ respectiv } \cos \beta_1 = \cos \mu \cos \beta_2 - \sin \mu \sin \beta_2,$$

$$\cos \beta_1 = \cos \beta_2 (\cos \mu - \sin \mu \operatorname{tg} \beta_2).$$

$$\cos \beta_1 / \cos \beta_2 = 1/k = \cos \mu - \sin \mu \operatorname{tg} \beta_2, \text{ de unde :}$$

$$\operatorname{tg} \beta_2 = (\cos \mu - 1/k) / \sin \mu. \quad (3.38)$$

O altă mărime necesară caracterizării angrenajului hipoid este distanța C_1B_1 de la planul cercului de referință mediu al pinionului la planul format de axa roții și distanța între axe măsurată pe axa pinionului și notată U_1 în figurile 3.7 și 3.8.

Examinind tetraedrul din fig. 3.9 se constată că $\overline{C_1B_1} = \overline{GP} = \overline{B_2P} \cos \varepsilon$,

$$U_1 = r_2 \cos \varepsilon \text{ (vezi și fig. 3.8).} \quad (3.39)$$

Pe baza acestor relații angrenajul hipoid este caracterizat complet din punct de vedere al elementelor necesare pentru determinarea formei geometrice a pinionului, a roții și a poziției lor.

În legătură cu poziția reciprocă pinion — roată hipoidă trebuie precizat că deplasarea axei pinionului față de axa roții poate fi în sensul spirei roții ($+a$ în fig. 3.10) sau în contrasensul spirei roții ($-a$). În cazul $a=0$ avem angrenajul conic echivalent.

La deplasarea în sensul spirei ($+a$) pasul frontal al pinionului va fi mai mare decât pasul frontal al roții, iar la deplasarea în sens contrar ($-a$), pasul va fi mai mic [31].

Corespunzător acestor două situații, diametrul pinionului va rezulta mai mare sau mai mic decât al pinionului conic echivalent.

În majoritatea cazurilor angrenajului hipoid se folosește în forma în care deplasarea aduce o mărire a diametrului pinionului, evident din motive de creștere a capacității de a transmite efort.

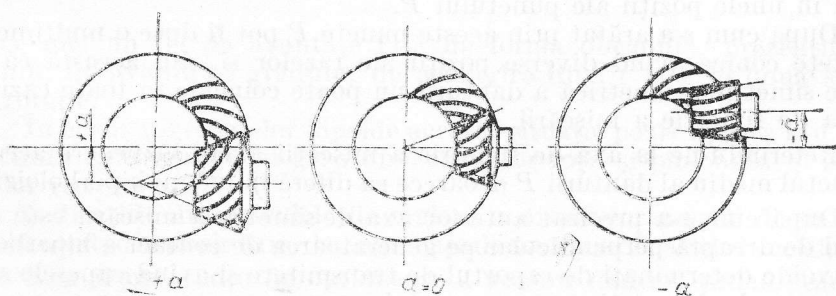


Fig. 3.10

Menționăm că în literatură se citează un caz de folosire a unui angrenaj hipoid cu deplasarea în sensul micșorării diametrului pinionului, la o mașină pentru industria textilă.

Legat de poziția reciprocă a pinionului și a roții hipoide se pot face unele considerații în legătură cu cele afirmate la § 3.2 privind poziția punctului P în spațiu.

Se poate observa din fig. 3.8 că, la aceeași rază r_2 a roții hipoide, prin deplasarea punctului P se descrie un cerc.

Fiecărei poziții pe cerc a punctului P îi corespunde o rază r_1 a pinionului hipoid, mărimea acestei raze, conform formulei (3.21), este constantă și independentă de unghiurile conurilor δ_1 și δ_2 (pentru o valoare k dată). Punctul P fiind în planul tangent comun la conuri, normala comună în punctul P întretaie axele I și II în punctele D_1 și D_2 . Poziția acestui segment de dreaptă $\overline{D_1D_2}$ este determinată prin unghiurile η (unghiul între proiecția segmentului $\overline{D_1D_2}$ respectiv $\overline{D_2C_1}$ și axa II) și ε (unghiul între proiecția $\overline{D_1C_2}$ și axa I).

Mărimea acestor unghiuri (η și ε) depinde numai de unghiul la vîrf al conului roții δ_2 (relațiile 3.25 și 3.27) pentru a , r_2 , i și k date, unghiul la vîrf al conului pinionului fiind determinat la rîndul său tot numai de unghiul la vîrf al conului roții (formula 3.32) întrucît și unghiul ε este dependent numai de unghiul δ_2 .

Rezultă că chiar la valori ale razelor r_2 și r_1 constante și pentru un k dat putem găsi un număr foarte mare de poziții în care conurile sînt tangente între ele și trec prin punctul P . Acest punct ocupă poziții apropiate, dar distincte în spațiu, după cum sînt plasate cercurile de rază r_2 și r_1 spre a veni în contact, acesta fiind de fapt și motivul pentru care s-a introdus precizarea de poziție reciprocă (a se vedea în exemplul de calcul variația distanțelor U_1 și U_2 tabelul 3.18).

Conform celor stabilite anterior, pentru raportul de transmitere $i = \omega_1/\omega_2$ realizat cu roțile conice, există doi hiperboloizi tangenți de axe I și II și care sînt suprafețe de referință ale angrenajului hiperboloidal corespondent (respectiv axoidele mișcării).

Acestor două suprafețe de referință hiperboloidale le corespund funcțional infinitatea de suprafețe conice tangente între ele în punctul P (punctul P ocupînd în fiecare caz alt loc în spațiu) și respectiv o infinitate de segmente D_1D_2 , din care numai unele vor coincide cu cel determinat de hiperboloizi în punctul considerat.

Segmentul $\overline{D_1D_2}$ determinat de hiperboloizi este axa de simetrie a mișcării (vezi cap. 3.1), și coincide cu axa de simetrie a danturii conice numai în unele poziții ale punctului P .

După cum s-a arătat prin aceste puncte P pot fi duse o mulțime de suprafețe conice avînd diverse poziții ale razelor și, din această cauză, axa de simetrie geometrică a danturii nu poate coincide în toate cazurile cu axa de simetrie a mișcării.

Referindu-ne la axa de simetrie a mișcării avem în vedere aceasta în punctul mediu al danturii P deoarece ea diferă în lungul hiperboloizilor.

După cum s-a precizat anterior axa de simetrie a mișcării este segmentul de dreaptă perpendicular pe generatoarea de contact a hiperboloizilor axoide determinați de raportul de transmitere și avînd capetele sprijinite pe axele de rotație a angrenajului.

Mulțimea acestor segmente constituie o suprafață riglată, torsionată, față de care punctul P , ocupînd diverse poziții în spațiu, poate fi mai îndepărtat sau mai apropiat sau în unele cazuri chiar conținut în această suprafață.

Din cauza torsiunii acestei suprafețe putem vorbi despre o axă de simetrie în punctul P dar în lungul dintelui această axă își schimbă poziția, în afara punctului P corespunzând cu suprafața de simetrie geometrică a danturii mai mult sau mai puțin, chiar în cazul cînd în punctul P există coincidența acestor două axe.

Acest fenomen pus în evidență la angrenajele hipoide ar apare și la angrenajele cilindrice cu axe paralele în cazul cînd s-ar prelucra cele două flancuri ale dintelui cu unghiuri de angrenare avînd valori diferite. În acest caz axa de simetrie a dintelui sau a golului (axă de simetrie geometrică) ar diferi de axa de simetrie a mișcării (axă de simetrie cinematică, respectiv linia centrelor) dinții avînd la vedere un aspect asimetric ca în fig. 3.11.

O asemenea formă a danturii în cazul angrenajelor cilindrice cu axe paralele, deși este posibilă nu are o semnificație practică, întrucît nu

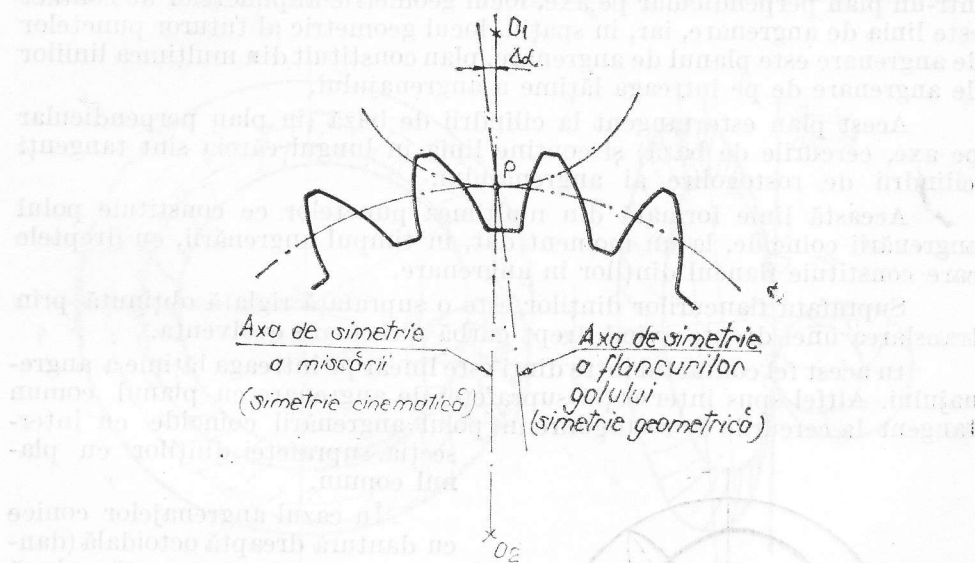


Fig. 3.11

aduce nici un fel de avantaje față de forma obișnuită, prezentînd, în schimb, dezavantajul gradului de acoperire diferit la cele două sensuri de rotație.

În cazul angrenajelor hipoide această situație poate apărea sau poate fi evitată ca urmare a alegerii dimensiunilor roții și pinionului și a poziției lor reciproce.

Indicațiile din calculele de reglare a diverselor mașini de danturat hipoid conduc la unele firme la angrenaje de un tip iar la altele la celălalt tip.

Numai un studiu de optimizare a acestor danturi ținînd seama de solicitări, viteze de alunecare, randamente, condiții de execuție etc. ar putea preciza care tip este preferabil.

Acest fenomen de înclinare al axei de simetrie cinematică față de planul radial al corpurilor de revoluție, privit din punctul de vedere geometric, poate fi considerat ca o asimetrie cinematică.

Fenomenul este relativ, întrucît din punct de vedere al mecanicii teoretice există o simetrie cinematică, simetria față de planul radial al corpurilor de revoluție a angrenajului prezentîndu-se ca o asimetrie geometrică față de axa de simetrie cinematică.

În cele ce urmează, cînd se vorbește de asimetrie cinematică, se are în vedere acest fenomen.

3.4. Noțiuni privind angrenarea danturii hipocoidale

Locul geometric al punctelor succesive de contact în spațiu între flancurile unei perechi de dinți în angrenare este o suprafață imaginară numită suprafață de angrenare. La angrenajele cilindrice cu axe paralele, într-un plan perpendicular pe axe, locul geometric al punctelor de contact este linia de angrenare, iar, în spațiu, locul geometric al tuturor punctelor de angrenare este planul de angrenare, plan constituit din mulțimea liniilor de angrenare de pe întreaga lățime a angrenajului.

Acest plan este tangent la cilindrii de bază (în plan perpendicular pe axe, cercurile de bază) și conține linia în lungul căreia sînt tangenți cilindrii de rostogolire ai angrenajului.

Această linie formată din mulțimea punctelor ce constituie polul angrenării coincide, la un moment dat, în timpul angrenării, cu drepte care constituie flancul dinților în angrenare.

Suprafața flancurilor dinților este o suprafață riglată obținută prin translarea unei drepte avînd drept curbă directoare evolventa.

În acest fel contactul între dinți este linear pe întreaga lățime a angrenajului. Altfel spus intersecția suprafeței de angrenare cu planul comun tangent la cercurile de rostogolire în polul angrenării coincide cu intersecția suprafeței dinților cu planul comun.

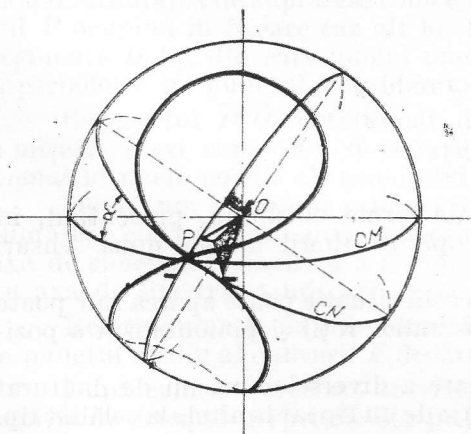


Fig. 3.12

În cazul angrenajelor conice cu dantură dreaptă octoidală (dantură generată cu roată plană avînd flancul dinților suprafețe plane) linia de angrenare este o curbă numită lemniscată sferică (sau octoidă, fig. 2.5) și a cărei linie nu poate fi conținută în planul comun tangent la cele două conuri de bază, respectiv CN în fig. 3.12.

Întrucît angrenarea are loc numai pe o zonă limitată deoparte și de alta a punctului P se poate admite că această porțiune

de octoidă este conținută practic în planul CN.

Dreapta de contact a conurilor de referință fiind PO , prin analogie cu cazul angrenajelor cilindrice cu axe paralele se poate vedea că contactul între dinți va fi linear pe toată lungimea dintelui.

În cazul angrenajelor conice cu dantură curbă (dintele avînd o formă curbilinie) problema este mai complexă, dar se demonstrează că și în acest caz contactul se face pe întreaga lungime a dinților, afară de cazul cînd intenționat se modifică razele de curbură pentru localizarea petei de contact.

În cazul angrenajelor hipoide suprafața de angrenare este mai complicată dar și aici este de dorit să se realizeze două condiții :

1. Intersecția suprafeței de angrenare cu planul comun tangent la cele două conuri de referință să coincidă cu linia dinților pe întreaga lungime, spre a asigura suprafața de contact.

2. Suprafețele de angrenare ale celor două flancuri să fie egal înclinate față de axa de simetrie a mișcării celor două roți spre a se asigura grad de acoperire egal la ambele sensuri de rotație.

Aceste cerințe sînt posibil de obținut în cazul prelucrării roților angrenajului hipoid prin metoda rostogolirii cu suprafață înfășurătoare.

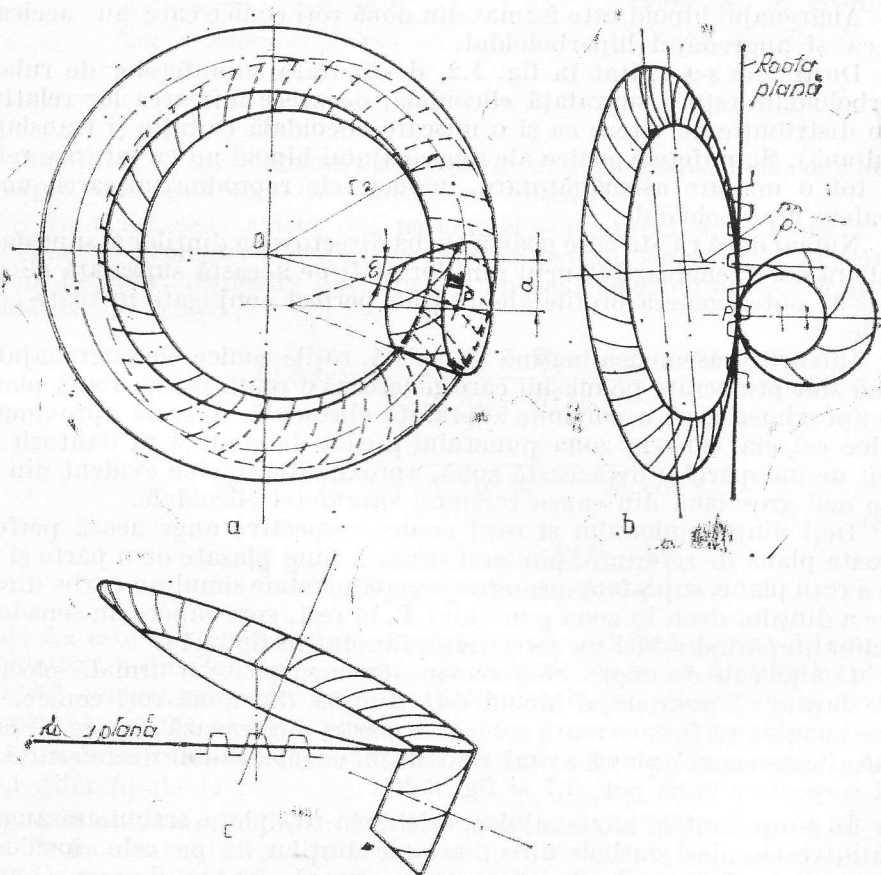


Fig. 3.13

În acest caz, sculele generînd în spațiu dintele roții hipoide, suprafața laterală a acestuia va înfășura și va genera la pinion suprafața dintelui în așa fel încît contactul dinților se face pe toată lungimea lor.

Evident din rațiuni de localizare a contactului, suprafața generatoare se alege de așa manieră încât lungimea petei de contact să rezulte mai mică decât lungimea dintelui și pata de contact să fie plasată în primele $2/3$ dinspre capătul mai subțire al dintelui.

Există în acest fel posibilitatea de a realiza pata de contact cu poziție și dimensiuni optime încă de la fabricație.

În cazul roților hipoide generate prin metoda ruletelor, respectiv prin intermediul roții plane generatoare, lucrurile diferă în oarecare măsură.

În acest caz contactul între pinionul și roata hipoidă este teoretic punctiform, localizat în punctul mediu al danturii, respectiv în punctul P . Practic contactul este de la început localizat pe o suprafață în jurul punctului P și această suprafață se extinde prin rodare atingând dimensiuni optime în prima perioadă de funcționare a angrenajului.

De ce contactul este punctiform se explică în mecanica teoretică prin complexul de normale la suprafețele de înfășurare reciprocă.

Mai intuitiv acest lucru se poate explica în modul următor :

Angrenajul hipoid este format din două roți conice care au aceleași axe ca și angrenajul hiperboloidal.

După cum s-a arătat în fig. 1.2, desfășurata suprafețelor de rulare hiperboloidale este o suprafață elicoidală, deoarece mișcarea lor relativă are o distribuție de viteze ca și o mișcare elicoidală (rotație și translație simultană). Suprafețele conice ale angrenajului hipoid au ca mișcare relativă tot o mișcare asemănătoare, întrucit ele reproduc mișcarea unor suprafețe hiperboloidale.

Numai dacă ruleta care poartă curba directoare a dinților și suprafața auxiliară care generează flancul dinților ar fi pe această suprafață elicoidală s-ar putea genera profile ale dinților perfect conjugate în toate secțiunile.

Întrucit o asemenea mașină nu există, roțile conice ale angrenajului hipoid sînt prelucrate pe mașini care generează o roată plană, roată plană care aproximează pe o porțiune suprafața elicoidală. Această aproximare are loc cel mai bine în zona punctului mediu de contact al danturii și, cu cît ne îndepărtăm de această zonă, aproximația devine evident din ce în ce mai grosolană din cauza torsiunii suprafeței elicoidale.

Deși dinții pinionului și roții conice respective angrenează perfect cu roata plană de referință, pinionul și roata fiind plasate de o parte și de alta a roții plane, suprafața de angrenare nu întretaie simultan curba directoare a dinților decît în zona punctului P , în rest, spre capete, în sens longitudinal, apărînd astfel un joc lateral, ilustrat în fig. 3.14.

O altă cale de explicare a acestui fenomen poate fi urmată plecînd de la faptul că angrenajul hipoid este compus din două roți conice. Se poate imagina că fiecare roată conică, în parte, angrenează cu cîte o roată plană, fiecare roată plană avînd centrul în vîrfurile conului de referință al roții respective (vezi pct. 3.7 și fig. 3.20).

În timpul rotirii angrenajului, cele două roți plane trebuie să angreneze între ele, deci curbele directoare ale dinților de pe cele două roți plane trebuie să fie curbe de înfășurare reciprocă. Contactul acestor curbe este punctiform, permițînd rostogolire și alunecare simultană.

Și în ceea ce privește simetria celor două suprafețe de angrenare, corespunzătoare flancurilor antiomoloage ale danturii, apar unele probleme. Astfel, cele două roți conice ale angrenajului hipoid înlocuiesc roțile

hiperboloideale și se rotesc cu aceleași viteze unghiulare ca și roțile hiperboloidale.

Axa de simetrie a mișcării (cap. 3.1) este o dreaptă sprijinită pe axele angrenajului și intersectează generatoarea de contact a celor doi hiperboloizi de rostogolire sub un unghi drept.

Pe de altă parte, cele două roți conice rezultă din prelucrarea obișnuită cu dinții simetrici față de raza cercurilor de referință care se ating

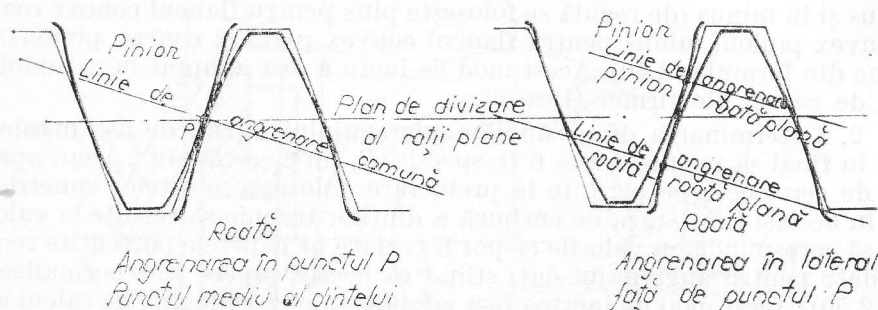


Fig. 3. 14

în punctul P și nu totdeauna axa lor de simetrie geometrică coincide cu dreapta care este axă de simetrie a mișcării.

În acest sens există doi parametri — abaterea unghiulară a axei de simetrie geometrică a dinților față de axa de simetrie a mișcării și forma dinților, respectiv curbura lor, în sens longitudinal — legați prin următoarele relații :

$$\operatorname{tg} \Delta \alpha = \frac{R_1 \sin \beta_1 - R_2 \sin \beta_2}{R_2 \operatorname{tg} \delta_2 + R_1 \operatorname{tg} \delta_1}, \quad (3.40)$$

$$\frac{1}{\rho} = \frac{1}{\operatorname{tg} \beta_1 - \operatorname{tg} \beta_2} \left[\frac{1}{R_1 \cos \beta_1} - \frac{1}{R_2 \cos \beta_2} - \operatorname{tg} \Delta \alpha \left(\frac{\operatorname{tg} \beta_2}{R_2 \operatorname{tg} \delta_2} + \frac{\operatorname{tg} \beta_1}{R_1 \operatorname{tg} \delta_1} \right) \right], \quad (3.41)$$

unde $\Delta \alpha$ este abaterea axei de simetrie a mișcării față de axa de simetrie geometrică a dinților, iar ρ — raza de curbură optimă a dinților în planul tangent comun, respectiv raza de curbură a curbei directoare a dintelui în planul divizor al roții plane.

Demonstrarea relațiilor (3.40) și (3.41) se face prin metodele geometriei diferențiale [1].

Contactul optim între dinții în angrenare ai pinionului și ai roții hipoide (contactul în care jocul lateral între dinți spre capete este minim) se obține atunci când la un $\Delta \alpha$ rezultat din dimensiunile geometrice ale roților angrenajului (R , δ și β) se prelucerează dinții cu raza de curbură ρ rezultată din relația (3.41).

Aceasta presupune că raza capului porteunite este egală cu raza rezultată din calcul, respectiv $r_{cro} = \rho$.

Existența unghiului Δz ne arată că angrenarea nu se face la fel în ambele sensuri de rotație, deci gradul de acoperire diferă.

Întrucît acest lucru nu este de dorit există două soluții :

1. Utilizarea cuțitelor asimetrice și prelucrarea cu unghiuri de presiune asimetrice a dinților roților conice astfel încît în angrenare în poziția hipoidă angrenarea să fie simetrică față de axa de simetrie a mișcării.

Valoarea Δz cu care trebuie modificat unghiul de angrenare nominal în plus și în minus (de regulă se folosește plus pentru flancul concav roată și convex pinion, minus pentru flancul convex roată și concav pinion) se obține din formula (3.40). Acest mod de lucru a fost adoptat în metodologiile de calcul ale firmei Gleason.

2. Determinarea dimensiunilor angrenajului hipoid de așa manieră încît în final să rezulte $\Delta z = 0$ (respectiv $R_1 \sin \beta_1 = R_2 \sin \beta_2$) sau apropiat de zero, ceea ce permite la prelucrare folosirea cuțitelor simetrice, dar, în același timp, raza de curbura a dinților trebuie să rezulte la valori care să corespundă cu valorile ce pot fi reglate pe capetele portcuțite recomandate pentru angrenajul dat, știind că aceste capete sînt normalizate (fig. 2.50). Acest mod de lucru a fost adoptat în metodologiile de calcul ale firmei Klingelnberg.

Din cele expuse rezultă că raza de curbura optimă este necesară pentru a asigura un contact cit mai bun al dinților în sens longitudinal, dar ea nu este strict necesară din punct de vedere al posibilității de angrenare.

Depărtarea progresivă a razei de curbura reale față de raza de curbura optimă duce la tendința dinților de a-și modifica grosimea spre capete, reducîndu-se contactul în lungul dinților la o zonă din ce în ce mai mică în jurul unui punct.

Abaterea unghiului de angrenare Δz , de asemenea nu este restrictivă din punct de vedere al posibilității de angrenare. Ea duce la faptul că în cazul cînd prelucrarea se face cu cuțite avînd același unghi de angrenare la ambele flancuri dar dimensiunile roților (respectiv și poziția lor reciprocă) nu sînt adecvate, angrenajul nu mai are cîmp de angrenare egal la rotirea în ambele sensuri. Aceasta este defavorabil din punct de vedere al capacității de a transmite efort egal la rotire reversibilă, prin micșorarea gradului de acoperire pe unul din sensurile de rotire.

După cum s-a demonstrat anterior, suprafețele de rostogolire ale angrenajului hipoid sînt suprafețe hiperboloidale a căror poziție, în majoritatea cazurilor, nu corespunde cu suprafețele de referință conice. Întrucît polul angrenării se găsește pe suprafețele hiperboloidale, în afara zonelor dințate, rezultă că în această situație angrenajul hipoid este un angrenaj extrapolar. Angrenarea extrapolară are o serie de consecințe favorabile asupra funcționării. În acest caz se evită angrenarea în punctul de rezistență minimă la solicitarea de contact, polul angrenării, iar sensul vitezei de alunecare (în plan transversal) este același în tot timpul contactului între dinți, ceea ce îmbunătățește mult condițiile de ungere și reduce zgomotul de funcționare prin eliminarea schimbării în pol a sensului vitezei de alunecare și a ruperii filmului de ulei.

3.5. Dimensiunile danturii angrenajelor hipoide

După cum s-a menționat anterior, în acest material sint prezentate angrenajele hipoide cu dantură în arc de cerc cu înălțime constantă a dinților. Elementele danturii acestui tip de angrenaje sint cele indicate în fig. 3.15.

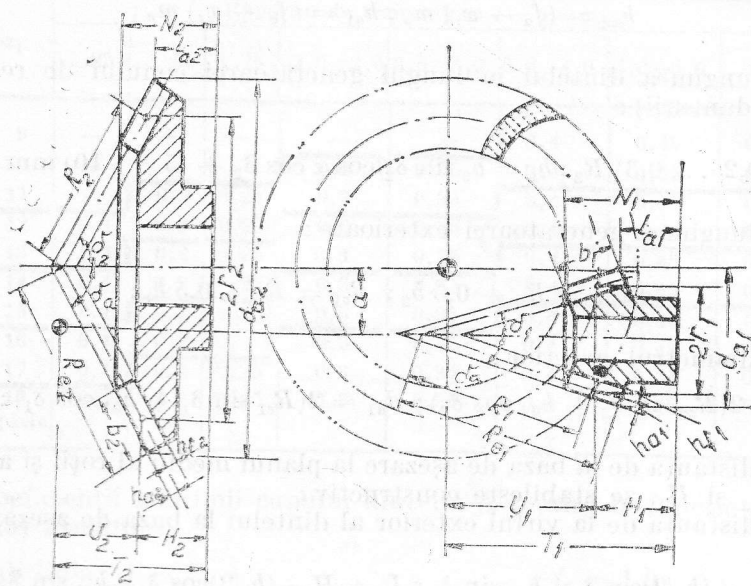


Fig. 3.15

Dantura în arc de cerc cu înălțime constantă a dintelui conform prezentei metodologii se recomandă a fi utilizată la angrenaje hipoide în limitele:

$$k_b = 0,2 \dots 0,3; z_1 \geq 9; z_0 \geq 25; \alpha_n = 20^\circ;$$

α_n — unghiul de angrenare nominal, în secțiune normală, în punctul mediu al danturii;

k_b — coeficientul lățimii danturii roții, $k_b = b_2/R_2$;

b_2 — lățimea coroanei dințate la roată;

R_2 — lungimea generatoarei medii a roții;

z_0 — numărul de dinți al roții plane de referință.

Formulele pentru determinarea elementelor danturii sint:

— modulul normal în punctul mediu al danturii:

$$m_n = 2r_1 \cos \beta_1 / z_1 = 2r_2 \cos \beta_2 / z_2; \quad (3.42)$$

— înălțimea piciorului dintelui la roată și pinion:

$$h_{f2} = (f_a + x_r + c'_n) m_n; h_{f1} = (f_a - x_r + c'_n) m_n; \quad (3.43)$$

f_a — coeficientul înălțimii capului dintelui (tabelul 3.1);
 x_r — coeficientul deplasării radiale a profilului (tabelul 3.1);
 m_n — modulul normal în punctul P ;
 c'_n — coeficientul jocului la fund (se recomandă 0,2 ... 0,25);
 — înălțimea capului dintelui la roată și pinion:

$$h_{a2} = (f_a - x_r) m_n; h_{a1} = (f_a + x_r) m_n; \quad (3.44)$$

— lungimea dintelui în lungul generatoarei conului de referință, (lățimea danturii):

$$b_2 = (0,2 \dots 0,3) R_2; b_1 = b_2 \sin \delta_2 / \cos \varepsilon \cos \delta_2 + (5 \dots 10) \text{ mm}; \quad (3.45)$$

— lungimea generatoarei exterioare:

$$R_{e2} = R_2 + 0,5 b_2; R_{e1} = R_1 + 0,5 b_1; \quad (3.46)$$

— diametrul exterior:

$$d_{a2} = 2(R_{e2} \sin \delta_2 + h_{a2} \cos \delta_2); d_{a1} = 2(R_{e1} \sin \delta_1 + h_{a1} \cos \delta_1); \quad (3.47)$$

— distanța de la baza de așezare la planul mediu al roții și al pinionului, H_2 și H_1 , se stabilește constructiv;

— distanța de la vârful exterior al dintelui la baza de așezare:

$$L_{a2} = H_2 - (b_2/2) \cos \delta_2 + h_{a2} \sin \delta_2; L_{a1} = H_1 - (b_1/2) \cos \delta_1 + h_{a1} \sin \delta_1; \quad (3.48)$$

— lungimea corpului roții și a pinionului:

$$N_2 = L_{a2} + b_2 \cos \delta_2; N_1 = L_{a1} + b_1 \cos \delta_1; \quad (3.49)$$

— grosimea dintelui pe coarda constantă în punctul mediu al danturii în secțiune normală:

$$s_{ac2} = m_n[(\pi/2) \cos^2 \alpha_n - x_r \sin 2 \alpha_n]; s_{ac1} = m_n[(\pi/2) \cos^2 \alpha_n + x_r \sin 2 \alpha_n]; \quad (3.50)$$

— înălțimea la coarda constantă:

$$h_{c2} = h_{a2} - 0,5 s_{ac2} \operatorname{tg} \alpha_n; h_{c1} = h_{a1} - 0,5 s_{ac1} \operatorname{tg} \alpha_n; \quad (3.51)$$

— distanțele de montaj:

$$T_2 = U_2 + H_2; T_1 = U_1 + H_1. \quad (3.52)$$

Coeficienții deplasării radiale a profilului x_r și coeficienții înălțimii capului dintelui f_a pentru dantura hipoidă cu dinți în arc de cerc cu înălțime constantă și unghiul de angrenare nominal în secțiune normală $\alpha_n = 20^\circ$ sînt dați în tabelul 3.1.

Coeficienții deplasării radiale a profilului x_r se aleg pentru toate unghiurile de înclinare β_1 și toate numerele de dinți z_1 numai în funcție de raportul de transmitere i (coloanele tabelului 3.1).

Tabelul 3.1. Coeficienții deplasării radiale a profilului și coeficienții înălțimii capului dintelui

| z_1 | Raportul de transmitere $i = u = z_2/z_1$ | | | | | | | | |
|-------------|---|-----|------|-----------|-----------|-----------|-----------|-----|---|
| | 1,25 | 1,5 | 1,75 | 2,0 ÷ 2,5 | 2,5 ÷ 3,0 | 3,0 ÷ 4,0 | 4,0 ÷ 6,0 | >6 | |
| 9 | — | — | — | — | — | 0,4 | 0,45 | 0,5 | 4 |
| 10 | — | — | — | 0,3 | 0,35 | 0,4 | 0,45 | 0,5 | |
| 11 | — | 0,2 | 0,25 | 0,3 | 0,35 | 0,4 | 0,45 | 0,5 | 3 |
| 12 | 0,1 | 0,2 | 0,25 | 0,3 | 0,35 | 0,4 | 0,4 | 0,5 | 2 |
| 13 | 0,1 | 0,2 | 0,25 | 0,3 | 0,35 | 0,4 | 0,45 | 0,5 | |
| 14 | 0,1 | 0,2 | 0,25 | 0,3 | 0,35 | 0,4 | 0,45 | 0,5 | 1 |
| 15 | 0,1 | 0,2 | 0,25 | 0,3 | 0,35 | 0,4 | 0,45 | 0,5 | |
| 16 | 0,1 | 0,2 | 0,25 | 0,3 | 0,35 | 0,4 | 0,45 | 0,5 | |
| 17 | 0,1 | 0,2 | 0,25 | 0,3 | 0,35 | 0,4 | 0,45 | 0,5 | |
| 18 și peste | 0,1 | 0,2 | 0,25 | 0,3 | 0,35 | 0,4 | 0,45 | 0,5 | |

Coeficienții înălțimii capului dintelui f_a se aleg în funcție de z_1 și i în modul următor:

sub linia 1 — 1 $f_a = 1,0$

între linia 1 — 1 și 2 — 2 $f_a = 0,9$

„ „ 2 — 2 și 3 — 3 $f_a = 0,8$

„ „ 3 — 3 și 4 — 4 $f_a = 0,7$

De regulă se recomandă ca unghiul de înclinare a spirei pinionului β_1 să fie în domeniul $45^\circ \dots 50^\circ$, admitîndu-se însă, în caz de necesitate, unghiuri peste 50° . (Danturile Paloidă și Eloidă, tot cu înălțime constantă a dintelui, admit pînă la $\beta_1 = 60^\circ$).

Pentru unghiul de înclinare a spirei roții β_2 se admit, în general, valori $\beta_2 > 20^\circ$.

Referitor la coeficientul f_a putem aprecia că recomandările de mai sus sînt făcute acoperitor, întrucît în literatură apar și valori care sînt în limite ceva mai ridicate.

Cît privește numărul minim de dinți al pinionului, se întîlnesc danturi în arc de cerc cu înălțime constantă care utilizează și numere de dinți sub 9, ceea ce indică rezerve și în această direcție.

În acest sens se recomandă ca la proiectarea unui angrenaj hipoid de acest tip, care ar necesita depășirea limitelor indicate, să se execute un prototip la care să se verifice practic corecțiile necesare.

Comparînd tabelele coeficienților de la dantura conică curbă și de la dantura hipoidă se constată că la ultima nu se mai introduce deplasarea tangențială a profilului dintelui. Acest lucru se datorește faptului că la dantura hipoidă cu deplasarea axelor pozitivă, prin însăși

natura configurației geometrice, grosimea dintelui la pinion rezultă mai mare decât la dantura conică curbă normală și nu mai este necesară îngroșarea pinionului în dauna roții.

3.6. Forțele în angrenajul hipoid

Pentru dimensionarea angrenajului și pentru calculul lagărelor sînt necesare forțele care acționează în angrenajul hipoid (fig. 3.16).

Forța tangențială care acționează asupra roții este P_2 , iar asupra pinionului, P_1 .

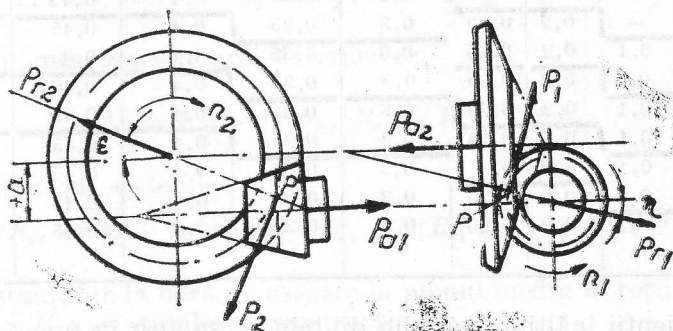


Fig. 3.16

Între cele două forțe există relația :

$$P_1/P_2 = \cos \beta_1/\cos \beta_2 = 1/k. \quad (3.53)$$

Forța care acționează asupra roții se determină din momentul care trebuie transmis, respectiv $P_2 = M/r_2$, unde M este momentul cuplului motor, iar r_2 — raza medie a danturii roții.

Forțele axiale și radiale care acționează asupra roții și pinionului sînt date de formulele din tabelul 3.2.

După cum s-a precizat anterior pinionul are, de regulă, pentru angrenaje hipoide deplasarea $+a$, pozițiile posibile ale pinionului în funcție de sensul spirei dintelui fiind cele din fig. 3.17. Pozițiile a , b se numesc cu pinion sus iar c , d , cu pinion jos. Se vede că în a și b este în fond același angrenaj, rotit cu 180° ; de asemenea c și d .

Pentru angrenajele cu pinion jos și rotația pinionului în sens orar (văzut din sens opus virfului conului) direcția acestor forțe corespunde pentru valori pozitive cu cea indicată în fig. 3.16. Pentru valori negative sensul forțelor va fi invers.

Forța ce acționează normal pe flancul dinților în angrenare va fi :

$$P_n = P_2/\cos \alpha_n \cos \beta_2 = P_1/\cos \alpha_n \cos \beta_1, \quad (3.54)$$

unde α_n este unghiul de angrenare normal (unghiul muchiei tăietoare a cuștitului cu care s-a efectuat prelucrarea flancului respectiv).

Tabelul 3.2. Forțele în angrenajul hipoid

| Tip angrenaj | Sens spirală pinion | Sens de rotație pinion | Forțele axiale | Forțele radiale |
|---------------------|---------------------|------------------------|---|---|
| Fig. 3.17 a, b. | stînga | Sens orar | Pinion $P_{a1} = \frac{P_1}{\cos \beta_1} (\operatorname{tg} \alpha_n \sin \delta_1 + \sin \beta_1 \cos \delta_1)$ | Pinion $P_{r1} = \frac{P_1}{\cos \beta_1} (\operatorname{tg} \alpha_n \cos \delta_1 - \sin \beta_1 \sin \delta_1)$ |
| | | | Roată $P_{a2} = \frac{P_2}{\cos \beta_2} (\operatorname{tg} \alpha_n \sin \delta_2 - \sin \beta_2 \cos \delta_2)$ | Roată $P_{r2} = \frac{P_2}{\cos \beta_2} (\operatorname{tg} \alpha_n \cos \delta_2 + \sin \beta_2 \sin \delta_2)$ |
| Fig. 3.17. a, b. | stînga | Sens antiorar | Pinion $P_{a1} = \frac{P_1}{\cos \beta_1} (\operatorname{tg} \alpha_n \sin \delta_1 - \sin \beta_1 \cos \delta_1)$ | Pinion $P_{r1} = \frac{P_1}{\cos \beta_1} (\operatorname{tg} \alpha_n \cos \delta_1 + \sin \beta_1 \sin \delta_1)$ |
| | | | Roată $P_{a2} = \frac{P_2}{\cos \beta_2} (\operatorname{tg} \alpha_n \sin \delta_2 + \sin \beta_2 \cos \delta_2)$ | Roată $P_{r2} = \frac{P_2}{\cos \beta_2} (\operatorname{tg} \alpha_n \cos \delta_2 - \sin \beta_2 \sin \delta_2)$ |

a — axial; r — radial, sensul de rotație se stabilește privind din partea opusă vârfului conului.

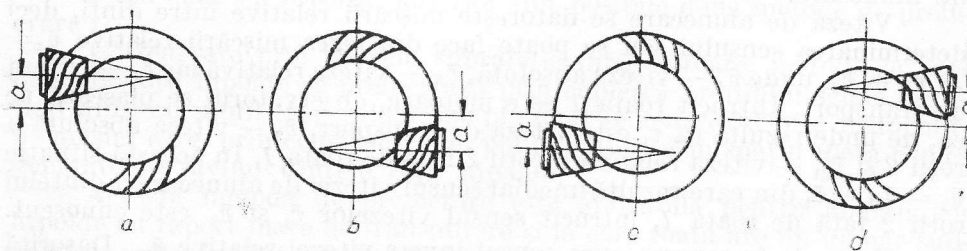


Fig. 3.17.

Direcția în spațiu a forțelor radiale P_{r2} și P_{r1} este dată de unghiurile ε și η determinate cu formulele (3.25) și (3.27).

Legătura între forțele P_1 , P_2 și P_n este dată în fig. 3.18, în care C reprezintă curba dintelui, ti — tangenta la dinte, nn — normala la dinte în punctul P .

Se pune întrebarea: care este expresia randamentului angrenajului hipoid?

Pentru a demonstra aceasta se stabilesc următoarele:
 Roata motoare este pinionul 1, iar roata 2 este condusă.
 Când roata motoare lucrează, dintelui său apasă pe dintelui roții 2.
 forța de apăsare normală fiind P_{n2} .

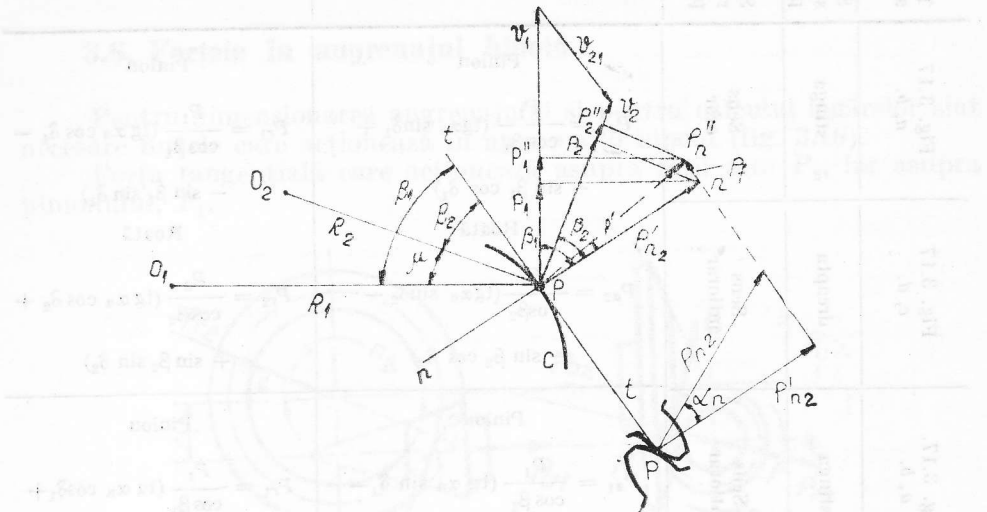


Fig. 3.18

Datorită existenței unghiului de angrenare α_n , această forță (P_{n2}) se proiectează pe planul tangent la cele două roți în P (punctul mediu al danturii) sub forma P'_{n2} (v. fig. 3.18),

$$P'_{n2} = P_{n2} \cos \alpha_n. \quad (3.55)$$

În timpul funcționării apare între dinți alunecarea în sens longitudinal și, sub apăsarea forței P_{n2} , o forță de frecare P_f opusă ca sens vitezei de alunecare.

Viteza de alunecare se datorește mișcării relative între dinți, deci determinarea sensului său se poate face din legea mișcării relative $\bar{v}_A = \bar{v}_R + \bar{v}_T$, unde \bar{v}_A — viteza absolută, \bar{v}_R — viteza relativă iar \bar{v}_T — viteza de transport. Întrucît roata 1 este motoare, observatorul se plasează pe ea, de unde rezultă că v_1 este viteza de transport, \bar{v}_2 — viteza absolută a roții 2 și \bar{v}_{21} — viteza relativă a roții 2 față de roata 1. În această situație $\bar{v}_2 = \bar{v}_{21} + \bar{v}_1$ din care rezultă imediat sensul vitezei de alunecare a dintelui roții 2 față de roata 1, întrucît sensul vitezelor \bar{v}_1 și \bar{v}_2 este cunoscut.

Forța de frecare va avea sensul invers vitezei relative \bar{v}_{21} . Datorită vitezei de alunecare și a forței de apăsare P_{n2} forța de frecare va fi $P_f = \mu P_{n2}$, unde μ este coeficientul de frecare:

$$P_f = \mu P_{n2} = \mu (P'_{n2} / \cos \alpha_n), \text{ deci } \mu / \cos \alpha_n = \operatorname{tg} \rho' / \cos \alpha_n = \operatorname{tg} \rho' = f, \quad (3.56)$$

de unde

$$P_f = P'_{n2} \operatorname{tg} \rho' = f P'_{n2}. \quad (3.57)$$

Rezultă că în planul tangent comun unghiul de frecare va fi ρ' .

În calculul randamentului, forța ce va trebui luată în considerare va fi forța ce ține cont de frecare, respectiv $P''_n = P'_{n2}/\cos \rho'$. Randamentul angrenajului va fi raportul dintre puterea utilă N_2 , (puterea dezvoltată la roata 2) și puterea N_1 , (puterea consumată la roata motoare 1):

$$\eta = N_2/N_1 = P''_2 v_2 / P'_1 v_1, \quad \text{unde} \quad (3.58)$$

P''_2 este forța periferică pe roata 2, forță ce corespunde cuplului rezistent, iar P'_1 — forța periferică pe pinion 1, forță ce corespunde cuplului motor.

$$\text{Deci } \eta = v_2 P''_2 / v_1 P'_1 = v_2 P''_n \cos(\beta_2 - \rho') / v_1 P'_n \cos(\beta_1 - \rho'). \quad (3.59)$$

Efectuînd calculele rezultă:

$$\eta = (1 + \operatorname{tg} \beta_2 \operatorname{tg} \rho') / (1 + \operatorname{tg} \beta_1 \operatorname{tg} \rho') = (1 + f \operatorname{tg} \beta_2) / (1 + f \operatorname{tg} \beta_1). \quad (3.60)$$

În cazul cînd se admite roata 2 ca fiind conducătoare randamentul va fi:

$$\eta = (1 - f \operatorname{tg} \beta_1) / (1 - f \operatorname{tg} \beta_2). \quad (3.61)$$

3.7. Prelucrarea danturii angrenajelor hipoide

3.7.1. Prelucrarea roților angrenajului hipoid prin intermediul roții plane generatoare

Prelucrarea danturii angrenajelor hipoide se face pe mașinile pentru prelucrat roți conice cu dinți curbi, mașini la care axa piesei de prelucrat se poate deplasa în sus sau în jos față de axa leagănului (tamburul mașinii) pe care se găsește capul portcutite, deplasare numită din acest motiv, deplasare hipoidă.

După cum s-a precizat anterior sînt posibile două metode de prelucrare:

1. Generare prin metoda suprafeței înfășurătoare, metodă la care dantura roții hipoide se prelucurează prin copierea profilului sculei, rezultînd dinți cu profil trapezoidal, iar pinionul se generează prin rostogolire pe mașini care, prin construcția lor, pot materializa în spațiu roata conică generatoare, avînd dintele roții hipoide.

Această metodă de prelucrare este aplicabilă pentru angrenajele hipoide cu raport mare de transmitere și la care roata are un număr suficient de mare de dinți în așa fel încît profilul dintelui în secțiune transversală să fie aproape trapezoidal.

2. Pentru cazul cînd profilul dintelui roții hipoide nu se poate aproxima cu un profil trapezoidal sau nu se dispune de o mașină corespunzătoare, prelucrarea se face prin metoda ruletelor, prin care atît roata cît și pinionul se prelucurează prin rostogolire cu roată plană generatoare.

Realizarea angrenajului hipoid prin generare cu roată plană s-a făcut la început luîndu-se în considerare prelucrarea fiecărei roți componente a cuplului hipoid cu cîte o roată plană, cele două roți plane trebuînd să angreneze între ele.

Sistemul se aplică comod la dantura Paloidă unde curbele directoare ale dinților pe roata plană sint evolvente și deci pot angrena între ele. Între evolventele de pe cele două roți plane trebuie să existe o legătură cinematică ca în fig. 3.19.

În cazul danturii hipoidice în arc de cerc, inițial s-a aplicat același principiu luind în considerare desfășurata pinionului și desfășurata roții, acestea fiind două roți plane distincte, ca în fig. 3.20.

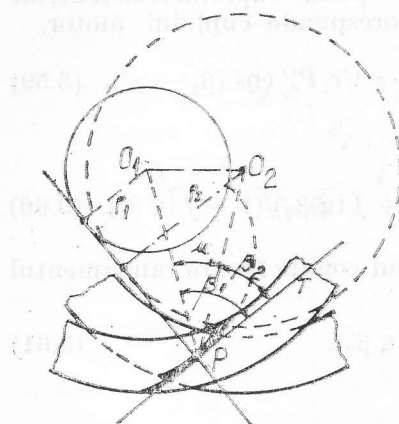


Fig. 3.19.

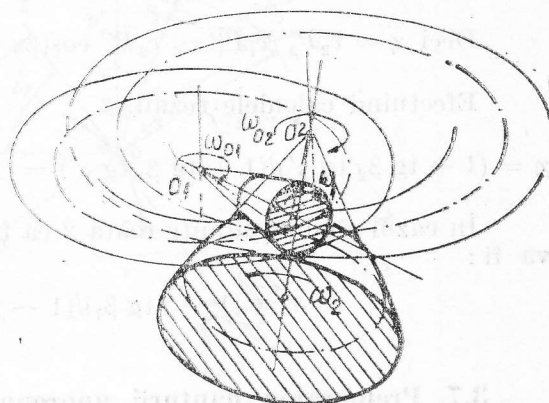


Fig. 3.20.

Impunând curbilor directoare ale dinților de pe cele două roți plane să angreneze între ele (să fie curbe de înfășurare reciprocă, dar approximate apoi cu cite un arc de cerc pe lățimea roții plane) rezultă dantura care trebuie prelucrată pe roțile componente ale angrenajului. Determinarea prin calcul a curbelor și reglarea mașinii erau destul de laborioase. La prelucrare pe mașină se realiza atît pinionul cît și roata fără a se folosi deplasări hipoidice, fiecare fiind prelucrată cu roata plană corespunzătoare ca o roată conică obișnuită.

Această metodă nu mai prezintă azi decît un interes istoric.

După ce s-a demonstrat că dantura hipoidă poate fi generată și cu o singură roată plană, s-a introdus la mașini deplasarea hipoidă și, în prezent, toate mașinile de danturat în arc de cerc sint prevăzute cu posibilitatea de realizare a deplasării hipoidice a piesei de prelucrat. Aceasta permite realizarea atît a roții cît și a pinionului cu aceeași roată plană ca în fig. 3.21.

Sistemul se găsește azi și pe mașinile de danturat Paloid mai noi, întrucît prezintă avantaje simplificînd calculul și execuția.

În fig. 3.21 este ilustrată poziția reciprocă a conurilor de referință față de roata plană, iar suprafața S reprezintă suprafața flancului dințelului roții plane, suprafața care în procesul rostogolirii generează flancul dințelului la pinion și la roată.

Întrucît atît pinionul cît și roata angrenează cu roata plană, condiția de angrenare impusă angrenajului hipoid (v. relația 3.20) trebuie să se respecte și între pinion și roata plană, respectiv roată — roată plană, adică $v_1 \cos \beta_1 = v_2 \cos \beta_2 = v_0 \cos \beta_0$.

Din această relație rezultă

$$\omega_1 r_1 \cos \beta_1 = \omega_2 r_2 \cos \beta_2 = \omega_0 r_0 \cos \beta_0, \quad (3.62)$$

ω_0 fiind viteza unghiulară a roții plane, r_0 — raza roții plane în punctul mediu P , β_0 — unghiul de inclinare al dintelui pe roata plană în punctul P .

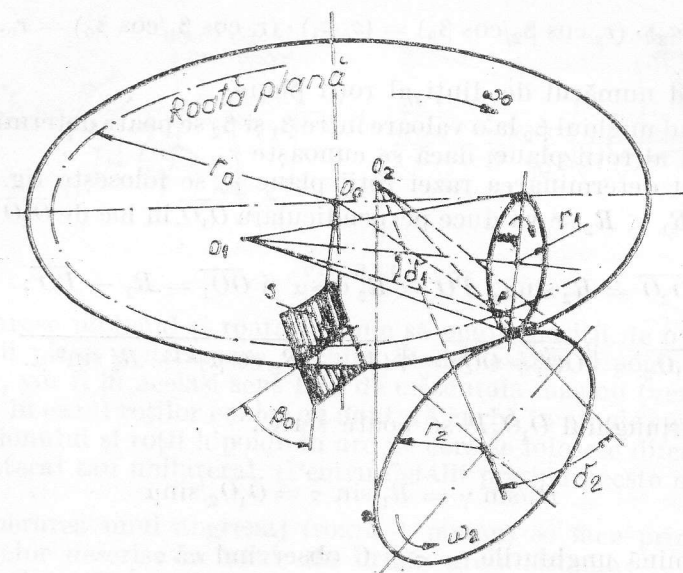


Fig. 3.21.

Din fig. 3.22 se vede că unghiul de inclinare al dintelui pe roata plană poate avea diverse valori între β_1 și β_2 iar raza roții plane r_0 , de asemenea, diferite valori, de ea depinzind viteza unghiulară ω_0 astfel încît să se respecte relația (3.62).

În principiu punctul O_0 poate ocupa orice poziție în plan, dar pentru ușurința calculului se recomandă a fi luat pe linia care unește punctele O_1 și O_2 în planul tangent comun.

Pentru rapoarte de transmitere $i > 3$, punctul O_0 se poate lua chiar în punctul O_2 și, în acest caz, rezultă că roata se va prelucra fără deplasare hipoidă, respectiv raza roții plane va fi chiar lungimea generatoarei roții, iar pinionul se va dantura cu deplasare hipoidă. Desfășurata roții este în acest caz chiar roata plană.

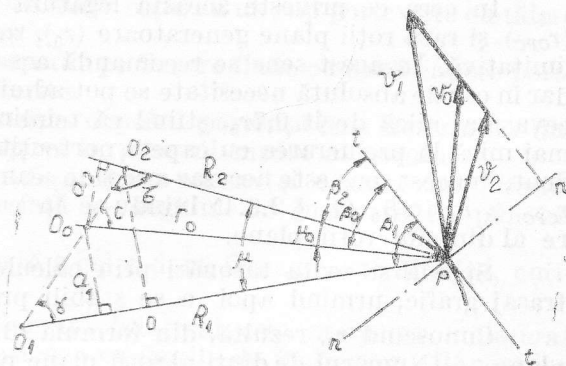


Fig. 3.22.

Pentru $i < 3$, punctul O_0 se va lua pe linia O_1O_2 și, în acest caz, la prelucrare atît roata cît și pinionul se vor prelucra cu deplasare hipoidă. Din relația (3.62) rezultă :

$$\omega_2 r_2 \cos \beta_2 / \omega_0 \cos \beta_0 = \omega_1 r_1 \cos \beta_1 / \omega_0 \cos \beta_0 = r_0,$$

dar $\omega_2 / \omega_0 = z_0 / z_2$ și $\omega_1 / \omega_0 = z_0 / z_1$, de unde

$$(z_0 / z_2) \cdot (r_2 \cos \beta_2 / \cos \beta_0) = (z_0 / z_1) \cdot (r_1 \cos \beta_1 / \cos \beta_0) = r_0, \quad (3.63)$$

z_0 fiind numărul de dinți al roții plane.

Alegînd unghiul β_0 la o valoare între β_1 și β_2 se poate determina numărul de dinți al roții plane, dacă se cunoaște r_0 .

Pentru determinarea razei roții plane r_0 se folosește fig. 3.22. (În cazul cînd $R_1 < R_2$ se va duce perpendiculara $\overline{O_1O}$ în loc de $\overline{O_2O}$).

$$\overline{O_2O} = R_2 \sin \mu, \quad \overline{PO} = R_2 \cos \mu \text{ și } \overline{OO_1} = R_1 - \overline{PO};$$

$$\overline{O_1O_2} = \sqrt{\overline{OO_1}^2 + \overline{OO_2}^2} = \sqrt{(R_1 - R_2 \cos \mu)^2 + R_2^2 \sin^2 \mu}. \quad (3.64)$$

Din triunghiul O_1O_2P se poate scrie :

$$R_2 / \sin \gamma = R_1 / \sin \tau = \overline{O_1O_2} / \sin \mu$$

și se determină unghiurile γ , τ și C observînd că :

$$C = 180^\circ - (\mu_0 + \tau) \text{ unde } \mu_0 = \beta_0 - \beta_2.$$

Din triunghiul O_2O_0P rezultă

$$r_0 / \sin \tau = R_2 / \sin C \text{ de unde } r_0 = R_2 \sin \tau / \sin C. \quad (3.65)$$

La determinarea valorii r_0 trebuie să se respecte relația $0,7r_0 < r_{CPC} < 1,5r_0$ prin alegerea convenabilă a unghiului β_0 .

În ceea ce privește această legătură între raza capului portcuțite (r_{CPC}) și raza roții plane generatoare (r_0), relația de mai sus nu este strict limitativă. În acest sens se recomandă a se respecta limitele de mai sus dar în caz de absolută necesitate se pot admite și capete portcuțite cu raza ceva mai mică decît $0,7r_0$, știind că tendința de ascuțire a dinților este mai mică la prelucrarea cu capete portcuțite de diametru mai mic. Evident, în acest sens este necesar a se ține seamă în ultimă instanță de relația $r_{CPC} \geq r_0 \sin \beta_0$ (v. § 2.3.4) luîndu-se în considerare unghiul de înclinare al dintelui roții plane.

Spre a se evita tatonări prin calcule, se poate determina r_0 prin trasaj grafic, urmînd apoi a se stabili prin calcul valoarea sa exactă.

Cunoscînd r_0 , rezultă, din formula (3.63), numărul de dinți al roții plane z_0 . (Numărul de dinți al roții plane poate fi fracționar întrucît este vorba de un element imaginar).

Știind că centrul leagănelui mașinii este O_0 , în timpul prelucrării generatoarele R_2 sau R_1 (după cum se prelucrează roata sau pinionul) vor ocupa o poziție orizontală deplasată față de centrul O_0 (deplasare hipoidă) cu valorile a_2 sau a_1 ca în fig. 3.22.

Din fig. 3.23 rezultă

$$a_2 = r_0 \sin \mu \text{ și } a_1 = r_0 \sin (\mu - \mu_0). \quad (3.66)$$

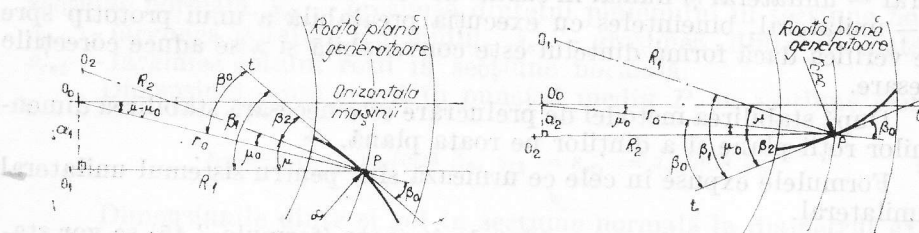


Fig. 3.23.

Deoarece pinionul și roata trebuie să ocupe poziții de o parte și de alta a roții plane generatoare, rezultă că deplasările hipoidă a_2 și a_1 la prelucrare, vor fi în același sens față de orizontala mașinii (vezi fig. 3.23).

Ca și în cazul roților conice cu dantură curbă în arc de cerc, la prelucrarea pinionului și roții hipoidă în arc de cerc se folosesc diferite metode de tip bilateral sau unilateral. (Pentru detalii privind aceste metode vezi § 2.33).

Prelucrarea unui angrenaj (roată + pinion) se face prin combinarea metodelor descrise în unul din următoarele sisteme:

1. Unilateral (roată) ... Unilateral (pinion).

Atât la roată cât și la pinion se prelucrează separat cele două flancuri ale golului dintre dinți. Reglarea mașinii diferă de la un flanc la celălalt astfel încât capul portcuțite să descrie pe roata plană flancul dintelui înclinat în punctul mediu cu unghiul dat.

În acest caz grosimea dintelui și a golului sînt variabile, ambele descrescînd de la diametrul mare către diametrul mic al danturii, iar raza de curbura a dintelui este aceeași pe ambele flancuri.

2. Bilateral (roată) ... Unilateral (pinion).

Se prelucrează dintr-o singură prindere cu o singură reglare a mașinii, ambele flancuri ale unui gol între dinții roții, cu un cap portcuțite cu tăiere bilaterală (exterior + interior).

Pinionul se prelucrează separat pe fiecare flanc cu două capete portcuțite și cu două reglaje diferite.

În cazul tăierii roții, poziția capului portcuțite se determină din condiția asigurării unghiului spirei în punctul mediu al golului.

Unghiurile de înclinare a flancurilor concav și convex sînt diferite unul față de celălalt și diferite față de unghiul de înclinare în punctul mediu al golului.

De asemeni raza de curbura a celor două flancuri este diferită, cuțitele avînd un centru comun.

Pinionul la o roată prelucrată bilateral este prelucrat unilateral (flanc cu flanc) și trebuie să asigure unghiurile de înclinarea flancurilor rezultate la roată.

Dintele pinionului are în acest caz grosimea constantă în toate secțiunile normale iar golul său este descrescător în lățime de la diametrul mare spre cel mic.

Sistemul bilateral — unilateral este mai productiv decât unilateral — unilateral, dar are caracteristic faptul că grosimea dintelui roții se îngustează mai mult spre capătul de diametru mic.

Din această cauză se recomandă a se utiliza în general sistemul unilateral — unilateral și numai în cazuri de serii mari să se recurgă la bilateral — unilateral, bineînțeles cu execuția prealabilă a unui prototip spre a se verifica dacă forma dintelui este convenabilă și a se aduce corecțiile necesare.

După stabilirea metodei de prelucrare este necesară stabilirea dimensiunilor roții plane și a dinților pe roata plană.

Formulele expuse în cele ce urmează sînt pentru sistemul unilateral — unilateral.

Deoarece pinionul este mai lat decât roata (formula 3.45) se vor stabili dimensiunile roții plane plecînd de la acesta, spre a include și roata plană a roții.

Razele roții plane vor fi

$$r_{i0} = r_0 - (b_1/2) \cos(\mu - \mu_0), \quad r_{e0} = r_0 + (b_1/2) \cos(\mu - \mu_0); \quad (3.67)$$

în aceste relații r_{i0} fiind raza interioară a roții plane, r_{e0} — raza exterioară a roții plane, iar r_0 — raza medie a roții plane conform relației (3.65).

Unghiul de înclinare a flancului dintelui la exteriorul roții plane (vezi relația 2.38) :

$$\sin \beta_{e0} = \frac{1}{D_{CPC}} \left[r_{e0} + \frac{r_0(D_{CPC} \sin \beta_0 - r_0)}{r_{e0}} \right]; \quad (3.68)$$

în această relație $D_{CPC} = 2r_{CPC}$ este diametrul capului portcuțite.

Raportul razei exterioare a roții plane către raza medie :

$$\lambda_e = r_{e0}/r_0. \quad (3.69)$$

Unghiul de înclinare al flancului dintelui la interiorul roți plane :

$$\sin \beta_{i0} = \frac{1}{D_{CPC}} \left[r_{i0} + \frac{r_0(D_{CPC} \sin \beta_0 - r_0)}{r_{i0}} \right]. \quad (3.70)$$

Raportul razei interioare a roții plane către raza medie :

$$\lambda_i = r_{i0}/r_0. \quad (3.71)$$

Dimensiunile dintelui pe roata plană servesc pentru a stabili regula cuțitelor pe capul portcuțite, întrucît ele materializează în spațiu dințele roții plane generatoare, dar nu pot fi folosite direct pentru stabilirea dimensiunilor dintelui pinionului și ale roții hipoide.

Pentru aceasta se folosesc formulele (3.50) și (3.51), care dau dimensiunile dintelui roții și ale pinionului pe coarda de grosime constantă.

Dimensiunile dintelui și golului pe roata plană, secțiune normală în punctul mediu P , vor fi :

$$s_{n1} = s_{gn2} = [(\pi/2) + 2\alpha_r \operatorname{tg} \alpha_n] m_n, \quad (3.72)$$

$$s_{n2} = s_{gn1} = \pi m_n - s_{n1};$$

în aceste relații α_n fiind valoarea nominală a unghiului de angrenare în secțiune normală, s_{n1} — grosimea dintelui pinionului în secțiune normală, s_{gn1} — lărgimea golului pinionului, s_{n2} — grosimea dintelui roată, iar s_{gn2} — lărgimea golului roții în secțiune normală.

Dimensiuni dinte și gol în punctul mediu P , în secțiune frontală :

$$s_{t1} = s_{gt2} = s_{n1}/\cos \beta_0, \quad s_{t2} = s_{gt1} = s_{n2}/\cos \beta_0. \quad (3.73)$$

Dimensiunile dinte și gol în secțiune normală la diametrul exterior al roții plane :

$$s_{ne1} = s_{gne2} = s_{n1} \lambda_e \cos \beta_{e0}/\cos \beta_0, \quad (3.74)$$

$$s_{ne2} = s_{gne1} = s_{n2} \lambda_e \cos \beta_{e0}/\cos \beta_0.$$

Dimensiuni dinte și gol în secțiunea frontală la diametrul exterior al roții plane :

$$s_{te1} = s_{gte2} = s_{ne1}/\cos \beta_{e0}, \quad s_{te2} = s_{gte1} = s_{ne2}/\cos \beta_{e0}. \quad (3.75)$$

Dimensiuni dinte și gol în secțiune normală la diametrul interior al roții plane :

$$s_{ni1} = s_{gni2} = s_{n1} \cdot \lambda_i \cos \beta_{i0}/\cos \beta_0, \quad (3.76)$$

$$s_{ni2} = s_{gni1} = s_{n2} \lambda_i \cos \beta_{i0}/\cos \beta_0.$$

Dimensiuni dinte și gol în secțiune frontală la diametrul interior al roții plane :

$$s_{ti1} = s_{gti2} = s_{ni1}/\cos \beta_{i0}, \quad s_{ti2} = s_{gti1} = s_{ni2}/\cos \beta_{i0}. \quad (3.77)$$

Pentru stabilirea reglajelor mașinii de danturat conic în arc de cerc se analizează cazul roții cu dantură pe dreapta și pinionul cu dantură stînga.

Unghiurile de așezare ale păpușii portpiesă sînt :

$$\Phi_2 = \delta_2, \quad \Phi_1 = \delta_1, \quad \text{unde} \quad (3.78)$$

δ_1 — semiunghiul la virful conului de referință al pinionului.
Așezarea axială a semifabricatului :

$$\Delta_{a2} = H_2 + r_2 \operatorname{ctg} \delta_2 - (R_2 - r_0 \cos \mu_0)/\cos \delta_2, \quad (3.79)$$

$$\Delta_{a1} = H_1 + r_1 \operatorname{ctg} \delta_1 - [R_1 - r_0 \cos (\mu - \mu_0)]/\cos \delta_1.$$

Pentru deducerea acestor formule a se vedea figurile 3.22 și 2.33.
Deplasarea mesei mașinii :

$$\Delta_{x2} = h_{f2} - (R_2 - r_0 \cos \mu_0) \operatorname{tg} \delta_2, \quad (3.80)$$

$$\Delta_{x1} = h_{f1} - [R_1 - r_0 \cos (\mu - \mu_0)] \operatorname{tg} \delta_1.$$

Semnul — înseamnă înapoi iar + înainte (către leagăn).

În fig. 3.24 este prezentat modul de reglaj al poziției capului portcuțite în așa fel încît pe roata plană să rezulte poziția flancului dintelui la unghiul de înclinare β_0 .

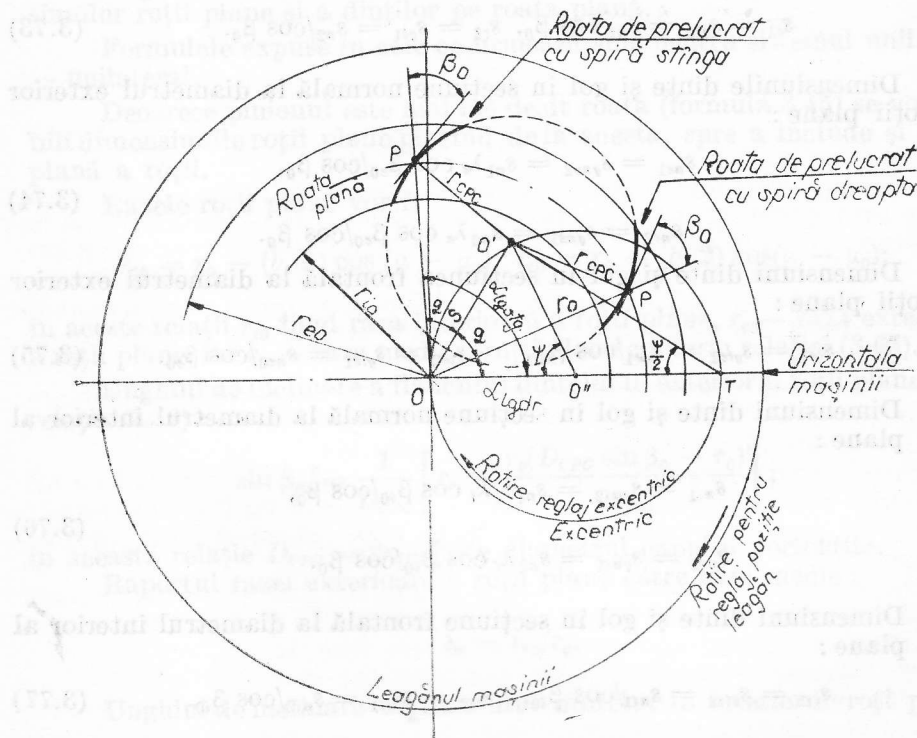


Fig. 3.24.

Sînt cunoscute r_0 raza medie a roții plane, respectiv \overline{OP} în fig. 3.24, r_{CPC} — raza capului portcuțite și β_0 — unghiul de înclinare dantură în punctul mediu al roții plane.

Coordonatele centrului capului portcuțite (O' în fig. 3.24) considerînd \overline{OP} axă de coordonate :

$$V = r_{CPC} \cos \beta_0, \quad H = r_0 - r_{CPC} \sin \beta_0. \quad (3.81)$$

Raza polară a centrului capului portcuțite :

$$S = \sqrt{V^2 + H^2}; \quad (S = \overline{OO'} \text{ în fig. 3.24}). \quad (3.82)$$

Unghiul polar al centrului capului porteuite :

$$\operatorname{tg} q = V/H. \quad (3.83)$$

Unghiul de rotire al excentricului pentru aducerea centrului capului porteuite în poziția de reglaj :

$$\sin(\psi/2) = \overline{OO'}/\overline{OT} = S/K, \quad (3.84)$$

unde K este constantă a mașinii (diametrul excentricului, respectiv \overline{OT}).

Examinând figurile 3.24 și 3.23 se constată că leagănul mașinii trebuie să efectueze o mișcare de reglaj în așa fel încât punctul P de pe roata plană să ajungă în poziția deplasată cu a_1 sau a_2 față de orizontala mașinii.

Valoarea unghiului la care trebuie rotit leagănul depinde de construcția mașinii de danturat, respectiv de modul cum este stabilită originea gradărilor.

În cazul de față (fig. 3.24) în care poziția 0 (zero) a leagănului conține axa excentricului (O'') pe linia orizontală a mașinii, formulele sînt date în cele ce urmează.

Unghiul de reglaj θ al leagănului pentru aducerea punctului mediu P al roții plane în poziție de lucru :

$$\theta_2 = \alpha_{lg dr} + \mu_0, \quad \theta_1 = \alpha_{lg stg} + (\mu - \mu_0), \quad (3.85)$$

(a se vedea fig. 3.23 pentru μ_0 și $\mu - \mu_0$ și fig. 3.24 pentru $\alpha_{lg stg}$ și $\alpha_{lg dr}$).

Observind că

$$\alpha_{lg dr} + q + (\psi/2) = 90^\circ \text{ și } \alpha_{lg stg} = \alpha_{lg dr} + 2q, \text{ rezultă :}$$

$$\alpha_{lg dr} = 90^\circ - [q + (\psi/2)] \text{ și } \alpha_{lg stg} = 90^\circ + [q - (\psi/2)]. \quad (3.86)$$

După reglarea leagănului în poziția de lucru este necesar a se stabili unghiul pe care trebuie să-l efectueze leagănul în mișcarea sa de rostogolire, respectiv poziția de începere a prelucrării unui dinte și poziția de sfîrșit a prelucrării.

Se recomandă ca rostogolirea să se facă pe un unghi de 40° , respectiv 20° peste punctul P și 20° sub punctul P .

Pentru poziția de începere a lucrului (de regulă sub poziția punctului P) se mai iau 2° în plus, spre a se evita lovirea cuțitelor în zona neașchiată a golului între dinți în timpul mișcării de divizare executată de piesa de prelucrat.

Deoarece prin metoda unilaterală se taie separat fiecare flanc al dintelui, este necesar ca, după tăierea unui flanc (de exemplu flancul concav) la toți dinții, piesa să fie rotită astfel încît flancul opus (respectiv flancul convex) să fie adus în poziția de prelucrare.

Noul flanc trebuie să coincidă cu poziția în care s-a prelucrat flancul anterior.

Pentru aceasta piesa trebuie rotită cu grosimea dintelui sau a golului și schimbat capul porteuite.

Dacă s-a prelucrat inițial flancul concav, capul porteuite era reglat la r_{CPC} pe muchia de tăiere a cuțitelor exterioare, iar la trecerea prelucrării

pe flancul convex noul cap portcutite va fi reglat la aceeași valoare r_{cpc} dar pe muchia de tăiere a cuțitelor de interior.

Determinarea unghiului de rotire a piesei de prelucrat se face stabilind următoarele relații.

Pasul mediu al roții și al pinionului :

$$p_{m2} = 2\pi r_2/z_2; \quad p_{m1} = 2\pi r_1/z_1. \quad (3.87)$$

Grosimea dintelui și lățimea golului la roată și pinion în secțiunea frontală în punctul mediu P :

$$s_{t2} = s_{gt1} \text{ și } s_{t1} = s_{gt2} \text{ (vezi relația 3.73).}$$

Spre a roti roata sau pinionul cu un pas, unghiul de rotație Γ se obține din formula :

$$\Gamma_2 = 360^\circ/z_2, \quad \Gamma_1 = 360^\circ/z_1.$$

Unghiul de rotire la roată a pinului sau a golului va fi :

$$\sigma_{s2} = s_{t2}\Gamma_2/p_{m2}, \quad \sigma_{g2} = s_{gt2}\Gamma_2/p_{m2}. \quad (3.88)$$

Același unghi pentru pinion va fi :

$$\sigma_{s1} = s_{t1}\Gamma_1/p_{m1}, \quad \sigma_{g1} = s_{gt1}\Gamma_1/p_{m1}. \quad (3.89)$$

Reglajul capetelor portcutite trebuie efectuat pentru eboș și finisare. Stabilirea poziției cuțitelor se face plecând de la dimensiunile golului dintre dinți pe roata plană, în secțiune normală a dinților, ceea ce corespunde cu planul radial al cuțitelor montate pe capul portcutite.

În fig. 3.25 este reprezentată roata plană unde secțiunile AA și BB sînt secțiuni normale pe golul între dinți la exteriorul și interiorul roții

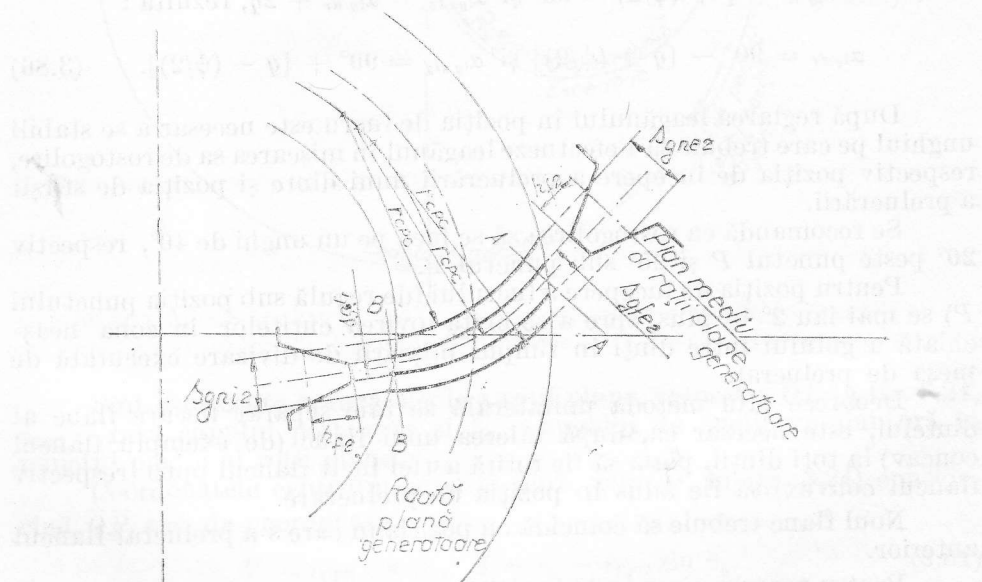


Fig. 3.25.

plane, notațiile avind următoarele semnificații: h_{f2} — înălțimea picio-
rului dintelui roată, s_{gfe2} — lărgimea golului la fund roată plană (pentru
roată) la exterior, s_{gfi2} — lărgimea golului la fund (pentru roată) la
interior roată plană, s_{gne2} — lărgimea golului în secțiune normală (pentru
roată) la exterior roată plană (vezi relația 3.74), s_{gni2} — lărgimea golului
în secțiune normală (pentru roată) la interior roată plană (vezi relația 3.76).

Reglajul cuțitelor pe capul portcuțite se va face ca în fig. 3.26, pen-
tru cele trei situații, degroșare, finisare flanc concav și finisare flanc
convex.

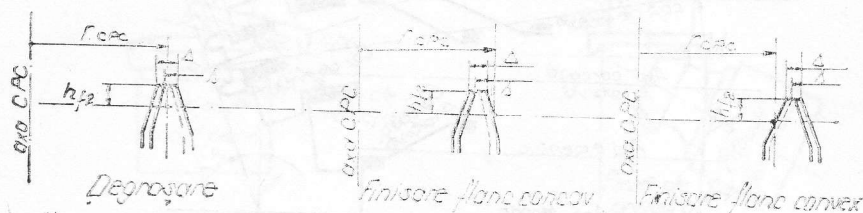


Fig. 3.26.

Decalajul virfului cuțitelor Δ se determină, la degroșare, reglind
raza capului portcuțite la valoarea stabilită r_{cpc} în planul mediu al cuțite-
lor, respectind condiția $s_{gfi2} > \Delta$ și ținind seama să rămână pe flancuri
adaosul necesar finisării. La finisare, valoarea stabilită a razei capului
portcuțite se va regla pe muchia de tăiere exterioară sau interioară (după
cum se va prelucra flancul concav sau flancul convex) la înălțimea picio-
rului dintelui, respectiv h_{f2} la prelucrarea roții și h_{f1} la prelucrarea pinio-
nului.

În acest caz este necesar să se respecte condiția $s_{gfi2} > \Delta > 0,5 s_{gfe2}$,
în special în cazul în care, la eboș din cauza lărimii prea mici a golului
(s_{gfi2}), nu se poate degroșa pînă la fundul golului.

Această condiție se impune pentru a nu rămîne pe fundul golului
o creastă, care ar modifica jocul la fund al danturii.

Grosimea la virf a cuțitelor s va fi mai mică decît Δ cu cîteva zecimi
de milimetru, pentru a se asigura ca flancul netăietor al cuțitelor să nu
atingă suprafața prelucrată, respectindu-se condiția $\Delta < 2 s$ pentru pro-
tecția virfului cuțitelor.

3.7.2. Prelucrarea roților angrenajului hipoid prin intermediul roții conice generatoare

După cum s-a menționat anterior, în construcția de mașini sînt
folosite din ce în ce mai mult mașini de danturat conic curb cu cap de
frezat înclinabil, mașini care permit materializarea roții conice genera-
toare pentru prelucrări prin metoda suprafeței înfășurătoare. Aceste
mașini pot fi considerate ca mașini de tip universal, întrucît, prin reglarea
mecanismelor componente, permit prelucrări atît prin intermediul roții
plane generatoare cît și prin intermediul roții conice generatoare.

Construcția leagănului și a principalelor sale subansamble sînt indi-
cate schematic în fig. 3.27. Leagănul și excentricul sînt aceleași ca la orice
mașină de danturat conic curb în arc de cerc. Spre deosebire însă de mași-

nile clasice, în excentric se găsește carcasa pivotantă avind suprafața frontală înclinată, iar axa carcasei pivotante deplasată față de axa excentricului cu aceeași distanță ca și între axa excentricului și axa leagănelui. În carcasa pivotantă se montează capul de frezat, iar în capul de frezat, arborele capului porteuite (CPC).

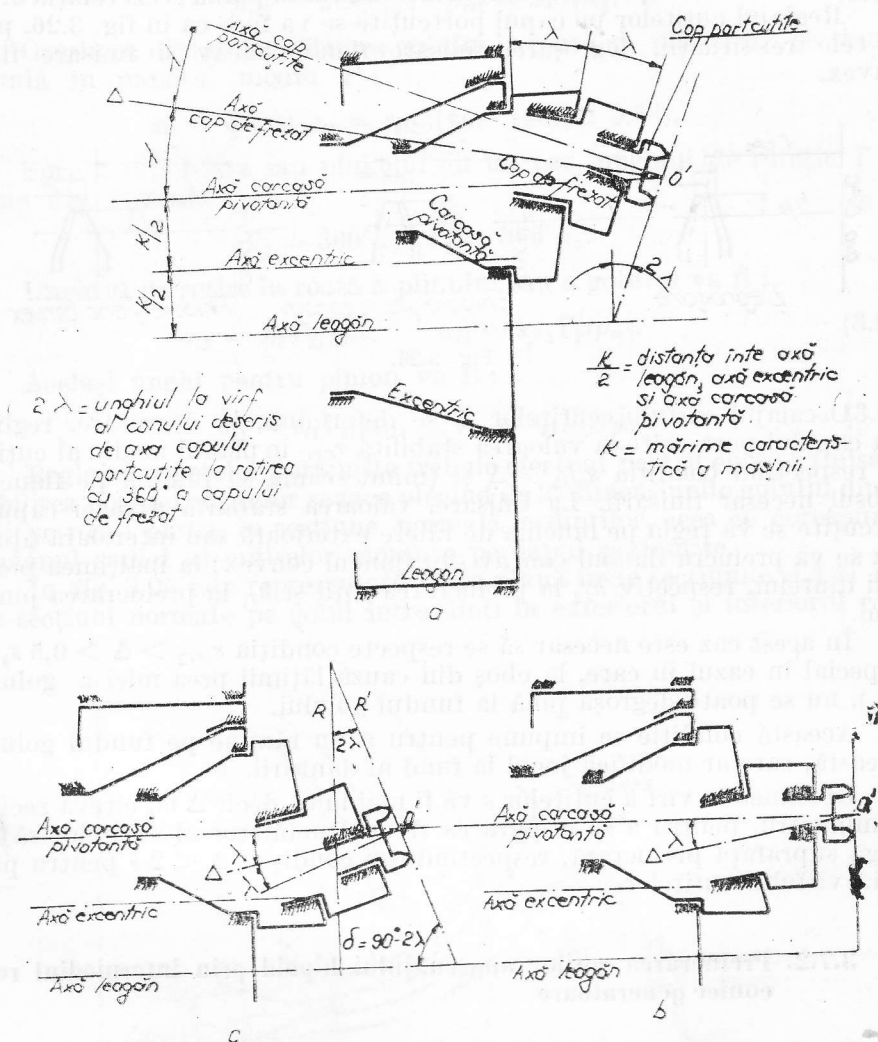


Fig. 3.27.

Suprafața frontală a capului de frezat are aceeași înclinare ca și a suprafeței frontale a carcasei pivotante iar unghiul de înclinare al suprafețelor și al axelor este de regulă $\lambda = 15^\circ$ ceea ce permite înclinarea capului porteuite cu unghiuri între 0 (zero) și $2\lambda = 30^\circ$ față de axa leagănelui, prin rotirea capului de frezat.

Așezarea acestor mecanisme în diverse poziții creiază diverse posibilități de prelucrare.

Astfel poziția reprezentată în figura 3.27, *a* este poziția în care se poate realiza dantura coroanei dințate (roata cu dimensiuni mai mari din angrenaj) după cum s-a ilustrat în figura 3.28, *a*.

În cazul din fig. 3.27, *b* axa CPC devine perpendiculară pe leagăn, deci se realizează roata plană generatoare, piesa de prelucrat avînd poziția ca în figura 3.28, *b*.

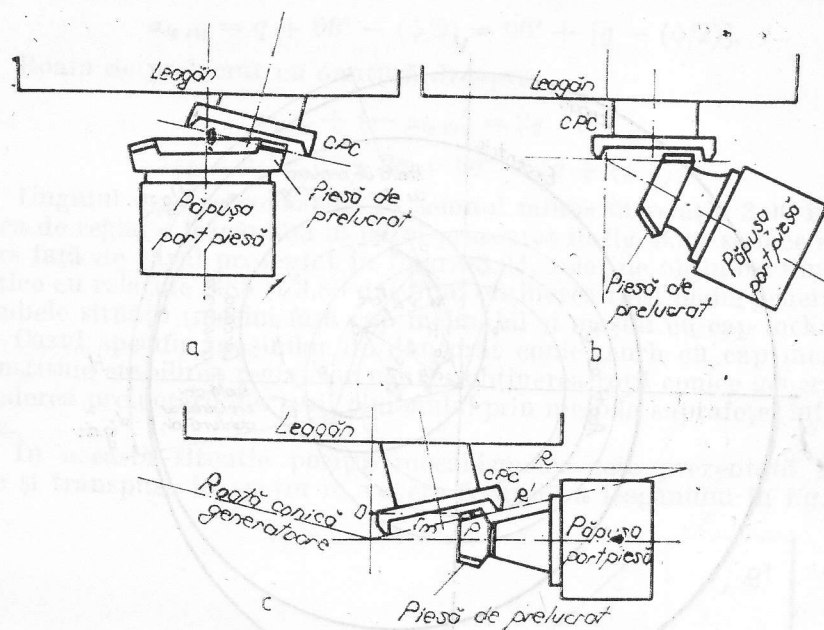


Fig. 3.28.

Poziția din figura 3.27, *c* realizează roata conică generatoare cu unghiul la vîrf $\delta = 90^\circ - 2\lambda$ caz în care piesa de prelucrat (de regulă pinionul) se așează ca în figura 3.28, *c*.

Formulele pentru determinarea poziției acestor mecanisme, spre a obține caracteristicile dorite ale roții generatoare imaginare, se stabilesc precizînd originea gradațiilor în poziții caracteristice. Există diverse sisteme din care unul uzual este următorul:

- Leagănul pus la gradația 0 (zero) aduce axul excentricului în planul orizontal (*H*) al mașinii, în partea dreaptă a leagănului, (văzut din față) la distanța $K/2$ față de centrul de rotație al leagănului.

- Excentricul pus în poziția 0 (zero) aduce axa carcasei pivotante în axul leagănului. Rotind excentricul cu 180° axa carcasei pivotante ajunge diametral opus centrului leagănului adică la distanța „*K*” distanță numită caracteristica mașinii.

- Cînd axa carcasei pivotante este în axa leagănului iar carcasa pivotantă este la gradația 0 (zero) supraînălțarea maximă a carcasei pivotante se găsește în planul orizontal în partea stîngă a leagănului.

- Carcasa capului de frezat pusă la 0 (zero) aduce supraînălțarea sa maximă în plan orizontal, în partea dreaptă opus supraînălțării maxime a carcasei pivotante, deci în această poziție axul CPC este perpendicular pe fața frontală a leagănului și coincide cu axa de rotație a leagănului.

Pentru stabilirea formulelor de reglaj se prezintă în fig. 3.29 vederea frontală a leagănelui (în poziția reprezentată în figura 3.28, b) avînd unghiul excentricului ψ reglat și urmînd a se roti leagănelul cu unghiul $\alpha_{lg\ stg}$ sau $\alpha_{lg\ dr}$ (stînga sau dreapta referindu-se la sensul înclinării danturii roții de prelucrat) spre a se aduce punctul mediu P al roții plane în punctul P' (în planul orizontal al mașinii) punct în care se execută în mod obișnuit

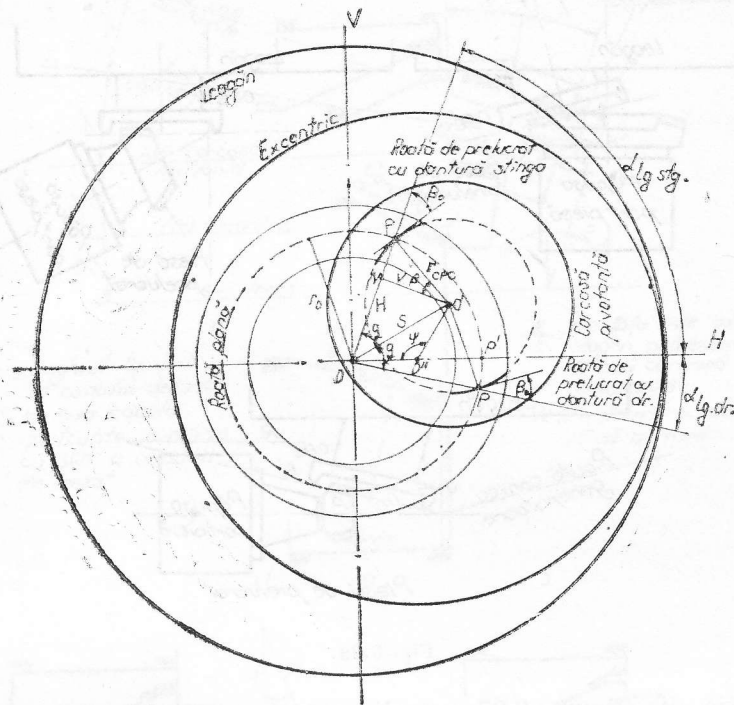


Fig. 3.29.

prelucrarea prin pătrundere în cazul danturii semiînfășurate sau în jurul căruia se execută rostogolirea în cazul prelucrării prin metoda ruletelor.

Din figura 3.29 rezultă :

$$\overline{O'N} = V = r_{CPC} \cos \beta_0, \quad (3.90)$$

unde $\beta_0 = \beta$, unghiul de înclinare mediu al danturii.

$$\overline{ON} = H = \overline{OP} - \overline{NP} = r_0 - r_{CPC} \sin \beta_0, \quad (3.91)$$

$$\operatorname{tg} q = V/H, \quad (3.92)$$

$$\overline{OO'} = S = H/\cos q, \quad (3.93)$$

S fiind așezarea radială a CPC.

$$\sin(\psi/2) = (\overline{OO'}/2)/\overline{OO''} = (S/2)/(K/2) = S/K. \quad (3.94)$$

unde $\overline{OO''} = \overline{O'O'} = K/2$, K fiind caracteristica mașinii, iar ψ unghiul de reglaj al excentricului.

Cunoscând aceste elemente se poate stabili cu ce unghi trebuie rotit leagănul spre a se aduce punctul P în punctul P' .

Spre exemplu roata de prelucrat cu dantură stînga.

Observînd că triunghiul $OO'O''$ este isoscel rezultă :

$$\alpha_{lg\ stg} = q + 90^\circ - (\psi/2) = 90^\circ + [q - (\psi/2)]. \quad (3.95)$$

Roata de prelucrat cu dantură dreaptă.

$$\alpha_{lg\ stg} + (-\alpha_{lg\ dr}) = 2q, \quad (3.96)$$

$$\alpha_{lg\ dr} = \alpha_{lg\ stg} - 2q = 90^\circ - [q + (\psi/2)]. \quad (3.97)$$

Unghiul $\alpha_{lg\ dr}$ se consideră cu semnul minus în relația 3.96 întrucît rotirea de reglaj a leagănului în cazul prezentat în fig. 3.29 se face în sens invers față de cazul prezentat în figura 3.24, relațiile obținute fiind însă identice cu relațiile 3.85 și 3.86 dat fiind obținerea roții plane generatoare în ambele situații (mașini fără cap înclinabil și mașini cu cap înclinabil).

Cazul specific mașinilor de danturat conic curb cu cap înclinabil îl constituie stabilirea reglajelor pentru obținerea roții conice generatoare în vederea prelucrării danturii pinionului prin metoda suprafeței înfășurătoare.

În această situație poziția mecanismelor este prezentată în fig. 3.28c și transpusă în spațiu în vedere frontală a leagănului în fig. 3.30,

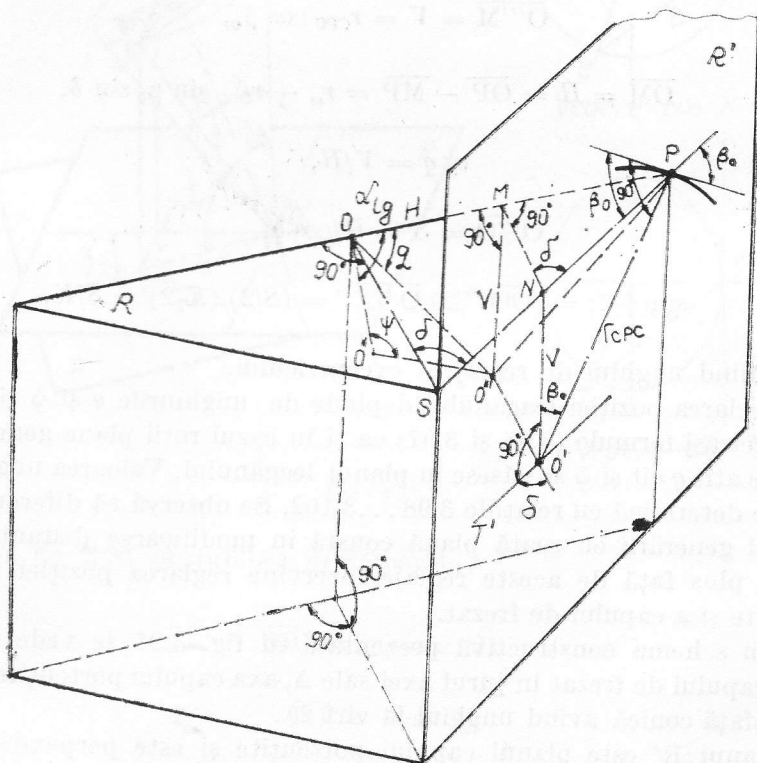


Fig. 3.30.

poziția reglată fiind cea necesară pentru prelucrarea unui pinion cu dantură stângă, deci roată conică generatoare cu dantură dreapta.

În fig. 3.28, *c* și 3.30 planele R și R' reprezintă planul leagănelui și planul tangent la conul de referință al roții conice generatoare (RCG), iar celelalte simboluri,

\overline{SP} — generatoarea medie a conului de referință al RCG ;

$\overline{O'O''}$ — axa carcasi pivotante (perpendiculară pe planul R) ;

$\overline{OO''} = \overline{O''O''} = K/2$, K fiind caracteristica mașinii. Punctele O' , O'' , O''' și P se găsesc în planul R iar punctele O' , N și P în planul R' ;

\overline{OS} — axul leagănelui ;

δ — unghiul la vârful conului de referință al RCG ;

$\overline{O'P} = r_{CPC}$ — raza capului portcuțite ;

$\overline{OP} = r_m$ — raza medie a conului de referință al RCG.

Pentru efectuarea reglajelor de obținere a roții conice generatoare se observă în fig. 3.27, *c* că leagănel și excentricul se reglează într-un plan comun, planul R , sau mai exact planul leagănelui paralel cu planul R .

Coordonatele centrului capului portcuțite O' proiectate în planul leagănelui vor fi :

$$\overline{O'''M} = V = r_{CPC} \cos \beta_0, \quad (3.98)$$

$$\overline{OM} = H = \overline{OP} - \overline{MP} = r_m - r_{CPC} \sin \beta_0 \sin \delta. \quad (3.99)$$

$$\operatorname{tg} q = V/H, \quad (3.100)$$

$$\overline{O'''O} = S = H/\cos q, \quad (3.101)$$

$$\sin(\psi/2) = (\overline{OO'''}/2)/\overline{O'O''} = (S/2)/(K/2) = S/K, \quad (3.102)$$

ψ fiind unghiul de reglaj al excentricului.

Reglarea poziției leagănelui depinde de unghiurile q și ψ și se face după aceleași formule (3.95 și 3.97) ca și în cazul roții plane generatoare deoarece atât q cât și ψ se găsesc în planul leagănelui. Valoarea unghiurilor q și ψ se determină cu relațiile 3.98...3.102. Se observă că diferența față de cazul generării cu roată plană constă în modificarea distanței H .

În plus față de aceste reglaje intervine reglarea poziției carcasi pivotante și a capului de frezat.

Din schema constructivă prezentată în fig. 3.27 se vede că prin rotirea capului de frezat în jurul axei sale Δ , axa capului portcuțite descrie o suprafață conică avînd unghiul la vîrf 2λ .

Planul R' este planul capului portcuțite și este perpendicular pe axa acestuia.

Dacă se transpune situația din fig. 3.27, b în fig. 3.31 normala la planul R va fi $O'B$, reprezentând deci axa CPC, planul R' suprapunindu-se peste planul R .

Rotindu-se capul de frezat cu unghiul α_x , axa CPC ajunge în poziția $O'B'$, dreapta $O'B'$ fiind normală la planul R' .

Unghiul între planele R și R' se notează λ_x acesta fiind și unghiul între normalele $O'B$ și $O'B'$.

Unghiul conului la vîrf al roții conice generatoare va fi,

$$\delta_x = 90^\circ - \lambda_x. \quad (3.103)$$

De aici rezultă că pentru $\alpha_x = 0$ se obține $\lambda_x = 0$ și $\delta_x = 90^\circ$, deci cazul roții plane, iar pentru $\alpha_x = 180^\circ$ rezultă $\lambda_x = 2\lambda$ și $\delta_x = 90^\circ - 2\lambda$ cazul roții conice generatoare cu unghiul la vîrf minim posibil de realizat.

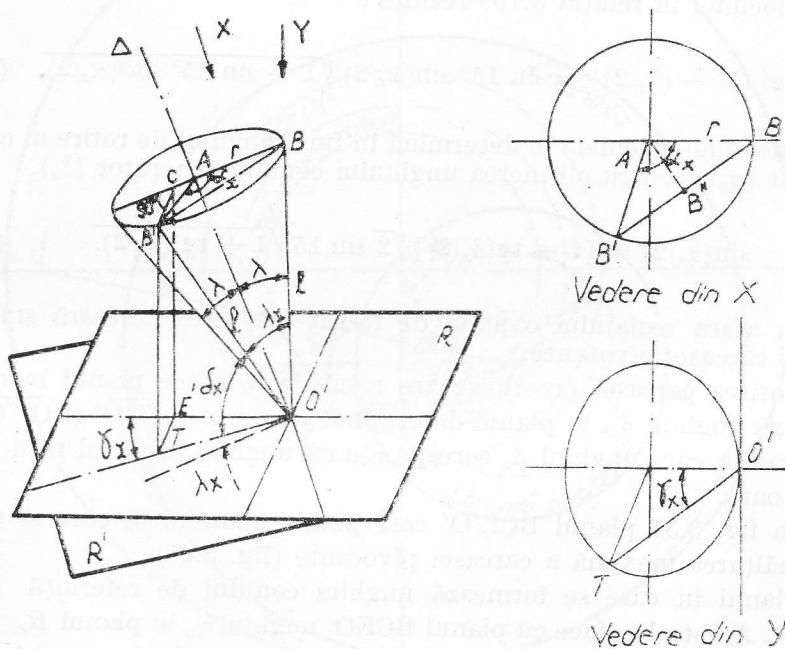


Fig. 3.31.

Din fig. 3.31 se stabilesc următoarele :

$$\overline{BB'} = 2r \sin(\alpha_x/2), \quad (3.104)$$

$$\overline{TO'} = l \cos \delta_x, \quad (3.105)$$

$$r = l \sin \lambda = l \sin 15^\circ. \quad (3.106)$$

În triunghiul $O'BB'$ în funcție de laturi se poate calcula unghiul λ_x .

$$\operatorname{tg}(\lambda_x/2) = \sqrt{(p-l)(p-l)/p(p-\overline{BB'})}, \quad (3.107)$$

$$2p = l + l + \overline{BB'} = 2l + 2r \sin(\alpha_x/2) \text{ de unde } p = l + r \sin(\alpha_x/2). \quad (3.108)$$

Efectuind calculele și înlocuind r în funcție de l se obține :

$$\operatorname{tg}(\lambda_x/2) = \sin 15^\circ \sin(\alpha_x/2) / \sqrt{1 - \sin^2 15^\circ \sin^2(\alpha_x/2)}. \quad (3.109)$$

În realitate se cunoaște unghiul δ_x , unghiul la vârful conului de referință al roții conice generatoare ce trebuie obținută pe mașină și nu λ_x .

Legătura între aceste unghiuri este dat de relația 3.103.

Înlocuind în relația 3.109 rezultă :

$$\operatorname{tg}[45^\circ - (\delta_x/2)] = \sin 15^\circ \sin(\alpha_x/2) / \sqrt{1 - \sin^2 15^\circ \sin^2(\alpha_x/2)}. \quad (3.110)$$

Efectuind calculele se determină în final unghiul de rotire al capului de frezat (α_x), pentru obținerea unghiului conului generator (δ_x),

$$\sin(\alpha_x/2) = [1 - \operatorname{tg}(\delta_x/2)] / \sqrt{2} \sin 15^\circ \sqrt{1 + \operatorname{tg}^2(\delta_x/2)}. \quad (3.111)$$

În afara reglajului capului de frezat mai este necesară stabilirea poziției carcasei pivotante.

Rotirea carcasei pivotante are rolul de a aduce planul în care se realizează unghiul δ_x , în planul determinat de dreptele $\overline{T'O'}$ și $\overline{O'''O'}$ (fig. 3.30), caz în care unghiul δ_x corespunde cu unghiul la vârful roții conice generatoare.

În fig. 3.31 planul $BCE'O'$ corespunde planului în care se găsește supraînălțarea maximă a carcasei pivotante (fig. 3.27).

Planul în care se formează unghiul conului de referință δ_x este $B'BTO'$. Acest plan face cu planul $BCEO'$ unghiul γ_x în planul R .

Rezultă că la o rotire a capului de frezat cu unghiul α_x poziția carcasei pivotante se poate stabili prin intermediul unghiului γ_x . Pentru determinarea unghiului γ_x în fig. 3.31 se observă următoarele :

$$\overline{O'E'} = \overline{BC} \cos \lambda \text{ unde } \overline{BC} = r(1 - \cos \alpha_x), \quad (3.112)$$

$$\overline{O'E'} = r(1 - \cos \alpha_x) \cos \lambda, \quad (3.113)$$

$$\overline{O'T} = l \cos \delta_x = r \cos \delta_x / \sin \lambda. \quad (3.114)$$

$\overline{O'T} \cos \gamma_x = \overline{O'E'}$ de unde rezultă :

$$\begin{aligned} \cos \gamma_x &= \cos \lambda \sin \lambda (1 - \cos \alpha_x) / \cos \delta_x = \\ &= \cos 15^\circ \sin 15^\circ (1 - \cos \alpha_x) / \cos \delta_x. \end{aligned} \quad (3.115)$$

Pentru a se stabili unghiul de rotație al carcasei pivotante se reprezintă în fig. 3.32 vederea frontală a leagănelui (planul R) în care se proiectează elementele din planul tangent la roata conică generatoare (planul R').

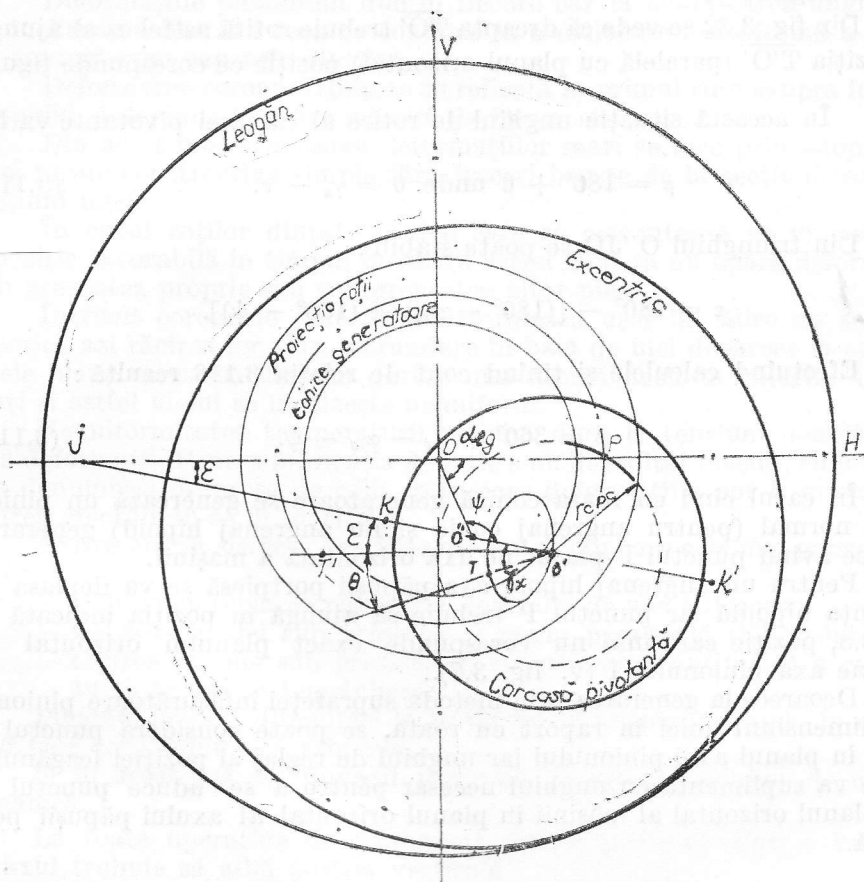


Fig. 3.32.

Poziția corespunde situației în care leagănelul și excentricul sînt rotite cu unghiurile α_{10} și ψ .

Considerăm pe excentric două puncte K și K' conținute în planul diametral care ajunge în planul orizontal al mașinii atunci cînd excentricul este adus la 0 (zero).

Aceasta înseamnă că la rotirea cu unghiurile α_{10} și ψ supraînălțarea carcasei pivotante se aduce în dreptul punctului K' iar supraînălțarea

capului de frezat în dreptul punctului K' , obținându-se în această poziție roata plană generatoare.

Dacă în această poziție se rotește capul de frezat se ajunge după 180° în situația din fig. 3.27, *a*, unghiul între planele R și R' evoluind între 0 (zero) și 2λ .

Întrucit obținerea roții conice generatoare presupune înclinarea planului R' ca în fig. 3.27, *c* se va roti carcasa pivotantă cu 180° aducându-se supraînălțarea sa în dreptul punctului K .

La această rotire cu 180° a carcasei pivotante, elipsa proiectată pe planul R (fig. 3.31 vedere din Y) ajunge în poziția din fig. 3.32.

Unghiului de rotire al capului α_x îi corespunde în acest plan (R) rotirea cu unghiul γ_x .

Din fig. 3.32 se vede că dreapta $\overline{TO'}$ trebuie rotită astfel ca să ajungă în poziția $\overline{T'O'}$ (paralelă cu planul orizontal) poziție ce corespunde figurii 3.30.

În această situație unghiul de rotire al carcasei pivotante va fi:

$$\rho = 180^\circ + \theta \text{ unde } \theta = \gamma_x - \varepsilon. \quad (3.116)$$

Din triunghiul $O''JO$ se poate stabili:

$$\varepsilon = 180^\circ - [(180^\circ - \alpha_{lg}) + (180^\circ - \psi)].$$

Efectuând calculele și ținând cont de relația 3.116 rezultă:

$$\rho = 360^\circ + \gamma_x - \alpha_{lg} - \psi. \quad (3.117)$$

În cazul cînd cu roata conică generatoare se generează un pinion conic normal (pentru angrenaj conic și nu angrenaj hipoid) generarea se face avînd punctul P plasat pe axa orizontală a mașinii.

Pentru un angrenaj hipoid axa păpușii portpiesă se va deplasa cu distanța hipoidă iar punctul P trebuie să ajungă în poziția indicată în fig. 3.8, poziție care însă nu corespunde exact planului orizontal ce conține axa pinionului I (v. fig. 3.7)..

Deoarece la generarea prin metoda suprafeței înfășurătoare pinionul are dimensiuni mici în raport cu roata, se poate considera punctul P chiar în planul axei pinionului iar unghiul de reglaj al poziției leagănului α_{lg} se va suplimenta cu unghiul necesar pentru a se aduce punctul P din planul orizontal al mașinii în planul orizontal al axului păpușii portpiesă.

3.7.3. Elemente privind tehnologia de execuție a angrenajelor hipoide

Înalta precizie de execuție a mașinilor de danturat conic curb asigură obținerea unor danturi foarte precise. Cu toate acestea danturarea este numai o treaptă în ciclul de fabricație și calitatea finală a danturii reprezintă efectul total al erorilor din toate etapele de fabricație.

Din această cauză trebuie să se verifice la fiecare fază de fabricație dacă abaterile inevitabile față de valorile teoretic necesare se găsesc în cadrul toleranțelor admise.

Această verificare și eliminarea cauzelor care produc abateri este obligatorie deoarece atât la tratamentul termic cât și la prelucrarea mecanică pot apare erori care la piesa finită au efectul unor erori de danturare.

Că valorile acestor toleranțe trebuie să fie strinse este clar pentru cazul cînd dantura angrenajului nu se mai rectifică, dar trebuie reținut că este de dorit să se respecte aceste toleranțe și în cazul cînd angrenajul se reetifică, iar dantura este cementată, spre a se obține uniformitatea grosimii stratului de cementare după rectificare, asigurîndu-se astfel o calitate superioară angrenajului.

Deformațiile care apar la operația de tratament termic duc la modificarea poziției petei de contact în angrenare.

Deformațiile pinionului duc în fiecare caz la modificarea unghiului de înclinare a dintelui ceea ce conduce la o dislocare neuniformă a petei de contact spre capetele dinților.

Deformarea coroanei dințate se reflectă în primul rînd asupra formei corpului și depinde în mare măsură de forma ei.

Din acest motiv evitarea deformațiilor mari se face prin adoptarea unei forme constructive simple fără treceri bruște de la secțiuni mari la secțiuni mici.

În cazul roților dințate conice care se cimentează se va asigura o poziție favorabilă în timpul încălzirii astfel încît să nu apară deformații sub greutatea proprie sau sub greutatea altor piese.

Întrucît coroanele dințate se deformează ușor la călire nu se mai practică azi răcirea lor prin scufundare în baia de ulei deoarece la suprafețele plane mișcarea uleiului devine mai rapidă decît în golurile dintre dinți și astfel uleiul se încălzește neuniform.

Neuniformitatea temperaturii uleiului duce la tensiuni neuniforme și la deformații. Pentru fabricația de serie s-au dezvoltat mașini, cunoscute sub denumirea de prese de călit, prin care deformațiile pot fi micșorate călirea efectuîndu-se în matriță.

Există cîteva sisteme de călire mecanică din care cele mai cunoscute sînt :

- Călirea cu reglarea parțială a debitului de ulei (Gleason).
- Călirea cu ulei sub presiune și răcire prealabilă (Klingelnberg).
- Călirea cu ulei sub presiune și repartizarea cantitativă a curențului de ulei (Klingelnberg).

Pinionul creiază dificultăți la tratamentul termic îndeosebi în cazul cînd face corp comun cu arborele.

Și în acest caz s-a dovedit rațională folosirea mașinilor de călire mecanică.

La toate operațiile de tratament termic pinionul dintr-o bucată cu axul trebuie să aibă poziția verticală.

La mașinile de călit pinioane ale firmei Gleason, pinionul fixat vertical între virfuri se rotește și se redresează fiind presat lateral de două role de ghidare.

Concomitent cu aceasta pinionul este răcit prin intermediul unui jet de ulei de răcire dirijat.

La coroanele dințate mari peste 630 mm. călirea între matrițe fiind dificilă se recurge la călire superficială CIF sau prin încălzire oxiacetilenică sau cel mai adesea la durificare prin nitrurare. Limitarea domeniului de utilizare a nitrurării este dată numai de adîncimea stratului dur care, în cazul unor module mari nu mai are o grosime suficientă.

Nitrurarea este avantajoasă în cazul coroanelor avind formă de discuri subțiri sau inele și cu module relativ mici.

Alegerea procedurii de călire superficială pentru un caz dat este funcție de solicitarea și rezistența dinților precum și de mărimea și forma roților.

În cazul cerințelor mari privind rezistența dintelui, metoda cea mai sigură pentru mărirea rezistenței la uzură concomitent cu mărirea rezistenței la încovoiere este cementarea.

Călire prin inducție și cu flacără asigură o mărire însemnată a rezistenței la uzură iar în cazul unei execuții corecte se obține și o mărire a rezistenței la încovoiere a dintelui.

La roți cu diametre mari și cu module mari călire prin inducție este metoda cea mai adecvată.

În mod normal se tinde la realizarea unei durități pentru miez de 230—300 HB iar la solicitări mari de 300—340 HB.

În ce privește prelucrarea mecanică succesiunea fazelor înainte de danturare depinde de seria de fabricație dar cerința cea mai importantă, comună pentru toate seriile de fabricație, este ca suprafețele de referință care determină poziția axială și radială a piesei pe mașina de danturat să fie în toleranțe cât mai strinse.

La rectificarea suprafețelor de așezare pentru danturare trebuie să se asigure ca între dispozitivul de danturare și piesa de prelucrat să se realizeze ajustajul H6/h6 sau chiar H5/h6.

Înainte de prindere pe mașina de danturat fiecare piesă se va controla dacă nu are lovituri și muchii neteșite, iar în caz de nevoie se vor face remedierile necesare.

Deoarece bătaia radială depinde de gradul de curățenie și de precizia suprafețelor de fixare și a dispozitivelor de fixare, acestea trebuie curățate perfect.

Dispozitivele de prindere în cazul producției de serie se vor verifica cel puțin odată pe săptămână dacă nu au bătaii radiale la suprafețele de fixare a piesei.

La danturare, înălțimea dintelui se va măsura la jumătatea lățimii danturii spre a elimina în oarecare măsură influența toleranțelor de execuție a suprafeței exterioare.

În cazul când se execută o trecere de degroșare cu adâncime mai mare, se va ține cont ca măsurătoarea să evite canalul rămas de la degroșare pe fundul golului dintre dinți.

După danturare angrenajul se controlează pe mașina de verificat prin rulare la poziția petei de contact și a jocului între flancuri.

Deoarece reglajele calculate sînt valori teoretice iar practic există toleranțele de execuție a piesei, dispozitivelor și mașinii, de regulă sînt necesare corecții ale reglajelor mașinii la danturare pentru îmbunătățirea petei de contact. Aceste corecții au valori mici față de corecțiile care trebuie executate pentru compensarea modificării petei de contact ca urmare a deformației provenite de la tratamentul termic, în cazul când nu se execută rectificarea danturii și corectarea petei de contact se realizează prin rodare.

Poziția petei de contact se caracterizează prin contactul longitudinal (în lungul dintelui) și prin contactul transversal (pe înălțimea dintelui).

La controlul angrenării roților conice, poziția petei de contact este un indiciu pentru erorile de reglare a mașinii și a sculei la operația de pre-

lucrare și pentru erorile produse de tratamentul termic după efectuarea acestuia.

Verificarea petei de contact la producția de serie se face cu un angrenaj etalon controlându-se poziția petei de contact a roții prin rulare cu pinionul etalon iar a pinionului cu roata etalon și introducând apoi corecțiile necesare în reglajul mașinii de danturat.

La producția de unicate se prelucurează roata întâi și apoi la prelucrarea pinionului se fac corecțiile de reglaj ale mașinii de danturat astfel ca pata de contact să aibă forma corectă, controlându-se cu roata prelucrată.

Mașina de controlat poziția petei de contact realizează aceasta în funcție de poziția relativă a conului de referință al roților.

Prin măsurarea abaterii virfurilor conului de referință în direcție orizontală H și în direcție verticală V față de poziția teoretică, se poate stabili ce corecții trebuie introduse în reglajul mașinii de danturat.

Aceste reglaje sînt indicate în fig. 3.33.

*Poziția petei de contact
pe mîgina de controlat
la pinion*

*Corecția necesară la reglajul mașinii
pîtru danturat pinionul*



*Flancul convex mărirea excentricității
Flancul concav micșorarea excentricității*



*Flancul convex micșorarea excentricității
Flancul concav mărirea excentricității*



*Flancul convex mărirea excentricității
Flancul concav mărirea excentricității*



*Flancul convex micșorarea excentricității
Flancul concav micșorarea excentricității*



*Deplasarea pinionului în direcție orizontală
și retragerea dela capul portcutite*



*Deplasare pinion în direcție orizontală
și avansare piecă către capul portcutite*



Micșorarea unghiului pinionului



Mărirea unghiului pinionului

Fig. 3.33

3.8. Proiectarea angrenajului hipoid

La proiectarea unui angrenaj hipoid se întâlnesc două situații:

1. Proiectarea de înlocuire a unui angrenaj hipoid existent.

În acest caz elementele de bază ale angrenajului z_1, z_2, a și r_2 , rezultă imediat de la angrenajul ce urmează a fi înlocuit și constituie baza de calcul.

2. Proiectarea cu stabilirea tuturor parametrilor prin calcul, evident cazul cel mai complex.

După cum s-a văzut din cap. 3.3, pentru aceeași valoare a razei r_2 există un mare număr de variante ale angrenajului hipoid, variante la care dreapta $\overline{D_2D_1}$ ocupă diferite poziții pe axele I și II .

În ultimă instanță proiectantul trebuie să ajungă să determine grupul de angrenaje care satisfac convenabil condiția constructivă (z_1, z_2, r_2 și a), iar în final să aleagă acel angrenaj care satisface condiția că raza de curbură a dinților să corespundă posibilităților de reglaj ale unui cap portcuțite existent la mașina de danturat și unei valori a unghiului $\Delta\alpha$ (unghiul dintre axa cinematică și axa geometrică a danturii) corespunzătoare sculelor existente sau posibil de realizat, bineînțeles cu respectarea unghiurilor β_1 și β_2 , spre a menține forțele ce acționează în lagăre în jurul valorilor stabilite.

În cazul cînd se optează pentru prelucrarea cu cuțite simetrice avînd unghiul de presiune egal cu unghiul de angrenare nominal, se caută acea variantă care satisface condiția $-1^\circ \leq \Delta\alpha \leq +1^\circ$ pentru o rază a capului portcuțite ce poate fi reglată la valoarea razei de curbură optimă calculată.

Dacă se folosește prelucrarea cu cuțite asimetrice se calculează unghiul $\Delta\alpha$ și se stabilesc valorile unghiurilor de presiune ale cuțitelor în așa fel încît unghiul de angrenare pe flancul concav al roții și convex al pinionului să fie mai mare decît unghiul nominal, respectiv $\alpha' = \alpha + \Delta\alpha$, iar unghiul de angrenare pe flancul convex al roții și concav al pinionului mai mic decît unghiul nominal, respectiv $\alpha'' = \alpha - \Delta\alpha$.

Pentru a se evita condiții de așchiere nefavorabile, α'' nu trebuie să fie mai mic de 12° .

Raza de curbură optimă a dinților pentru valoarea $\Delta\alpha$ trebuie să corespundă cu o valoare posibil de reglat, pe capul portcuțite ce corespunde angrenajului calculat. Valoarea unghiului $\Delta\alpha$ real se poate admite în limitele $0^\circ \dots 1^\circ$ față de $\Delta\alpha$ necesar teoretic pentru un cap portcuțite dat conform relației 3.41.

Unghiul de angrenare nominal este de regulă $\alpha_n = 20^\circ$. Din recomandările existente în literatură rezultă că pentru angrenaje de autoturisme, în unele cazuri, se folosește unghiul de angrenare nominal $\alpha_n = 21^\circ 30'$, iar pentru angrenaje mai solicitate (autocamioane) $\alpha_n = 22^\circ 30'$. Explicația folosirii acestor unghiuri constă în faptul că la un unghi de angrenare mai mare curbura profilului dintelui devin mai favorabile.

Cu toate că există tendința de creștere a forțelor normale pe dinte, îmbunătățirea condițiilor de alunecare pe flancuri creează o oarecare creștere a capacității portante, bineînțeles în condițiile corelării cu distanța între axe.

În stabilirea parametrilor inițiali trebuie să se țină cont că valorile maxime ale raportului a/r_2 sînt funcție de raportul de transmitere. În gene-

ral nu se admite ca deplasarea axelor să depășească jumătate din raza roții (vezi tabelul 3.3), la angrenajele hipoidale normale.

Tabelul 3.3. Valorile raportului a/r_2 la angrenaje hipoidale normale

| i | 1,5 | 2 | 3 | 4 | 5 | 6 | 7 | 8 |
|---------|------|-----|-----|-----|-----|-----|-----|-----|
| a/r_2 | 0,25 | 0,4 | 0,5 | 0,5 | 0,5 | 0,5 | 0,5 | 0,5 |

Coefficientul k de determinare a dimensiunilor pinionului în funcție de raportul de transmitere se va lua în limitele indicate în tabelul 3.4.

Tabelul 3.4. Coeficientul k recomandat la angrenaje hipoidale normale

| i | 1,5 | 2 | 3 | 4 | 5 | 6 | 7 | 8 |
|-----------|------|------|------|------|------|------|------|------|
| k_{min} | 1,12 | 1,10 | 1,10 | 1,10 | 1,10 | 1,10 | 1,10 | 1,10 |
| k_{max} | 1,18 | 1,33 | 1,55 | 1,71 | 1,82 | 1,92 | 2 | 2 |

Dat fiind numărul mare de parametri care intră în calculul unui angrenaj hipoid, se stabilește încă un parametru care se admite inițial într-un domeniu dat, acesta fiind unghiul la vârful conului de referință al roții δ_2 (respectiv semiunghiul vârfului conului).

Valorile limită orientative pentru unghiul δ_2 sînt indicate în tabelul 3.5.

Tabelul 3.5. Valorile limită ale unghiului δ_2

| i | 1,5 | 2 | 2,5 | 3 | 3,5 | 4 | 4,5 | 5 | 5,5 | 6 | 6,5 | 7 | 7,5 | 8 |
|-----------------|-----|-----|-----|-----|-----|-----|-----|-----|-----|-----|-----|-----|-----|-----|
| δ_{2min} | 45° | 48° | 51° | 53° | 55° | 57° | 58° | 59° | 61° | 62° | 63° | 64° | 64° | 65° |
| δ_{2max} | 51° | 59° | 65° | 69° | 71° | 74° | 76° | 77° | 78° | 79° | 80° | 81° | 81° | 82° |

Determinarea dimensiunilor roților componente solicită un volum mare de calcule, datorită necesității de a se calcula prin tatonări un număr mare de angrenaje, pentru a se alege unul corespunzător.

Determinarea prin metode iterative se aplică în toate metodologiile de calcul publicate în literatură, dar, din cauza consumului mare de timp, se conduce calculul în așa fel încît prin cîteva variante să se găsească un angrenaj ce poate fi considerat acceptabil.

Datorită posibilității de a efectua calculele pe calculatorul electronic determinarea unui număr mare de variante nu mai reprezintă în prezent o problemă.

Tabelul 3.6 în care se prezintă sinteza formulelor de calcul a fost întocmit astfel încît să permită trecerea în revistă a unui număr cît mai mare de variante pentru compararea din mai multe puncte de vedere a rezultatelor și a crea în același timp proiectantului o vedere de perspectivă mai amplă asupra problemei.

Datele inițiale de calcul vor fi z_1, z_2, r_2, a, k și δ_2 .

Primele trei valori sînt stabilite inițial de proiectant din condiții cinematice și constructive și nu mai comportă modificări legate de angrenaj în sine.

Deplasarea axelor „ a ” se va alege, inițial, din criteriile constructive, în așa fel încât să poată fi rezolvată problema lăgăruirii arborilor încadrându-se în limita impusă prin valorile din tabelul 3.3.

Coefficientul k se va alege inițial prin câteva valori aproximativ în prima jumătate a cîmpului k_{min} , k_{max} , din tabelul 3.4.

În acest fel la prima rulare a programului de calcul vor rezulta variante ale angrenajului pentru diverse unghiuri δ_2 în domeniul δ_{2min} , δ_{2max} , (tabelul 3.5) din grad în grad.

Calculul angrenajului și al elementelor danturii se va efectua în două etape.

Etapa I. Determinarea elementelor angrenajului conform tabelului 3.6.

Etapa II. Determinarea elementelor danturii conform tabelului 3.8.

Datele inițiale în etapa I-a

- Unghiul între axe $\Sigma = 90^\circ$
- Nr. de dinți al pinionului z_1
- Nr. de dinți al roții z_2
- Raza medie a roții hipoid r_2
- Deplasarea axelor a
- Coeficientul de mărire a diametrului pinionului k
- Unghiul conului de referință al roții hipoid δ_2
- Unghiul de angrenare nominal în secțiune normală α_n
- Cuplul rezistent la roată M_r
- Forțele ce acționează în angrenaj

Rularea I-a a programului cu câteva valori aproximativ la jumătatea cîmpului din tabelul 3.4

Rularea I-a a programului din grad în grad în domeniul δ_{2min} , δ_{2max} conform tabelului 3.5

De regulă se alege $\alpha_n = 20^\circ$ daNmm

Grupa de formule I sau II conform tabelului 3.7

În etapa I-a după efectuarea unei rulări a programului de calcul se caută valorile convenabile iar în eventualitatea că este necesar se rulează din nou cu alte valori ale parametrului k .

Tabelul 3.6. Determinarea elementelor angrenajului hipoid în etapa I de calcul

| Nr. crt. | Elementul de calculat | Formula de calcul | rezultat |
|----------|---|--|------------|
| 1 | 2 | 3 | 4 |
| 1 | Raportul de transmitere | $i = z_2/z_1$ | i |
| 2 | Raza medie a pinionului hipoid | $r_1 = kr_2/i$ | r_1 |
| 3 | Unghiul între proiecția normalei comune și axa roții | $\text{tg } \eta = a/[r_2(\text{tg } \delta_2 + k/i)]$ | η |
| 4 | Unghiul între proiecția normalei comune și axa pinionului | $\sin \epsilon = \text{tg } \delta_2 \text{tg } \eta$ | ϵ |
| 5 | Unghiul conului de referință al pinionului | $\sin \delta_1 = \cos \delta_2 \cos \epsilon$ | δ_1 |

Tabelul 3.6 (continuare)

| 1 | 2 | 3 | 4 |
|----|--|--|-----------------|
| 6 | Diferența între unghi înclinare dantură pinion și roată | $\sin \mu = \sin \varepsilon / \cos \delta_1$ | μ |
| 7 | Unghiul de înclinare a spirei dintelui roții | $\operatorname{tg} \beta_2 = (\cos \mu - 1/k) / \sin \mu$ | β_2 |
| 8 | Unghiul de înclinare a spirei dintelui pinionului | $\cos \beta_1 = \cos \beta_2 / k$ | β_1 |
| 9 | Lungimea generatoarei medii con de referință roată | $R_2 = r_2 / \sin \delta_2$ | R_2 |
| 10 | Lungimea generatoarei medii con de referință pinion | $R_1 = r_1 / \sin \delta_1$ | R_1 |
| 11 | Distanța de la planul cercului de referință mediu al roții la planul axei pinion măsurată pe axa roții | $U_2 = r_1 \sin \delta_2 / \cos \delta_1$ | U_2 |
| 12 | Distanța de la planul cercului de referință mediu pinion la planul axei roții măsurată pe axa pinionului | $U_1 = r_2 \cos \varepsilon$ | U_1 |
| 13 | Abaterea axei de simetrie a mișcării față de axa de simetrie dantură | $\operatorname{tg} \Delta \alpha = A/B$ $A = R_1 \sin \beta_1 - R_2 \sin \beta_2$ $B = R_1 \operatorname{tg} \delta_1 + R_2 \operatorname{tg} \delta_2$ | $\Delta \alpha$ |
| 14 | Raza de curbura optimă a dintelui pe roata plană | $1/\rho = A[B - (C) \operatorname{tg} \Delta \alpha]$ $A = 1/(\operatorname{tg} \beta_1 - \operatorname{tg} \beta_2)$ $B = 1/(R_1 \cos \beta_1) - 1/(R_2 \cos \beta_2)$ $C = \operatorname{tg} \beta_2/(R_2 \operatorname{tg} \delta_2) + \operatorname{tg} \beta_1/(R_1 \operatorname{tg} \delta_1)$ | ρ |
| 15 | Forța care acționează asupra roții | $P_2 = M_r / r_2$ | P_2 |
| 16 | Forța care acționează asupra pinionului | $P_1 = P_2 / k$ | P_1 |
| 17 | Forța normală pe dinte la roată și la pinion | $P_n = P_2 / (\cos \alpha_n \cos \beta_2)$ | P_n |
| 18 | I Forța axială pe pinion | $P_{a1} = P_1 (\operatorname{tg} \alpha_n \sin \delta_1 + \sin \beta_1 \cos \delta_1) / \cos \beta_1$ | P_{a1} |
| 19 | | $P_{a2} = P_2 (\operatorname{tg} \alpha_n \sin \delta_2 - \sin \beta_2 \cos \delta_2) / \cos \beta_2$ | P_{a2} |
| 20 | | $P_{r1} = P_1 (\operatorname{tg} \alpha_n \cos \delta_1 - \sin \beta_1 \sin \delta_1) / \cos \beta_1$ | P_r |
| 21 | | $P_{r2} = P_2 (\operatorname{tg} \alpha_n \cos \delta_2 + \sin \beta_2 \sin \delta_2) / \cos \beta_2$ | P_{r2} |
| 22 | II Forța axială pe pinion | $P_{a1} = P_1 (\operatorname{tg} \alpha_n \sin \delta_1 - \sin \beta_1 \cos \delta_1) / \cos \beta_1$ | P_{a1} |
| 23 | | $P_{a2} = P_2 (\operatorname{tg} \alpha_n \sin \delta_2 + \sin \beta_2 \cos \delta_2) / \cos \beta_2$ | P_{a2} |
| 24 | | $P_{r1} = P_1 (\operatorname{tg} \alpha_n \cos \delta_1 + \sin \beta_1 \sin \delta_1) / \cos \beta_1$ | P_{r1} |
| 25 | | $P_{r2} = P_2 (\operatorname{tg} \alpha_n \cos \delta_2 - \sin \beta_2 \sin \delta_2) / \cos \beta_2$ | P_{r1} |

După stabilirea unui domeniu convenabil se efectuează o a doua rulare pentru valori ale parametrului δ_2 din $0,1^\circ$ în $0,1^\circ$, în zona care prezintă interes, iar dacă se consideră necesar se mai poate face o rulare pe o zonă restrinsă din $0,01^\circ$ în $0,01^\circ$.

Tabelul 3.7 Stabilirea grupeî de formule pentru calculul forțelor

| Tip angrenaj | Sens spiră pinion | Sens rotație pinion | Grupa de formule cu care se calculează forțele |
|------------------------|-------------------|---------------------|--|
| Conf. fig. 3.17 a și b | stînga | sens orar | I |
| Conf. fig. 3.17 a și b | stînga | sens antiorar | II |
| Conf. fig. 3.17 c și d | dreapta | sens orar | II |
| Conf. fig. 3.17 c și d | dreapta | sens antiorar | I |

Dacă prin prima rulare nu se găsește un domeniu convenabil, se rulează, modificînd parametrul a , acele variante care sînt apropiate de cazul urmărit și, apoi, se trece la determinări pe domenii restrînse.

Pentru calculul forțelor care acționează în angrenaj este necesar să se stabilească prin datele inițiale care grupă de formule se folosește în calcul, respectiv I sau II (vezi tabelul 3.6). Această grupă se stabilește ținînd seama de datele din tabelul 3.7. Forțele calculate vor fi în daN.

Sensurile de rotație, al pinionului și al roții, necesare în stabilirea grupeî de formule, se iau în considerație privind din partea opusă a virfului conului de referință.

După stabilirea variantei definitive a angrenajului, se trece la etapa II-a de calcul, pentru determinarea dimensiunilor danturii conform tabelului 3.8.

Datele inițiale de calcul pentru etapa II-a

| | |
|--|-------------------------------------|
| $z_1, z, \alpha_n, R_1, R_2, r_1, \rho_1, \delta_1, \delta_2, U_1, U_2,$ | din etapa I-a de calcul; |
| — raportul lățime roată, lungime generatoare medie: | $k_b = 0,2 \dots 0,3$ |
| — creșterea lățimii pinionului: | $\Delta b = 5 \dots 10 \text{ mm};$ |
| — coeficientul înălțimii capului dintelui: | f_a — conf. tab. 3.1; |
| — coeficientul deplasării profilului | x_r — conf. tab. 3.1; |
| — coeficientul jocului la piciorul danturii: | $c'_n = 0,2 \dots 0,25;$ |
| — distanța de la planul cercului mediu de referință la baza de așezare a roții: | H_2 — constructiv; |
| — distanța de la planul cercului mediu de referință la baza de așezare a pinionului: | H_1 — constructiv. |

Cu valorile calculate după tabelele 3,6 și 3.8 se poate executa desenul roții și al pinionului conform fig. 3.15.

Indicarea elementelor de calcul pe desen se recomandă a se face după tabelul 3.9.

La întocmirea desenelor se vor avea în vedere toleranțele pentru dimensiunile corpului piesei (tabelul 3.10).

Tabelul 3.8. Determinarea elementelor angrenajului hipoid în etapa II de calcul

| Nr. crt. | Elemente de calculat | Formula de calcul | Rezultat |
|----------|--|--|-----------|
| 1 | 2 | 3 | 4 |
| 1 | Lățimea coroanei dințate a roții în lungul generatoarei | $b_2 = k_b R_2$ | b_2 |
| 2 | Lățimea coroanei dințate a pinionului în lungul generatoarei | $b_1 = b_2 \sin \delta_2 / (\cos \varepsilon \cos \delta_1) + \Delta b$ | b_1 |
| 3 | Modulul normal în secțiunea medie a dintelui | $m_n = 2r_1 \cos \beta_1 / z_1$ | m_n |
| 4 | Înălțimea piciorului dintelui la roată | $h_{f2} = (f_a + x_r + c'_n) m_n$ | h_{f2} |
| 5 | Înălțimea capului dintelui la roată | $h_{a2} = (f_a - x_r) m_n$ | h_{a2} |
| 6 | Înălțimea piciorului dintelui la pinion | $h_{f1} = (f_a - x_r + c'_n) m_n$ | h_{f1} |
| 7 | Înălțimea capului dintelui la pinion | $h_{a1} = (f_a + x_r) m_n$ | h_{a1} |
| 8 | Lungimea generatoarei exterioare roată | $R_{e2} = R_2 + 0,5 b_2$ | R_{e2} |
| 9 | Lungimea generatoarei exterioare pinion | $R_{e1} = R_1 + 0,5 b_1$ | R_{e1} |
| 10 | Diametrul exterior al roții. Formula este valabilă pentru forma roții din fig. 3.15 | $d_{a2} = 2(R_{e2} \sin \delta_2 + h_{a2} \cos \delta_2)$ | d_{a2} |
| 11 | Diametrul exterior al pinionului. Forma I vezi fig. 3.15 Forma II vezi fig. 3.39 | $d_{a1} = 2(R_{e1} \sin \delta_1 + h_{a1} \cos \delta_1)$ $d_{a1} = 2(R_{e1} \sin \delta_1 + h_{a1} / \cos \delta_1)$ | d_{a1} |
| 12 | Distanța de montaj a roții. H_2 constructiv, fig. 3.15 | $T_2 = U_2 + H_2$ | T_2 |
| 13 | Distanța de montaj a pinionului. H_1 constructiv, fig. 3.15 | $T_1 = U_1 + H_1$ | T_1 |
| 14 | Distanța de la suprafața de așezare roată la vîrf exterior al dinților | $L_{a2} = H_2 - 0,5 b_2 \cos \delta_2 + h_{a2} \sin \delta_2$ | L_{a2} |
| 15 | Distanța de la suprafața de așezare pinion la vîrf exterior al dinților Forma I vezi fig. 3.15 Forma II vezi fig. 3.39 | $L_{a1} = H_1 - 0,5 b_1 \cos \delta_1 + h_{a1} \sin \delta_1$ $L_{a1} = H_1 - 0,5 b_1 \cos \delta_1$ | L_{a1} |
| 16 | Distanța de la suprafața de așezare roată la vîrf interior al danturii | $N_2 = L_{a2} + l_2 \cos \delta_2$ | N_2 |
| 17 | Distanța de la suprafața de așezare pinion la vîrf interior al danturii | $N_1 = L_{a1} + b_1 \cos \delta_1$ | N_1 |
| 18 | Grosime dinte pe coarda constantă în pct. mediu în sect. normală roată | $s_{nc2} = m_n(1,57 \cos^2 \alpha_n - x_r \sin 2\alpha_n)$ | s_{nc2} |

| 1 | 2 | 3 | 4 |
|----|---|--|-----------|
| 19 | Înălțimea la coarda constantă la dinte roată | $h_{c2} = h_{a2} - 0,5 s_{nc2} \operatorname{tg} \alpha_n$ | h_{c2} |
| 20 | Grosime dinte pe coarda constantă în pct. mediu în secț. normală pinion | $s_{nc1} = m_n(1,57 \cos^2 \alpha_n + x_r \sin 2\alpha_n)$ | s_{nc1} |
| 21 | Înălțimea la coarda constantă la dinte pinion | $h_{c1} = h_{a1} - 0,5 s_{nc1} \operatorname{tg} \alpha_n$ | h_{c1} |

Tabelul 3.9. Elementele de calcul ale angrenajului hipoid

Dantura hipoidă în arc de cerc cu înălțime constantă a dintelui

| | | | |
|----|--|----------------|----------------|
| 1 | Numărul de dinți | | z |
| 2 | Deplasarea hipoidă | | α |
| 3 | Unghiul între axe | | Σ |
| 4 | Modulul normal în punctul mediu | | m_n |
| 5 | Unghi de angrenare în secțiune normală | flancul concav | α_{ncv} |
| 6 | | flancul convex | α_{ncx} |
| 7 | Coeficientul înălțimii capului dintelui | | f_a |
| 8 | Coeficientul jocului la picior | | c_n |
| 9 | Coeficientul deplasării profilului | | x_r |
| 10 | Unghi de înclinare dantură la diam. mediu | | β |
| 11 | Sensul înclinării dintelui | | — |
| 12 | Diametrul de referință mediu (diametrul de divizare al roții conice) | | d_m |
| 13 | Înălțimea capului dintelui | | h_a |
| 14 | Înălțimea piciorului dintelui | | h_f |
| 15 | Lungimea generatoarei conului de referință în punctul mediu | | R |
| 16 | Lățimea de calcul a danturii | | b |
| 17 | Raza de curbură a dintelui (raza CPC în planul de referință) | | r_{CPC} |
| 18 | Roata conjugată | Număr desen | — |
| 19 | | Număr de dinți | z |
| 20 | Jocul între flancuri | | l_n |
| 21 | Bătaia radială a danturii | | T_{br} |
| 22 | Eroarea de pas | | E_p |
| 23 | Eroarea cumulată de pas | | E_{cp} |

Indiferent de forma corpului piesei respective, toleranțele vor fi cele indicate în tabelul 3.10. Pentru notații vezi fig. 3.15.

Toleranțele pentru danturile conice și hipoide sînt standardizate la noi în țară prin STAS 6273—81. Întrucît în acest standard există o departajare foarte detaliată a valorilor prescrise, utilizarea lor presupune atît experiență cît și o aparatură de control adecvată. Pentru cazul cînd nu există acestea, se pot folosi orientativ valorile din tabelul 3.11 prescrise pentru două clase de precizie și care ne pot orienta și asupra domeniului de toleranțe care trebuie abordat. Aceste două clase sînt :

Execuție normală — pentru viteze periferice mai mici de 10 m/sec.

Execuție precisă—pentru viteze periferice mai mici de 10 m/sec.

Tabelul 3.10. Toleranțele corpului roșilor angrenajului hipoid

| 1 | Modul normal mediu | m_n | 1...2 | 2...8 | >8 |
|---|--|----------|--------------------|----------------|----------------|
| 2 | Diametrul exterior | d_a | 0 -80 | 0 -150 | 0 -250 |
| 3 | Distanța între planul cercului de cap și baza de așezare | L_a | 0 -50 | 0 -80 | 0 -100 |
| 4 | Unghiul conului capului | δ | +20' -10' | +10' -5' | +5' -3' |
| 5 | Unghiul conului spatelui | — | $\pm 1^\circ$ 0 | $\pm 30'$ 0 | $\pm 15'$ 0 |
| 6 | Lățimea dintelui | b | -150 | -200 | -250 |

Toleranțele sînt date în micrometri pentru dimensiunile liniare.

Bătaia radială a danturii este determinată în principal de montarea piesei de prelucrat pe mașină, respectiv de dispozitive, iar eroarea de pas se datorește, îndeosebi, gradului de uzură a mașinii de danturat.

Întrucît angrenajele hipoide sînt angrenaje foarte solicitate, pentru execuția lor se utilizează, de regulă, oțeluri aliate.

Dantura atît la pinion cît și la roată se cementează.

Duritatea stratului cementat pe dinte se recomandă a fi, la pinion, HRC 60...62, iar la roată, HRC 58...60.

Ungerea lichidă, la care între suprafețele în contact există un film de ulei ce împiedică virfurile asperităților suprafețelor să vină în contact, nu poate fi obținută pe toate zonele flancurilor danturii hipoide.

Străpungerile peliculei de ungere iau naștere ca urmare a rugozității suprafețelor, a erorilor de fabricație și a condițiilor diferite de viteză și de curbură de pe flancurile dinților și, bineînțeles, datorită și solicitărilor care, în acest caz, sînt presiunile de contact și forța de frecare de alunecare tangențială la suprafața flancurilor.

Cînd forța de contact dintre suprafețe este atît de puternică încît straturile de lubrifiant sînt străpunse și vin în contact suprafețele metalice, se uzează întîi stratul de oxizi care, avînd rezistența la forfecare mai mică decît metalul, se comportă în primul moment ca un lubrefiant, apoi vin în contact suprafețele metalice (curate) după care se produce griparea. Pentru a se împiedica griparea se reproduce fenomenul descris prin folosirea la ungerea angrenajelor hipoide a uleiurilor aditivate. Aditivii din compoziția acestor uleiuri pot fi combinații de plumb, de sulf, de clor sau

Tabelul 3.11. Toleranțele danturii hipoid

| Clasa de precizie | Modulul | Bătaia radială | | | | | Eroarea de pas | | | | | Eroarea cumulată de pas | | | | |
|-------------------|---------|-----------------------|----|-----|-----|-----|-----------------------|----|-----|-----|-----|-------------------------|----|-----|-----|-----|
| | | Diametrul de divizare | | | | | Diametrul de divizare | | | | | Diametrul de divizare | | | | |
| | | 40 | 75 | 150 | 300 | 600 | 40 | 75 | 150 | 300 | 600 | 40 | 75 | 150 | 300 | 600 |
| Execuție normală | 1,5 | 30 | 35 | 35 | 40 | — | 12 | 12 | 12 | 15 | — | — | — | — | — | — |
| | 3 | — | 35 | 35 | 40 | 50 | — | 12 | 12 | 15 | 17 | — | — | — | — | — |
| | 6 | — | — | 35 | 40 | 50 | — | — | 12 | 15 | 17 | — | — | — | — | — |
| | 12 | — | — | — | 40 | 50 | — | — | — | 15 | 17 | — | — | — | — | — |
| Execuție precisă | 1,5 | 20 | 20 | 20 | 25 | — | 8 | 8 | 8 | 10 | — | 25 | 25 | 25 | 25 | — |
| | 3 | — | 20 | 20 | 25 | 35 | — | 8 | 8 | 10 | 12 | — | 25 | 25 | 25 | 30 |
| | 6 | — | — | 20 | 25 | 35 | — | — | 8 | 10 | 12 | — | — | 25 | 25 | 30 |

Toleranțele din acest tabel sînt date în micrometri.

de fosfor, solubile în ulei. Sub influența căldurii produse de frecare, aditivii reacționează chimic cu suprafața metalică. Produsele de reacție care iau naștere la locul de frecare (clorați sau sulfatați metalici) sînt materiale care formează stratul de protecție. Urmare a rezistenței acestui strat la forfecare mai mică decît a metalului, forța de frecare se reduce și se împiedică griparea suprafețelor. Continua înoire a stratului de protecție se face pe baza unei uzuri continue, bineînțeles însă foarte redusă.

Produsele de reacție care se așază pe suprafață ca o peliculă de ungere nu au rezistență mecanică și sînt evacuate de la locul de generare atunci cînd apare frecarea, dizolvîndu-se în ulei și formîndu-se din nou sub efectul virfurilor de temperatură. Ca urmare a acestei uzuri fine continue, presiunile superficiale și temperaturile mari care iau naștere în punctele de contact ale suprafețelor se distribuie treptat pe o suprafață mai mare prin uzurile de material în locul presiunilor maxime. Acest proces care are loc în prima perioadă de rodaj, denumit uzură de rodaj, duce la o adaptare a formei flancurilor avînd ca urmare formarea petei de contact în condițiile date de funcționare.

O îmbunătățire a proprietăților suprafețelor în vederea rodajului se poate obține printr-un tratament prealabil al flancurilor dinților cu fosfați, straturile depuse prin fosfatare umplînd depresiunile rugozității. Ca și substanțele formate de uleiurile aditivate, aceste straturi au o rezistență la forfecare mai redusă decît metalul, datorită cărui fapt frecarea se micșorează. Deși stratul de fosfatare dispăre după un timp scurt, cu excepția resturilor rămase în depresiuni și rizuri, ele ajută în mod avantajos la formarea petei de contact, dar nu exclud folosirea uleiurilor aditivate care asigură prin același proces și o funcționare normală.

La proiectarea angrenajului hipoid și a carcasei trebuie să se țină seama de influențele dinamice asupra comportării uleiului de ungere. Trebuie să se evite interstițiile înguste ce provoacă formarea de vîrtejuri și să nu se producă stagnări ale uleiului. Felul ungerii depinde de viteza periferică a roții.

Pentru viteze periferice de pînă la 12 m/sec este în general suficientă ungerea prin barbotare.

În acest caz nivelul uleiului trebuie să acopere suprafețele flancurilor dinților roții la partea inferioară astfel ca puterea pierdută prin barbotare să fie redusă.

Un nivel prea ridicat al uleiului poate duce la pierderi considerabile de putere prin formarea de vîrtejuri cu creșteri corespunzătoare de temperatură.

Dezavantajos în acest caz este și faptul că la pornire, la un sens de rotație, abia după aproximativ 3/4 de rotație a roții ajunge ulei în zona de angrenare.

La viteze mai mari și puteri transmise mari este necesară ungerea sub presiune. Jetul de ulei trebuie să fie dirijat astfel ca să parcurgă la ambele roți întreaga lățime a dinților.

Dacă numai o parte din uleiul ejectat ajunge în zona de angrenare iar cealaltă este evacuată prematur se poate ajunge la temperaturi superficiale excesive la locul de contact al dinților, deși creșterea de temperatură a uleiului în baie se face în limite normale.

Pornirea ungerii trebuie să se facă anterior rotației angrenajului pentru a se exclude perioada de mers uscat.

În toate cazurile, la angrenajele hipoide se recomandă folosirea uleiurilor aditivitate.

Indicații privind aceste uleiuri sînt date în tabelul 3.12.

Tabelul 3.12. Uleiuri recomandate pentru ungerea angrenajelor conice și hipoide

| Simbolul | STAS | Viscozitatea la 100 °C | | Indice de viscozitate | Compoziția | Destinația |
|-------------------------------|-------------|------------------------|-----------|-----------------------|---|--|
| | | cSt | °E | | | |
| 1 | 2 | 3 | 4 | 5 | 6 | 7 |
| TIN 25 EP | 10588-76 | 21-26 | 3-3,5 | — | Uleiuri minerale rafinate cu adaos de aditivi de extremă presiune, antioxidant, anticoroziv, antiuzare și antispumant | Pentru ungerea reductoarelor industriale cilindrice, conice și hipoide care au viteze și sarcini moderate și cu șocuri. Temperatura maximă 80°C și 60°C cînd uleiul vine în contact cu aliaje de cupru |
| TIN 42 EP | | 37-45 | 5-5,9 | — | | |
| TIN 55 EP | | 50-57,5 | 5,5-7,6 | 60 | | |
| TIN 82 EP | | 82-90 | 10,8-11,8 | 60 | | |
| TIN 120 EP | | 125-140 | 16,5-18,4 | 60 | | |
| TIN 200 EP | | 200-220 | 26,3-28,9 | 70 | | |
| TIN 300 EP | | 260-320 | 34,2-42 | 70 | | |
| TIN 210 EPC | | 210-225 | 27,6-29,6 | 65 | | |
| Ulei pentru angrenaje hipoide | NID 1446-79 | 20-30 (100°C) | 3-4,5 | — | Ulei mineral rafinat cu adaos de sulf și aditiv depresant | Pentru reductoare hipoide și reductoare închise greu solicitate (diferențiale) |

| 1 | 2 | 3 | 4 | 5 | 6 | 7 |
|------------------------|----------|--------------------|---------|----|--|--|
| T 75 EP 1 | 10667-80 | 42-50 | 5,5-6,5 | 65 | Ulei mineral cu adaos de aditivi de extremă presiune | Pentru ungerea angrenajelor din cutii de viteze tractoare |
| T 80 EP 2 T 90 EP 2 | 8960-79 | 10-11,5 16,5-18 | | 85 | Ulei mineral cu aditivi de extremă presiune pe bază de compuși clorurați anticorozivi, antioxidant, depresant și antispumant | Pentru ungerea transmisiei autovehiculelor (cutii de viteze și diferențiale) |

3.9. Calculul de verificare a rezistenței angrenajului hipoid

Solicitările complexe ale angrenajului hipoid fac ca un calcul de rezistență să fie în general dificil de realizat exact.

Din această cauză se preferă metode mai simple de verificare, care pot da o imagine rapidă asupra solicitării și pot constitui un ghid pentru proiectant în alegerea unei variante.

După cum s-a arătat anterior, caracteristică angrenajelor hipoide este prezența alunecării longitudinale între dinți, alunecare ce poate duce la apariția uzurii în lipsa unor măsuri adecvate.

Această influență a alunecării longitudinale se datorește faptului că ea se produce permanent cu valoare constantă pe întreaga lungime a dintelui, spre deosebire de angrenajele conice la care alunecarea se produce numai pe profilul transversal al dintelui, cu valori variabile, având mărimea maximă la intrarea și ieșirea dintelui din angrenare. Trebuie precizat că această alunecare transversală a profilelor există și la angrenajele hipoide și peste ea se suprapune alunecarea longitudinală.

Pentru a se împiedica apariția uzurii la angrenajele hipoide este necesar ca suprafața danturii să aibă o duritate ridicată și un grad de finisare a suprafeței active a dinților ridicat, respectiv o rugozitate redusă, iar pata de contact să aibă poziție și dimensiuni corecte, astfel ca, sub sarcină, în urma deformării, contactul să nu ajungă pe muchiile danturii.

Aceste condiții indică faptul că execuția angrenajelor hipoide trebuie să fie cât mai îngrijită și că dantura trebuie neapărat să fie rectificată sau rodată pe stand.

Chiar când dimensiunile angrenajului hipoid, duritatea, pata de contact și rugozitatea danturii sînt corecte, capacitatea angrenajului de a transmite efort este condiționată de existența lubrifiantului corespunzător.

În cazul cînd materialele utilizate și lubrifiantul sînt corespunzătoare, roțile dințate hipoide pot lucra un timp îndelungat fără a se ajunge la o uzură prea mare a flancurilor dinților.

Dacă suprafața dintelui nu este suficient de netedă, în procesul de angrenare se produce rodarea rugozităților.

De obicei acest proces se oprește în momentul cînd stratul de lubrifiant dintre profile are o grosime mai mare decît suma înălțimilor rugozității suprafețelor în contact.

Cu alte cuvinte și la roțile dințate hipoidale poate avea loc frecare lichidă între profilele dinților, dar, în prezent, nu există încă date suficiente cu privire la condițiile realizării frecării lichide.

Dacă toate condițiile enumerate anterior sînt îndeplinite, se poate calcula puterea transmisă de angrenajul hipoid cu formula

$$N = 0,03 b_2 C_m C_\epsilon C_n C_0, \quad (3.118)$$

formula determinată pe baza criteriilor de rezistență la uzură și unde notațiile au următoarele semnificații [24]:

N — puterea transmisă de angrenaj, în kW;

b_2 — lățimea danturii roții hipoidale, în mm;

C_m — coeficient depinzînd de materialul pinionului și al roții precum și de tratamentul termic aplicat (tabelul 3.13);

C_ϵ — coeficient care depinde de gradul de acoperire al danturii și se calculează cu formula

$$C_\epsilon = \sqrt{0,4(\epsilon_\alpha + \epsilon_\beta)}; \quad (3.119)$$

ϵ_α — gradul de acoperire realizat prin angrenarea profilelor (conform fig. 3.34);

ϵ_β — gradul de acoperire realizat prin înaintarea flancului ca urmare a existenței unghiului de înclinare la danturii, valoarea sa se determină din fig. 3.35 în funcție de unghiul de înclinare mediu al angrenajului hipoid calculat cu formula $\beta_{med} = 0,5(\beta_1 + \beta_2)$ și de raportul b_2/m_{te2} , [unde b_2 este lățimea roții, iar m_{te2} modulul frontal exterior];

Tabelul 3.13. Coeficienți pentru luarea în considerare a materialului și a tratamentului termic

| Roata | | | Pinion | | | C_m |
|--------------------------------|-----------|-----|--------------------------------|-----------|-----|-------|
| Material și trat. termic | Duritatea | | Material și trat. termic | Duritatea | | |
| | HB | HRC | | HB | HRC | |
| Fontă | — | — | Fontă | — | — | 0,3 |
| Fontă | — | — | Oțel | 160—200 | — | 0,3 |
| Fontă | — | — | Oțel călit | — | 50 | 0,4 |
| Fontă | — | — | Oțel cementat | — | 55 | 0,4 |
| Oțel îmbunătățit | 210—245 | — | Oțel îmbunătățit | 245—280 | — | 0,35 |
| Oțel îmbunătățit | 250—300 | — | Oțel cementat | — | 55 | 0,5 |
| Oțel îmbunătățit | 375—425 | — | Oțel îmbunătățit | 375—425 | — | 0,7 |
| Oțel călit | — | 50 | Oțel călit | — | 50 | 1,00 |
| Oțel călit | — | 50 | Oțel cementat | — | 55 | 1,00 |
| Oțel cementat | — | 55 | Oțel cementat | — | 55 | 1,00 |
| Oțel cementat | — | 58 | Oțel cementat | — | 58 | 1,33 |

C_n — coeficient care depinde de turația și de dimensiunile pinionului; se determină din fig. 3.36 în funcție de turația pinionului și de diametrul său echivalent redus, determinat cu formula $d_{1red} = d_{a2}(z_1/z_2)$, unde d_{a2} este diametrul exterior al roții;

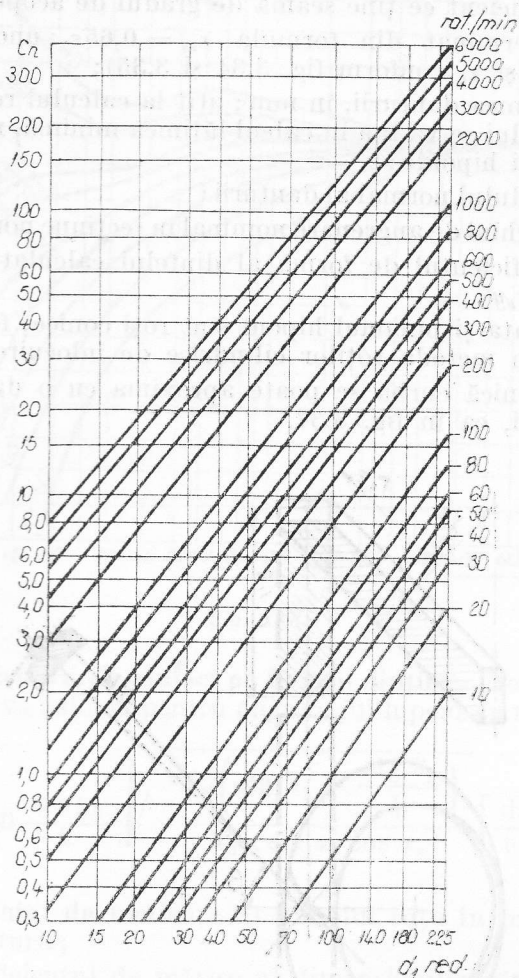


FIG. 3.36

C_0 — coeficient care depinde de calitatea ungerii și are următoarele valori: $C_0 = 1$, în cazul ungerii cu uleiuri aditivare speciale pentru angrenaje hipoide; $C_0 = 0,6$, în cazul ungerii cu uleiuri minerale obișnuite.

Calculul efortului de încovoiere la baza dinților. Determinarea efortului de încovoiere la baza dintelui se poate face cu formula

$$\sigma_i = \frac{100 P \cos^2 \beta k_p}{\lambda_{es} \pi y b m_n \cos \alpha_n} \left[\frac{\text{daN}}{\text{cm}^2} \right] \text{ în care,} \quad (3.120)$$

P este forța ce acționează la periferia roții sau a pinionului, determinată în daN (pet. 15 și 16 din tabelul 3.6);

- β — unghiul de inclinare al danturii în punctul mediu al roții sau pinionului;
 k_p — coeficientul distribuției neuniforme a sarcinii în lungul dintelui; se recomandă a se lua $k_p = 1,5$;
 $\lambda_{\varepsilon s}$ — coeficient ce ține seama de gradul de acoperire al danturii, determinat din formula $\lambda_{\varepsilon s} = 0,65\varepsilon$, unde $\varepsilon = \sqrt{\varepsilon_\alpha^2 + \varepsilon_\beta^2}$ (ε_α și ε_β conform fig. 3.34 și 3.35);
 b — lățimea danturii, în mm; atît la calculul roții cît și al pinionului se va lua în calcul lățimea minimă, respectiv lățimea roții hipoidice;
 m_n — modulul normal al danturii;
 α_n — unghiul de angrenare nominal în secțiune normală a danturii;
 y — coeficientul de formă al dintelui calculat cu relația $y = k_y y'$.

Întrucît roata și pinionul hipoid sînt roți conice, forma dintelui se aproximează prin metoda roților cilindrice de înlocuire.

Dantura conică curbă se poate aproxima cu o dantură cilindrică cu dinți înclinați, ca în fig. 3.37.

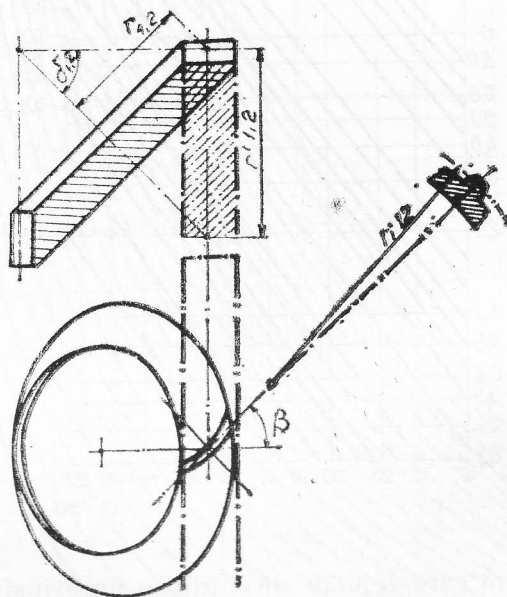


Fig. 3.37

În acest caz forma dintelui în secțiune normală corespunde numărului de dinți ideal al angrenajului cilindric cu dinți înclinați de înlocuire și se calculează cu formulele:

$$z'_1 = z_1 / \cos^3 \beta_1 \cos \delta_1, \text{ la pinion, și } z'_2 = z_2 / \cos^3 \beta_2 \cos \delta_2, \text{ la roată.}$$

Coeficientul de formă al dintelui y' se determină din fig. 3.38 pentru numărul de dinți z'_1 sau z'_2 și pentru diverse deplasări ale profilului, exprimate prin coeficientul de deplasare x_1 sau x_2 .

Prin coeficientul de formă al dintelui $y = k_y \cdot y'$, unde $k_y = 2,25m_n/h$, se ține seama de faptul că dintele este, în majoritatea cazurilor, scurtat. În această formulă $h = h_a + h_f$, conf. tabel 3.8, pct. 4, 5, 6 și 7.

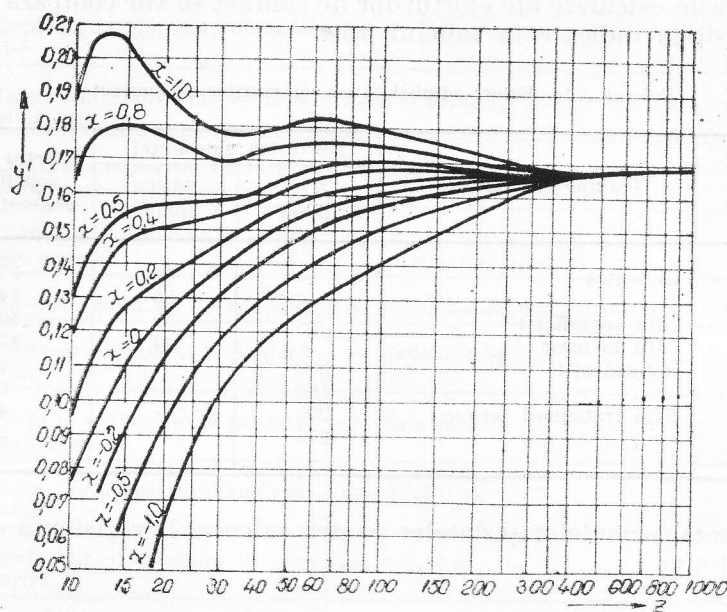


Fig. 3.38

Calculul solicitării de contact pe flancul dinților. Efortul la solicitarea de contact se va calcula pentru angrenajul hipoid cu relația

$$\sigma_g = 6050 \frac{\cos \beta_2}{k} \sqrt{\frac{P_2 \left(\operatorname{ctg} \delta_2 + \frac{\operatorname{ctg} \delta_1}{k} \right)}{R_2 b_0 \sin \alpha_n \cos \alpha_n}} \left[\frac{\text{daN}}{\text{cm}^2} \right], \quad (3.121)$$

în care

- β_2 — unghiul de inclinare al dintelui roții în punctul mediu al danturii;
- k — coeficientul de mărire al dimensiunilor pinionului;
- P_2 — forța ce acționează la periferia roții, în daN;
- δ_2 — unghiul la vârful conului de referință al roții;
- δ_1 — unghiul la vârful conului de referință al pinionului;
- R_2 — lungimea generatoarei medii a conului de referință al roții, în mm;
- b_0 — coeficient ce se determină în funcție de lățimea roții și de gradul de acoperire după cum urmează: $b_0 = 2 b_2 \varepsilon_x \sqrt{\varepsilon - 1/\varepsilon^2}$, pentru $\varepsilon < 2$, și $b_0 = b_2 \varepsilon_x / \varepsilon$, pentru $\varepsilon > 2$.
- b_2 — lățimea danturii roții, în mm;
- ε — grad de acoperire: $\varepsilon = \sqrt{\varepsilon_x^2 + \varepsilon_y^2}$, unde ε_x și ε_y se determină ca și în cazurile precedente.

Caracteristica mecanică principală a materialului care determină rezistența la eforturile de contact este duritatea suprafețelor active ale danturii.

Valorile calculate ale eforturilor de contact se vor compara cu valorile admisibile indicate în tabelul 3.14.

Tabelul 3.14. Valori admisibile ale eforturilor de contact

| Materialul | Tratamentul termic | Duritatea suprafeței | | Efortul admis la sollicitarea de contact, daN/cm ² |
|------------|-----------------------|----------------------|--------------|---|
| | | HB minim | HRC minim | |
| Oțel | Cementat | — | 60 | 17500 |
| " | " | — | 55 | 14000 |
| " | Călit superficial | — | 50 | 13300 |
| " | Călit în masă | — | 44 | 13000 |
| " | Îmbunătățit | 300 | — | 9500 |
| " | " | 180 | — | 6600 |
| Fontă | Fără tratament termic | 200 | — | 4500 |
| " | " | 175 | — | 3500 |

Sinteza formulelor și datelor pentru calculul la rezistență este dată în tabelul 3.15.

Tabelul 3.15. Sinteza relațiilor de calcul pentru verificarea la rezistență a angrenajului hipoid

| Nr. crt. | Elementul de calculat | Formula de calcul |
|----------|--|---|
| 0 | 1 | 2 |
| 1 | Lățimea danturii roții hipoide | b_2 (tabelul 3.8) |
| 2 | Coefficientul materialului și al tratamentului termic | C_m (tabelul 3.13) |
| 3 | Unghiul de înclinare al danturii roții în punctul mediu | β_2 (tabelul 3.6) |
| 4 | Unghiul de înclinare al danturii pinionului în punctul mediu | β_1 (tabelul 3.6) |
| 5 | Unghiul mediu de înclinare al danturii | $\beta_{med} = 0,5(\beta_1 + \beta_2)$ |
| 6 | Modulul frontal exterior al danturii roții | $m_{te2} = (m_n / \cos \beta_2) \cdot (R_{e2} / R_2)$ |
| 7 | Raportul lățime dantură modul frontal exterior | $k_b = b_2 / m_{te2}$ |
| 8 | Gradul de acoperire prin înaintarea flancului | ε_β (fig. 3.35) |
| 9 | Gradul de acoperire prin angrenarea profilelor | ε_α (fig. 3.34) |

Tabelul 3.15 (continuare)

| 0 | 1 | 2 |
|----|--|--|
| 10 | Coeficientul gradului de acoperire | $C_\varepsilon = \sqrt{0,4(\varepsilon_\alpha + \varepsilon_\beta)}$ |
| 11 | Diametrul echivalent redus al pinionului | $d_{1red} = d_{a2} z_1/z_2$ |
| 12 | Coeficient depinzând de turația și dimensiunile pinionului | C_n (fig. 3.36) |
| 13 | Coeficient caracterizând calitatea ungerii | C_0 1 — ulei aditivat 0,6 — ulei obișnuit |
| 14 | Puterea transmisă de angrenaj | $N = 0,03 b_2 C_m C_\varepsilon C_n C_0$ [kW] |
| 15 | Forța ce acționează la periferia roții | P_2 (tabelul 3.6) |
| 16 | Forța ce acționează la periferia pinionului | P_1 (tabelul 3.6) |
| 17 | Gradul de acoperire al angrenajului | $\varepsilon = \sqrt{\varepsilon_\alpha^2 + \varepsilon_\beta^2}$ |
| 18 | Coeficient al gradului de acoperire | $\lambda_{\varepsilon\delta} = 0,65 \varepsilon$ |
| 19 | Modulul normal al angrenajului hipoid | m_n (tabelul 3.8) |
| 20 | Unghiul de angrenare nominal în secțiunea normală a danturii | α_n (datele inițiale) |
| 21 | Numărul ideal de dinți al roții cilindrice de înlocuire a roții | $z'_2 = z_2/\cos^3 \beta_2 \cos \delta_2$ |
| 22 | Numărul ideal de dinți al roții cilindrice de înlocuire a pinionului | $z'_1 = z_1/\cos^3 \beta_1 \cos \delta_1$ |
| 23 | Coeficientul de formă al danturii cilindrice de înlocuire pinion | y'_1 (fig. 3.38) |
| 24 | Coeficientul de formă al danturii cilindrice de înlocuire roată | y'_2 (fig. 3.38) |
| 25 | Înălțimea capului dintelui la roată | h_{a2} (tabelul 3.8) |
| 26 | Înălțimea piciorului dintelui la roată | h_{f2} (tabelul 3.8) |
| 27 | Înălțimea dintelui la roată | $h = h_{a2} + h_{f2}$ |
| 28 | Înălțimea capului dintelui la pinion | h_{a1} (tabelul 3.8) |
| 29 | Înălțimea piciorului dintelui la pinion | h_{f1} (tabelul 3.8) |

Caracteristica mecanică principală a materialului care determină rezistența la eforturile de contact este duritatea suprafețelor active ale danturii.

Valorile calculate ale eforturilor de contact se vor compara cu valorile admisibile indicate în tabelul 3.14.

Tabelul 3.14. Valori admisibile ale eforturilor de contact

| Materialul | Tratamentul termic | Duritatea suprafeței | | Efortul admis la solicitarea de contact, daN/cm ² |
|------------|-----------------------|----------------------|-----------|--|
| | | HB minim | HRC minim | |
| Oțel | Cementat | — | 60 | 17500 |
| " | " | — | 55 | 14000 |
| " | Călit superficial | — | 50 | 13300 |
| " | Călit în masă | — | 44 | 13000 |
| " | Îmbunătățit | 300 | — | 9500 |
| " | " | 180 | — | 6600 |
| Fontă | Fără tratament termic | 200 | — | 4500 |
| " | " | 175 | — | 3500 |

Sinteza formulelor și datelor pentru calculul la rezistență este dată în tabelul 3.15.

Tabelul 3.15. Sinteza relațiilor de calcul pentru verificarea la rezistență a angrenajului hipoid

| Nr. crt. | Elementul de calculat | Formula de calcul |
|----------|--|---|
| 0 | 1 | 2 |
| 1 | Lățimea danturii roții hipoide | b_2 (tabelul 3.8) |
| 2 | Coeeficientul materialului și al tratamentului termic | C_m (tabelul 3.13) |
| 3 | Unghiul de înclinare al danturii roții în punctul mediu | β_2 (tabelul 3.6) |
| 4 | Unghiul de înclinare al danturii pinionului în punctul mediu | β_1 (tabelul 3.6) |
| 5 | Unghiul mediu de înclinare al danturii | $\beta_{med} = 0,5(\beta_1 + \beta_2)$ |
| 6 | Modulul frontal exterior al danturii roții | $m_{te2} = (m_n / \cos \beta_2) \cdot (R_{e2} / R_2)$ |
| 7 | Raportul lățime dantură modul frontal exterior | $k_b = b_2 / m_{te2}$ |
| 8 | Gradul de acoperire prin înaintarea flancului | ε_β (fig. 3.35) |
| 9 | Gradul de acoperire prin angrenarea profilelor | ε_α (fig. 3.34) |

| 0 | 1 | 2 |
|----|---|--|
| 30 | Înălțimea dintelui la pinion | $h = h_{a1} + h_{f1}$ |
| 31 | Coeficientul de scurtare al dintelui | $k_y = 2,25 m_n / h$ |
| 32 | Coeficientul de formă al dintelui roții | $y_2 = k_y \cdot y_2'$ |
| 33 | Coeficientul de formă al dintelui pinion | $y_1 = k_y \cdot y_1'$ |
| 34 | Efortul de încovoiere la baza dintelui roții | $\sigma_{i2} = \frac{100 P_2 \cos^2 \beta_2 k_p}{\lambda_{\varepsilon} \pi y_2 b_2 m_n \cos \alpha_n} \left[\frac{\text{daN}}{\text{cm}^2} \right]$ |
| 35 | Efortul de încovoiere la baza dintelui pinionului | $\sigma_{i1} = \frac{100 P_1 \cos^2 \beta_1 k_p}{\lambda_{\varepsilon} \pi y_1 b_1 m_n \cos \alpha_n} \left[\frac{\text{daN}}{\text{cm}^2} \right]$ |
| 36 | Coeficientul de creștere al dimensiunilor pinionului | k (datele inițiale) |
| 37 | Coeficient dependent de gradul de acoperire și lățimea danturii | $b_0 = 2b_2 \varepsilon_\alpha / \varepsilon - 1/\varepsilon^2$, pentru $\varepsilon < 2$ $b_0 = b_2 \varepsilon_\alpha / \varepsilon$, pentru $\varepsilon > 2$ |
| 38 | Efortul la solicitarea de contact | $\sigma_g = 6050 \frac{\cos \beta_2}{k} \sqrt{\frac{P_2 \left(\text{ctg } \delta_2 + \frac{\text{ctg } \delta_1}{k} \right)}{R_2 b_0 \sin \alpha_n \cos \alpha_n}} \left[\frac{\text{daN}}{\text{cm}^2} \right]$ |

3.10. Exemplu de calcul al angrenajului hipoid

3.10.1. Calcule pentru dimensionarea angrenajului

Angrenaj hipoid cu dantură în arc de cerc cu înălțimea dintelui constantă.

Elemente cunoscute inițial:

| | |
|----------------------------------|----------------------------------|
| — unghiul între axe | $\Sigma = 90^\circ$; |
| — numărul de dinți al pinionului | $z_1 = 9$; |
| — numărul de dinți al roții | $z_2 = 90$; |
| — raza medie a roții hipoide | $r_2 = 226$; |
| — deplasarea axelor | $a = 76,5$; |
| — unghiul de angrenare | $\alpha_n = 20^\circ$; |
| — cuplul rezistent la roată | $M_r = 140\,000 \text{ daNmm}$. |

Elemente determinate în funcție de datele inițiale:

- raportul de transmitere $i = z_2/z_1 = 90/9 = 10$;
- raportul $a/r_2 = 76,5/226 = 0,339$, $0,339 < 0,5$, vezi tabel 3.3;

- la prima rulare a programului de calcul se determină variantele angrenajului pentru $k = 1,3; 1,35; 1,4; 1,45$ și $1,5$, conform tabelului 3.4 și tabelului 3.6, etapa I-a de calcul;
- unghiul la vârful conului de divizare se admite, la roată, din grad în grad, de la $\delta_{2min} = 65^\circ$ la $\delta_{2max} = 82^\circ$, vezi tabelul 3.5;
- după sensul de rotație în ansamblu și sensul de înclinare a danturii (stînga la pinion și dreapta la roată), forțele se vor determina conform fig. 3.17 și tabelului 3.7, utilizînd grupa I-a de formule;
- se precizează că la mașina de danturat există cuțite simetrice ($N = 0$) cu unghiul de presiune $\alpha_n = 20^\circ$ și capete portecuite cu diametrele $D_{CFC} = 6''; 9''; 12''$;
- varianta de calcul selecționată este prezentată în tabelele 3.16; 3.17; 3.18 și 3.19.

Tabelul 3.16. Variantă de calcul pentru $k = 1,35$ Raza medie a roții $r_2 = 226$ mm. Raza medie a pinionului $r_1 = 30,51$ mm.

| δ_2 | ϵ | η | δ_1 | μ | β_2 | β_1 |
|------------|------------|---------|------------|------------|-----------|-----------|
| grade | grade | grade | grade | grade | grade | grade |
| 73,000 | 18,97033 | 5,67579 | 16,05096 | 19,77122 | 30,63269 | 50,40392 |
| 74,000 | 19,01893 | 5,33849 | 15,10511 | 19,72724 | 30,71897 | 50,44622 |
| 75,000 | 19,06731 | 5,00254 | 14,15933 | 19,68899 | 30,79415 | 50,48314 |
| 76,000 | 19,11547 | 4,66775 | 13,21363 | 19,65640 | 30,85829 | 50,51469 |
| 77,000 | 19,16347 | 4,33393 | 12,26807 | 19,62946 | 30,91139 | 50,54085 |
| 78,000 | 19,21133 | 4,00689 | 11,32263 | 19,60810 | 30,95351 | 50,56161 |
| 79,000 | 19,25908 | 3,66847 | 10,37738 | 19,59232 | 30,98469 | 50,57700 |
| 80,000 | 19,30673 | 3,33647 | 9,43234 | 19,58207 | 31,00492 | 50,58700 |
| 81,000 | 19,35435 | 3,00470 | 8,48752 | 19,57735 | 31,01424 | 50,59161 |
| 82,000 | 19,40193 | 2,67301 | 7,54298 | 19,57817 | 31,01264 | 50,59081 |
| R_1 | R_2 | U_2 | U_1 | Δz | ρ | |
| mm | mm | mm | mm | grade | mm | |
| 110,347 | 236,326 | 30,330 | 213,725 | -2,51791 | 56,027 | |
| 117,080 | 235,108 | 30,378 | 213,663 | -2,00616 | 62,708 | |
| 124,724 | 233,972 | 30,394 | 213,601 | -1,49220 | 71,289 | |
| 133,471 | 232,919 | 30,409 | 213,538 | -0,97629 | 82,697 | |
| 143,586 | 231,945 | 30,423 | 213,476 | -0,45869 | 98,581 | |
| 155,399 | 231,049 | 30,436 | 213,414 | 0,06034 | 122,186 | |
| 169,377 | 230,230 | 30,447 | 213,352 | 0,58053 | 160,897 | |
| 186,170 | 229,486 | 30,458 | 213,290 | 1,10163 | 235,894 | |
| 206,716 | 228,817 | 30,468 | 213,228 | 1,62340 | 442,802 | |
| 232,422 | 228,221 | 30,477 | 213,168 | 2,14556 | 3638,525 | |

Analizînd rezultatele calculilor se stabilesc următoarele :

1. Domeniul care prezintă interes este $\Delta z = 0$, dată fiind existența cuțitelor simetrice la mașina de danturat.

2. La creșterea coeficientului k , crește mult unghiul de înclinare a danturii pinionului β_1 . Se admite $\beta_1 \approx 50^\circ$ (vezi cap. 3.5), ceea ce localizează mărimea coeficientului k între valorile 1,35 și 1,4, conform tabelelor 3.16 și 3.17.

3. Capul portcuțite, conform tabelelor 3.16 și 3.17, este necesar să realizeze raza de curbura $\rho = 122,188 \dots 173,470$. Aceste valori corespund unui cap portcuțite cu diametrul nominal $D_{CPC} = 12''$, respectiv $r_{CPC} = 152,4$.

Conform celor indicate anterior, deoarece $i > 3$, raza roții plane poate fi chiar lungimea generatoarei medii a roții hipoide, respectiv $r_0 = R_2$, prelucrarea roții făcându-se deci fără deplasare hipoidă. Ținem seama de relația $0,7r_0 < r_{CPC} < 1,5r_0$ (cap. 3.7). Deoarece $R_2 = 231,049 \dots 230,23$, conform tabelelor 3.16 și 3.17 este necesar un cap portcuțite de rază $0,7 \cdot 231 < r_{CPC} < 1,5 \cdot 231$, respectiv $162 < r_{CPC} < 348$. Se vede din tabelele de calcule 3.16 și 3.17 că raza de curbura calculată ($\rho = 122,188 \dots 173,470$) este cuprinsă parțial în acest domeniu.

Întrucît la mașina de danturat nu se dispune de un cap portcuțite mai mare de $12''$, soluția este folosirea acestuia. Se vede că admitînd $k = 1,37$ (tabelul 3.18), rezultă, la $\Delta\alpha \approx 0,4^\circ$, o rază de curbura $\rho \approx 152$, adică raza nominală a capului portcuțite cu diametrul de $12''$, la un unghi de înclinare a danturii pinionului $\beta_1 \approx 52^\circ$. Acest $k = 1,37$ este convenabil și din punct de vedere al forțelor ce acționează în angrenaj, valori mari pentru k ducînd la creșterea forțelor.

Efectuăm o nouă rulare pentru $k = 1,37$ la un domeniu $\delta_2 = 78,65^\circ$ $\delta_2 = 78,90^\circ$ din $0,01^\circ$ în $0,01^\circ$.

Rezultă din tabelul 3.19 că pentru $\delta_2 = 78,73^\circ$ avem raza de curbura $\rho = 152,39 = r_{CPC}$, $\Delta\alpha = 0,42621^\circ = 0^\circ 25' 34''$ și un unghi de înclinare a danturii pinionului $\beta_1 = 51,91981^\circ = 51^\circ 55' 11''$.

În raport cu relația $162 < r_{CPC} < 348$ se constată că sîntem în oarecare măsură sub limita recomandată, respectiv $r_{CPC}/r_0 = 152,4/230,44 = 0,65$.

Diferența fiind mică ($0,65$ față de $0,7$) nu constituie un impediment conform celor specificate anterior.

Pentru etapa II-a de calcul, datele inițiale stabilite prin calculul anterior sînt:

$$z_1 = 9; \quad \varepsilon = 19,23843^\circ; \quad \alpha_n = 20^\circ; \quad R_1 = 167,799; \quad R_2 = 230,444; \quad r_1 = 30,962; \quad \beta_1 = 51,91981^\circ; \quad \delta_1 = 10,63307^\circ; \quad \delta_2 = 78,73^\circ; \quad U_1 = 213,379; \quad U_2 = 30,895.$$

În continuare se stabilesc următoarele:

- raportul lățime roată, lungime generatoare medie $k_b = 0,247$;
- creșterea lungimii capului pinionului $\Delta b = 5,759$;
- coeficientul înălțimii capului dintelui $f_a = 0,8$;
- (în cazul de față s-a ales $f_a = 0,8$ în loc de $0,7$, după cum rezultă din tabelul 3.1, comparînd cu un angrenaj existent; de asemenea și celelalte valori k_b , Δb de ex. au fost alese pe același criteriu);
- coeficientul deplasării profilului $x_r = 0,5$;
- coeficientul jocului la piciorul danturii $c'_n = 0,25$;
- distanța de la planul cercului mediu de referință la baza de așezare a roții $H_2 = 32$;
- distanța de la planul cercului mediu de divizare la baza de așezare a pinionului $H_1 = 50$.

Rezultatele calculelor din etapa II-a sînt redată în tabelul 3.20. Angrenajul hipoid calculat este prezentat în fig. 3.39.

| 0 | 1 | 2 |
|----|---|-------------------|
| 16 | Distanța de la suprafața de așezare roată la virful interior al danturii $N_2 = 27,678 + 57 \cos 78,73^\circ$ | $N_2 = 38,8$ |
| 17 | Distanța de la suprafața de așezare pinion la virful interior al danturii $N_1 = 17,5 + 66 \cos 10,63307^\circ$ | $N_1 = 82,3$ |
| 18 | Grosime dinte pe coarda constantă în punctul mediu în secțiune normală la roată $s_{nc2} = 4,243610(1,57 \cdot \cos^2 20^\circ - 0,5 \sin 2 \cdot 20^\circ)$ | $s_{nc2} = 4,522$ |
| 19 | Înălțimea la coarda constantă la dinte roată $h_{c2} = 1,273082 - 0,5 \cdot 4,522 \operatorname{tg} 20^\circ$ | $h_{c2} = 0,45$ |
| 20 | Grosime dinte pe coarda constantă în punctul mediu în secțiune normală pinion $s_{nc1} = 4,24361(1,57 \cdot \cos^2 20^\circ + 0,5 \sin 2 \cdot 20^\circ)$ | $s_{nc1} = 7,249$ |
| 21 | Înălțimea la coarda constantă la dinte pinion $h_{c1} = 5,516692 - 0,5 \cdot 7,24959 \operatorname{tg} 20^\circ$ | $h_{c1} = 4,197$ |

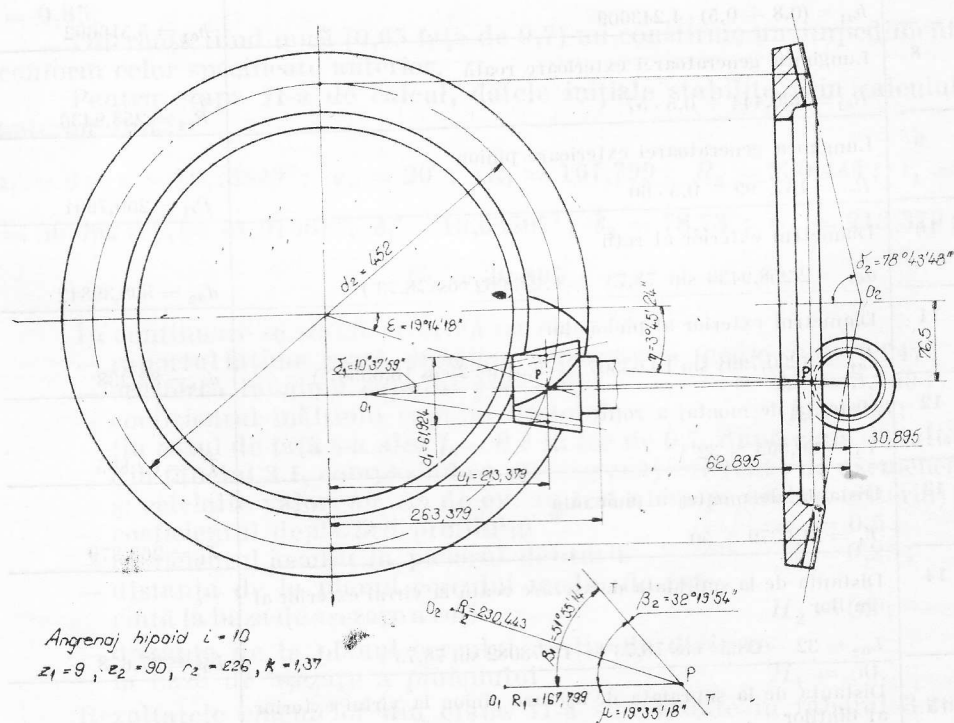


Fig. 3.39

Tabelul 3.21. Exemplu de calcul pentru verificarea la rezistență a angrenajului hipoid

| Nr. crt. | Denumirea elementului de calculat Formula de calcul | Valoarea |
|----------|---|--|
| 0 | 1 | 2 |
| 1 | Lățimea danturii roții hipoide | $b_2 = 57$ |
| 2 | Coefficientul materialului și al tratamentului termic | $C_m = 1,33$ |
| 3 | Unghiul de înclinare al danturii roții în punctul mediu | $\beta_2 = 32,33167^\circ$ |
| 4 | Unghiul de înclinare al danturii pinionului în punctul mediu | $\beta_1 = 51,91981^\circ$ |
| 5 | Unghiul mediu de înclinare a danturii $\beta_{med} = 0,5(51,91981^\circ + 32,33167^\circ)$ | $\beta_{med} = 42,12574^\circ$ |
| 6 | Modulul frontal exterior al danturii roții $m_{te2} = (4,243609/\cos 32,33167^\circ) \cdot (258,9436/230,444)$ | $m_{te2} = 5,64333$ |
| 7 | Raportul lățime dantură modul frontal exterior $k_b = 57/5,64333$ | $k_b = 10,1$ |
| 8 | Gradul de acoperire prin angrenarea profilelor ε_α | $\varepsilon_\alpha = 1,075$ |
| 9 | Gradul de acoperire prin înaintarea flancului ε_β | $\varepsilon_\beta = 3$ |
| 10 | Coefficientul gradului de acoperire $C_z = \sqrt{0,4(1,075 + 3)}$ | $C_z = 1,276$ |
| 11 | Diametrul echivalent redus al pinionului $d_{1red} = 508,39842 \cdot 9/90$ | $d_{1red} = 50,84$ |
| 12 | Coefficientul depinzind de turația și dimensiunile pinionului $n_1 = 200 \text{ rot/min}$ | $C_n = 3$ |
| 13 | Coefficient caracterizând calitatea ungerii 1) ului alitivat; 2) ului neralitivat | 1) $C_0 = 1,0$ 2) $C_0 = 0,6$ |
| 14 | Puterea transmisă de angrenaj, în kW, în funcție de calitatea ungerii $N_1 = 0,03 \cdot 57 \cdot 1,33 \cdot 1,276 \cdot 3 \cdot 1$ $N_2 = 0,03 \cdot 57 \cdot 1,33 \cdot 1,276 \cdot 3 \cdot 0,6$ | $N_1 = 8,7 \text{ kW}$ $N_2 = 5,2 \text{ kW}$ |
| 15 | Forța ce acționează la periferia roții | $P_2 = 619,47$ |
| 16 | Forța ce acționează la periferia pinionului | $P_1 = 452,17$ |
| 17 | Gradul de acoperire al angrenajului $\varepsilon = \sqrt{1,075^2 + 3^2}$ | $\varepsilon = 3,186$ |
| 18 | Coefficient al gradului de acoperire $\lambda_{\varepsilon\alpha} = 0,65 \cdot 3,186$ | $\lambda_{\varepsilon\alpha} = 2,07$ |
| 19 | Modulul normal al angrenajului hipoid | $m_n = 4,2436$ |
| 20 | Unghiul de angrenare nominal în secțiunea normală a danturii | $\alpha_n = 20^\circ$ |

| 0 | 1 | 2 |
|----|---|----------------------|
| 21 | Numărul ideal de dinți al roții cilindrice de înlocuire a roții conice hipoide $z'_2 = 90 / \cos^3 32,33167^\circ \cdot \cos 78,73^\circ$ | $z'_2 = 763,357$ |
| 22 | Numărul ideal de dinți al roții cilindrice de înlocuire al pinionului conic hipoid $z'_1 = 9 / \cos^3 51,91981^\circ \cdot \cos 10,63307^\circ$ | $z'_1 = 39,03$ |
| 23 | Coefficientul de formă al danturii cilindrice de înlocuire la pinion | $y'_1 = 0,16$ |
| 24 | Coefficientul de formă al danturii cilindrice de înlocuire la roată | $y'_2 = 0,168$ |
| 25 | Înălțimea capului dintelui la roată | $h_{a2} = 1,273$ |
| 26 | Înălțimea piciorului dintelui la roată | $h_{f2} = 6,577$ |
| 27 | Înălțimea dintelui la roată $h = 1,273 + 6,577$ | $h = 7,85$ |
| 28 | Înălțimea capului dintelui la pinion | $h_{a1} = 5,516$ |
| 29 | Înălțimea piciorului dintelui la pinion | $h_{f1} = 2,333$ |
| 30 | Înălțimea dintelui la pinion $h = 5,516 + 2,333$ | $h = 7,849$ |
| 31 | Coefficientul de scurtare al dintelui $k_y = 2,25 \cdot 4,243 / 7,85$ | $k_y = 1,21$ |
| 32 | Coefficientul de formă al dintelui roții $y_2 = 1,21 \cdot 0,168$ | $y_2 = 0,2$ |
| 33 | Coefficientul de formă al dintelui pinion $y_1 = 1,21 \cdot 0,16$ | $y_1 = 0,19$ |
| 34 | Efortul de încovoire la baza dintelui roții $\sigma_{i2} = \frac{100 \cdot 619,47 \cdot \cos^2 32,33167^\circ \cdot 1,5}{2,07 \cdot \pi \cdot 0,2 \cdot 57 \cdot 4,243 \cos 20^\circ} \left[\frac{\text{daN}}{\text{cm}^2} \right]$ | $\sigma_{i2} = 224$ |
| 35 | Efortul de încovoire la baza dintelui pinion $\sigma_{i1} = \frac{100 \cdot 452,17 \cos^2 51,9181^\circ \cdot 1,5}{2,07 \cdot \pi \cdot 0,19 \cdot 57 \cdot 4,243 \cdot \cos 20^\circ} \left[\frac{\text{daN}}{\text{cm}^2} \right]$ | $\sigma_{i1} = 92$ |
| 36 | Coefficientul de creștere al dimensiunilor pinionului | $k = 1,37$ |
| 37 | Coefficientul b_0 $\varepsilon = 3,186 \quad \varepsilon > 2$ $b_0 = 57 \cdot 1,075 / 3,186$ | $b_0 = 19,232$ |
| 38 | Efortul la solicitarea de contact $\sigma_g = \frac{6050 \cdot \cos 32,33167^\circ}{1,37} \sqrt{\frac{619,47 \left(\operatorname{ctg} 78,73^\circ + \frac{\operatorname{ctg} 10,63307^\circ}{1,37} \right)}{230,44 \cdot 19,23 \sin 20^\circ \cos 20^\circ}}$ | $\sigma_g = 4975,68$ |

Calculul de verificare a rezistenței angrenajului hipoid determinat conform calculelor din tabelele 3.19 și 3.20 și prezentat în fig. 3.39 este indicat în tabelul 3.21.

Analizând aceste calcule se observă că în ceea ce privește materialul roților componente ale angrenajului s-a folosit oțel cementat cu duriitate ridicată ($C_m = 1,33$).

În funcție de calitatea ungerii puterea posibil de transmis la același cuplu rezistent diferă foarte mult (pet. 14, tabelul 3.21), ceea ce indică influența mare a ungerii.

În cazul de față angrenajul prezentat face parte din componența unei mașini-unelte. Întrucât în această mașină uleiul de ungere este asigurat din circuitul acționării hidraulice, deci nu se folosește un ulei aditivat special pentru angrenaje hipoide, au fost admise în mod deliberat eforturile la solicitarea de contact mai mici (coeficienți de siguranță mai ridicați), asigurându-se în acest fel o funcționare normală.

3.10.2. Calcule pentru ilustrarea unor aspecte teoretice

În legătură cu angrenajul calculat este interesant de determinat randamentul acestui angrenaj hipoid, randament exprimat prin relația (3.60). Considerând coeficientul de frecare între flancurile dinților $\mu = 0,1$ (oțel pe oțel uns) rezultă :

$$f = \mu / \cos \alpha_n = 0,1 / \cos 20^\circ = 0,106 ;$$

$$\eta = \frac{1 + f \operatorname{tg} \beta_2}{1 + f \operatorname{tg} \beta_1} = \frac{1 + 0,106 \operatorname{tg} 32,33167^\circ}{1 + 0,106 \operatorname{tg} 51,91981^\circ} = \frac{1,0673}{1,1351} = 0,94.$$

În cazul cînd roata este conducătoare și pinionul condus, randamentul se exprimă prin relația (3.61) din care rezultă :

$$\eta = \frac{1 - 0,106 \operatorname{tg} 51,91981^\circ}{1 - 0,106 \operatorname{tg} 32,33167^\circ} = \frac{0,8647165}{0,9329076} = 0,927.$$

Se vede că angrenajul hipoid normal este un angrenaj reversibil, avînd și în această situație un randament foarte bun.

Acest lucru este bine cunoscut întrucît se știe că un automobil poate fi pornit ușor prin împingere, caz în care roata angrenajului hipoid al diferențialului devine conducătoare.

Revenind la calculul geometric, se poate stabili ce diferență există între dimensiunile angrenajului hipoid (fig. 3.39) și dimensiunile angrenajului hiperboloidal echivalent (angrenaj avînd aceleași axe de rotație și care realizează același raport de transmitere).

Folosind în relațiile (3.2), (3.8) și (3.14) datele angrenajului hipoid ($a = 76,5$; $\Sigma = 90^\circ$; $i = 10$), se poate scrie următorul sistem de ecuații :

$$\begin{cases} a_1 + a_2 = 76,5 ; \\ \beta_1 + \beta_2 = 90^\circ ; \\ (a_2/a_1) \cdot (\cos \beta_2 / \cos \beta_1) = 10 ; \\ a_1 / \operatorname{ctg} \beta_2 = a_2 / \operatorname{ctg} \beta_1 . \end{cases}$$

În cazul angrenajului hiperboloidal, unghiurile β_1 și β_2 reprezintă unghiurile de inclinare ale generatoarei de contact a hiperboloizilor axoide (v. fig. 3.1).

Întrucît, în cazul angrenajului hiperboloidal calculat, β_1 și β_2 sînt unghiuri complementare, rezultă că ultimele două ecuații pot fi scrise sub forma :

$$(a_2/a_1) \cdot (\sin \beta_1 / \cos \beta_1) = (a_2/a_1) \operatorname{tg} \beta_1 = 10,$$

$$a_1 \operatorname{tg} \beta_2 = a_2 \operatorname{tg} \beta_1 = a_1 (1/\operatorname{tg} \beta_1) \text{ respectiv } a_2/a_1 = 1/\operatorname{tg}^2 \beta_1.$$

Din aceste relații rezultă $\operatorname{tg} \beta_1 = 1/10$, $\beta_1 = 5,710593^\circ$ și $\beta_2 = 84,289407^\circ$, iar $a_2/a_1 = 1/\operatorname{tg}^2 \beta_1 = 100$.

Sistemul inițial, de ecuații, devine :

$$\begin{cases} a_1 + a_2 = 76,5; \\ a_2/a_1 = 100. \end{cases}$$

Rezolvînd sistemul rezultă : $a_1 = 0,7574257$ și $a_2 = 75,742574$.

Transpunînd aceste rezultate în fig. 3.40 avem următoarea situație : Dreptele I și II reprezintă axele angrenajului hiperboloidal.

Distanța $\overline{C_2C_1}$ reprezintă distanța minimă între axe $a = 76,5$, respectiv $\overline{C_1O'} = a_1 = 0,7574257$ și $\overline{C_2O'} = a_2 = 75,742574$.

Prin punctul O' trece dreapta Δ reprezentînd axa instantanee de rotație, respectiv generatoarea de contact a hiperboloizilor axoide a mișcării, deci locul geometric al polului angrenării.

Această dreaptă se proiectează pe planul axei I sub forma dreptei $\overline{C_1P_h}$, inclinată față de axa I cu unghiul β_1 .

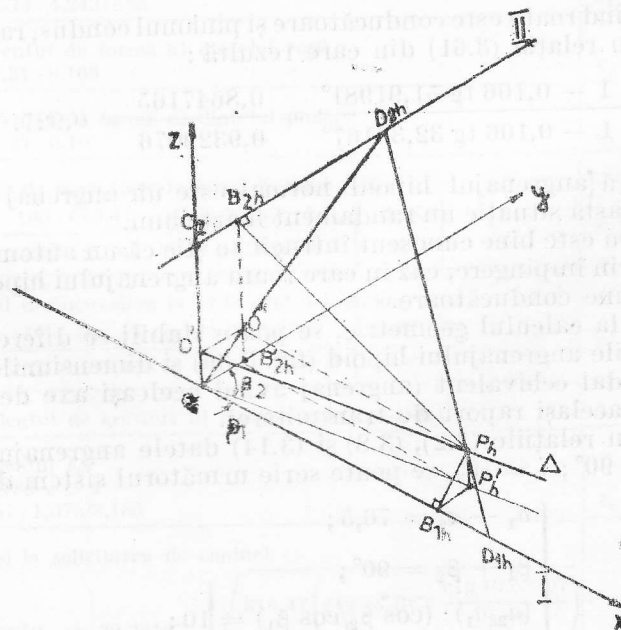


Fig. 3.40

Raza hiperboloidului, de pe axa I , într-un punct oarecare P_h este $\overline{B_{1h}P_h}$, segment perpendicular pe axa I .

Această rază se proiectează pe planul axei sub forma segmentului $\overline{B_{1h}P'_h}$, de asemeni perpendicular pe axa I .

Comparînd cu fig. 3.41 unde se reprezintă aceeași configurație pentru angrenajul hipoid, (v. și fig. 3.8), se observă că punctul mediu de contact P_H al angrenajului hipoid se găsește în planul perpendicular pe axa I la distanța $\overline{C_1B_{1H}} = U_1 = 213,379$ (v. tabelul 3.19).

Considerînd în fig. 3.40 segmentul $\overline{C_1B_{1h}} = U_1 = 213,379$, deci planul în care se ia în considerare angrenajul hiperboloidal, se poate determina diferența între raza hiperboloidului pinion și raza suprafeței conice de referință a pinionului hipoid.

Din fig. 3.40 se poate scrie :

$$\overline{C_1B_{1h}} \operatorname{tg} \beta_1 = \overline{B_{1h}P'_h} \text{ de unde } \overline{B_{1h}P'_h} = 213,379 (1/10) = 21,3379.$$

Deoarece $\overline{P_hP'_h} = \overline{C_1O'} = a_1 = 0,7574257$ se poate determina raza hiperboloidului $r_{1h} = \overline{B_{1h}P_h}$ în punctul respectiv : $r_{1h} = \sqrt{\overline{P'_hB_{1h}}^2 + \overline{P_hP'_h}^2} = \sqrt{21,3379^2 + 0,7574257^2} = 21,351338$.

Comparînd cu raza pinionului hipoid în punctul mediu de contact $r_{1H} = 30,962$ (tabelul 3.19) se vede că polul angrenării are distanța la axa I $r_{1h} = 21,351338$, deci angrenajul hipoid este un angrenaj extrapolar.

În ce privește raza roții hiperboloidale, în fig. 3.40, aceasta este $r_{2h} = \overline{B_{2h}P_h}$, segmentul $\overline{B_{2h}P_h}$ fiind perpendicular pe axa II .

Proiecția sa pe planul axei I este segmentul $\overline{B'_{2h}P'_h}$, paralel și egal cu segmentul $\overline{C_1B_{1h}}$.

Mărimea razei hiperboloidului în punctul P va fi :

$$r_{2h} = \sqrt{\overline{O'P'_h}^2 + \overline{O'P'_h}^2} = \sqrt{213,379^2 + 75,742574^2} = 226,423.$$

Mărimea acestei roți este comparabilă cu a roții hipoide, extrapolitatea angrenajului hipoid fiind determinată, în principal, de creșterea dimensiunilor pinionului, respectiv de mărimea coeficientului k .

Aceste suprafețe hiperboloidale, avînd în punctul P_h razele $r_{1h} = 21,351338$ și $r_{2h} = 226,423$, sînt și suprafețe de rostogolire ale angrenajului hipoid.

Precizăm că punctele avînd legătură cu suprafețele hiperboloidale au fost marcate cu indicele h , iar cele avînd legătură cu suprafețele conice de referință ale angrenajului hipoid, cu indicele H .

În fig. 3.40 stabilim sistemul de axe de coordonate xyz avînd originea în punctul C_1 .

Coordonatele diverselor puncte vor fi notate :

$x_{Ph} = 213,379$, $y_{Ph} = 21,3379$, $z_{Ph} = 0,7574257$, adică în notația curentă $P_h(213,379; 21,3379; 0,7574257)$ și $O'(0; 0; 0,7574257)$.

Ecuatia dreptei Δ care trece prin aceste două puncte va fi :

$$\frac{x - 0}{213,379 - 0} = \frac{y - 0}{21,3379 - 0} = \frac{z - 0,7574257}{0,7574257 - 0,7574257}, \text{ respectiv}$$

$$\frac{x}{213,379} = \frac{y}{21,3379} = \frac{z - 0,7574257}{0},$$

Observăm că axa II și punctul P_h determină un plan Q_{II} iar axa I și punctul P_h un alt plan Q_I .

Intersecția acestor două plane este dreapta $\overline{D_{2h}D_{1h}}$ pe care se găsește și punctul P_h .

Planul Q_{II} conține punctele C_2 ; B_{2h} și P_h de coordonate :

$$C_2(0; 0; 76,5), B_{2h}(0; 21,3379; 76,5) \text{ și } P_h(213,379; 21,3379; 0,7574257).$$

Ecuția planului Q_{II} va fi

$$\begin{vmatrix} x & y & z & 1 \\ 0 & 0 & 76,5 & 1 \\ 0 & 21,3379 & 76,5 & 1 \\ 213,379 & 21,3379 & 0,7574257 & 1 \end{vmatrix} = 0.$$

Rezolvînd determinantul rezultă :

$$x + 2,8171605z - 215,51277 = 0$$

Planul Q_I conține punctele C_1 , B_{1h} și P_h , de coordonate cunoscute :

$$C_1(0; 0; 0), B_{1h}(213,379; 0; 0) \text{ și } P_h(213,379; 21,3379; 0,7574257).$$

Ecuția planului Q_I va fi

$$\begin{vmatrix} x & y & z & 1 \\ 0 & 0 & 0 & 1 \\ 213,379 & 0 & 0 & 1 \\ 213,379 & 21,3379 & 0,7574257 & 1 \end{vmatrix} = 0.$$

Efectuînd calculele rezultă :

$$y - 28,171608z = 0.$$

Din aceste două ecuații se pot determina coordonatele punctelor :

$$D_{2h}(0; y_{D_{2h}}; 76,5) \text{ și } D_{1h}(x_{D_{1h}}; 0; 0),$$

$$y_{D_{2h}} = + 28,171608 \cdot 76,5 = 2155,128;$$

$$x_{D_{1h}} = 215,51277 - 2,8171605 \cdot 0 = 215,51277.$$

Cunoscînd coordonatele punctelor D_{2h} și D_{1h} , se scrie ecuația dreptei $\overline{D_{2h}D_{1h}}$:

$$\frac{x - 0}{215,51277 - 0} = \frac{y - 2155,128}{0 - 2155,128} = \frac{z - 76,5}{0 - 76,5}.$$

Această dreaptă rezultind din intersecția planelor Q_I și Q_{II} s-a afirmat că este perpendiculară pe dreapta Δ (vezi capit. 3.3), fapt ce permite verificarea corectitudinii calculelor efectuate.

Cunoscând ecuațiile acestor două drepte,

$$\frac{x}{213,379} = \frac{y}{21,3379} = \frac{z - 0,7574257}{0} \quad (\Delta),$$

$$\frac{x}{215,51277} = \frac{y - 2155,128}{-2155,128} = \frac{z - 76,5}{-76,5} \quad (D_{2H}D_{1H}),$$

condiția de perpendicularitate va fi :

$$213,379 \cdot 215,51277 + 21,3379 (-2155,128) + 0 (-76,5) = 0,$$

respectiv

$$2,13379 \cdot 2,1551277 \cdot 10^4 = 2,13379 \cdot 2,155128 \cdot 10^4,$$

deci relația care exprimă perpendicularitatea acestor două drepte este satisfăcută.

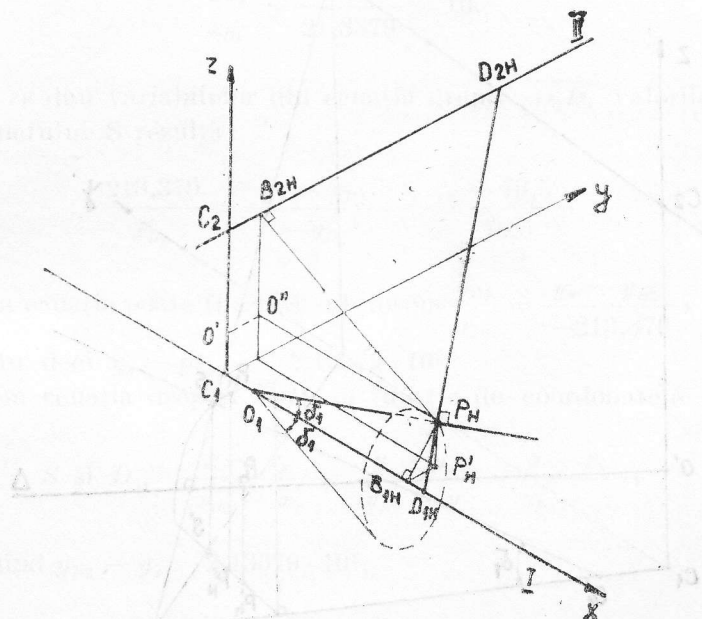


Fig. 3.41

Configurația geometrică determinată de angrenajul hipoid este reprezentată în fig. 3.41.

În această figură elementele cunoscute sînt :

distanța între axe $\overline{C_1C_2} = 76,5$;

distanța $\overline{C_1B_{1H}} = U_1 = 213,379$, (tabelul 3.19);

distanța $\overline{C_2B_{2H}} = U_2 = 30,895$, (tabelul 3.19);

raza pinionului hipoid $r_{1H} = \overline{B_{1H}P_{1H}} = 30,962$;

unghiul generatoarei conului de referință pinion $\delta_1 = 10,63307^\circ$ (tab. 3.19).

După cum s-a precizat anterior, dreapta Δ (fig. 3.40) este locul geometric al polului angrenării angrenajului hipoid.

În cap. 3.3. s-a arătat că mulțimea dreptelor axe de simetrie a mișcării, considerate în diverse puncte de pe dreapta Δ , constituie o suprafață riglată torsionată ce conține axele I și II .

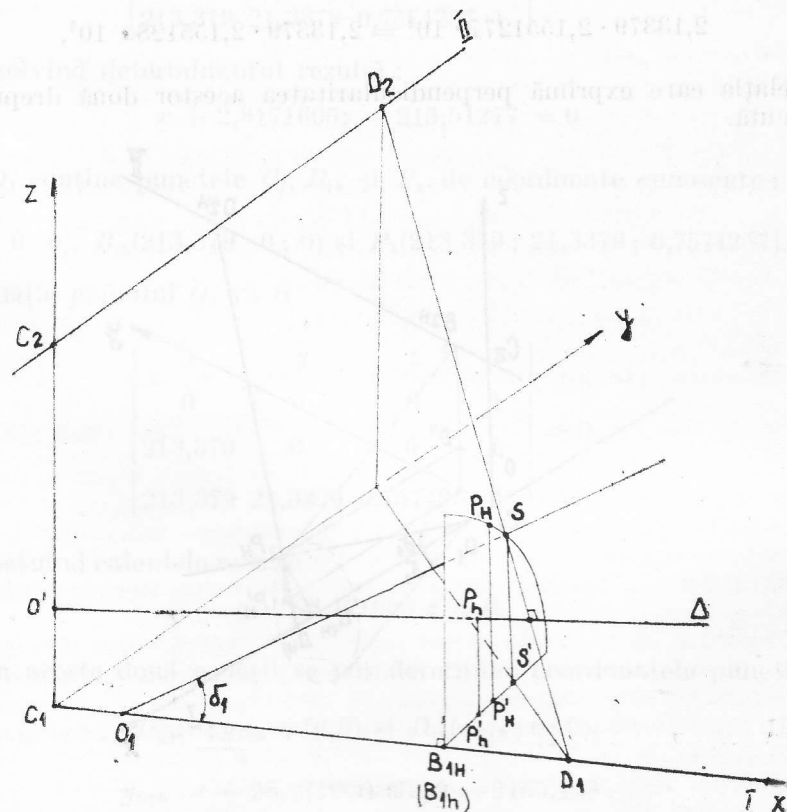


Fig. 3.42

Această dreaptă este admisă ca axă de simetrie a mișcării în angrenajul hipoid, respectiv axa cinematică.

Această dreaptă perpendiculară pe dreapta Δ întretaie axele I și II în punctele D_1 și D_2 din fig. 3.42.

Coordonatele punctelor D_2 și D_1 vor fi $D_2(0; y_{D2}; 76,5)$ și $D_1(x_{D1}; 0; 0)$.

Ecuatia dreptei ce trece prin punctele D_2 și D_1 va fi

$$\frac{x - x_{D2}}{x_{D1} - x_{D2}} = \frac{y - y_{D2}}{0 - y_{D2}} = \frac{z - z_{D2}}{0 - z_{D2}} \quad (\overline{D_2 D_1})$$

sau, înlocuind coordonatele cunoscute,

$$\frac{x - 0}{x_{D1} - 0} = \frac{y - y_{D2}}{0 - y_{D2}} = \frac{z - 76,5}{0 - 76,5} \quad (\overline{D_2 D_1}).$$

Această dreaptă este perpendiculară pe dreapta Δ deci există relația $213,379 x_{D1} - 21,3379 y_{D2} = 0$ de unde rezultă,

$$\frac{y_{D2}}{x_{D1}} = \frac{213,379}{21,3379} = 10.$$

Dacă se dau variabilelor din ecuația dreptei $\overline{D_2 D_1}$ valorile coordonatelor punctului S rezultă :

$$\frac{213,379}{x_{D1}} = \frac{y_s - y_{D2}}{-y_{D2}} = \frac{z_s - 76,5}{-76,5}.$$

Prima ecuație poate fi scrisă sub forma $\frac{y_{D2}}{x_{D1}} = \frac{y_s - y_{D2}}{-213,379}$, dar

$$y_{D2}/x_{D1} = 10 \text{ deci } y_s - y_{D2} = -2,13379 \cdot 10^3.$$

Scriem ecuația dreptei $\overline{D_2 D_1}$ în funcție de coordonatele punctelor

$$S \text{ și } D_2, \quad \frac{x - x_s}{x_{D2} - x_s} = \frac{y - y_s}{y_{D2} - y_s} = \frac{z - z_s}{z_{D2} - z_s},$$

sau înlocuind $y_{D2} - y_s = 2,13379 \cdot 10^3$,

$$\frac{x - 213,379}{0 - 213,379} = \frac{y - y_s}{2,13379 \cdot 10^3} = \frac{z - z_s}{76,5 - z_s}.$$

Dându-se variabilelor din aceste ecuații valorile coordonatelor punctului D_1 rezultă :

$$\frac{x_{D1} - 213,379}{-213,379} = \frac{0 - y_s}{2,13379 \cdot 10^3} = \frac{0 - z_s}{76,5 - z_s},$$

de unde $-y_s(76,5 - z_s) = -2,13379 \cdot 10^3 z_s$.

Între coordonatele y_s și z_s mai există relația $y_s^2 + z_s^2 = 30,962^2$, unde 30,962 este raza cercului mediu de referință al pinionului hipoid (fig. 3.42).

Aceste două relații formează un sistem de două ecuații cu două necunoscute :

$$\begin{cases} -y_s(76,5 - z_s) = -2,13379 \cdot 10^3 z_s \\ y_s^2 + z_s^2 = 30,962^2 \end{cases}$$

Rezolvînd acest sistem rezultă ecuația,

$$y_s^4 + 4,2675939 \cdot 10^3 y_s^3 + 4,557962 \cdot 10^6 y_s^2 - 4,0911047 \cdot 10^6 y_s - 4,3647761 \cdot 10^9 = 0.$$

Această ecuație de gradul IV are patru rădăcini din care două complexe, care nu interesează, și două reale :

$$y_{s1} = +30,94268 \text{ și } y_{s2} = -30,94152.$$

Evident valoarea care satisface cazul angrenajului hipoid este $y_s = +30,94268$ (vezi axele de coordonate în fig. 3.42).

Rezultă $z_s = \sqrt{30,962^2 - 30,94268^2} = 1,0936178$, respectiv coordonatele punctului $S(213,379; 30,94268; 1,0936178)$.

Luînd în considerare planul O_1SD_1 acesta este planul axei de simetrie a mișcării (simetrie cinematică), iar planul $O_1P_HD_1$, planul de simetrie al danturii pinionului hipoid, respectiv planul axei de simetrie geometrică în punctul considerat.

Aceste două plane care se intersectează după axa x sînt rotite unul față de altul, fiind distanțate pe cercul mediu de referință al pinionului hipoid cu arcul $\widehat{P_HS}$.

Mărimea acestui arc se poate stabili notînd unghiurile $\widehat{P_HB_1P'_H} = \gamma_H$ și $\widehat{SB_1S'} = \gamma_S$ de unde :

$30,962 \cos \gamma_H = 30,895$ respectiv $\gamma_H = 3,76994^\circ = 6,5797866 \cdot 10^{-2}$ radiani,

$30,962 \cos \gamma_S = 30,94268$ și $\gamma_S = 2,02414^\circ = 3,5327907 \cdot 10^{-2}$ radiani.

În continuare $\gamma_H - \gamma_S = 6,5797866 \cdot 10^{-2} - 3,5327907 \cdot 10^{-2} = 3,0469959 \cdot 10^{-2}$ rad. mărimea arcului $\widehat{P_HS}$ fiind $\widehat{P_HS} = 30,962 \cdot 3,0469959 \cdot 10^{-2} = 9,4341087 \cdot 10^{-1}$.

Fiind vorba de profilul danturii unei roți conice, raportarea acestor valori trebuie să fie făcută la raza roții de înlocuire.

Conform relației (2.6), raza roții de înlocuire a pinionului hipoid va fi $r'_{1H} = r_{1H}/\cos \delta_1 = 30,962/\cos 10,63307^\circ = 31,502936$.

Dantura pinionului fiind o dantură curbă cu unghiul de înclinare $\beta_1 = 51,91981^\circ$ (tabelul 3.19) se aproximează cu o dantură cilindrică cu dinți înclinați ca în fig. 3.37.

Raza ideală a danturii roții cilindrice de înlocuire va fi

$$r_a = r'_{1H} / \cos^2 \beta_1 = 31,502936 / \cos^2 51,91981^\circ = 82,815724.$$

Arcul $\widehat{P_H S}$ se găsește în planul $P_H B_1 P'_H$ care este plan frontal al danturii. În planul normal, în punctul P_H , arcului $\widehat{P_H S}$ îi corespunde arcul $(\widehat{P_H S})_n$:

$$(\widehat{P_H S})_n = \widehat{P_H S} \cos \beta_1 = 9,4341087 \cdot 10^{-1} \cos 51,91981^\circ = 5,8186186 \cdot 10^{-1}.$$

În acest plan (planul normal pe dinte în punctul mediu de contact) se poate scrie relația $82,815724 \cdot \Delta z_{rad} = 5,8186186 \cdot 10^{-1}$, de unde :

$$\Delta z = 7,0259828 \cdot 10^{-3} \text{ radiani} = 0,40253915^\circ = 0^\circ 24' 09''.$$

Se găsește astfel unghiul care corespunde abaterii axei de simetrie a mișcării față de axa de simetrie a danturii și, comparind cu unghiul Δz din tabelul 3.19, se poate constata corespondența acestor valori cu un grad de precizie suficient de ridicat. O oarecare abatere era de așteptat, date fiind cele două aproximații introduse, respectiv roata cilindrică de înlocuire și raza ideală a roții cilindrice de înlocuire.

În cazul cînd punctul P_H coincide cu punctul S , dantura rezultă simetrică față de axa mișcării, în caz contrar situația prezentîndu-se ca în fig. 3.11.

Spre deosebire însă de cazul prezentat în fig. 3.11, în cazul angrenajului hipoid dantura este în mod obișnuit simetrică față de raza cercului de referință, axa de simetrie a mișcării fiind cea care ocupă o poziție înclinată cu unghiul Δz . Din această cauză dantura unui angrenaj hipoid are un aspect asimetric numai în cazul cînd se prelucrează dantura sa prin metoda cuțitelor asimetrice (vezi § 3.4).

Un alt aspect care necesită să fie subliniat îl constituie faptul că raza roții cilindrice de înlocuire a pinionului r'_{1H} nu este altceva decît segmentul $\overline{D_{1H} P_H}$, iar a roții r'_{2H} , segmentul $\overline{D_{2H} P_H}$ (fig. 3.41), punctele D_{1H} și D_{2H} fiind deci centrele a două roți cilindrice cu dinți înclinați ce pot constitui un angrenaj elicoidal de înlocuire a angrenajului hipoid.

Acest angrenaj elicoidal de înlocuire poate fi folosit pentru studiul profilului și formei danturii hipoide, în secțiunea considerată, în același fel ca și la angrenajul cilindric de înlocuire a angrenajului conic cu axe concurente.

3.11. Angrenaje hipoidice de tip special

După cum s-a văzut din elementele teoretice privind transmiterea mișcării de rotație între axe încrucișate și din posibilitatea substituirii angrenajului hiperboloidal prin corpuri dințate având altă formă (cilindrice la angrenajul elicoidal sau conice la angrenajul hipoid) rezultă o deosebită flexibilitate în găsirea unor soluții convenabile din punct de vedere practic.

Aceasta a dus la apariția, în afara angrenajelor hipoidice normale, a diferite tipuri de angrenaje cu axe încrucișate, numite, în general, angrenaje hipoidice de tip special; hipoidice deoarece și ele corespund unor zone ale hiperboloizilor de rostogolire în afara zonei de stricțiune maximă și de tip special deoarece necesită, în majoritatea cazurilor, metode de prelucrare diferite de cele aplicate la hipoidice normale.

Dintre acestea cele mai răspândite sînt angrenajele cunoscute sub denumirea comercială de angrenaje de tip Spiroid (fig. 3.43) și angrenaje de tip Helicon (fig. 3.50).

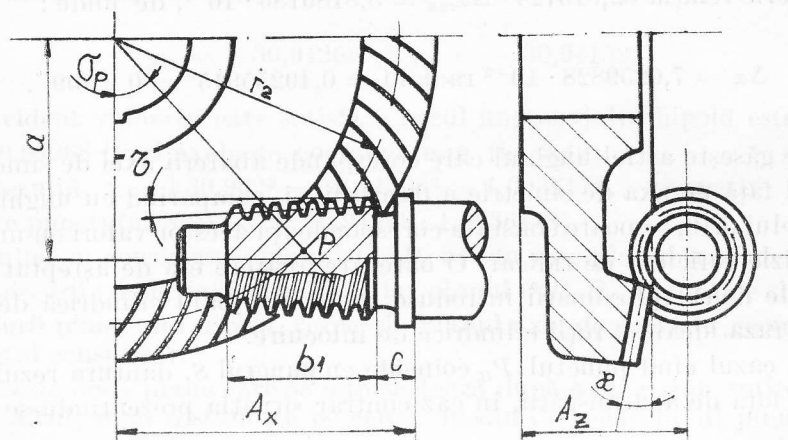


Fig. 3.43

Angrenajul Spiroid este un angrenaj hipoid la care atât pinionul cât și roata au o formă conică, dantura de înălțime constantă și distanța între axe mai mare decât cea admisă la angrenaje hipoidice normale. Întrucât pînă în prezent nu există denumiri standardizate pentru aceste tipuri de angrenaje, în cele ce urmează vom păstra denumirea lor comercială. Angrenajul Spiroid prin forma sa este un angrenaj intermediar între angrenajele hipoidice și angrenajele melcate, iar prin capacitatea sa de a transmite efort poate substitui angrenajele melcate.

Ca și în cazul angrenajelor hipoidice normale, unghiul între axe este de 90° .

Avantajele angrenajului Spiroid sînt: rapoarte mari de transmitere realizate într-o singură treaptă și un număr mare de dinți în contact, ceea ce duce la o formă compactă la rapoarte mari de transmitere. În mod uzual aceste angrenaje sînt utilizate pentru rapoarte de transmitere $10 \leq i \leq <110$, dar pot fi realizate și pentru rapoarte de transmitere pînă la $i = 300$, cu unele măsuri suplimentare la execuție.

Rapoartele mari de transmitere sînt posibile datorită micșorării numărului de dinți al pinionului pînă la $z_1 = 1$, adică pinionul devine un melc conic, în condițiile în care roata poate avea $z_2 = 30 \dots 300$ dinți.

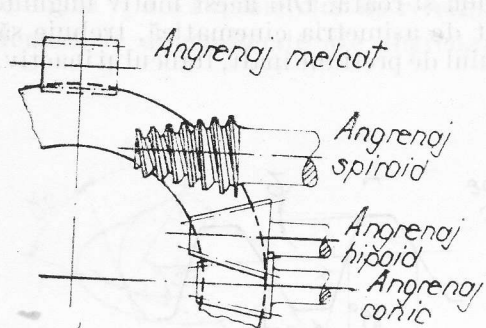


Fig. 3.44

Angrenajul Spiroid este un angrenaj hipoid, avînd parametri în afara parametrilor admiși la angrenajele hipoide normale. Evident, considerațiile teoretice privind suprafețele de rostogolire hiperboloidale și cele privind poziția reciprocă pinion-roată, în angrenajele hipoide, rămîn valabile acestea fiind efectuate în cazul general al transmiterii mișcării de rotație între axe încrucișate indiferent de distanța între axe. Ceea ce este

specific angrenajelor hipoide de tip special sînt dimensiunile unghiulare prestabilite pentru corpul roților.

Din datele publicate în literatură [15] elementele geometrice de bază ale angrenajului Spiroid sînt :

1. Unghiul conurilor de referință δ_1 și δ_2 .

Pinion $\tau = \delta_1$, Roata $\alpha = 90^\circ - \delta_2$.

$\tau = 5^\circ$, $\alpha = 8^\circ$, valori preferate.

$\tau = 7^\circ$, $\alpha = 11^\circ$,

$\tau = 10^\circ$, $\alpha = 14^\circ$.

2. Unghiul între planul determinat de axa roții și segmentul de dreaptă reprezentînd distanța minimă între axe și planul determinat de axa roții și punctul mediu de contact P al suprafețelor de referință conice, unghi notat σ_p . Pentru acest unghi se admite în toate cazurile o valoare prestabilită, $\sigma_p = 40^\circ$, fiind deci o valoare normalizată.

3. Unghiul de presiune al flancurilor dintelui pinionului, care este dependent de raportul de transmitere al angrenajului. Valorile sale sînt în primă aproximație următoarele :

| | | |
|-------------------------|------------------------------------|-------------------------------------|
| Raport de transmitere : | Flancul cu unghi de presiune mic : | Flancul cu unghi de presiune mare : |
|-------------------------|------------------------------------|-------------------------------------|

| | | |
|-------------|----------------------|-----------------------|
| $i \leq 16$ | $\alpha' = 15^\circ$ | $\alpha'' = 35^\circ$ |
|-------------|----------------------|-----------------------|

| | | |
|----------|----------------------|-----------------------|
| $i > 16$ | $\alpha' = 10^\circ$ | $\alpha'' = 30^\circ$ |
|----------|----------------------|-----------------------|

Se remarcă din aceste date o pronunțată asimetrie a profilului danturii pinionului. Pinionul are două unghiuri de angrenare respectiv α' — unghi de angrenare mic și α'' — unghi de angrenare mare. Aceste unghiuri

țin cont de asimetria cinematică ce apare ca urmare a axelor încrucișate, dar valorile cu care se lucrează, la flancurile melcului, depășesc valorile determinate de asimetria cinematică. Acest lucru se face în scopul micșorării forțelor de respingere între pinion și roată. Din acest motiv unghiul de presiune jos, luat în sensul cerut de asimetria cinematică, trebuie să corespundă flancului motor, iar unghiul de presiune înalt, flancului inactiv.

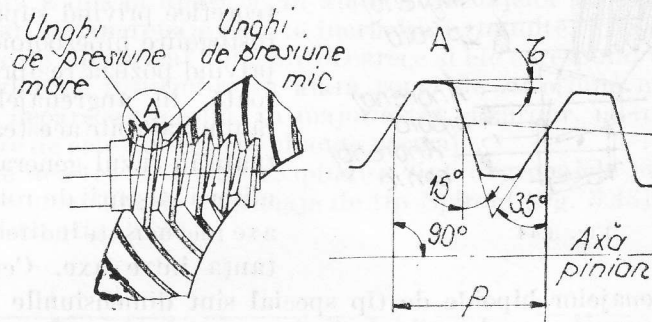


Fig. 3.45

În cazul unui angrenaj cu mișcare de rotație în ambele sensuri se va avea în vedere ca sarcina maximă să acționeze pe flancul cu unghi de presiune mic.

Din fig. 3.45 se vede că melcul angrenajului Spiroid este un melc cu pas axial constant, deci unghiul spirei melcului este variabil, având valori mai mari spre diametrul mic.

Unghiul spirei melcului γ_1 este unghiul între tangenta la spirală și planul perpendicular pe axa melcului, așa cum se ia în considerare la filete.

Legătura ce există între pasul melcului și elementele geometrice ale roții se poate deduce din expresia raportului de transmitere a mișcării de rotație între axe încrucișate $i = (r_2/r_1) \cdot (\cos \beta_2 / \cos \beta_1)$, unde r_2 și r_1 sînt razele conurilor de referință în punctul mediu de contact iar β_1 și β_2 , unghiurile de înclinare, a spirei pinionului (melcului) și a roții, față de axa de rotație.

Legătura ce există între unghiul de înclinare al spirei β și unghiul spirei γ se vede din fig. 3.46.

În baza acestei legături, raportul de transmitere al mișcării poate fi scris sub forma

$$i = (r_2/r_1) \cdot (\sin \gamma_2 / \sin \gamma_1). \quad (3.122)$$

Desfășurînd conul de referință al melcului ca în fig. 3.47 se poate stabili legătura ce există între elementele geometrice ale melcului și pasul între spire p .

Notînd z_1 numărul de începuturi al melcului și aproximînd triunghiul $PP'P''$ cu un triunghi dreptunghic se poate scrie :

$$2\pi r_1 \tan \gamma_1 = pz_1 / \cos \tau; \quad (3.123)$$

$$\tan \gamma_1 = pz_1 / 2\pi r_1 \cos \tau. \quad (3.124)$$

Pasul între spire p este important de luat în considerare, întrucât el corespunde pasului roții dințate cu care angrenează.

Din figura geometrică determinată de axe de rotație I și II și razele r_1 și r_2 ale suprafețelor de referință (v. fig. 3.48 și 3.8) se pot deduce elementele dimensionale ale angrenajului Spiroid.

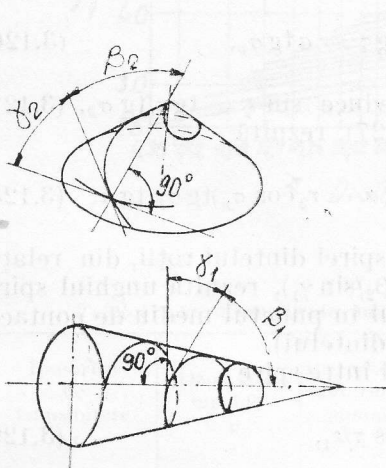


Fig. 3.46

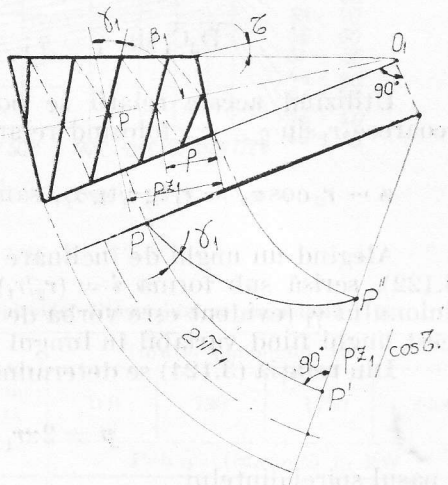


Fig. 3.47

Elementele care se stabilesc inițial sînt distanța între axe a , unghiul $\sigma_p = 40^\circ$, unghiul de conicitate al pinionului τ și raza medie a roții r_2 .

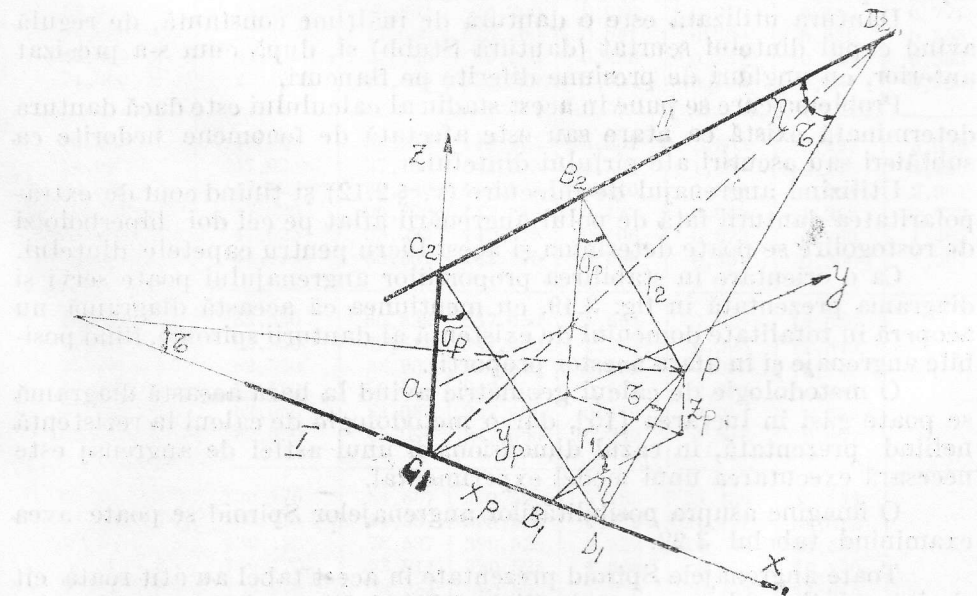


Fig. 3.48

Cu aceste elemente este posibilă stabilirea coordonatelor punctului de contact al suprafețelor de referință $P(x_p, y_p, z_p)$ din fig. 3.48 :

$$x_p = r_2 \sin \sigma_p; y_p = r_1 \cos \eta; z_p = a - r_2 \cos \sigma_p. \quad (3.125)$$

Din aceeași figură se poate scrie :

$$\overline{D_2 C_1} \sin \eta = a; \quad \overline{D_2 C_1} \operatorname{tg} \tau = a \operatorname{tg} \sigma_p. \quad (3.126)$$

Utilizând aceste relații se poate deduce $\sin \eta = \operatorname{tg} \tau / \operatorname{tg} \sigma_p$. (3.127)
Deoarece $r_1 \sin \eta = z_p$, folosind relația (3.127), rezultă

$$a - r_2 \cos \sigma_p = r_1 \operatorname{tg} \tau / \operatorname{tg} \sigma_p, \text{ sau } r_1 = (a - r_2 \cos \sigma_p) \operatorname{tg} \sigma_p / \operatorname{tg} \tau. \quad (3.128)$$

Alegînd un unghi de înclinare β_2 al spirei dintelui roții, din relația (3.122), scrisă sub forma $i = (r_2/r_1) \cdot (\cos \beta_2 / \sin \gamma_1)$, rezultă unghiul spirei pinionului γ_1 (evident este vorba de unghiul în punctul mediu de contact, acest unghi fiind variabil în lungul spirei dintelui).

Din relația (3.124) se determină pasul între spire

$$p = 2\pi r_1 \operatorname{tg} \gamma_1 \cos \tau / z_1, \quad (3.129)$$

și pasul spirei dintelui

$$L = p \cdot z_1. \quad (3.130)$$

Știind că $r_2 = m_n z_2 / 2 \cos \beta_2$, se poate calcula modulul normal m_n al danturii roții în punctul mediu de contact P , această valoare constituind reperul pentru stabilirea înălțimii dintelui.

Dantura utilizată este o dantură de înălțime constantă, de regulă avînd capul dintelui scurtat (dantură Stubb) și, după cum s-a precizat anterior, cu unghuri de presiune diferite pe flancuri.

Problema care se pune în acest stadiu al calculului este dacă dantura determinată există ca atare sau este afectată de fenomene nedorite ca subțieri sau ascuțiri ale virfului dintelui.

Utilizînd angrenajul de înlocuire (v. § 2.12) și ținînd cont de extrapolaritatea danturii față de polul angrenării aflat pe cei doi hiperboloizi de rostogolire se poate determina și acest lucru pentru capetele dintelui.

Ca o orientare în stabilirea proporțiilor angrenajului poate servi și diagrama prezentată în fig. 3.49, cu mențiunea că această diagramă nu acoperă în totalitate domeniul de existență al danturii spiroide, fiind posibile angrenaje și în afara acestor proporții.

O metodologie de calcul geometric avînd la bază această diagramă se poate găsi în lucrarea [15], dar o metodologie de calcul la rezistență nefiind prezentată, în cazul dimensionării unui astfel de angrenaj este necesară executarea unui model experimental.

O imagine asupra posibilităților angrenajelor Spiroid se poate avea examinînd tabelul 3.22.

Toate angrenajele Spiroid prezentate în acest tabel au atît roata cît și pinionul din oțel cementat și călit la HRC 60. Pinionul este rectificat iar roata rodată. Ungerea se face cu ulei aditivat pentru angrenaje hipoide.

Executarea pinionului se face cu aceeași tehnologie aplicată la executarea melcilor iar roata se prelucerează pe mașini de frezat dantură cilindrică prin rostogolire. Pentru aceasta se execută o freză melc conică având caracteristicile melcului Spiroid plus adaosurile pentru obținerea jocului pe flancuri și la fundul golului. Cu ajutorul unui dispozitiv atașat pe capul de frezat al mașinii de danturat se aduce freza în poziția determinată de coordonatele de montaj a și A_x . Pătrunderea în așchiere se face pe verticală până la atingerea cotei de montaj A_z (v. fig. 3.43), grosimea dintelui roții obținându-se prin respectarea cotelor de montaj. Lungimea frezei melc trebuie să fie aleasă în așa fel încât să depășească lățimea danturii roții, în acest mod generându-se o dantură conjugată melcului Spiroid pe întreaga lățime a roții.

În funcție de precizia necesară funcționării angrenajului Spiroid există trei modalități de prelucrare.

1. Pinion de precizie, cu dantură rectificată și roată rodată separat cu un melc identic cu pinionul.

2. Pinion și roată prelucrate prin așchiere și rodate împreună.

3. Pinion și roată prelucrate numai prin așchiere fără rodaj.

Angrenajele Spiroid astfel realizate pot înlocui, în unele cazuri, angrenajele melcate mari consumatoare de bronz prin roata melcată.

Dintre angrenajele hipoide speciale un deosebit interes prezintă angrenajul de tip Helicon. Acest angrenaj este compus dintr-un pinion cilindric și o roată plană cu dinți de înălțime constantă (v. fig. 3.50). Forma

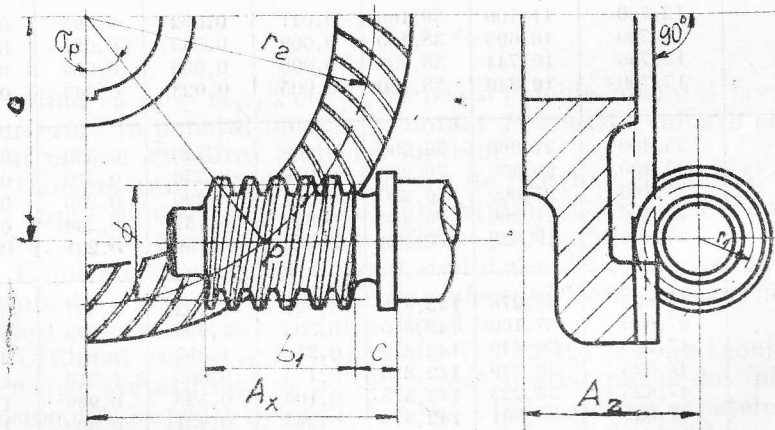


Fig. 3.50

cilindrică a pinionului se referă la suprafața de referință pe care se distribuie dinții întrucât, uneori, suprafața exterioară poate prezenta o ușoară conicitate, determinată de necesitatea evitării ascuțirii dinților la vîrf spre partea care angrenează către interiorul roții plane.

Angrenajul Helicon este asemănător angrenajului Spiroid, fiind în fond un angrenaj Spiroid fără conicitatea suprafețelor de referință.

Capacitatea sa de a transmite efort, după datele din literatură pare a fi cu 50% mai mică decît a angrenajului Spiroid, la aceleași dimensiuni. Lipsa conicității permite însă acestor angrenaje să fie utilizate pentru o gamă de rapoarte de transmitere mai extinsă decît în cazul angrenajelor

Spiroid, ele fiind recomandate pentru rapoarte de la $i = 4$ la $i = 400$ pentru sarcini mici și medii.

Și în cazul angrenajelor Helicon, ungerea trebuie să se facă cu uleiuri aditivat de extremă presiune dat fiind alunecarea longitudinală mare între dinții în angrenare.

Determinarea dimensiunilor angrenajului de tip Helicon se face plecând de la dimensiunile roții plane și de la distanța între axe.

În cazul pinionului cilindric și roții plane normala comună a suprafețelor de referință în punctul mediu de contact este perpendiculară pe planul roții și conținută în planul axei pinionului, deci în proiecție punctul P apare suprapus peste axa pinionului și cercul mediu al roții plane (v. fig. 3.50 și 3.51).

Spre deosebire de angrenajul Helicon, la angrenajul Spiroid, din cauza conicității suprafețelor de referință, punctul P apare în proiecție pe cercul mediu al roții deplasat față de axul pinionului.

Roata Helicon, fiind o roată plană, geometria sa este cea a roții plane discutată în cazul angrenajelor hipoide normale generate cu roată plană, deci unghiul $\mu = \beta_1 - \beta_2$ (v. fig. 3.51 și fig. 3.23).

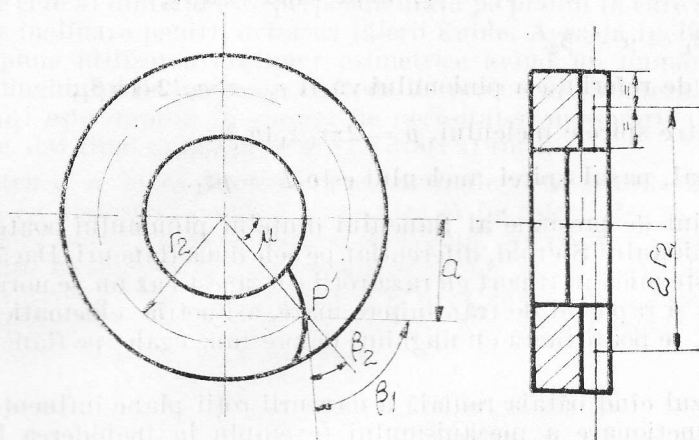


Fig. 3.51

Relațiile (3.122) și (3.124), determinate în cazul angrenajului Spiroid, sînt valabile și la angrenajul Helicon, cu mențiunea că, lipsind conicitatea suprafeței de referință a pinionului, unghiul $\tau = 0$. Astfel din relația $\operatorname{tg} \gamma_1 = \operatorname{ctg} \beta_1 = pz_1/2\pi r_1$ rezultă raza medie a pinionului

$$r_1 = pz_1 \operatorname{tg} \beta_1 / 2\pi. \quad (3.131)$$

Raza medie a roții plane este dată de relația

$$r_2 = z_2 \cdot m_n / 2 \cos \beta_2. \quad (3.132)$$

Întrucît raportul de transmitere între axe încrucișate este $i = (r_2/r_1) \cdot (\cos \beta_2 / \cos \beta_1)$, înlocuind r_2 și r_1 cu relațiile (3.131) și (3.132) se obține $i = z_2/z_1$, expresia fundamentală a raportului de transmitere a mișcării de rotație prin corpuri dințate.

Din cele expuse rezultă că știind raportul de transmitere al angrenajului, se pot stabili numerele de dinți, respectiv numărul de dinți al roții z_2 și numărul de începuturi al melcului z_1 .

Stabilind dimensiunile roții plane, respectiv raza cercului mediu r_2 , unghiul de înclinare al danturii roții β_2 și distanța între axe a se poate determina modulul normal al danturii (v. relația 3.132),

$$m_n = 2r_2 \cos \beta_2 / z_2. \quad (3.133)$$

Cunoscînd modulul normal, care exprimă posibilitatea angrenării celor două roți conjugate, se poate determina raza de referință a pinionului (melcului) cu condiția de a stabili ce unghi de înclinare β_1 va avea spira sa.

Considerînd punctul de contact P la distanța a de deplasare a axelor, se poate vedea că tangenta celor două spire în contact se exprimă prin relația

$$\mu = \beta_1 - \beta_2, \text{ unde } \sin \mu = a/r_2, \quad (3.134)$$

$$\text{rezultînd } \beta_1 = \mu + \beta_2. \quad (3.135)$$

$$\text{Raza de referință a pinionului va fi } r_1 = z_1 m_n / 2 \cos \beta_1, \quad (3.136)$$

$$\text{iar pasul între spirele melcului, } p = 2\pi r_1 / z_1 \tan \beta_1. \quad (3.137)$$

$$\text{În final, pasul spirei melcului este } L = p z_1. \quad (3.138)$$

Unghiul de presiune al flancului dintelui pinionului poate fi, ca și în cazul pinionului Spiroid, diferențiat pe cele două flancuri. Dacă distanța între axe este mică în raport cu raza roții (în acest caz nu se normalizează unghiul σ_p) și raportul de transmitere mare, asimetria cinematică nefiind pronunțată, se poate lucra cu unghiuri de presiune egale pe flancurile dintelui.

În cazul cînd bătaia radială a danturii roții plane influențează precizia de funcționare a mecanismului (exemplu la închiderea lanțurilor cinematice la mașini-unelte) se preferă a se lucra cu unghiuri de angrenare cu valori mici pe flancul motor, chiar în cazul asimetriei cinematice mici, micșorîndu-se astfel influența acestei bătai radiale. Valorile utilizate pentru unghiurile de presiune pe flancuri pot fi cele precizate la angrenajul Spiroid, dar pot fi și valori intermediare, cu condiția de a lua în considerare asimetria cinematică.

Cu toate că angrenajul Helicon are o capacitate de a transmite efort mai mică decît angrenajul Spiroid, el prezintă o deosebită importanță ca angrenaj cinematic, întrucît se poate executa cu precizie mult mai ridicată decît angrenajul Spiroid. Există în acest sens două posibilități. Dacă se admite roata plană executată din fontă sau bronz (acest lucru este posibil la viteze mici de funcționare) se poate executa frezarea roții pe mașini de frezat dantură cilindrică prin rostogolire, utilizînd o freză melc de precizie avînd forma și dimensiunile melcului conjugat roții.

În cazul unei serii mici, cînd nu este rentabil executarea frezei melc, se poate folosi un cuțit zburător singular sau stelat, după cum melcul are un început sau mai multe, lucrînd cu avansul tangențial al capului de frezat. Bineînțeles în ambele cazuri (freză melc sau cuțit zburător) este

necesară utilizarea unui dispozitiv montat pe capul de frezat al mașinii pentru aducerea sculei în poziția ocupată de melc față de roata de prelucrat. În cazul când vitezele de lucru sau sarcinile de transmis sunt mai mari și este necesară și precizie cinematică superioară, se poate executa acest angrenaj pe mașinile de executat dantură conică curbă în arc de cerc cu rectificarea danturii după călire, atât la roată cit și la pinion. În această situație există limitări impuse de construcția mașinilor de prelucrat dantură conică curbă. Astfel, la mașinile de frezat dantură conică curbă, în general, raportul de transmitere între leagănul portsculă și piesă nu depășește $i = 10$. În acest caz mașina de frezat trebuie să permită realizarea danturii prin metoda suprafeței înfășurătoare (Formate) pentru frezarea roții plane. Frezarea danturii roții plane se poate face cu oarecare aproximație prin rotirea păpușii portpiesă astfel ca să se evite tăierea dublă.

Unghiul de înclinare datorită rotirii păpușii fiind mic, ($3^\circ \dots 4^\circ$) erorile nu sunt esențiale. Mai importantă este găsirea unei astfel de poziții relative între capul portcuțite și piesă, încât variația unghiului de înclinare a danturii să nu modifice esențial unghiul de angrenare al flancurilor. Această cerință este îndeplinită atunci când tangenta în punctul mediu al arcului de cerc al dintelui este perpendiculară pe planul în care s-a efectuat rotația de înclinare pentru evitarea tăierii duble. Această înclinare a roții plane impune utilizarea cuțitelor asimetrice având un număr dictat de mărimea unghiului de înclinare. Metoda de prelucrare bilaterală a golului dintre dinți este impusă în special de necesitatea micșorării timpului de prelucrare, dat fiind numărul mare de dinți al roții.

Pentru a se evita îngustări longitudinale nefavorabile ale dintelui se preferă ca diametrul capului portcuțite să fie astfel ales încât arcul de cerc pe roata plană să aproximeze o evolventă, totalitatea curbelor longitudinale ale flancurilor dinților constituind un virtej de evolvente. Virtejul de evolvente fiind format din curbe paralele, aproximarea respectivă duce la îngustări longitudinale minime ale dinților. Această aproximare are loc atunci când se respectă relația

$$r_{CPC} = r_2 \sin \beta_2. \quad (3.139)$$

Evident îngustarea poate fi admisă mai aproape de aproximarea respectivă sau mai departe după mărimea capetelor portcuțite de care dispunem.

Rectificarea danturii roții plane necesită o mașină de rectificat dantură conică curbă de tip Formate. În lipsa unei asemenea mașini se poate utiliza și o mașină de rectificat dantură conică curbă cu generare prin roată plană, dar sunt necesare unele artificii la reglaje.

Probleme deosebite se pun și la prelucrarea pinionului. Pinionul (melcul) se generează cu o roată plană imaginară având elementele geometrice identice cu ale roții plane ale angrenajului.

Raportul de transmitere între roata plană imaginară și pinionul de prelucrat trebuie să fie chiar raportul de transmitere al angrenajului și, întrucât raportul de transmitere la frezare nu depășește 10, pinionul se va degroșa prin strunjire. Semifinisarea și finisarea se va face prin rectificare. Întrucât raportul de transmitere al mașinii de rectificat dantură conică curbă este limitat, automat nu vor putea fi prelucrate decât angrenaje care se încadrează în acest raport. În cazul mașinii de rectificat dantură conică

curbă, cu came pentru realizarea raportului de rostogolire, deși raportul de transmitere limită nu este precizat în documentația de însoțire a mașinii practic s-a putut lucra până la $i = 25$, peste această limită mașina avînd tendința de a funcționa neuniform. Întrucît rectificarea danturii se aplică în cazul unor angrenaje cinematice, deci de precizie mare, trebuie să se acorde o atenție deosebită reglajelor mașinii de rectificat dantură.

Roata plană a angrenajului fiind prelucrată prin metoda bilaterală, rezultă că pinionul va fi prelucrat unilateral. Această metodă presupune cunoașterea exactă a unghiului de înclinare mediu pe ambele flancuri ale dintelui.

La metoda de prelucrare bilaterală aplicată roții, golul între dinți are lățime constantă și unghiul nominal de înclinare se găsește pe linia medie a golului în punctul mediu P . Pe cele două flancuri unghiurile de înclinare au valori diferite în punctele de intersecție ale flancurilor cu cercul mediu. Aceste valori ale înclinării fiecărui flanc pe cercul mediu sînt necesare pentru un calcul exact al reglajului. Determinarea valorilor exacte ale unghiului de înclinare pe flancuri se poate face urmărind fig. 3.52.

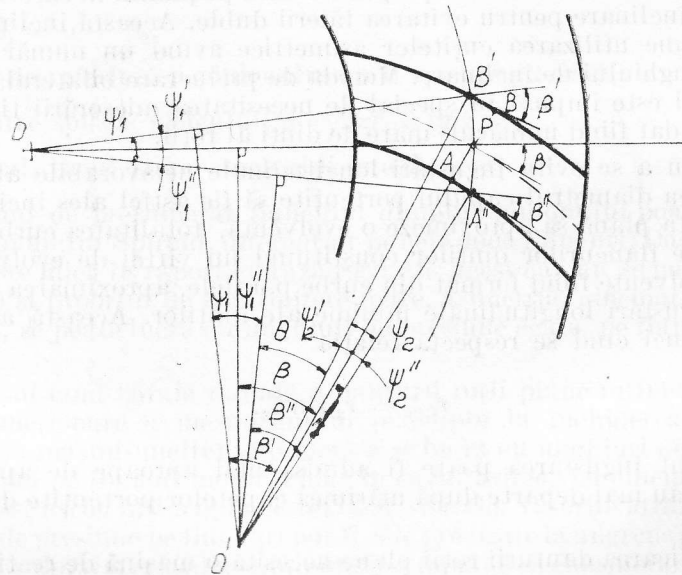


Fig. 3.52

În această figură care reprezintă un gol între dinți pe roata plană notațiile au următoarele semnificații :

\overline{OP} — raza medie a roții plane; (R);

$\overline{O'P}$ — raza capului portcuțite (r_{cfc});

$\overline{A'B'}$ — lățimea golului măsurată pe arc în sens frontal (s_{gt});

\overline{AB} — lățimea golului măsurată pe direcție normală (s_{gn});

β — unghiul de înclinare mediu al dintelui;

β' — unghiul de înclinare al flancului concav pe cercul mediu;

β'' — unghiul de înclinare al flancului convex pe cercul mediu.

Se vede din fig. 3.52 că există următoarele relații :

$$\widehat{A'B'} = R\psi_1 \text{ și } \widehat{A'B'} \sin \beta = r_{CPC} \cdot \psi_2 \text{ de unde } R\psi_1 = r_{CPC}\psi_2/\sin \beta. \quad (3.140)$$

Relația (3.140) se poate pune sub forma $\psi_1/\psi_2 = r_{CPC}/R \sin \beta$, din care se deduce că :

$$\psi_1 = \psi_2, \text{ dacă } r_{CPC} = R \sin \beta; \quad (3.141)$$

$$\psi_1 > \psi_2, \text{ dacă } r_{CPC} > R \sin \beta; \quad (3.142)$$

$$\psi_1 < \psi_2, \text{ dacă } r_{CPC} < R \sin \beta. \quad (3.143)$$

Se vede din aceste relații că valoarea $r_{CPC} = r_2 \sin \beta_2$ amintită anterior (în cazul de față $r_2 = R$) reprezintă o limită față de care se produc unele variații ale unghiurilor ce corespund lățimii golului deci și o îngustare longitudinală a dintelui.

Analizînd fig. 3.52 se constată următoarele :

$$\beta' = \beta - \psi_2' + \psi_1'; \quad (3.144)$$

$$\beta'' = \beta - \psi_1'' + \psi_2''. \quad (3.145)$$

Deoarece $R\psi_1' = \widehat{PB'} = s_{gn}/2 = s_{gn}/2\cos\beta$, rezultă că

$$\psi_1' = s_{gn}/2R \cos \beta \text{ radiani.} \quad (3.146)$$

În același mod se deduce $\psi_1'' = s_{gn}/2R \cos \beta$ radiani. (3.147)

Pentru calculul mărimii unghiurilor ψ_2' și ψ_2'' se va observa că $(r_{CPC} - s_{gn}/2)/\sin \beta = (s_{gn}/2 \cos \beta)/\sin \psi_2''$.

Efectuînd calculele rezultă $\psi_2'' = s_{gn} \operatorname{tg} \beta / (2r_{CPC} - s_{gn})$ radiani. (3.148)

Întrucît $r_{CPC}/\sin \beta = (s_{gn}/2 \cos \beta)/\sin \psi_2''$, se obține

$$\psi_2' = s_{gn} \operatorname{tg} \beta / 2r_{CPC} \text{ radiani.} \quad (3.149)$$

Obținerea angrenajului Helicon prin generare pe mașina de rectificat dantura conică curbă conduce la un angrenaj cu o precizie deosebită, dată fiind precizia mare a acestor mașini.

În cazul montajului unui asemenea angrenaj trebuie respectate cu rigurozitate cotele de montaj A_x , a și A_z (fig. 3.50), pentru a nu scădea precizia prin erori de montaj, în acest caz pinionul fiind generat conjugat roții plane.

În cazul cînd roata angrenajului Helicon este prelucrată pe o mașină de frezat dantură cilindrică cu freză mele sau cu cuțit zburător, roata plană este generată de către pinion, respectiv de către melcul cilindric. În acest caz, pentru a nu se diminua precizia de execuție prin erori de montaj, este necesar să se respecte cu rigurozitate cotele de montaj a și A_z , cota A_x permițînd toleranțe mai largi, dat fiind cilindricitatea melcului generator.